

การปรับปรุงระบบปรับอากาศสำหรับห้องหนังสือของโรงงานผลิตรถยนต์



อรรถพล ปิ่นโกคินทร์

สถาบันวิทยบริการ

จุฬาลงกรณ์มหาวิทยาลัย

วิทยานิพนธ์นี้เป็นส่วนหนึ่งของการศึกษาตามหลักสูตรปริญญาวิศวกรรมศาสตรมหาบัณฑิต

สาขาวิชาวิศวกรรมอุตสาหการ ภาควิชาวิศวกรรมอุตสาหการ

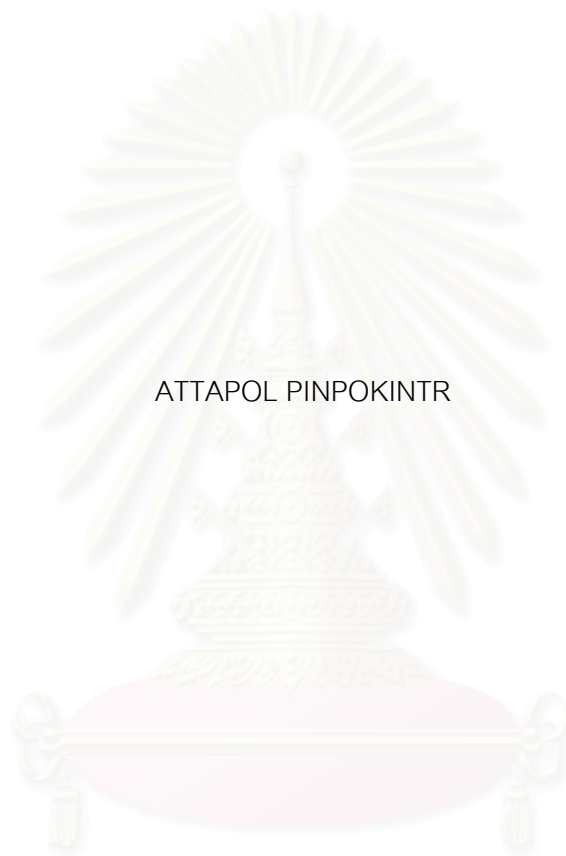
คณะวิศวกรรมศาสตร์ จุฬาลงกรณ์มหาวิทยาลัย

ปีการศึกษา 2543

ISBN 974-13-0260-6

ลิขสิทธิ์ของจุฬาลงกรณ์มหาวิทยาลัย

THE IMPROVEMENT OF AIR SUPPLY UNIT FOR SPRAY BOOTH IN CAR ASSEMBLY FACTORY



ATTAPOL PINPOKINTR

A Thesis Submitted in Partial Fulfillment of the Requirements
for the Degree of Master of Engineering in Industrial Engineering

Department of Industrial Engineering

Faculty of Engineering

Chulalongkorn University

Academic Year 2000

ISBN 974-13-0260-6

อรรถพล ปิ่นโกคินทร์ : การปรับปรุงระบบปรับอากาศสำหรับห้องพ่นสี ของโรงงานผลิตรถยนต์
(THE IMPROVEMENT OF AIR SUPPLY UNIT FOR SPRAY BOOTH IN A CAR
ASSEMBLY FACTORY)

อ. ที่ปรึกษา : ผศ.ดร จิตรา ฐิติการพานิช, 139 หน้า. ISBN 974-13-0260-6.

โรงงานผลิตรถยนต์ตัวอย่างได้ประสบปัญหาเกิดการหยุดผลิตช่วงหน้าหนาวทุกปีโดยเฉลี่ยปีละ 290 นาที่ เพราะวาระบบการปรับอากาศสำหรับห้องพ่นสีไม่สามารถที่จะทำการปรับอากาศที่จะส่งไปให้ห้องพ่นสีมีสภาวะที่เหมาะสมต่อการผลิต ถ้าไม่หยุดผลิตขึ้นงานก็จะเกิดความเสียหาย ผู้บริหารโรงงานจึงต้องการที่จะกำจัดปัญหานี้โดยต้องมีการใช้งบประมาณที่เหมาะสมต่อสภาพเศรษฐกิจในปัจจุบัน ดังนั้นโครงการวิจัยนี้มีวัตถุประสงค์เพื่อออกแบบและปรับปรุงระบบควบคุมระบบปรับอากาศของห้องพ่นสีขั้นสุดท้ายของโรงงานประกอบรถยนต์ตัวอย่างให้สามารถทำการปรับอากาศให้อยู่ในค่าที่กำหนดได้เพื่อลดการหยุดผลิตของห้องพ่นสีโรงงานประกอบรถยนต์ตัวอย่าง

จากการศึกษาพบว่าการที่ระบบการปรับอากาศไม่สามารถปรับอากาศให้ได้ตามมาตรฐานของการพ่นสีเพราะว่าในช่วงหน้าหนาวอากาศภายนอกจะมีความแปรปรวนเลยขีดจำกัดความสามารถของระบบการตามที่ได้ออกแบบไว้ถ้าต้องการให้ระบบการทำงานได้จะต้องใช้พลังงานเพิ่มขึ้นนั่นคือต้องมีการติดตั้งหม้อไอน้ำเพิ่มขึ้น แต่การติดตั้งหม้อไอน้ำต้องใช้เงินลงทุนสูง และมีค่าใช้จ่ายในการเดินเครื่องจักรสูง ไม่เหมาะต่อการลงทุน ดังนั้นการแก้ปัญหาจึงมุ่งมาที่ระบบการควบคุม ซึ่งแต่เดิมใช้การควบคุมแบบ PROPORTIONAL INTEGRAL DERIVATIVE (PID) มีข้อดีคือสามารถที่จะควบคุมค่าตัวแปรกระบวนการ (PROCESS VARIABLE, PV) ให้มีความเสถียรได้ดี แต่มีข้อเสียคือไม่มีความยืดหยุ่นในการควบคุม ดังนั้นเมื่อเกิดความแปรปรวนภายนอกมากจึงทำให้ค่าตัวแปรกระบวนการออกนอกเขตที่ยอมรับได้ การแก้ไขโดยใช้การควบคุมที่มีความยืดหยุ่นแต่ต้องไม่ทำให้ความเสถียรของการควบคุมเสียไปคือการใช้การควบคุมแบบ FUZZY LOGIC ทำให้ช่วงของค่าเป้าหมายกว้างขึ้น และความสามารถของระบบการเพิ่มขึ้นด้วย โดยที่ค่าตัวแปรอยู่ในช่วงที่ยอมรับได้ การปรับปรุงระบบการควบคุมกระบวนการปรับอากาศนี้มีความคุ้มค่าต่อการลงทุนสูงเพราะใช้งบประมาณน้อยค่าใช้จ่ายในการดำเนินงานต่ำ แต่สามารถช่วยลดการสูญเสียได้มาก

ผลของการปรับปรุงคือไม่มีการหยุดผลิตจากระบบการปรับอากาศอีกเลย นอกจากนี้ยังสามารถนำไปประยุกต์ใช้กับการควบคุมกระบวนการอื่นที่มีความต้องการคล้ายคลึงกัน เพื่อช่วยลดค่าใช้จ่ายด้านพลังงานได้อีกด้วย

ภาควิชา วิศวกรรมอุตสาหการ

ลายมือชื่อผู้คิด.....

สาขาวิชา วิศวกรรมอุตสาหการ

ลายมือชื่ออาจารย์ที่ปรึกษา.....

ปีการศึกษา 2543

##427 15004 21 : MAJOR INDUSTRIAL ENGINEERING

KEY WORD Improvement / Air Supply Unit

ATTAPOL PINPOKINTR : THE IMPROVEMENT OF AIR SUPPLY UNIT FOR SPRAY
BOOTH IN A CAR ASSEMBLY FACTORY

THESIS ADVISOR : ASSIST.PROF.DR.JITTRA RUKIJKANPANICH,

139 pp. ISBN 974-13-0260-6

The Car assembly factory has long production stop about 290 minute every year on November to January of next year, because Air Supply Unit (ASU) has not make standard air condition for Spray Booth to set point. It effects to quality of painting on car body, and big loose of Production. Management of car assembly factory would like to prevent production stop from this problem by minimizes budget. So objectives of this thesis is redesign and improve control system of Air Supply Unit for TopCoat Spray Booth. To make air condition in control limit to reduce down time.

Cause of ASU has not make air condition for Spray Booth to set point is Enthalpy ambient on winter has lower capacity design limit. In this condition, ASU has wonted more energy from steam boiler to make air condition to set point. But new steam boiler is use high installation cost and high operation cost. So problem solving is focus to redesign and improvement ASU process controller. Before improvement ASU has used Proportion Integral Derivative (PID) controller, advantage is process control has high stabilization but inferior is unflexibility. To solve this problem we has improve process control to Fuzzy Logic. It make wide set point range, so it effect to increase process capacity and energy saving.

After improvement ASU process controller, down time from ASU in winter of year 2000 is 0 minute (from December 2000 to January 2001). Beside it can apply to other process control if process control has same as ASU process control improved.

Department of Industrial Engineering

Major Industrial Engineering

Academic Year 2000

Student.....

Thesis Advisor.....

กิตติกรรมประกาศ

ในการจัดทำวิทยานิพนธ์นี้ขอขอบคุณ ท่าน ผศ.ดร. จิตรา ฐิติการพานิช ท่านอาจารย์ที่ปรึกษาที่ได้ให้คำแนะนำในการจัดทำวิทยานิพนธ์ ตรวจสอบแก้ไขข้อผิดพลาดต่างๆ ให้กำลังใจในการทำวิทยานิพนธ์ ตั้งแต่เริ่มแรก จนกระทั่งสำเร็จ ออกมาเป็นวิทยานิพนธ์นี้

ขอบคุณท่านผู้บริหารของโรงงานประกอบรถยนต์ตัวอย่าง คุณสมชาย ทิพพานุรัตน์ ที่ได้อนุมัติให้ทำการศึกษาวิจัยเพื่อแก้ปัญหาของระบบปรับอากาศของห้องพ่นสี รวมทั้งการอนุมัติงบประมาณที่ต้องใช้ในการทำงานวิจัยนี้ด้วย ขอขอบคุณ คุณสมสวัสดิ์ ตั้งภักทรนวงศ์ คุณศุรวี สัตยาภิธาน วิศวกพรประจำฝ่ายซ่อมบำรุงที่ได้ให้คำแนะนำ ให้ยืมหนังสือเกี่ยวกับการปรับอากาศ คู่มือเครื่องจักร เพื่อใช้ในการศึกษาวิจัย ขอขอบคุณ คุณนาวิ สุขศิริ หัวหน้าช่างของฝ่ายบำรุงรักษาที่ได้ช่วยในเรื่องการติดตั้งและการเดินสายไฟฟ้าที่ใช้ในการปรับปรุง

สุดท้ายนี้ขอขอบคุณ คุณแม่ที่ให้กำลังใจ, คุณแผล และ คอยเตือนให้รีบทำวิทยานิพนธ์ให้สำเร็จโดยเร็ว จะได้ไม่ต้องคอยกังวลในเรื่องนี้ ขอขอบคุณจริงๆ ครับ

อรรถพล ปิ่นโกคินทร์

25 มีนาคม 2544

สถาบันวิทยบริการ
จุฬาลงกรณ์มหาวิทยาลัย

สารบัญ

| | หน้า |
|--|------|
| บทคัดย่อ ภาษาไทย..... | ง |
| บทคัดย่อ ภาษาอังกฤษ..... | จ |
| กิตติกรรมประกาศ..... | ฉ |
| สารบัญรูป..... | ญ |
| สารบัญตาราง..... | ฐ |
| บทที่ 1 บทนำ | |
| 1.1. ความเป็นมาและความสำคัญของปัญหา..... | 1 |
| 1.2. ปัญหาของโรงงานประกอบรถยนต์ตัวอย่าง..... | 2 |
| 1.3. วัตถุประสงค์ของโครงการวิจัย..... | 5 |
| 1.4. ขอบเขตของโครงการวิจัย..... | 5 |
| 1.5. วิธีดำเนินงานวิจัย..... | 5 |
| 1.6. ประโยชน์ที่คาดว่าจะได้รับ..... | 6 |
| บทที่ 2 เอกสารและงานวิจัยที่เกี่ยวข้อง | |
| 2.1. คุณสมบัติไฮโครเมตริกของอากาศ..... | 7 |
| 2.2. กระบวนการควบคุมแบบป้อนกลับ PROPORTIONAL INTEGRAL DEIVATIVE (PID)..... | 24 |
| 2.3. การควบคุมแบบพีซีแอลจิก..... | 31 |
| บทที่ 3 วิธีดำเนินการวิจัย | |
| 3.1. การศึกษาแบบปรับอากาศสำหรับห้องพ่นสีของโรงงานตัวอย่าง..... | 37 |
| 3.2. การออกแบบการปรับปรุงระบบปรับอากาศ..... | 38 |
| 3.3. การสรุปงบประมาณโครงการ..... | 38 |
| 3.4. การสรุปรายงานนำเสนอเพื่อขออนุมัติ..... | 39 |
| 3.5. การจัดหาวัสดุอุปกรณ์ที่จำเป็นในการปรับปรุง..... | 39 |
| 3.6. การดำเนินการปรับปรุงระบบปรับอากาศ..... | 39 |
| 3.7. การทดสอบระบบที่ปรับปรุงแล้ว..... | 39 |

หน้า

| | |
|---|----|
| 3.8. การวิเคราะห์ผลการปรับปรุง..... | 40 |
| 3.9. การสรุปรายงานเพื่อนำเสนอ | 40 |
| บทที่ 4 หลักการทำงานของกระบวนการปรับอากาศสำหรับห้องพ่นสีของโรงงานตัวอย่าง | |
| 4.1. การทำงานของกระบวนการปรับอากาศสำหรับห้องพ่นสีของโรงงานตัวอย่าง..... | 41 |
| 4.2. ลำดับขั้นตอนการทำงานของกระบวนการปรับอากาศ..... | 47 |
| 4.3. กระบวนการปรับอากาศบนแผนภูมิไซโคเมตริก..... | 48 |
| 4.4. ปัญหาของระบบปรับอากาศ | 49 |
| บทที่ 5 การออกแบบและปรับปรุงระบบปรับอากาศสำหรับห้องพ่นสีของโรงงานตัวอย่าง | |
| 5.1. แนวคิดในการออกแบบปรับปรุงกระบวนการปรับอากาศ..... | 54 |
| 5.2. การออกแบบการปรับปรุงกระบวนการปรับอากาศ..... | 56 |
| 5.3. อุปกรณ์ที่ใช้ในการปรับปรุงกระบวนการปรับอากาศ..... | 63 |
| 5.4. เงื่อนไขที่ใช้ในการปรับปรุงกระบวนการปรับอากาศ..... | 65 |
| 5.5. แผนการติดตั้งอุปกรณ์และการปรับปรุงโปรแกรมควบคุม..... | 68 |
| 5.6. การติดตั้งอุปกรณ์และการปรับปรุงโปรแกรมควบคุม..... | 69 |
| 5.7. การทดลองระบบ..... | 71 |
| บทที่ 6 ประเมินผลการปรับปรุงกระบวนการปรับอากาศ | |
| 6.1. การทำงานของกระบวนการปรับอากาศหลังการปรับปรุง..... | 72 |
| บทที่ 7 สรุปผลการศึกษา | |
| 6.2. สรุปผลการปรับปรุงกระบวนการปรับอากาศ..... | 79 |
| 6.3. ปัญหาการปรับปรุงกระบวนการปรับอากาศ..... | 81 |
| 6.4. ข้อเสนอแนะการปรับปรุงกระบวนการปรับอากาศ..... | 82 |
| รายการอ้างอิง..... | 83 |
| ภาคผนวก ก. ประวัติการเสียของกระบวนการปรับอากาศ..... | 84 |
| ภาคผนวก ข. แบบไฟฟ้าระบบควบคุมกระบวนการปรับอากาศ..... | 87 |
| ภาคผนวก ค. โปรแกรม PLC ระบบควบคุมกระบวนการปรับอากาศ..... | 91 |

หน้า

| | |
|---|-----|
| ภาคผนวก ง. คุณสมบัติของ MITSUBISHI PLC..... | 109 |
| ภาคผนวก จ. คุณสมบัติของ Yamatake SDC200 DigitroniK Digital Indicating Controller... | 124 |
| ประวัติผู้เขียนวิทยานิพนธ์..... | 139 |



สถาบันวิทยบริการ
จุฬาลงกรณ์มหาวิทยาลัย

สารบัญรูป

| รูปที่ | หน้า |
|--|------|
| บทที่ 1 | |
| รูปที่ 1.1 แผนภูมิแสดงการหยุดผลิตเนื่องจากระบบปรับอากาศ..... | 3 |
| รูปที่ 1.2 ผลการทำงานของกระบวนการปรับอากาศในเดือน ธันวาคม พศ 2542..... | 3 |
| รูปที่ 1.3 โครงสร้างของระบบปรับอากาศ (Air Supply Unit) สำหรับห้องพ่นสี..... | 4 |
| บทที่ 2 | |
| รูปที่ 2.1 แผนภูมิไซโครเมตริก (อ้างอิงจาก บ.เอ็มแอนด์อีจก,2531)..... | 14 |
| รูปที่ 2.2 ตัวอย่างกระบวนการไซโคเมตริกต่างๆ (อ้างอิงจาก อัครเดช, 2537)..... | 15 |
| รูปที่ 2.3 กระบวนการให้ความร้อนสัมผัส (อ้างอิงจาก อัครเดช, 2537)..... | 16 |
| รูปที่ 2.4 กระบวนการให้ความเย็นสัมผัส (อ้างอิงจาก อัครเดช, 2537)..... | 18 |
| รูปที่ 2.5 กระบวนการเอโดอาแบติคิมตัว (อ้างอิงจาก อัครเดช, 2537)..... | 19 |
| รูปที่ 2.6 แสดงกระบวนการที่ทำให้อากาศอิมตัว (อ้างอิงจาก อัครเดช, 2537)..... | 20 |
| รูปที่ 2.7 กระบวนการให้ความเย็นและการลดความชื้น (อ้างอิงจาก อัครเดช, 2537)..... | 20 |
| รูปที่ 2.8 แสดงการรวมกันของอากาศภายในท่อ (อ้างอิงจาก อัครเดช, 2537)..... | 23 |
| รูปที่ 2.9 โครงสร้างของกระบวนการควบคุม (ดัดแปลงจาก สุดาทิป, 2540)..... | 25 |
| รูปที่ 2.10 การตอบสนองของตัวควบคุมแบบปิดเปิด(ดัดแปลงจาก สุดาทิป, 2540)..... | 26 |
| รูปที่ 2.11 การตอบสนองของการควบคุมแบบ PROPORTIONAL(ดัดแปลงจาก สุดาทิป, 2540)..... | 27 |
| รูปที่ 2.12 การตอบสนองของการควบคุมแบบ PROPORTIONAL-INTEGRAL (ดัดแปลงจาก สุดาทิป, 2540)..... | 28 |
| รูปที่ 2.13 การควบคุมและการบริหารโรงงานยุคใหม่ (ดัดแปลงจาก สหัส, 2540)..... | 31 |
| รูปที่ 2.14 การควบคุมของผลิตภัณฑ์ขั้นสุดท้ายที่ต้องทำอย่างรัดกุม (ดัดแปลงจาก สหัส, 2540)..... | 34 |
| รูปที่ 2.15 แสดงการแก้ปัญหาในเรื่องของ PROCESS UPSET (ดัดแปลงจาก สหัส, 2540)..... | 36 |
| บทที่ 3 | |
| รูปที่ 3.2 แผนภูมิการทำงานของการทำโครงการวิจัย..... | 37 |
| บทที่ 4 | |
| รูปที่ 4.1 โครงสร้างของระบบปรับอากาศ..... | 41 |
| รูปที่ 4.2 การกรองอากาศแบบเคลื่อนที่อัตโนมัติ..... | 42 |
| รูปที่ 4.3 กระบวนการเอโดอาแบติคิมตัวและกระบวนการให้ความเย็นสัมผัส..... | 43 |
| รูปที่ 4.4 แผนภูมิความสัมพันธ์การเปิดปิดไอน้ำและน้ำเย็นเพื่อควบคุมค่า DP..... | 44 |

| รูปที่ | หน้า |
|--|------|
| รูปที่ 4.5 กระบวนการให้ความร้อนสัมผัส..... | 44 |
| รูปที่ 4.6 กระบวนการเอไดอาแบติกโดยใช้ไอน้ำร้อน..... | 46 |
| รูปที่ 4.7 พัดลมแบบเซ็นตริฟูกอล ชนิด ใบพัดแอร์ฟรอยล์..... | 46 |
| รูปที่ 4.8 แผนภูมิการทำงานของกระบวนการปรับอากาศ..... | 47 |
| รูปที่ 4.9 กระบวนการปรับอากาศในกรณีที่เอนทัลปีของอากาศภายนอกสูงกว่าค่าเป้าหมาย..... | 48 |
| รูปที่ 4.10 กระบวนการปรับอากาศในกรณีที่เอนทัลปีของอากาศภายนอกต่ำกว่าค่าเป้าหมาย..... | 49 |
| รูปที่ 4.11 กระบวนการปรับอากาศที่ไม่ได้ตามค่าเป้าหมาย | 50 |
| รูปที่ 4.12 การค้นหาสาเหตุของปัญหา..... | 51 |
| บทที่ 5 | |
| รูปที่ 5.1 การควบคุมค่าอุณหภูมิจุดน้ำค้าง และค่าอุณหภูมิกระเปาะแห้งก่อนการปรับปรุง..... | 56 |
| รูปที่ 5.2 แนวทางการปรับปรุงระบบควบคุมกระบวนการปรับอากาศ..... | 57 |
| รูปที่ 5.3 กระบวนการปรับอากาศก่อนการปรับปรุง..... | 57 |
| รูปที่ 5.4 กระบวนการปรับอากาศหลังการปรับปรุง..... | 58 |
| รูปที่ 5.5 การทำงานของระบบควบคุมกระบวนการปรับอากาศหลังการปรับปรุง..... | 58 |
| รูปที่ 5.6 แสดงค่าความดันไอน้ำที่ได้จากการคำนวณและจากตารางค่าความดันไอน้ำ..... | 60 |
| รูปที่ 5.7 แสดงการเปลี่ยนค่าเป้าหมายของตัวควบคุมแบบ PID..... | 62 |
| รูปที่ 5.8 ตัวควบคุมแบบ PID และการเปลี่ยนค่าเป้าหมาย..... | 63 |
| รูปที่ 5.9 MITSUBISHI PLC..... | 64 |
| รูปที่ 5.10 YAMATAKE DEW POINT SENSOR AND HUMIDITY SENSOR..... | 65 |
| รูปที่ 5.11 แผนภูมิการลงทุนและผลตอบแทน..... | 68 |
| รูปที่ 5.12 ตู้ควบคุม PLC และกระบวนการปรับอากาศ..... | 69 |
| รูปที่ 5.13 การเดินสายไฟกับ PLC ในตู้ควบคุม PLC..... | 70 |
| รูปที่ 5.14 การเดินสายไฟที่ตัวควบคุมแบบ PID..... | 70 |
| บทที่ 6 | |
| รูปที่ 6.1 ค่าเป้าหมายของกระบวนการปรับอากาศหลังการปรับปรุง..... | 72 |
| รูปที่ 6.2 แสดงการทำงานของกระบวนการปรับอากาศเมื่อเอนทัลปีของอากาศภายนอก อยู่ในช่วงค่าเป้าหมายแบบสูง..... | 73 |
| รูปที่ 6.3 แสดงการทำงานของกระบวนการปรับอากาศเมื่อเอนทัลปีของอากาศภายนอก อยู่ในช่วงค่าเป้าหมายแบบกลาง..... | 74 |

รูปที่

หน้า

| | |
|---|----|
| รูปที่ 6.4 แสดงการทำงานของกระบวนการปรับอากาศเมื่อเอนทาลปีของอากาศภายนอก อยู่ในช่วงค่าเป้าหมายแบบต่ำ..... | 75 |
| รูปที่ 6.5 ผลการทำงานของกระบวนการปรับอากาศก่อนทำการปรับปรุงเดือนพฤศจิกายน พ.ศ.2543.. | 76 |
| รูปที่ 6.6 ผลการทำงานของกระบวนการปรับอากาศหลังทำการปรับปรุงเดือนธันวาคม พ.ศ.2543..... | 77 |
| รูปที่ 6.7 ผลการทำงานของกระบวนการปรับอากาศหลังทำการปรับปรุงเดือนมกราคม พ.ศ.2544..... | 77 |
| บทที่ 7 | |
| รูปที่ 7.1 แผนภูมิแสดงการหยุดผลิตของห้องพ่นสีโรงงานตัวอย่าง..... | 80 |



สถาบันวิทยบริการ
จุฬาลงกรณ์มหาวิทยาลัย

สารบัญตาราง

| ตารางที่ | หน้า |
|--|------|
| บทที่ 2 | |
| ตารางที่ 2.1 คุณสมบัติของน้ำและไอน้ำ (อ้างอิงจาก อัครเดช, 2537)..... | 8 |
| บทที่ 5 | |
| ตารางที่ 5.1 เปรียบเทียบการปรับปรุงกระบวนการปรับอากาศ..... | 55 |
| ตารางที่ 5.2 งบประมาณในการจัดหาวัสดุอุปกรณ์..... | 66 |
| ตารางที่ 5.3 งบประมาณของค่าแรงงาน..... | 66 |
| ตารางที่ 5.4 ผลการทดสอบระบบควบคุม..... | 71 |
| บทที่ 7 | |
| ตารางที่ 7.1 เปรียบเทียบระบบควบคุมกระบวนการปรับอากาศแบบเดิมกับแบบใหม่..... | 80 |

สถาบันวิทยบริการ
จุฬาลงกรณ์มหาวิทยาลัย

บทที่ 1

บทนำ

1.1 ความเป็นมาและความสำคัญของปัญหา

รถยนต์เป็นพาหนะที่มีความจำเป็นมากขึ้นในปัจจุบันทุกคนต้องการมีรถยนต์ไว้ในครอบครองเพื่อความสะดวกสบายทำให้ตลาดการขายรถยนต์มีการแข่งขันกันมาก บริษัทผู้ผลิตรถยนต์ต้องพยายามลดต้นทุนการผลิตให้มากที่สุด โดยมีประสิทธิภาพมากที่สุด และคุณภาพดีที่สุดในที่ที่จะสามารถแข่งขันกับคู่แข่งต่างๆได้ ในประเทศไทยส่วนใหญ่จะเป็นการประกอบรถยนต์ที่ใช้เทคโนโลยีจากต่างประเทศ ตั้งแต่การผลิตแม่พิมพ์ เพื่อขึ้นรูปชิ้นส่วนตัวถัง การเชื่อมตัวถังแบบจุด (Spot Welding) โดยคน หรือ หุ่นยนต์ (Robot) โดยมีอุปกรณ์จับยึดที่เรียกว่า จิ๊ก (JIG & FIGER) ช่วยให้สามารถประกอบตัวถังรถได้ถูกต้องแม่นยำขึ้น ในกระบวนการพ่นสีตัวถังรถยนต์จะต้องมีการชุบรถทั้งคันในสีกันสนิมโดยใช้ระบบการชุบแบบ อีออนไฟฟ้า ที่เรียกกันว่า EDP ต่อจากนั้นก็นำไปทำการยาอุดรอยรั่วต่างๆ บางโรงงานก็จะมีการพ่นใต้ท้องรถกันหินกระแทก แล้วจึงนำไปพ่นสีรองพื้น และพ่นสีชั้นนอกเป็นสีชั้นสุดท้าย ในการพ่นสีนั้นอาจนำเอาระบบการพ่นสีด้วยอีออนไฟฟ้ามาใช้เพื่อลดปริมาณการใช้สี ซึ่งสามารถทำให้สีไปเกาะที่ตัวรถได้ถึง 60%-90% ขึ้นอยู่กับชนิดของอุปกรณ์ที่ใช้ ในขณะที่การพ่นสีแบบธรรมดาอาจได้ประสิทธิภาพเพียง 30%-50% เท่านั้น ต่อจากนั้นจึงนำไปประกอบกับชิ้นส่วนย่อยที่มีรายการมากกว่าเจ็ดพันชิ้นส่วน ซึ่งรถแต่ละรุ่นก็จะใช้ชิ้นส่วนที่ต่างกันด้วยจึงจำเป็นต้องมีการใช้การจัดกลุ่มชิ้นส่วน (Group Technology) การป้องกันการประกอบผิดพลาดเช่นระบบแจ้งเตือนต่างๆ มาช่วย

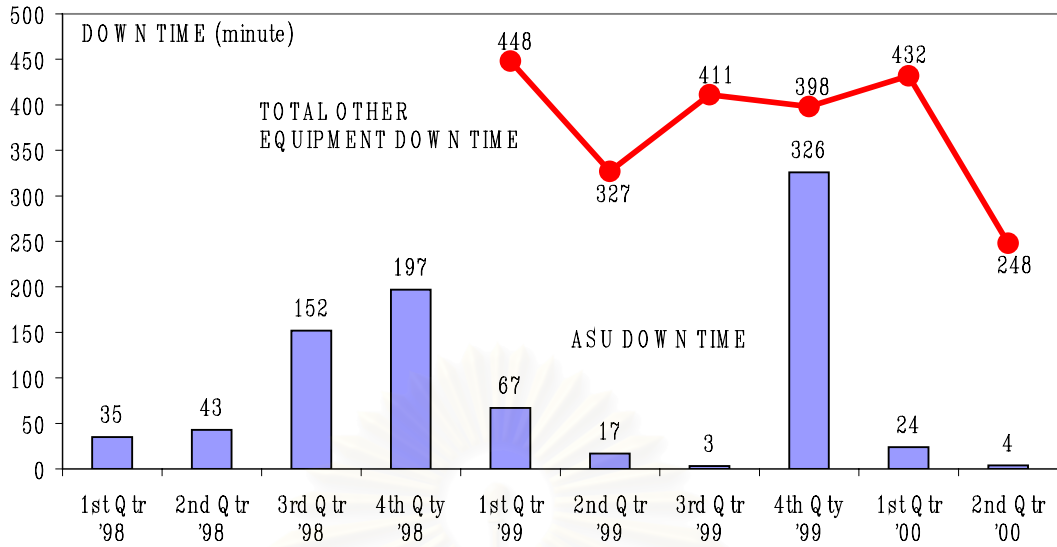
จากที่กล่าวมาจะเห็นว่ากระบวนการประกอบรถยนต์มีความซับซ้อนอย่างมาก การที่จะทำการลดต้นทุนการผลิตโดยการลดต้นทุนด้านงานซ่อมบำรุง ในขณะที่ยังคงให้มี ประสิทธิภาพ และ คุณภาพ ไว้โดยมองภาพรวมเป็นการยากที่จะทำได้แต่ก็สามารถที่จะทำได้โดย การศึกษาในแต่ละกระบวนการประกอบรถยนต์ต่างๆ เป็นกระบวนการย่อยๆ ในกระบวนการพ่นสีทุกกระบวนการมีความสำคัญ และมีผลต่อคุณภาพเท่าๆกันแต่ในกระบวนการพ่นสีชั้นสุดท้ายเป็นกระบวนการที่มีค่าใช้จ่ายในการซ่อมงาน มากที่สุดเพราะเป็นขบวนการขั้นสุดท้ายในการพ่นสี ซึ่งตัวรถจะต้องผ่านกระบวนการอื่นทั้งหมดมาแล้ว สภาพแวดล้อมในการผลิตมีผลโดยตรงกับคุณภาพโดยเฉพาะอุณหภูมิ และ ความชื้น ในห้องพ่นสี เพราะงานพ่นสีเป็นเหมือนงานฝีมือที่จำเป็นต้องใช้สภาวะแวดล้อมที่เหมาะสมที่สุดในการสร้างสรรค์ ถ้าสภาวะแวดล้อมในการทำงานไม่ได้ตามมาตรฐานอาจจำเป็นต้องหยุดการผลิตเพื่อรักษาคุณภาพของงาน ในส่วนของเครื่องจักรที่ทำหน้าที่ในการปรับสภาพอุณหภูมิ และ ความชื้น หากเกิดการสึกหรอหรือเสียหายตามเวลาที่ใช้งาน ซึ่งถ้าเครื่องจักรเกิดหยุดกะทันหัน (Breakdown) ก็จะทำให้งานเสียหายต้องหยุดการผลิตได้ เช่นถ้าอุปกรณ์ควบคุมของระบบปรับอากาศเกิดขัดข้อง อาจทำให้ อุณหภูมิในห้องพ่นสีสูงมากเกินไปจนทำให้เกิดอาการ สีไหล ที่ชิ้นงานก็ต้องทำการซ่อม งานนั้น และต้องเสียเวลาในการซ่อมเครื่องจักรอีกด้วย นอกจากนี้ยังต้องมีการทำการจัดการงานซ่อมบำรุง เพื่อให้สามารถรักษา มาตรฐานในการผลิตได้ด้วย

1.2 ปัญหาของโรงงานประกอบรถยนต์ตัวอย่าง

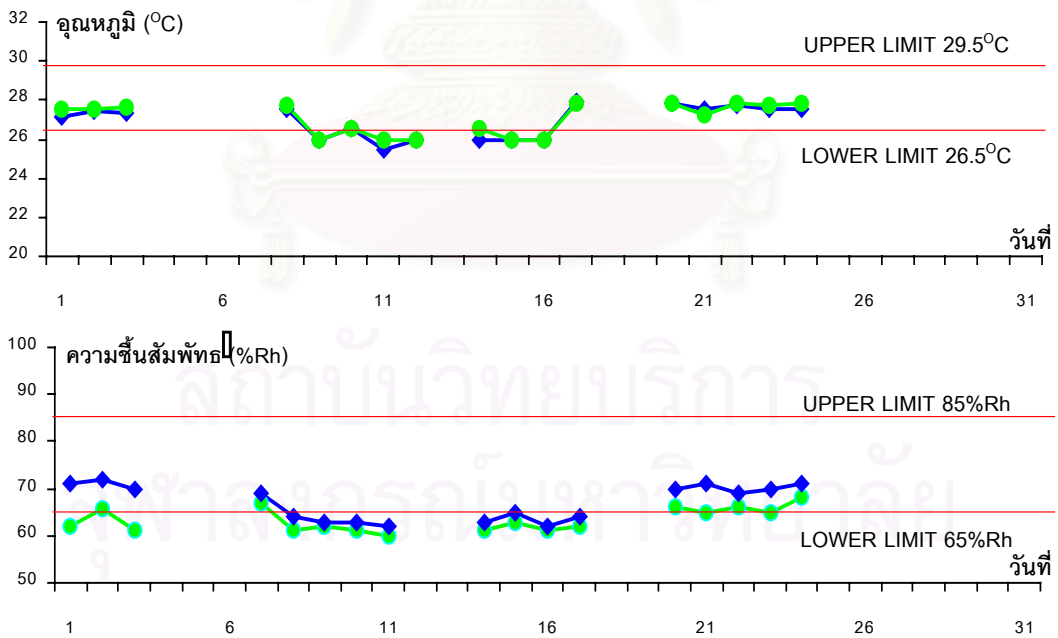
กระบวนการพ่นสีในอุตสาหกรรมการผลิตรถยนต์ มีความสำคัญต่อตัวผลิตภัณฑ์มาก เพราะว่าสีของรถเป็นปัจจัยในอันดับต้นๆของการตัดสินใจซื้อ ในทางเทคนิคสีที่เคลือบผิวรถเป็นเกราะป้องกันสนิมให้กับตัวถังรถ ทำให้ตัวถังรถมีความทนทานต่อสภาพการใช้งานต่างๆได้ อุณหภูมิ และ ความชื้น และ อัตราการไหลของอากาศภายในห้องพ่นสีมีผลกระทบโดยตรงกับคุณภาพของสีบนผิวงานที่ทำการพ่นเคลือบ เช่น ถ้าอุณหภูมิสูงเกินกว่า 30° เซลเซียส จะทำให้สีที่พ่นไปที่ผิวงานมีความหนืดต่ำกว่าปรกติคือค่าความหนืดต่ำกว่า 18 วินาที ทำให้สีที่ยังไม่แห้งไม่สามารถเกาะตัวอยู่บนผิวงานที่มีความลาดเอียงได้ทำให้เกิดจุดเสียที่เรียกกันว่า “สีไหล” หรือ ถ้าความชื้นภายในห้องพ่นสีสูงเกินไปก็จะทำให้สารทำละลายของสี (THINER) มีอัตราการระเหยตัวทำให้เกิดชั้นไอน้ำที่ผิวหน้าของสีเคลือบเป็นผลให้ผิวหน้าสีเคลือบไม่เรียบทำให้เกิดอาการ “สีฝ้า” คือผิวของสีไม่มีความเงางาม เป็นต้น

กระบวนการพ่นสีของโรงงานประกอบรถยนต์ ที่ทำการศึกษาค้นคว้า มีการหยุดผลิตเนื่องมาจาก ระบบปรับอากาศ(AIR SUPPLY UNIT) สำหรับห้องพ่นสี ไม่สามารถปรับอุณหภูมิ และ ความชื้น ให้ได้ตามมาตรฐานของห้องพ่นสีที่กำหนด คือ อุณหภูมิอยู่ระหว่าง 26° เซลเซียส ถึง 29° เซลเซียส และ ความชื้นสัมพัทธ์อยู่ระหว่าง 65%Rh ถึง 85%Rh แต่เนื่องจากการออกแบบระบบปรับอากาศให้สามารถปรับสภาวะของอากาศภายนอกมีค่าขึ้นพลังงาน หรือ เอนทาลปี (ENTROPY) อยู่ระหว่าง 46 kJ/kg ถึง 91 kJ/kg ให้อยู่ในค่าที่กำหนดดังกล่าวได้ ดังนั้นเมื่อสภาวะอากาศภายนอกมีค่า เอนทาลปี ต่ำกว่า หรือ สูงกว่า ที่ออกแบบระบบให้สามารถทำการปรับสภาพอากาศได้ จึงจำเป็นต้องหยุดผลิตนานถึง 28 นาทีโดยเฉลี่ยต่อเดือน เพื่อรอให้สภาพอากาศภายนอกอยู่ในชั้นพลังงานที่สามารถปรับสภาพได้ เสียก่อน โดยเฉพาะในเวลาเช้าของเดือนธันวาคมที่มีอากาศมีอุณหภูมิและความชื้นต่ำ คือ เอนทาลปี ต่ำกว่า 46 kJ/kg หรือในเวลาบ่ายของเดือนเมษายน ที่อากาศมีอุณหภูมิและความชื้นสูง คือ เอนทาลปี สูงกว่า 91 kJ/kg จากการศึกษาในขั้นต้นพบว่าสาเหตุของปัญหา คือ พลังงาน (ไอน้ำ และ น้ำเย็น) ไม่พอเพียงสำหรับระบบปรับอากาศทำการปรับอากาศในสภาพดังกล่าวให้ได้ตามค่ามาตรฐานที่กำหนดอยู่ที่ค่าควบคุมค่าเดียวคือ อุณหภูมิ 28° เซลเซียส ความชื้นสัมพัทธ์ 85%Rh จากสภาพการณ์ดังกล่าวนี้ทำให้บริษัทเกิดความสูญเสียขึ้นอย่างมากทั้งความสูญเสียทางตรงในการหยุดผลิต และความสูญเสียทางอ้อมในการเสียโอกาสในการผลิตและการขาย โดยมีสถิติข้อมูลของการหยุดผลิตเนื่องจากปัญหาดังกล่าวตามเอกสารแนบท้าย

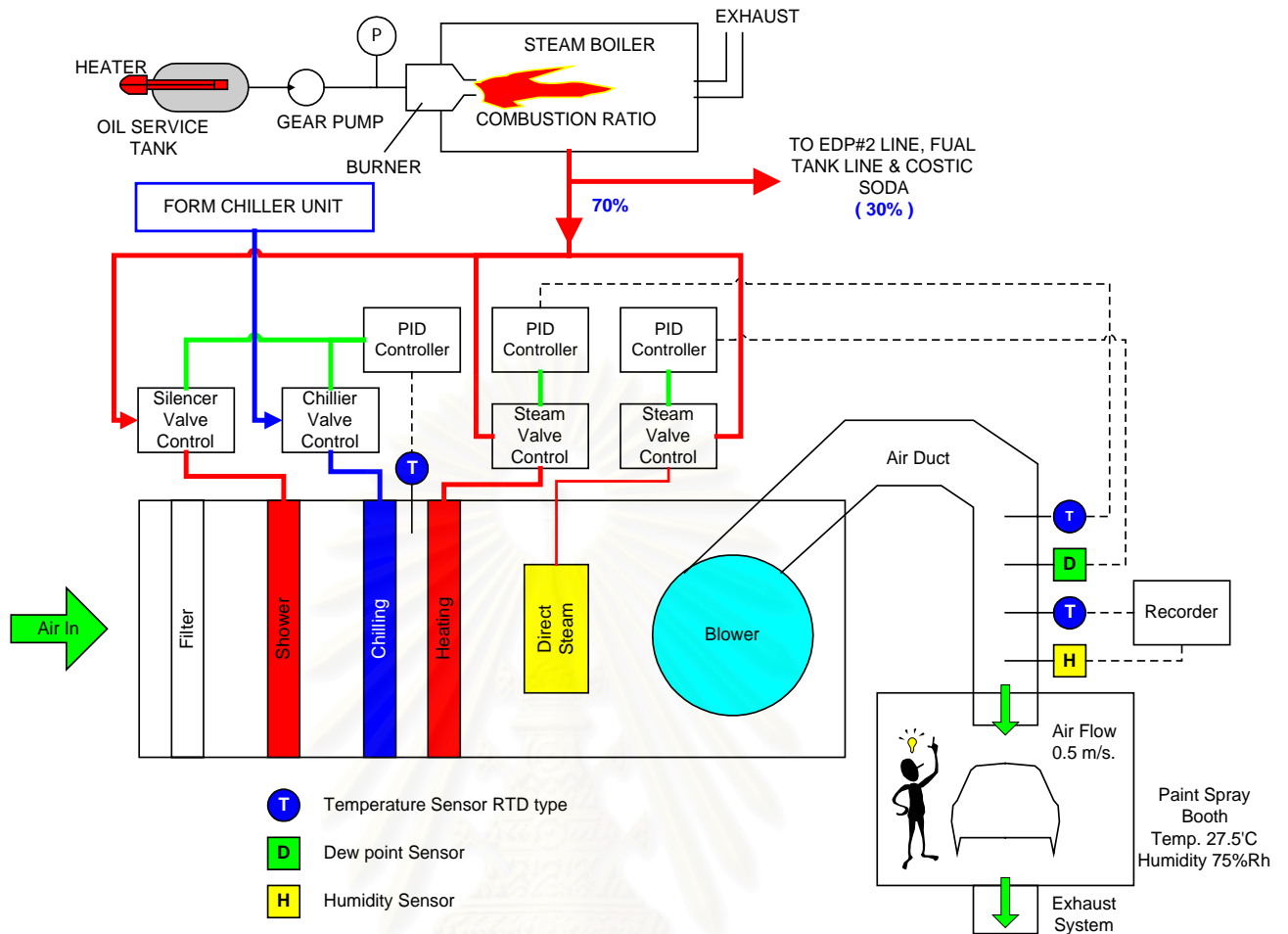
จากปัญหาดังกล่าวบริษัทได้ทำการศึกษาเพื่อแก้ปัญหานั้น ซึ่งผลของการศึกษาพบว่าปัญหาดังกล่าวเกิดขึ้นจากระบบควบคุมการปรับอากาศซึ่งเป็นระบบควบคุมแบบป้อนกลับ หรือ ที่เรียกว่าระบบควบคุมแบบ PID มีค่ากำหนด (SET POINT) ได้ค่าเดียว คือตั้งค่าที่ อุณหภูมิ 28° เซลเซียส ความชื้นสัมพัทธ์ 85%Rh เมื่อระบบไม่สามารถทำการปรับสภาพอากาศได้ถึงค่าที่กำหนดทำให้ไม่สามารถทำการผลิตได้



รูปที่ 1.1 แผนภูมิแสดงการหยุดผลิตเนื่องจากระบบปรับอากาศ



รูปที่ 1.2 ผลการทำงานของกระบวนการปรับอากาศในเดือน ธันวาคม พศ 2542



รูปที่ 1.3 โครงสร้างของระบบปรับอากาศ (Air Supply Unit) สำหรับห้องพ่นสี

จากปัญหาที่เกิดขึ้นนี้ในทางปฏิบัติจริงอุณหภูมิภายในห้องพ่นสีมีผลกระทบต่อคุณภาพของงานพ่นสีมาก กว่าความชื้นสัมพัทธ์ เพราะจากประสบการณ์ที่ผ่านมาเมื่อเกิดปัญหากระบวนการปรับอากาศไม่สามารถที่จะปรับอากาศได้ตามมาตรฐาน โดยเมื่อทั้งอุณหภูมิและความชื้นสัมพัทธ์ต่ำกว่าค่ากำหนด ซึ่งโดยปกติจะเกิดขึ้นพร้อมกันทั้งอุณหภูมิและความชื้นเมื่อนำรถเข้าพ่นในสภาวะดังกล่าวจะทำให้เกิดผิวสีหยาบซึ่งเป็นผลของอุณหภูมิต่ำกว่าค่ากำหนด และเมื่อค่าอุณหภูมิสูงกว่าค่ากำหนดซึ่งโดยปกติค่าความชื้นสัมพัทธ์จะไม่สูงตามไปด้วยคืออยู่ในช่วงที่ยอมรับได้ถ้านำรถเข้าพ่นสีปัญหาที่เกิดขึ้นคือปัญหาสีไหลซึ่งเป็นผลมาจากอุณหภูมิสูง แต่ในกรณีที่ทั้งอุณหภูมิและความชื้นสัมพัทธ์สูงกว่าค่ากำหนดปัญหาที่เกิดขึ้นจะเกิดทั้งสีไหลและสีเป็นฝ้า

ส่วนปัญหาในการควบคุมกระบวนการปรับอากาศสำหรับห้องพ่นสีโดยมากที่เกิดการหยุดผลิตจะเกิดจากการที่ไม่สามารถที่จะทำการปรับความชื้นสัมพัทธ์ภายในห้องพ่นสีให้อยู่ในค่าที่กำหนดได้ แต่ กระบวนการสามารถที่ปรับอุณหภูมิให้อยู่ในช่วงที่กำหนดได้

1.3 วัตถุประสงค์ของโครงการวิจัย

เพื่อออกแบบและปรับปรุงระบบควบคุมระบบปรับอากาศของห้องพ่นสีขั้นสุดท้ายของโรงงานประกอบรถยนต์ตัวอย่างให้สามารถทำการปรับอากาศให้อยู่ในค่าที่กำหนดได้เพื่อลดการหยุดผลิตของห้องพ่นสีโรงงานประกอบรถยนต์ตัวอย่าง

1.4 ขอบเขตของโครงการวิจัย

โครงการนี้จะทำการศึกษาวิจัยการปรับปรุงของระบบปรับอากาศสำหรับห้องพ่นสีขั้นสุดท้าย 2 ระบบ (Air Supply Unit for Top Coat Booth Unit A, Unit B) ซึ่งเป็นงานของแผนกซ่อมบำรุง ของโรงงานประกอบรถยนต์ตัวอย่าง

1.5 วิธีดำเนินการวิจัย

วิธีทางในการดำเนินงานของโครงการวิจัยแบ่งออกเป็น 3 ขั้นตอนดังนี้

- 1) ออกแบบ การปรับปรุงระบบปรับอากาศ
- 2) ดำเนินการปรับปรุงระบบปรับอากาศ
- 3) วัดผลการทำงานของระบบปรับอากาศ

ขั้นตอนที่ 1 ออกแบบการปรับปรุงระบบ ปรับอากาศ

- 1) ทำการศึกษาระบบปรับอากาศ ในสภาพปัจจุบันก่อนทำการปรับปรุง เพื่อค้นหาแนวทางของการออกแบบและคำนวณ
- 2) ทำการออกแบบ และ คำนวณระบบที่จะทำการปรับปรุง
- 3) ประมาณการต้นทุนของแต่ละโครงการที่จะต้องทำการปรับปรุง
- 4) สรุปงบประมาณ และ ความคุ้มค่าของโครงการ
- 5) สรุปเป็นรายงานเพื่อขออนุมัติจากผู้บริหาร

ขั้นตอนที่ 2 ดำเนินการปรับปรุงระบบ ปรับอากาศ

- 1) จัดหาวัสดุอุปกรณ์ที่จำเป็นในการปรับปรุงระบบปรับอากาศ
- 2) ดำเนินการปรับปรุง ซ่อมแซม หรือ ติดตั้งอุปกรณ์ต่างๆตามแบบที่ทำได้
- 3) ทดสอบระบบที่ทำการปรับปรุงแล้ว

ขั้นตอนที่ 3 วัดผลการทำงานของระบบ ปรับอากาศ

- 1) นำผลที่บันทึกได้มาทำการวิเคราะห์ผล
- 2) สรุปรายงานเพื่อนำเสนอ

1.6 ประโยชน์ที่คาดว่าจะได้รับ

1. ช่วยให้เข้าใจระบบปรับอากาศของห้องพ่นสี ทำให้สามารถวางแผนงานซ่อมบำรุงดูแลรักษาได้อย่างมีประสิทธิภาพ
2. เป็นต้นแบบของการนำการวิจัยอย่างเป็นระบบมาใช้ในการตัดสินใจลงทุนในโครงการของบริษัทให้มีความคุ้มค่าทางเศรษฐศาสตร์
3. ลดค่าใช้จ่ายในการหยุดผลิตเนื่องมาจากสภาพอากาศภายในห้องพ่นสีอยู่นอกการควบคุม
4. ลดการเกิดของเสียอันเนื่องมาจากสภาพอากาศภายในห้องพ่นสีอยู่นอกการควบคุม
5. เพิ่มประสิทธิโดยรวม (Over All Effectiveness) ของระบบการผลิต



สถาบันวิทยบริการ
จุฬาลงกรณ์มหาวิทยาลัย

บทที่ 2

เอกสารและงานวิจัยที่เกี่ยวข้อง

แนวคิดและทฤษฎี

ในกระบวนการปรับอากาศที่มีขนาดใหญ่ดังเช่นกระบวนการปรับอากาศของโรงงานตัวอย่างจำเป็นจะต้องใช้ความรู้คุณสมบัติไฮโครเมตริกของอากาศ และ ความรู้ในเรื่องการควบคุมกระบวนการ ซึ่งคุณสมบัติไฮโครเมตริกของอากาศจะกล่าวถึงส่วนประกอบหลักของอากาศ คืออากาศแห้ง และ ไอน้ำในอากาศ ส่วนประกอบทั้ง 2 ส่วนนี้มีผลต่อการปรับอากาศโดยตรง ซึ่ง ผศ. สุรพล พฤษพานิช (2529) ได้กล่าวถึงคุณสมบัติไฮโครเมตริกของอากาศในหนังสือ การปรับอากาศ หลักการและระบบ และ อัครเดช สิ้นธุภาค (2537) ในหนังสือ การทำความเย็น ไว้ดังนี้

2.1 คุณสมบัติไฮโครเมตริกของอากาศ

2.1.1. ส่วนประกอบของอากาศ (COMPOSITION OF AIR)

อากาศเป็นส่วนผสมทางกลของก๊าซและไอน้ำ อากาศแห้ง (อากาศที่ไม่มีไอน้ำ) ส่วนใหญ่ประกอบด้วยไนโตรเจน (ประมาณ 78% โดยปริมาตร) และออกซิเจน (ประมาณ 21% ส่วนที่เหลือ 1% ประกอบด้วยคาร์บอนไดออกไซด์ และก๊าซอื่น ๆ เช่น ไฮโดรเจน ฮีเลียม นีออน และอาร์กอน ส่วนประกอบอากาศทั่ว ๆ ไปก็เป็นไปตามนี้ในบางกรณีจำนวนไอน้ำในอากาศ จะเปลี่ยนแปลงอย่างมากกับสถานที่และสภาวะอากาศ โดยปกติจะมีปริมาณอยู่ 1% ถึง 3% โดยมวล เพราะว่าไอน้ำในอากาศเป็นผลขั้นแรกจากการระเหยกลายเป็นไอของน้ำ ความชื้นของบรรยากาศ (จำนวนไอน้ำในอากาศ)จะมีมากน้อยก็จะขึ้นอยู่กับสถานที่ถ้าใกล้แหล่งน้ำธรรมชาติในบรรยากาศก็จะมีค่ามากกว่าที่อยู่ไกลจากแหล่งน้ำ

เพราะว่าอากาศในธรรมชาติจะมีปริมาณไอน้ำปนอยู่ไม่มีอากาศแห้ง แต่อย่างไรก็ตาม “อากาศแห้ง” เป็นประโยชน์อย่างมากอันหนึ่งในการคำนวณเกี่ยวกับไฮโครเมตริก ต่อไปข้างล่างนี้ คำว่า “อากาศแห้ง” จะใช้ในความหมายของอากาศที่ปราศจากไอน้ำ ส่วนคำว่า “อากาศ “ หรือ “ อากาศชื้น “ จะใช้ในความหมายส่วนผสมตามธรรมชาติของอากาศแห้งและไอน้ำ

2.1.2. กฎัดัดันของความดันย่อย (DALTON'S LAW OF PARTIAL PRESSURE)

กฎัดัดันของความดัน แสดงให้เห็นถึงผลที่ว่าส่วนผสมทางกลใด ๆ ของก๊าซและไอ (สิ่งเหล่านี้รวมตัวกันทางเคมี) ความดันที่เกิดขึ้นจะเท่ากับผลรวมของความดันของก๊าซแต่ละชนิดที่กระทำกับภาชนะที่บรรจุ

อากาศเป็นส่วนผสมทางกลของก๊าซและไอน้ำ ก็จะเป็นไปตามกฎของดัดัดัน เพราะฉะนั้นความกดดันของบรรยากาศจะเท่ากับผลรวมของความดันของก๊าซแห้งและไอน้ำ

2.1.3. อุณหภูมิจุดน้ำค้าง (DEW POINT TEMPERATURE)

สิ่งสำคัญที่ยังจำกันได้ก็คือไอน้ำในอากาศแท้ที่จริงก็คือ ไอน้ำที่ความดันต่ำ และไอน้ำที่ความดันต่ำนี้ก็เหมือนกับไอน้ำที่ความดันสูงจะอยู่ในสภาวะอิ่มตัว เมื่ออุณหภูมิที่สภาวะนั้นเป็นอุณหภูมิอิ่มตัวตรงกับความดันที่สภาวะนั้น เพราะว่าส่วนผสมทั้งหมดของส่วนผสมของก๊าซที่บรรจุอยู่ในปริมาตรที่เท่ากันและที่อุณหภูมิเดียวกัน ดังนั้นเมื่ออากาศที่อุณหภูมิใด ๆ เหนืออุณหภูมิอิ่มตัวกระทำต่อความดันของไอน้ำ เป็นผลทำให้ไอน้ำในอากาศเป็นไอระเหยวดยิ่ง ในอีกทางหนึ่งเมื่ออากาศมีอุณหภูมิเท่ากับอุณหภูมิอิ่มตัว กระทำกับความดันของไอน้ำ ไอน้ำในอากาศจะเป็นน้ำอิ่มตัว อุณหภูมิซึ่งไอน้ำในอากาศเป็นน้ำอิ่มตัวเรียกว่า อุณหภูมิจุดน้ำค้าง (DP) ของอากาศ เมื่อรู้ค่าความดันของไอน้ำ อุณหภูมิจุดน้ำค้างของอากาศสามารถที่จะคำนวณได้จากตารางไอน้ำในทางกลับกัน เมื่อรู้อุณหภูมิจุดน้ำค้างของอากาศ ความดันของไอน้ำสามารถที่จะคำนวณได้จากตารางไอน้ำเช่นเดียวกัน

จะเห็นได้ว่าความดันของไอน้ำ เป็นสัดส่วนโดยตรงกับความหนาแน่นของไอน้ำ เพราะว่าอุณหภูมิจุดน้ำค้างของอากาศจะขึ้นกับความดันของไอน้ำในอากาศเท่านั้น ในปริมาตรที่กำหนดให้ของอากาศ อุณหภูมิของจุดน้ำค้างจะขึ้นกับปริมาณมวลของไอน้ำในอากาศเท่านั้น ในขณะที่มวลของไอน้ำต่อหน่วยปริมาตรของอากาศไม่เปลี่ยนแปลง อุณหภูมิจุดน้ำค้างก็จะคงที่ด้วย การเพิ่มของจำนวนไอน้ำในอากาศจะเป็นการเพิ่มความดันไอน้ำ และอุณหภูมิจุดน้ำค้างจะเพิ่มขึ้นในทางกลับกันเมื่อจำนวนไอน้ำในอากาศลดลง ความดันไอน้ำก็จะลดลงและอุณหภูมิจุดน้ำค้างก็จะลดต่ำลง ซึ่งดูความสัมพันธ์ได้จากตารางที่ 2.1

ตารางที่ 2.1 คุณสมบัติของน้ำและไอน้ำ (อ้างอิงจาก อัครเดช, 2537)

| Temp °C | Saturation pressure 10 ⁵ Pa (bar) | Specific Volume m ³ /kg | | Enthalpy kJ/kg | | Entropy kJ/(kg·K) | |
|------------|---|---------------------------------------|-------|-------------------|--------|----------------------|--------|
| | | liquid | vapor | liquid | vapor | liquid | vapor |
| 0 | 0.006108 | 0.0010002 | 206.3 | 0.04 | 2501.6 | 0.0002 | 9.1577 |
| 2 | 0.007055 | 0.0010001 | 179.9 | 8.39 | 2505.2 | 0.0306 | 9.1047 |
| 4 | 0.008129 | 0.0010000 | 157.3 | 16.80 | 2508.9 | 0.0611 | 9.0526 |
| 6 | 0.009345 | 0.0010000 | 137.8 | 25.21 | 2512.6 | 0.0913 | 9.0015 |
| 8 | 0.010720 | 0.0010001 | 121.0 | 33.60 | 2516.2 | 0.1213 | 8.9513 |
| 10 | 0.012270 | 0.0010003 | 106.4 | 41.99 | 2519.9 | 0.1510 | 8.9020 |
| 12 | 0.014014 | 0.0010004 | 93.84 | 50.38 | 2523.6 | 0.1805 | 8.8536 |
| 14 | 0.015973 | 0.0010007 | 82.90 | 58.75 | 2527.2 | 0.2098 | 8.8060 |
| 16 | 0.018168 | 0.0010010 | 73.38 | 67.13 | 2530.9 | 0.2388 | 8.7593 |
| 18 | 0.02062 | 0.0010013 | 65.09 | 75.50 | 2534.5 | 0.2677 | 8.7135 |
| 20 | 0.02337 | 0.0010017 | 57.84 | 83.86 | 2538.2 | 0.2963 | 8.6684 |
| 22 | 0.02642 | 0.0010022 | 51.49 | 92.23 | 2541.8 | 0.3247 | 8.6241 |
| 24 | 0.02982 | 0.0010026 | 45.93 | 100.59 | 2545.5 | 0.3530 | 8.5806 |
| 26 | 0.03360 | 0.0010032 | 41.03 | 108.95 | 2549.1 | 0.3810 | 8.5379 |
| 28 | 0.03778 | 0.0010037 | 36.73 | 117.31 | 2552.7 | 0.4088 | 8.4959 |
| 30 | 0.04241 | 0.0010043 | 32.93 | 125.66 | 2556.4 | 0.4365 | 8.4546 |
| 32 | 0.04753 | 0.0010049 | 29.57 | 134.02 | 2560.0 | 0.4640 | 8.4140 |
| 34 | 0.05318 | 0.0010056 | 26.60 | 142.38 | 2563.6 | 0.4913 | 8.3740 |
| 36 | 0.05940 | 0.0010063 | 23.97 | 150.74 | 2567.2 | 0.5184 | 8.3348 |
| 38 | 0.06624 | 0.0010070 | 21.63 | 159.09 | 2570.8 | 0.5453 | 8.2962 |
| 40 | 0.07375 | 0.0010078 | 19.55 | 167.45 | 2574.4 | 0.5721 | 8.2583 |
| 42 | 0.08198 | 0.0010086 | 17.69 | 175.81 | 2577.9 | 0.5987 | 8.2209 |
| 44 | 0.09100 | 0.0010094 | 16.04 | 184.17 | 2581.5 | 0.6252 | 8.1842 |
| 46 | 0.10086 | 0.0010103 | 14.56 | 192.53 | 2585.1 | 0.6514 | 8.1481 |
| 48 | 0.11162 | 0.0010112 | 13.23 | 200.89 | 2588.6 | 0.6776 | 8.1125 |
| 50 | 0.12335 | 0.0010121 | 12.05 | 209.26 | 2592.2 | 0.7035 | 8.0776 |
| 52 | 0.13613 | 0.0010131 | 10.98 | 217.62 | 2595.7 | 0.7293 | 8.0432 |
| 54 | 0.15002 | 0.0010140 | 10.02 | 225.98 | 2599.2 | 0.7550 | 8.0093 |
| 56 | 0.16511 | 0.0010150 | 9.159 | 234.35 | 2602.7 | 0.7804 | 7.9759 |
| 58 | 0.18147 | 0.0010161 | 8.381 | 242.72 | 2606.2 | 0.8058 | 7.9431 |
| 60 | 0.19920 | 0.0010171 | 7.679 | 251.09 | 2609.7 | 0.8310 | 7.9108 |

| Temp °C | Saturation pressure 10 ⁵ Pa (bar) | Specific Volume m ³ /kg | | Enthalpy kJ/kg | | Entropy kJ/(kg·K) | |
|------------|---|---------------------------------------|--------|-------------------|--------|----------------------|--------|
| | | liquid | vapor | liquid | vapor | liquid | vapor |
| 62 | 0.2184 | 0.0010182 | 7.044 | 259.46 | 2613.2 | 0.8560 | 7.8790 |
| 64 | 0.2391 | 0.0010193 | 6.469 | 267.84 | 2616.6 | 0.8809 | 7.8477 |
| 66 | 0.2615 | 0.0010205 | 5.948 | 276.21 | 2620.1 | 0.9057 | 7.8168 |
| 68 | 0.2856 | 0.0010217 | 5.475 | 284.59 | 2623.5 | 0.9303 | 7.7864 |
| 70 | 0.3116 | 0.0010229 | 5.046 | 292.97 | 2626.9 | 0.9548 | 7.7565 |
| 72 | 0.3396 | 0.0010241 | 4.656 | 301.35 | 2630.3 | 0.9792 | 7.7270 |
| 74 | 0.3696 | 0.0010253 | 4.300 | 309.74 | 2633.7 | 1.0034 | 7.6979 |
| 76 | 0.4019 | 0.0010266 | 3.976 | 318.13 | 2637.1 | 1.0275 | 7.6693 |
| 78 | 0.4365 | 0.0010279 | 3.680 | 326.52 | 2640.4 | 1.0514 | 7.6410 |
| 80 | 0.4736 | 0.0010292 | 3.409 | 334.92 | 2643.8 | 1.0753 | 7.6132 |
| 82 | 0.5133 | 0.0010305 | 3.162 | 343.31 | 2647.1 | 1.0990 | 7.5850 |
| 84 | 0.5557 | 0.0010319 | 2.935 | 351.71 | 2650.4 | 1.1226 | 7.5588 |
| 86 | 0.6011 | 0.0010333 | 2.727 | 360.12 | 2653.6 | 1.1460 | 7.5321 |
| 88 | 0.6495 | 0.0010347 | 2.536 | 368.53 | 2656.9 | 1.1693 | 7.5058 |
| 90 | 0.7011 | 0.0010361 | 2.361 | 376.94 | 2660.1 | 1.1925 | 7.4799 |
| 92 | 0.7561 | 0.0010376 | 2.200 | 385.36 | 2663.4 | 1.2156 | 7.4543 |
| 94 | 0.8146 | 0.0010391 | 2.052 | 393.78 | 2666.6 | 1.2386 | 7.4291 |
| 96 | 0.8769 | 0.0010406 | 1.915 | 402.20 | 2669.7 | 1.2615 | 7.4042 |
| 98 | 0.9430 | 0.0010421 | 1.789 | 410.63 | 2672.9 | 1.2842 | 7.3796 |
| 100 | 1.0133 | 0.0010437 | 1.673 | 419.06 | 2676.0 | 1.3069 | 7.3554 |
| 102 | 1.0879 | 0.0010453 | 1.566 | 427.50 | 2679.1 | 1.3294 | 7.3315 |
| 104 | 1.1668 | 0.0010469 | 1.466 | 435.95 | 2682.2 | 1.3518 | 7.3078 |
| 106 | 1.2504 | 0.0010485 | 1.374 | 444.40 | 2685.3 | 1.3742 | 7.2845 |
| 108 | 1.3390 | 0.0010502 | 1.289 | 452.85 | 2688.3 | 1.3964 | 7.2615 |
| 110 | 1.4327 | 0.0010519 | 1.210 | 461.32 | 2691.3 | 1.4185 | 7.2388 |
| 112 | 1.5316 | 0.0010536 | 1.137 | 469.78 | 2694.3 | 1.4405 | 7.2164 |
| 114 | 1.6362 | 0.0010553 | 1.069 | 478.26 | 2697.2 | 1.4624 | 7.1942 |
| 116 | 1.7465 | 0.0010571 | 1.005 | 486.74 | 2700.2 | 1.4842 | 7.1723 |
| 118 | 1.8628 | 0.0010588 | 0.9463 | 495.23 | 2703.1 | 1.5060 | 7.1507 |
| 120 | 1.9854 | 0.0010606 | 0.8915 | 503.72 | 2706.0 | 1.5276 | 7.1293 |

Abstracted by permission from "Properties of Water and Steam in SI Units" by E. Schmidt, Springer-Verlag, New York, Heidelberg, Berlin

2.1.4. ความชื้นสัมบูรณ์ (ABSOLUTE HUMIDITY)

ไอน้ำในอากาศ เรียกว่า ความชื้น ความชื้นสัมบูรณ์ของอากาศที่กำหนดให้ในสภาวะใด ๆ คือ มวลของไอน้ำต่อปริมาตรของอากาศที่สภาวะนั้น ความชื้นสัมบูรณ์หรืออาจจะเรียกว่า ความหนาแน่นไอน้ำ (VAPOUR DENSITY) มีหน่วยเป็น กรัมต่อลูกบาศก์เมตร (gm/m^3)

ในหัวข้อ 2 แสดงให้เห็นว่า มวลของไอน้ำต่อหน่วยปริมาตรของอากาศ (ความหนาแน่นไอน้ำ) ที่เกิดขึ้นจริงเป็นหน้าที่เดียวของอุณหภูมิจุดน้ำค้างของอากาศ เพราะว่าความสัมพันธ์นี้คงที่ระหว่างอุณหภูมิจุดน้ำค้างและความชื้นสัมบูรณ์ของอากาศ เมื่อรู้ค่าใดค่าหนึ่ง ค่า อื่น ๆ สามารถที่จะคำนวณได้ (หรือหาค่าความชื้นสัมบูรณ์ใช้หาค่าปริมาตรจำเพาะ จากตารางไอน้ำ)

$$\text{ความชื้นสัมบูรณ์} = 1/v \text{ kg/m}^3 \quad (v = \text{ปริมาตรจำเพาะของไอน้ำ})$$

เพราะว่าความดันไอของไอน้ำในอากาศมีค่าต่ำสุด ไอน้ำในอากาศก็จะเข้าใกล้สภาวะก๊าซสมบูรณ์และมีคุณสมบัติเพียงพอที่จะเป็นไปตามกฎของก๊าซสมบูรณ์ คือ $pV = mRT$ และสามารถที่จะใช้ร่วมกับตารางไอน้ำคำนวณหาค่าความชื้นสัมบูรณ์ (ความหนาแน่นไอน้ำ) ของอากาศได้

2.1.5. ความชื้นสัมพัทธ์ (RELATIVE HUMIDITY, RH)

ความชื้นสัมพัทธ์ หมายถึง อัตราส่วนความดันของไอน้ำในอากาศที่มีอยู่ในอากาศขึ้นกับความดันอิ่มตัวของไอน้ำที่อุณหภูมิเดียวกัน

$$RH = \frac{\text{ความดันไอน้ำที่เกิดขึ้นจริง}}{\text{ความดันที่จุดอิ่มตัวของไอน้ำที่อุณหภูมิเดียวกัน}} \times 100$$

RH บางครั้งหมายถึง อัตราส่วนของความหนาแน่นไอน้ำที่มีอยู่ในอากาศขึ้นและความหนาแน่นไอน้ำที่อิ่มตัว

2.1.6. อัตราส่วนความชื้น (HUMIDITY RATIO, W)

อัตราส่วนความชื้นบางครั้งเรียกว่า ความชื้นจำเพาะ หมายถึงมวลของไอน้ำต่อมวลของอากาศแห้งและโดยปกติจะมีหน่วยเป็น กรัมต่อกิโลกรัมของอากาศแห้ง (gm/kg) หรือ กิโลกรัมต่อกิโลกรัมของอากาศแห้ง (kg/kg)

สำหรับความกดดันของบรรยากาศที่กำหนดให้ใด ๆ อัตราส่วนความชื้นเป็นฟังก์ชัน ของอุณหภูมิจุดน้ำค้างอย่างเดียว อย่างไรก็ตามอัตราส่วนความชื้นต่ออุณหภูมิจุดน้ำค้างที่กำหนดให้ใด ๆ จะแปรกับความกดดันของบรรยากาศทั้งหมด สำหรับเหตุผลที่จะเป็นไปตามกฎของก๊าซ ปริมาตรต่อหน่วยมวลของอากาศจะเพิ่มขึ้นขณะที่

ความกดดันของบรรยากาศลดลง เพราะว่าความหนาแน่นของไอน้ำจะแปรโดยตรงกับปริมาตรเมื่อปริมาตรเพิ่มขึ้นมวลของไอน้ำ ความหนาแน่นไอน้ำ และความดันไอน้ำ จะเพิ่มขึ้นเช่นเดียวกันด้วย

(ในหนังสือคู่มือของสมาคมวิศวกรอเมริกันเกี่ยวกับ การทำความร้อน การทำความเย็น และการปรับอากาศ ซึ่งพิมพ์ในปี 1972 หน้า 98 ได้ให้ความหมายไว้ดังนี้ อัตราส่วนความชื้น หรือ ความชื้นจำเพาะ หมายถึง มวลของไอน้ำต่อมวลของความชื้นของอากาศอิ่มตัวที่อุณหภูมิเดียวกัน)

เมื่อรู้ความกดดันของบรรยากาศ และอุณหภูมิจุดน้ำค้าง อัตราส่วนความชื้นคำนวณได้จากความสัมพันธ์ของสมการของก๊าซสมบูรณ์และกฎของดัลตัน

$$\text{ดังนั้นอัตราความชื้น, } W = \frac{(0.622 \text{ kg/kg}') (P_w)}{P - P_w}$$

W = อัตราส่วนความชื้นมีหน่วยเป็น kg ของไอน้ำต่อ kg ของอากาศแห้ง (kg/kg')

P_w = ความดันของไอน้ำที่อุณหภูมิจุดน้ำค้าง มีหน่วยเป็น bar

P = ความกดดันของบรรยากาศ มีหน่วยเป็น bar

2.1.7. อัตราส่วนอิ่มตัว (SATURATION RATIO)

อัตราส่วนอิ่มตัว บางทีเรียกว่า เปอร์เซนต์ความชื้น (percentage humidity) เป็นอัตราส่วนระหว่างอัตราส่วนความชื้นที่เกิดขึ้นจริงต่ออัตราส่วนความชื้นที่สภาวะอิ่มตัว

$$\text{เพราะฉะนั้น อัตราส่วนอิ่มตัว} = \frac{W}{W_s} \times 100$$

W = อัตราส่วนความชื้นที่เกิดขึ้นจริง (kg/kg')

W_s = อัตราส่วนความชื้นที่อุณหภูมิอากาศอิ่มตัว (kg/kg')

2.1.8. อุณหภูมิกระเปาะแห้ง (DRY BULB TEMPERATURE ,DB)

หมายถึงอุณหภูมิที่อ่านจากเทอร์โมมิเตอร์ กระเปาะแห้ง ในการวัดจะต้องให้กระเปาะอยู่ในที่อากาศถ่ายเทได้สะดวก เพื่อให้ค่าที่อ่านได้ถูกต้องและป้องกันค่าที่ผิดพลาดจากการแผ่รังสี

2.1.9. อุณหภูมิกระเปาะเปียก (WET BULB TEMPERATURE, WB)

หมายถึงอุณหภูมิที่อ่านจากเทอร์โมมิเตอร์ที่กระปุกหุ้มด้วยผ้าที่ชื้น โดยมีกระแสลมที่มีความเร็วระหว่าง 5 และ 10 เมตรต่อวินาทีพัดผ่านกระเปาะ

2.1.10. เอนทาลปีของอากาศ (ENTHALPY OF AIR)

อากาศมีความร้อนสัมผัส (SENSIBLE HEAT) และความร้อนแฝง (LATENT HEAT) ความร้อนทั้งหมดของอากาศที่สภาวะใด ๆ เป็นผลรวมของ ความร้อนสัมผัสและความร้อนแฝง จากที่ได้กล่าวมานี้จะแสดงในหัวข้อต่อไป นี้ คือ

- 1.) ความร้อนสัมผัสของอากาศเป็นฟังก์ชันของอุณหภูมิกระเปาะแห้ง
- 2.) ความร้อนแฝงของอากาศเป็นฟังก์ชันของอุณหภูมิจุดน้ำค้าง
- 3.) ความร้อนทั้งหมดของอากาศเป็นฟังก์ชันของอุณหภูมิกระเปาะเปียก

2.1.11. ความร้อนสัมผัสของอากาศ (SENSIBLE HEAT OF AIR, HS)

สำหรับค่าที่กำหนดให้ใด ๆ ของอุณหภูมิกระเปาะแห้งความร้อนสัมผัสของอากาศ หาได้จากสมการดังนี้

$$H_s = m C_p (DB)$$

หรือ

$$H_s = m h_s$$

เมื่อ

$$H_s = \text{ความร้อนสัมผัสของอากาศ}$$

$$m = \text{จำนวนมวลของอากาศ}$$

$$C_p = \text{ความร้อนจำเพาะของอากาศที่ความดันคงที่} = \text{kJ/kg}^\circ\text{K}$$

$$DB = \text{อุณหภูมิที่อ่านจากเทอร์โมมิเตอร์กระเปาะแห้ง}$$

$$H_s = \text{เอนทาลปีจำเพาะของอากาศแห้ง}$$

ปริมาณของการถ่ายเทความร้อนสัมผัส เมื่อกำหนดจำนวนมวลของอากาศร้อนหรือเย็น ระหว่างสภาวะแรกและสภาวะสุดท้าย อุณหภูมิ DB ก็เป็นฟังก์ชัน ของความร้อนสัมผัสด้วย ตามสมการ $\Delta Q = m C_p \Delta T$ สมมุติว่าความร้อนจำเพาะที่ความดันคงที่ C_p เท่ากับ $1 \text{ KJ} / \text{kg} \text{ K}$ สมการดังกล่าวแล้วจะสามารถเขียนได้เป็น

| | |
|-------|--|
| | $Q_s = (m)(c_p)(\Delta DB)$ |
| เมื่อ | $Q_s =$ การถ่ายเทความร้อนสัมผัส (KJ) |
| | $m =$ มวลของอากาศแห้ง (kg) |
| | $\Delta DB =$ ความแตกต่างระหว่างสถานะแรกและสถานะสุดท้ายของอุณหภูมิ DB ('C หรือ 'K) |
| หรือ | $Q_s = (m)(\Delta h_s)$ |
| เมื่อ | $\Delta h_s =$ ความแตกต่างของเอนทาลปีจำเพาะระหว่างสถานะแรกและสถานะสุดท้าย |

2.1.12. ความร้อนแฝงของอากาศ (LATENT HEAT OF AIR, H_L)

ความร้อนแฝงของอากาศคือ ความร้อนแฝงของไอน้ำในอากาศ เพราะว่าจำนวนความร้อนแฝงที่กำหนดปริมาณของอากาศจะขึ้นอยู่กับมวลของไอน้ำในอากาศ และความร้อนแฝงของการกลายเป็นไอน้ำจะตรงกับอุณหภูมิอิ่มตัวไอน้ำ

อุณหภูมิอิ่มตัวของไอน้ำ คือ อุณหภูมิจุดน้ำค้างของอากาศด้วย อุณหภูมิ DP ไม่ได้คำนวณจากมวลของไอน้ำในอากาศ แต่คิดจากความร้อนแฝงของการกลายเป็นไอ ดังนั้น ความร้อนแฝงของอากาศเป็นฟังก์ชันของอุณหภูมิ DP ของอากาศที่คงที่ ความร้อนแฝงของอากาศก็คงที่ด้วย

เอนทาลปีของไอน้ำอิ่มตัว (h_g) อุณหภูมิ DP เริ่มจากอุณหภูมิ 0°C อยู่ในแถวที่ 6 ตารางที่ 2.1 ค่าที่แสดงไว้รวมความร้อนสัมผัสของของเหลวเหนืออุณหภูมิ 0°C เหมือน กับความร้อนแฝงของการกลายเป็นไอที่อุณหภูมิที่กำหนดให้

เพราะว่ามีข้อยุ่งยากในการหาค่าต่าง ๆ เหล่านี้ ดังนั้นเพื่อความสะดวกจึงสมมติว่า ความร้อนสัมผัสของอากาศ คือ เอนทาลปีของอากาศแห้ง ความร้อนแฝงของอากาศคือ เอนทาลปีของไอน้ำ ผลรวมของความร้อนสัมผัสและความร้อนแฝงของอากาศ คือ จำนวนความร้อนทั้งหมดหรือเอนทาลปีของอากาศ

ความร้อนแฝงของอากาศที่กำหนดให้สามารถ คำนวณได้จากสมการต่อไปนี้

$$H_L = (m)(W \times h_w)$$

$$H_L = \text{ความร้อนแฝงของอากาศ (KJ) ที่มีอัตราส่วนความชื้น } W$$

$$m = \text{มวลของอากาศ (kg)}$$

$$W = \text{อัตราส่วนความชื้น (kg / kg ของอากาศแห้ง)}$$

$$h_w = \text{เอนทาลปีจำเพาะของไอน้ำในอากาศโดยปกติใช้ค่า } h_g \text{ ของไอน้ำ (KJ/kg)}$$

สำหรับอากาศ 1 kg สมการ ข้างบน จะเป็น

$$h_L = (W)(h_w)$$

$$h_L = \text{ความร้อนแฝงของอากาศ (KJ/kg)}$$

2.1.13. ความร้อนของอากาศ (TOTAL HEAT OF AIR, HT)

ความร้อน (เอนทาลปี) ของอากาศ คือผลรวมของความร้อนสัมผัสของอากาศ (เอนทาลปีของอากาศแห้ง) และความร้อนแฝงของอากาศ (เอนทาลปีของไอน้ำ) ดังนั้นสำหรับอากาศ 1 kg.

$$h_t = h_s + h_L$$

เมื่อ h_t = เอนทาลปีของอากาศ (ชื้น) (KJ/kg)

$$h_s = \text{เอนทาลปีของอากาศแห้ง (KJ/kg)}$$

$$h_L = \text{เอนทาลปีของไอน้ำ (KJ/ kg)}$$

สำหรับอากาศ m kg

$$H_t = (m)(h_t)$$

$$H_t = \text{เอนทาลปีของอากาศจำนวน m kg}$$

การถ่ายเทความร้อนทั้งหมด (Q_t) ที่อากาศได้รับหรือคายออก เมื่ออากาศได้รับความร้อนหรือความเย็นตามลำดับ อาจคำนวณจากสมการต่อไปนี้

$$Q_t = m (h_{t2} - h_{t1})$$

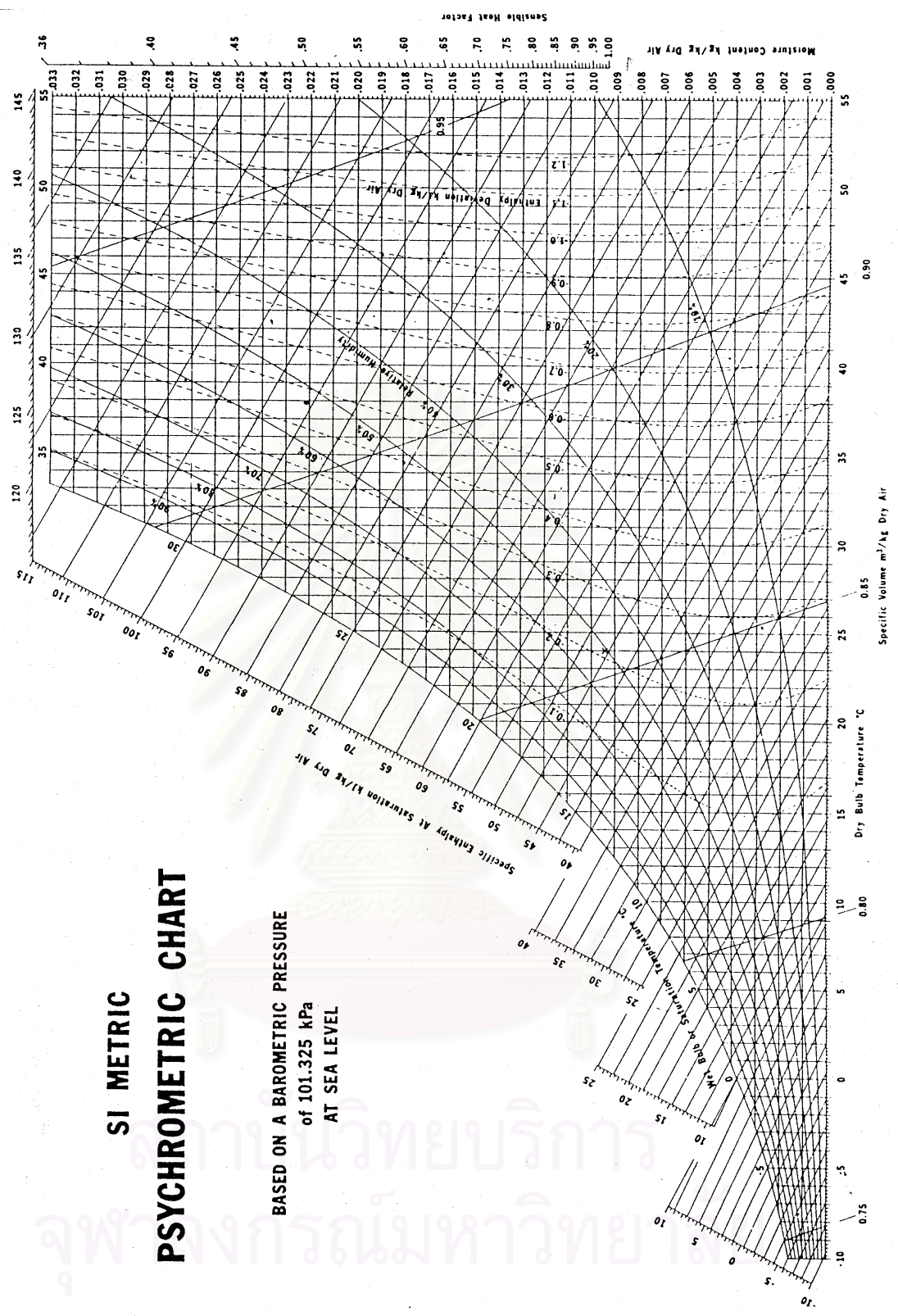
หมายเลข 1 และ 2 ที่ห้อยอยู่แสดงถึงสภาวะแรก และสภาวะสุดท้ายตามลำดับ เมื่อเอนทาลปีที่สภาวะ 1 มากกว่าสภาวะ 2 ผลลัพธ์ที่ได้จะมีค่าเป็นลบ แสดงว่า ความร้อนถ่ายเทจากอากาศมากกว่า ในทางปฏิบัติโดยปกติจะไม่นำมาคิด

2.1.14. แผนภูมิไซโครเมตริก (PSYCHROMETRIC CHARTS)

แผนภูมิไซโครเมตริกเป็นแผนภูมิที่แสดงคุณสมบัติของอากาศ ดังในรูปที่ 2.1 ค่าที่กำหนดในแผนภูมิเป็นค่าที่ได้จากอากาศมาตรฐานและที่ความกดดันบรรยากาศ

ในรูปที่ 2.2 เป็นการแสดงให้เห็นถึงโครงสร้างทั่วไปของแผนภูมิไซโครเมตริก และคุณสมบัติพื้นฐานบางอันของอากาศ

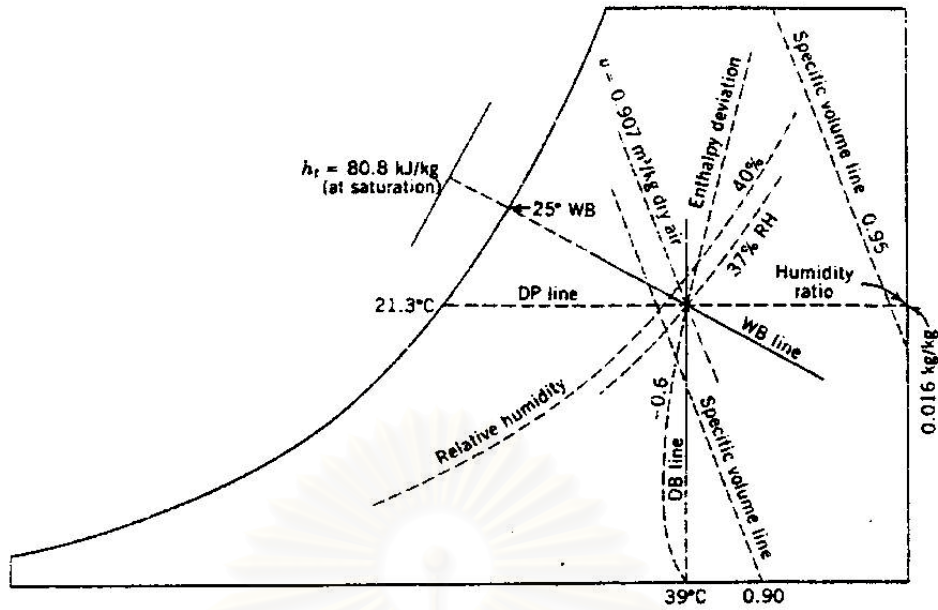
- 1.) เส้นในแนวตั้งของแผนภูมิเป็นเส้นอุณหภูมิ DB คงที่
- 2.) เส้นในแนวราบเป็นเส้นอุณหภูมิ DP คงที่ และอัตราส่วนความชื้น
- 3.) เส้นที่ลากแยงมุม เป็นเส้นอุณหภูมิ WB คงที่
- 4.) เส้นที่ลากในแนวตั้งแต่เฉียงมาทางซ้ายเป็นเส้นปริมาตรจำเพาะคงที่
- 5.) เส้นโค้งที่ลากจากด้านล่างซ้ายไปยังด้านขวามือบนเป็นเส้นความชื้นสัมพัทธ์ (Rh)
- 6.) เส้นโค้งหักเห (Deviation curve) เป็นเส้นของเอนทาลปีที่ผิดไปจากเอนทาลปีจำเพาะ



**SI METRIC
PSYCHROMETRIC CHART**
 BASED ON A BAROMETRIC PRESSURE
 of 101.325 kPa
 AT SEA LEVEL

1 - 32 B

รูปที่ 2.1 แผนภูมิไซโครเมตริก (อ้างอิงจาก บ.เอ็มแอนดตี้ จก., 2531)



รูปที่ 2.2 ตัวอย่างกระบวนการไซโครเมตริกต่างๆ (อ้างอิงจาก อัครเดช, 2537)

2.1.15. กระบวนการไซโครเมตริก (PSYCHROMETIC PROCESSES)

กระบวนการไซโครเมตริกสามารถที่จะแสดงและวิเคราะห์บนแผนภูมิไซโครเมตริก ในกระบวนการทำความเย็น หรือการปรับอากาศ โดยทั่วไปแล้วเป็นกระบวนการความดันคงที่ และกระบวนการเหล่านี้สามารถแสดงให้เห็นได้โดยใช้แผนภูมิไซโครเมตริก

2.1.16. การให้ความร้อนสัมผัส (SENSIBLE HEATING)

กระบวนการนี้เกิดขึ้นเมื่ออากาศผ่านไปเหนือผิวสัมผัสที่ร้อน เช่น ใอน้ำ หรือ ท่อน้ำร้อน ซึ่งมีอุณหภูมิสูงกว่า อุณหภูมิกระเปาะแห้งของอากาศ (DB) ในการผ่านไปบนผิวสัมผัสที่ร้อน อากาศจะดูดความร้อน (สัมผัส) จากผิวสัมผัสที่ร้อนกว่า ดังนั้นอุณหภูมิกระเปาะแห้งของอากาศสูงขึ้นและมีแนวโน้มที่จะเข้าไปใกล้เคียงอุณหภูมิของผิวสัมผัสที่ร้อน ดังในรูปที่ 2.3 เพราะว่าไม่มีความชื้นเข้าไปหรือออกมาจากอากาศ ระหว่างกระบวนการให้ความร้อน ดังนั้นความชื้นจำเพาะ (SPECIFIC HUMIDITY) อุณหภูมิจุดน้ำค้าง และความร้อนแฝงของอากาศไม่เปลี่ยนแปลงสำหรับเหตุผลนี้ เพราะว่ากระบวนการให้ความร้อนทั้งหมดของอากาศเพิ่มขึ้นโดยมีค่าเท่ากับความร้อนสัมผัสที่เพิ่มขึ้น อุณหภูมิกระเปาะเปียกจะเพิ่มขึ้นด้วย การให้ความร้อน หรือ ความเย็นสัมผัสทางเดินของกระบวนการจะเป็นเส้นตรงเสมอตามเส้นกระบวนการในแผนภูมิไซโครเมตริก ตัวอย่างเช่น อากาศไหลจำนวน 2 kg / s ในสภาวะแรกอุณหภูมิ DB และ WB เท่ากับ 21 องศาเซลเซียส และ 16 องศาเซลเซียส ตามลำดับไหลผ่านไปตามท่อความร้อนและอุณหภูมิของ DB เพิ่มขึ้นเป็น 33 องศาเซลเซียส แสดงกระบวนการลงบนแผนภูมิไซโครเมตริกที่ 2.3 ณ จุดเริ่มต้นที่อากาศเข้าสู่กระบวนการค่าเอนทาลปีมีค่าเท่ากับ $h_a = 44.90 \text{ kJ / kg}$ ค่าพลังงานที่ใช้ในกระบวนการคำนวณได้ดังนี้

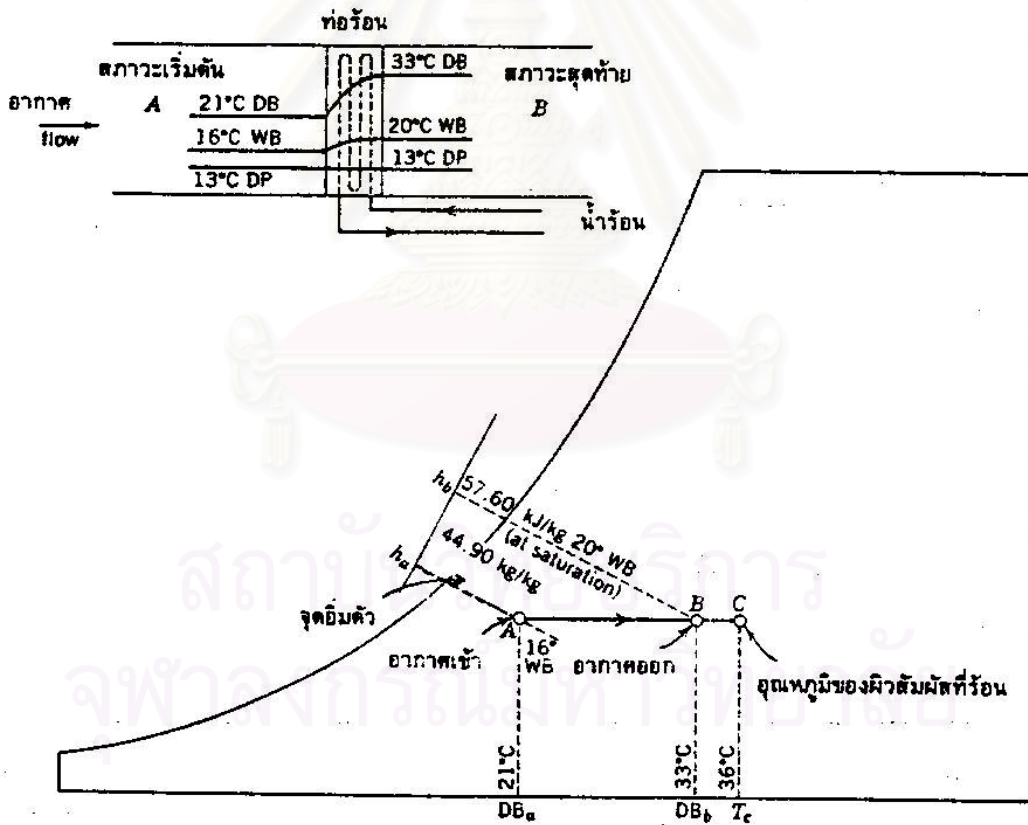
$$\begin{aligned}
 Q &= (m) (cp) (\Delta DB) \\
 &= (2 \text{ kg / s}) (1 \text{ kJ / kg K}) (33^\circ\text{C} - 32^\circ\text{C}) \\
 &= 24 \text{ kJ / s}
 \end{aligned}$$

จากสมการ

$$\begin{aligned}
 Q_t &= m (\Delta h) \\
 &= m (h_a - h_b)
 \end{aligned}$$

ดังนั้น

$$\begin{aligned}
 h_b &= (Q_t / m) + h_a \\
 &= (24 \text{ kJ / s}) / (2 \text{ kg / s}) + (44.9 \text{ kJ / kg}) \\
 &= 56.9 \text{ kJ / kg}
 \end{aligned}$$



รูปที่ 2.3 กระบวนการให้ความร้อนสัมผัสแฝง (อ้างอิงจาก อัครเดช, 2537)

2.1.17. ตัวประกอบไม่สัมผัสท่อ (COIL BYPASS FACTOR)

ในหัวข้อที่ผ่านมาแสดงให้เห็นว่าคุณสมบัติกระเปาะแห้งของอากาศที่ผ่านไปบนท่อร้อนทำให้คุณสมบัตินี้ของอากาศผลลัพธ์เดียวกับคุณสมบัตินี้ของผนังท่อ คือจุด C ในรูป 2.3 ถ้าอากาศทั้งหมดผ่านไปบนท่อร้อนเป็นระยะเวลาหนึ่งพอจะทำให้คุณสมบัตินี้ DB ของอากาศเท่ากับคุณสมบัตินี้ของผิวท่อ ในทางปฏิบัติอากาศที่ผ่านท่อร้อนส่วนหนึ่งจะผ่านไปเฉยๆโดยไม่ได้สัมผัสกับผิวท่อ อัตราส่วนของอากาศที่ผ่านไปโดยไม่ได้สัมผัสกับผิวท่อต่ออากาศรวมทั้งหมด เรียกว่าตัวประกอบไม่สัมผัส BPF (BY-PASS FACTOR) และ BPF นี้เป็นค่าเบื้องต้นที่ใช้ในการออกแบบท่อ จากรูปที่ 2.3

$$\begin{aligned} \text{BPF} &= \text{เส้น BC} / \text{เส้น AC} \\ &= (T_c - T_b) / (T_c - T_a) \end{aligned}$$

เมื่อ

$$\begin{aligned} T_a &= \text{คุณสมบัตินี้ DB ของอากาศที่กำลังผ่านท่อ} \\ T_b &= \text{คุณสมบัตินี้ DB ของอากาศที่ออกจากท่อ} \\ T_c &= \text{คุณสมบัตินี้ของผิวท่อ} \end{aligned}$$

2.1.18. กระบวนการให้ความเย็นสัมผัส (SENSIBLE COOLING PROCESSES)

ในกระบวนการนี้อากาศจะผ่านท่อเย็นซึ่งมีคุณสมบัตินี้ต่ำกว่าคุณสมบัตินี้ DB แต่สูงกว่าคุณสมบัตินี้ DP ดังที่แสดงในรูป 2.4 กระบวนการนี้เหมือนกับกระบวนการให้ความร้อนสัมผัสตรงที่ ค่าความชื้นคงที่ เพราะฉะนั้นความชื้นจำเพาะ คุณสมบัตินี้ DP และความชื้นสัมพัทธ์ของอากาศจะคงที่ตลอดกระบวนการ ยกตัวอย่างดังนี้ อากาศจำนวน 2 kg / s ในสภาวะแรกมีคุณสมบัตินี้ DB เท่ากับ 42 องศาเซลเซียส และ คุณสมบัตินี้ WB เท่ากับ 21 องศาเซลเซียส ไหลผ่านท่อเย็น อากาศที่ออกมาจะมีคุณสมบัตินี้ DB 24 องศาเซลเซียส ถ้าคุณสมบัตินี้ของผิวท่อเย็น 19 องศาเซลเซียส เขียนลงในแผนภูมิไซโครเมตริกได้ดังรูปที่ 2.4 และจะคำนวณได้ว่า

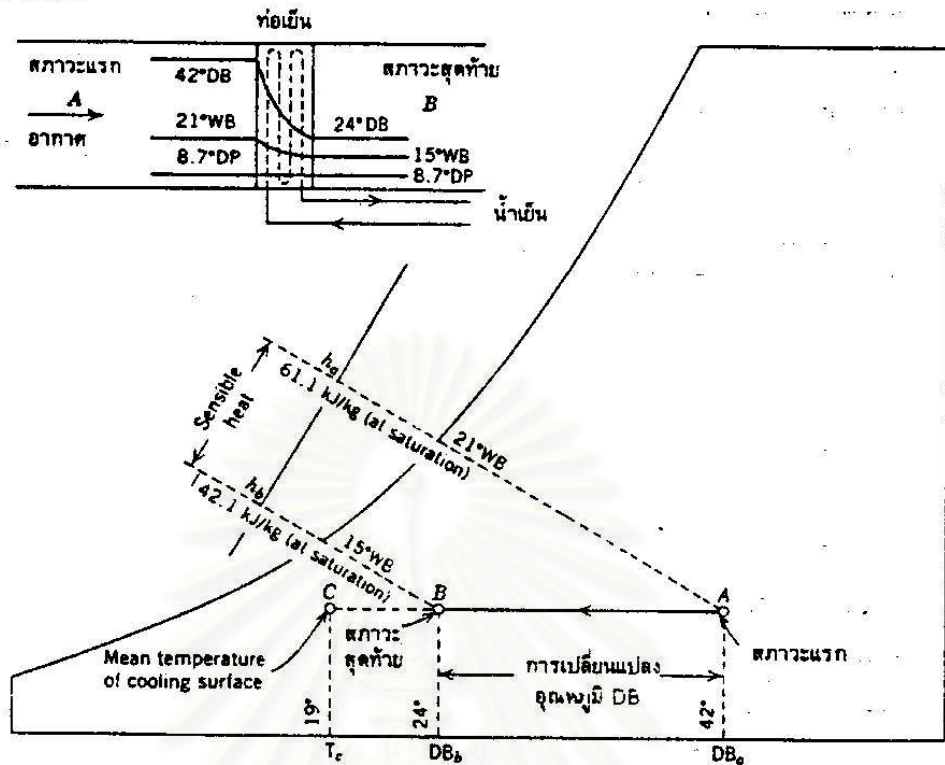
จาก

$$\begin{aligned} Q &= (m) (cp) (\Delta DB) \\ &= (2 \text{ kg} / \text{s}) (1 \text{ kJ} / \text{kg K}) (42 - 24) \\ &= 36 \text{ kJ} / \text{s} \end{aligned}$$

จาก

$$\begin{aligned} \text{BPF} &= (T_b - T_c) / (T_c - T_a) \\ &= (24 - 19) / (42 - 19) \text{ } ^\circ\text{C} \\ &= 0.22 \end{aligned}$$

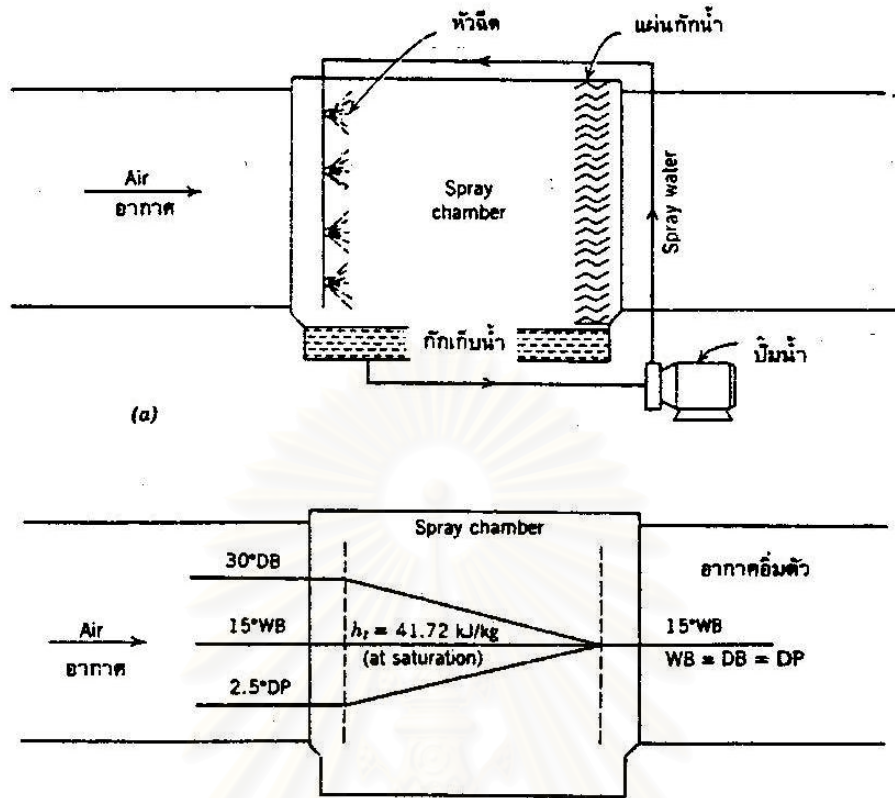
$$\begin{aligned} \text{ดังนั้น ปริมาณของอากาศที่ไม่สัมผัส} &= 0.22 * 2 \text{ kg} / \text{s} \\ &= 0.44 \text{ kg} / \text{s} \end{aligned}$$



รูปที่ 2.4 กระบวนการให้ความเย็นสัมผัส (อ้างอิงจาก อัครเดช, 2537)

2.1.19. กระบวนการเอโดอาแบติกอิมิตัว (ADIABATIC SATURATION PROCESSES)

เป็นกระบวนการที่ทำให้อากาศอิมิตัวด้วยไอน้ำโดยความร้อนที่ น้ำถูกฉีดเป็นละอองเข้าไปในอากาศ น้ำจะระเหยทำให้อากาศอิมิตัว ถ้าการทำให้น้ำระเหยได้ผล 100 % อากาศที่วิ่งผ่านละอองน้ำออกมาก็จะอยู่ในสภาวะอิมิตัว 100 % ด้วย หลังจากสมดุลแล้วอากาศที่ออกไปจะมีอุณหภูมิคงที่ คือ อุณหภูมิ WB = DB = DP ดังที่แสดงในรูปที่ 2.5 ตัวอย่างเช่น อากาศในสภาวะแรกอุณหภูมิ DB เท่ากับ 40 องศาเซลเซียส ความชื้นสัมพัทธ์ 10 % ถูกทำให้อิมิตัวโดยการพ่นละอองน้ำเข้าไป ทำให้อุณหภูมิ DB หลังจากอิมิตัวแล้วคำนวณได้ดังนี้



รูปที่ 2.5 กระบวนการเอโดอาแบตติคิมตัว (อ้างอิงจาก อัครเดช, 2537)

จากแผนภูมิไซโคเมตริก ที่สภาวะ A อุณหภูมิ DB = 40°C 10 % Rh (ดูรูปที่ 2.6 ประกอบ)
 ดังนั้นสัดส่วนความชื้น W_a

$$W_a = 0.0045 \text{ kg / kg'}$$

ที่เส้น เอนทาลปีคงที่ ที่สภาวะ B จะเป็นจุดอิมตัว อุณหภูมิ DB = WB = 18.5°C

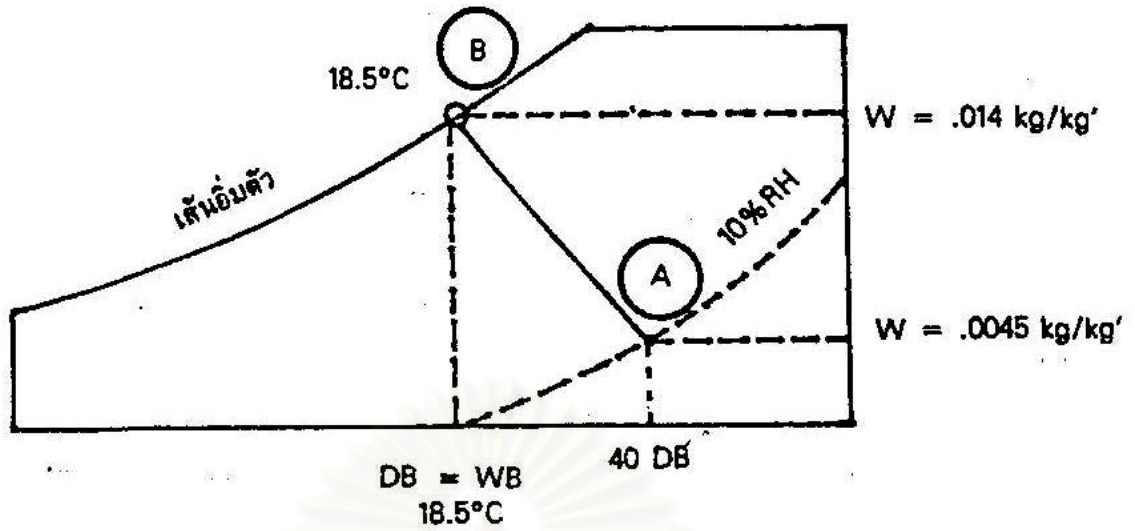
ดังนั้นสัดส่วนความชื้น W_b

$$W_b = 0.014 \text{ kg / kg'}$$

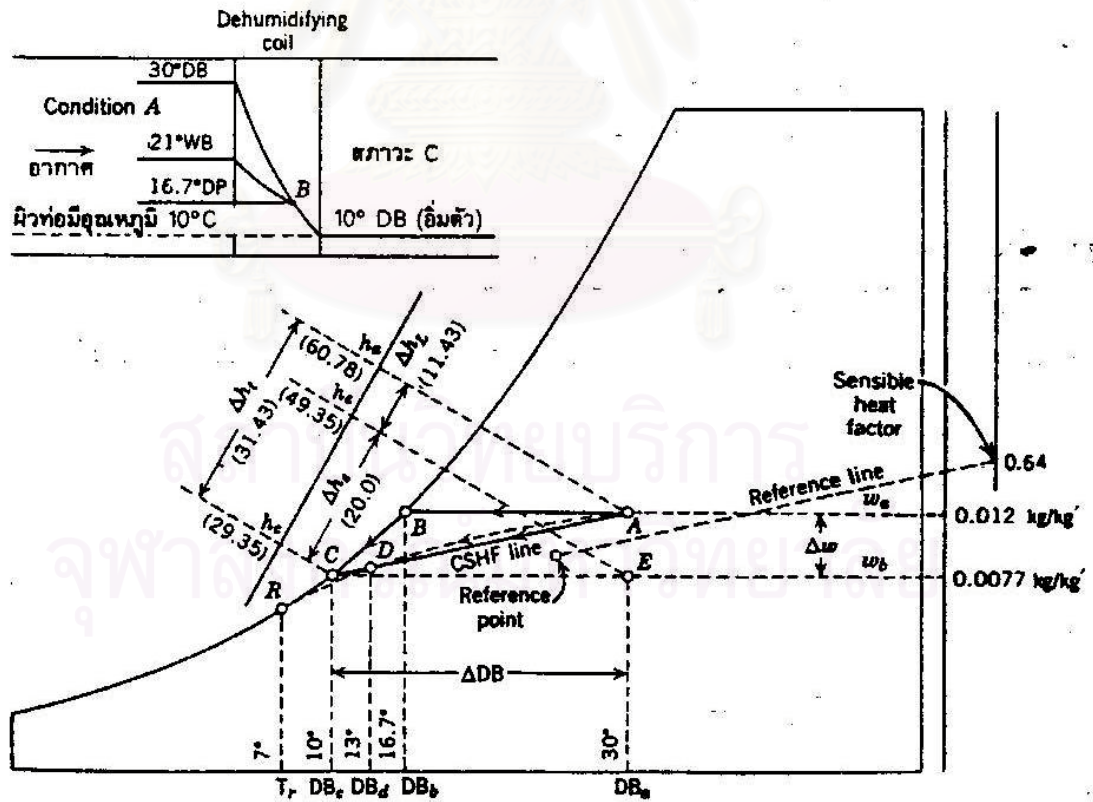
ดังนั้นจำนวนน้ำที่ต้องการ = $W_b - W_a$

$$= 0.014 - 0.0045 \text{ kg /kg'}$$

$$= 0.0095 \text{ kg /kg'}$$



รูปที่ 2.6 แสดงกระบวนการที่ทำให้อากาศเย็นตัว (อ้างอิงจาก อัครเดช, 2537)



รูปที่ 2.7 กระบวนการทำให้ความเย็นและการลดความชื้น (อ้างอิงจาก อัครเดช, 2537)

2.1.20. การให้ความเย็นและการลดความชื้น (COOLING AND DEHUMIDIFICATION)

เป็นการทำให้ อุณหภูมิ และ อัตราส่วนความชื้นของอากาศลดลง ใช้น้ำในระบบปรับอากาศ ซึ่งอากาศผ่านท่อเย็น หรือน้ำเย็นที่ฉีดเป็นละอองฝอย อุณหภูมิของอากาศจะถูกทำให้ต่ำกว่า อุณหภูมิ DB ของอากาศในสภาวะแรก ทำให้อไอน้ำควบแน่นออกมา โดยที่ว่ไปแล้วความชื้นสัมพัทธ์ในสภาวะสุดท้ายจะสูงกว่าในสภาวะแรกยกตัวอย่างดังนี้

อากาศ 4 kg / s ที่สภาวะแรกมีอุณหภูมิ DB และ WB 30°C และ 21°C ตามลำดับไหลผ่านท่อเย็นที่มีอุณหภูมิเฉลี่ย 10°C สมมุติว่าอากาศทั้งหมดไหลผ่านและสัมผัสกับผิวท่อเย็นดังนั้นอากาศที่ออกจากระบบเป็นอากาศอิ่มตัว มีอุณหภูมิเท่ากับผิวท่อเย็นดังที่แสดงในแผนภูมิไซโคเมตริกรูปที่ 2.7

จากแผนภูมิไซโคเมตริก

$$h_{ta} = 60.10 - 0.32$$

$$= 60.78 \text{ kJ / kg'}$$

$$h_{tc} = 29.36 \text{ kJ / kg'}$$

จากสมการ

$$Q_t = (m) (h_{ta} - h_{tc})$$

$$Q_t = (1\text{kg}) (60.78 \text{ kJ / kg' } - 29.35 \text{ kJ / kg' })$$

$$= 31.43 \text{ kJ / kg}$$

จากสมการ

$$Q_s = (m) (cp) (\Delta DB)$$

$$Q_s = (1\text{kg}) (1\text{kg / gk}^\circ\text{K})(30^\circ\text{C} - 10^\circ\text{C})$$

$$= 20 \text{ kJ / kg}$$

ดังนั้นความร้อนแฝงที่คายออกมาจากกระบวนการหาได้จาก

$$Q_L = Q_t - Q_s$$

$$= 31.43 - 20$$

$$= 11.43 \text{ kJ / kg'}$$

จากแผนภูมิไซโคเมตริก

$$W_a = 0.012 \text{ kg / kg'}$$

$$W_c = 0.0077 \text{ kg / kg'}$$

ดังนั้นจำนวนมวลของไอน้ำที่ควบแน่น

$$m = (4 \text{ kg / s}) (0.012 - 0.0077)$$

$$= 0.0172 \text{ kg / s}$$

2.1.21. ตัวประกอบความร้อนสัมผัส (COIL SENSIBLE HEAT FACTOR)

ในระหว่างกระบวนการให้ความเย็น หรือ ลดความชื้น ความร้อนสัมผัส และ ความร้อนแฝงจะคายออก ขณะที่อากาศผ่านท่อเย็น ผลรวมของความร้อนทั้ง 2 นี้ จะเป็นความร้อนทั้งหมด อัตราส่วนความร้อนสัมผัสและความร้อนทั้งหมดเรียกว่า ตัวประกอบความร้อนสัมผัส (CSHF)

$$\text{CSHF} = Q_s / Q_t$$

จากตัวอย่างในหัวข้อที่ 20. สามารถหาค่าของ CSHF ได้ดังนี้

$$\begin{aligned} \text{CSHF} &= (20 \text{ kJ / kg}) / (31.43 \text{ kJ / kg}) \\ &= 0.636 \end{aligned}$$

ค่า CSHF สามารถหาได้โดยตรงจากแผนภูมิไซโครเมตริก โดยการลากเส้นจากจุดอ้างอิง ไปยังสเกลของตัวประกอบความร้อนสัมผัสที่อยู่ด้านขวามือของแผนภูมิ โดยเส้นนี้ลากขนานกับเส้น CSHF และอ่านค่า CSHF จากสเกลของตัวประกอบความร้อนสัมผัส (SHF) ที่จะตัดกันตามรูปที่ 2.6

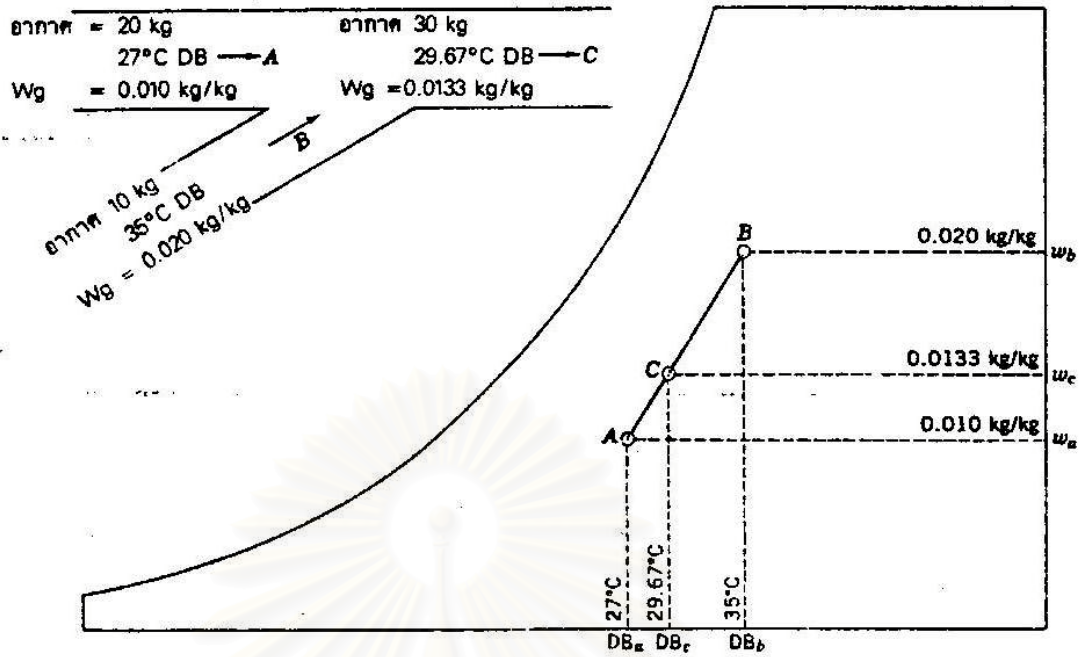
2.1.22. การรวมกันของอากาศ

เมื่ออากาศที่สภาวะ A รวมกับอากาศที่สภาวะ B ส่วนผสมของอากาศสามารถที่จะแสดงให้เห็นได้บนแผนภูมิไซโครเมตริก ดังในรูปที่ 115 ดังนั้นจำนวนมวลอากาศที่จุด C (mc) จะเท่ากับผลรวมของมวลที่ A และที่ B

$$m_c = m_a + m_b$$

และเพราะว่าการรวมกันของอากาศเป็นแบบ เอดออาแบติก จึงไม่มีการสูญเสียความร้อนและความชื้น

ด้วย



รูปที่ 2.8 แสดงการรวมกันของอากาศภายในห้อง (อ้างอิงจาก อัศวเดช, 2537)

เอนทาลปีของส่วนผสมของอากาศเป็นผลรวมของเอนทาลปีของอากาศที่เข้ามารวมกัน

$$H_{sc} = H_{as} + H_{sb}$$

$$H_{Lc} = H_{La} + H_{Lb}$$

$$H_{tc} = H_{ta} + H_{tb}$$

และอัตราส่วนความชื้นทั้งหมดก็จะเท่ากับผลรวมของอากาศที่เข้ามารวมกันคือ

$$m_c W_c = m_a W_a + m_b W_b$$

จาก

$$H_{sc} = (m_c) (cp) (T_c)$$

$$H_{sa} = (m_a) (cp) (T_a)$$

$$H_{sb} = (m_b) (cp) (T_b)$$

ดังนั้น

$$(m_c) (cp) (T_c) = (m_a) (cp) (T_a) + (m_b) (cp) (T_b)$$

ดังนั้น

$$T_c = (m_a T_a + m_b T_b) / m_c$$

เมื่อนำมาเขียนใหม่หาค่าอัตราส่วนความชื้นของอากาศผสมได้ดังนี้

$$W_c = (m_a W_a + m_b W_b) / m_c$$

2.2 กระบวนการควบคุมแบบป้อนกลับ PROPORTIONAL INTEGRAL DERIVATIVE (PID)

ในปัจจุบันการควบคุมกระบวนการต่างๆที่ต้องการให้กระบวนการนั้นมีค่าควบคุมที่ราบเรียบมักจะทำให้การควบคุมแบบ PID เนื่องจากมีการส่งค่าควบคุมของกระบวนการกลับมาให้อุปกรณ์ควบคุมทำให้อุปกรณ์ควบคุมทราบว่าควรจะทำการควบคุมกระบวนการในลักษณะใดเพื่อที่จะให้กระบวนการนั้นมีความราบเรียบที่สุดโดยอาศัยการคำนวณทางคณิตศาสตร์ช่วย ดังที่จะได้อ้างถึง สุดาธิป พลพงษ์ ได้เขียนบทความเกี่ยวกับการควบคุมแบบ PID นี้ให้กับหนังสือ INSTRUMENTATION ประจำเดือน กันยายน พ.ศ. 2540 และ บทความใน WEP SIDE ของ EXPERT TUNE CO., LTD. (www.expertune.com) ไว้ดังนี้

2.2.1. หลักการพื้นฐานของกระบวนการควบคุม

หลักการพื้นฐานของกระบวนการควบคุมก็คือ การที่อุปกรณ์ทางอินพุตได้รับค่ามาค่าหนึ่งและพยายามที่จะคงค่านั้นไว้ที่ค่าที่เราต้องการออกมาทางเอาต์พุต โดยการปรับค่าอุปกรณ์ต่าง ๆ เพื่อควบคุมค่านี้ไว้ ยกตัวอย่างเช่นในชีวิตประจำวันของเราที่ใช้การควบคุมกระบวนการ 2 อย่างที่เป็นที่รู้จักกันดีก็คือ เครื่องปรับอากาศและอุปกรณ์ควบคุมการขับเคลื่อนของรถยนต์ (AUTOMOTIVE CRUISE CONTROL) ปริมาณที่ถูกวัดและควบคุมจะถูกเรียกว่า ตัวแปรกระบวนการ (PROCESS VARIABLE, PV) สำหรับค่าตัวแปรกระบวนการของเครื่องปรับอากาศคือ อุณหภูมิของบ้าน ส่วนของอุปกรณ์ควบคุมการขับเคลื่อนของรถยนต์ คือ ความเร็วของรถยนต์

ค่าที่เราต้องการให้ตัวแปรกระบวนการคงไว้นั้น เรียกว่า ค่าเป้าหมาย (SETPOINT, SP) เราจะปรับค่าเป้าหมายของเครื่องปรับอากาศที่บ้านของเราและความเร็วของรถ โดยบ่งชี้อุณหภูมิที่เราต้องการและกำหนดค่าความเร็วที่ต้องการ ให้กับอุปกรณ์ควบคุมเครื่องปรับอากาศ และการขับเคลื่อนของรถยนต์

ตัวควบคุมจะปรับเปลี่ยนค่าตัวแปรกระบวนการโดยการปรับค่าควบคุมเอาต์พุต (CONTROL OUTPUT, CO) โดยที่เครื่องปรับอากาศจะสั่งให้คอมเพรสเซอร์ทำงานหรือหยุดทำงานเพื่อควบคุมอุณหภูมิ ส่วนอุปกรณ์ควบคุมการขับเคลื่อนรถยนต์จะผ่อนหรือเพิ่มคันเร่ง (THROTTLE) เพื่อควบคุมความเร็ว โดยปกติแล้วกระบวนการควบคุมทางอุตสาหกรรม จะใช้ค่าตัวแปรควบคุมไปขับเคลื่อนวาล์วควบคุม เพื่อควบคุมค่าตัวแปรกระบวนการอย่างเช่น ระดับน้ำในถัง อัตราการไหลของของไหล ความดัน หรืออุณหภูมิให้เข้าสู่ค่าเป้าหมายที่เราต้องการ

กระบวนการควบคุมส่วนใหญ่ ไม่ได้ทำการควบคุมโดยตรงที่ค่าตัวแปรกระบวนการหรือค่าเป้าหมาย แต่ทำที่ค่าสัญญาณความผิดพลาด (ERROR SIGNAL, e) ที่ตัวควบคุมคำนวณออกมา ค่าความผิดพลาดจะแสดงค่าตัวแปรควบคุมที่เบี่ยงเบนไปจากค่าเป้าหมาย ซึ่งคำนวณได้ตามสมการ

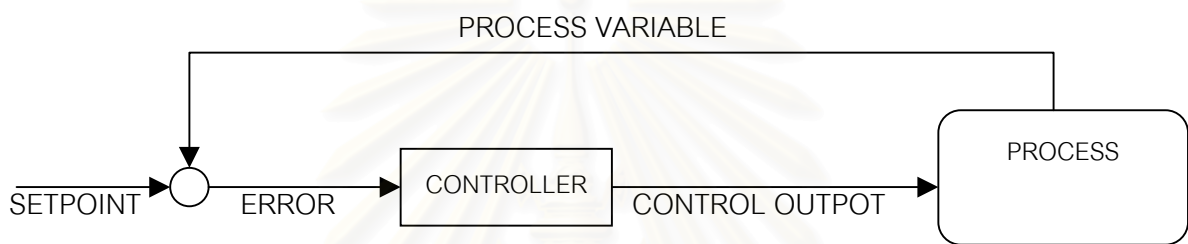
$$e = PV - SP$$

โดยที่ e = สัญญาณความผิดพลาด

PV = ตัวแปรกระบวนการ

SP = ค่าเป้าหมาย

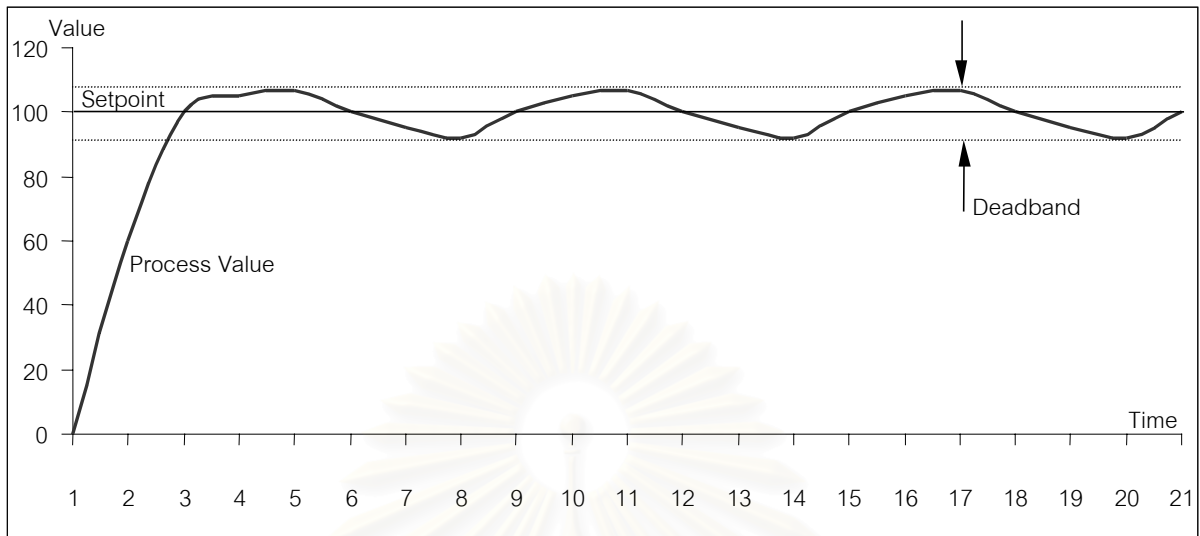
ค่าความผิดพลาดที่เป็นบวกแสดงถึง ค่าตัวแปรกระบวนการที่เกินค่าเป้าหมายไป ส่วนค่าที่เป็นลบจะแสดงว่ายังไม่ถึงค่าเป้าหมาย เนื่องจากข้อมูลของตัวแปรกระบวนการถูกป้อนกลับมาจากกระบวนการที่ถูกควบคุมแล้ว ดังนั้นบางครั้งกระบวนการควบคุมประเภทนี้จึงถูกเรียกว่า กระบวนการควบคุมแบบป้อนกลับโดยอาศัยค่าสัญญาณความผิดพลาด (ERROR FEEDBACK CONTROLLER) ตัวควบคุมจะใช้ค่าความผิดพลาดมาประเมินค่าตัวแปรควบคุม ซึ่งจำเป็นในการจะคงค่าตัวแปรกระบวนการไว้ที่ค่าเป้าหมาย รูปแบบของตัวควบคุมโดยทั่วไปสามารถดูได้จากรูปที่ 2.9



รูปที่ 2.9 โครงสร้างของกระบวนการควบคุม

2.2.2. การควบคุมแบบเปิด/ปิด (ON / OFF CONTROLLERS)

การควบคุมแบบเปิด / ปิดถือว่าเป็นตัวควบคุมอย่างง่ายที่สุด เนื่องจากง่ายต่อการควบคุมอุปกรณ์ที่รับทางเอาต์พุต ซึ่งจะเปิดหรือปิดขึ้นกับค่าสัญญาณความผิดพลาด เครื่องปรับอากาศตามบ้านส่วนใหญ่ก็เป็นตัวควบคุมแบบเปิด/ปิดคือ คอมเพรสเซอร์จะทำงาน (เปิด) เมื่อค่าความผิดพลาดเป็นลบ คอมเพรสเซอร์จะทำงาน (เปิด) เมื่อค่าความผิดพลาดเป็นลบ (อุณหภูมิสูงเกินไป) และจะหยุดทำงาน (ปิด) เมื่อค่าความผิดพลาดเป็นบวก (อุณหภูมิต่ำเกินไป) เพื่อหลีกเลี่ยงการเปิดปิดอย่างรวดเร็วของตัวควบคุม ตัวควบคุมแบบเปิด/ปิดส่วนใหญ่จึงมี DEADBAND ซึ่งค่าเอาต์พุตของตัวควบคุมจะคงไว้ที่สถานะปัจจุบันจนกระทั่งค่าความผิดพลาดหลุดออกจากช่วง DEADBAND เช่น 2 องศาเซลเซียส ตัวควบคุมจะสั่งให้คอมเพรสเซอร์ทำงานก็ต่อเมื่อค่าความผิดพลาดทางด้านบวกถึง 1 องศาเซลเซียส ด้วยเหตุนี้ตัวแปรกระบวนการที่ถูกควบคุมโดยตัวควบคุมแบบเปิด/ปิดจึงเปลี่ยนแปลงค่าขึ้นลงอยู่รอบ ๆ ค่าเป้าหมาย ดังที่แสดงไว้ในรูปที่ 2.10 ตัวควบคุมแบบเปิด/ปิดนี้มักจะถูกเรียกว่า ตัวควบคุมแบบ “BANG-BANG” เพราะค่าตัวแปรควบคุมมักจะเปลี่ยนไปมาระหว่างค่าควบคุม 2 ค่าที่แตกต่างกัน



รูปที่ 2.10 การตอบสนองของตัวควบคุมแบบเปิด/ปิด (ดัดแปลงจาก สุดาทิป, 2540)

2.2.3. การควบคุมแบบต่อเนื่อง (CONTINUOUS CONTROLLERS)

กระบวนการทางอุตสาหกรรมส่วนใหญ่ใช้การควบคุมแบบต่อเนื่อง ค่าตัวแปรควบคุมจะเป็นแบบอนาลอก ซึ่งจะถูกรับอย่างต่อเนื่อง ถือเป็นข้อดีที่เด่นชัดที่สามารถกำจัดการเปลี่ยนแปลงขึ้น/ลงของค่าตัวแปรควบคุม อย่างที่เกิดขึ้นในตัวควบคุมแบบเปิด/ปิดได้ ตัวควบคุมแบบต่อเนื่องที่ใช้ในอุตสาหกรรมทุกวันนี้จะเป็นแบบ DERIVATIVE ดังนั้นจึงมีการเรียกตัวควบคุมประเภทนี้ว่าเป็น ตัวควบคุมแบบ PROPORTIONAL INTEGRAL DERIVATIVE (PID) ผลของตัวควบคุมในแต่ละแบบจะบรรยายอย่างดังต่อไปนี้

2.2.4. การควบคุมแบบ PROPORTIONAL

การควบคุมประเภทนี้ได้ชื่อมาจากข้อเท็จจริงที่ว่า การควบคุมค่าเอาต์พุตเป็นสัดส่วนโดยตรงกับค่าสัญญาณความผิดพลาดค่าสัญญาณค่าสัญญาณความผิดพลาดจำนวนมากจะสร้างค่าควบคุมเอาต์พุตที่มาก ในทางตรงกันข้าม ค่าสัญญาณความผิดพลาดที่น้อย ๆ จะให้ค่าควบคุมเอาต์พุตที่น้อย

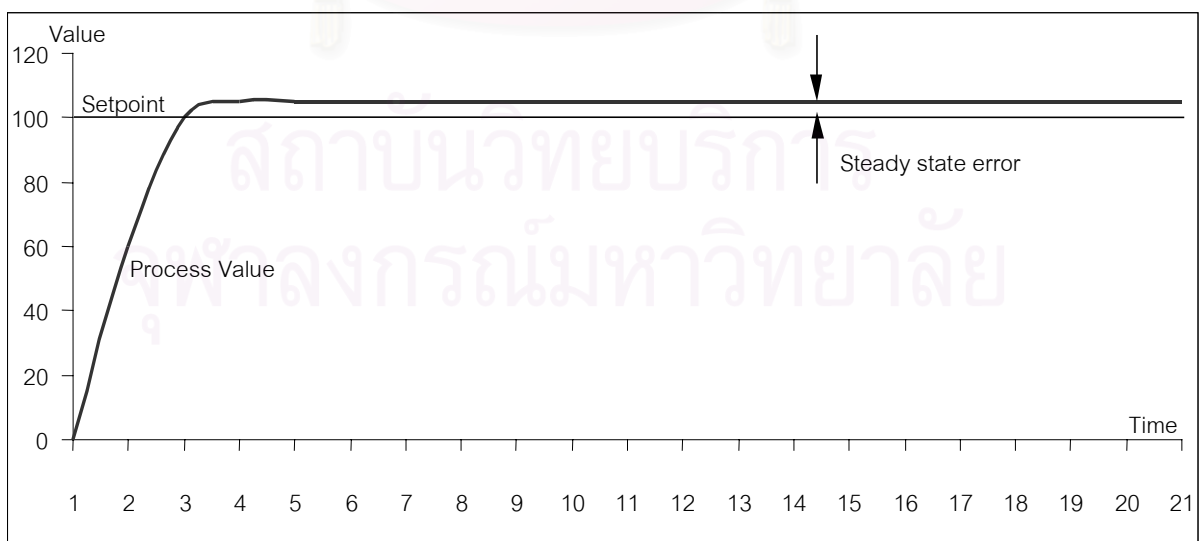
ถ้าค่าสัญญาณความผิดพลาดที่เป็นบวกทำให้ค่าควบคุมเอาต์พุตเพิ่มขึ้น ตัวควบคุมตัวนั้นจะถือว่าเป็นตัวควบคุมแบบให้ผลกระทำตรง (DIRECT ACTING) ในทางกลับกัน ถ้าค่าสัญญาณความผิดพลาดที่เป็นบวกทำให้ค่าควบคุมเอาต์พุตลดลง ตัวควบคุมตัวนั้นจะเป็นแบบที่ให้ผลกระทำผกผัน (REVERSE ACTING)

ผลกระทำของตัวควบคุมจะเป็นแบบตรงหรือแบบผกผันขึ้นอยู่กับองค์ประกอบของกระบวนการ อย่างเช่นในกรณี การควบคุมระดับของของเหลวในถัง การกระทำจะขึ้นอยู่กับตำแหน่งของวาล์วควบคุม ถ้าวาล์ว

ควบคุมอยู่ในตำแหน่งที่ทำการควบคุมอัตราไหลของของเหลวออกจากถัง ความต้องการของเราก็คือ ต้องการให้ค่าความผิดพลาดที่เป็นบวก (ระดับของของเหลวสูงเกินไป) ไปเพิ่มค่าตัวแปรควบคุม ก็คือการเปิด วาล์วและให้ของเหลวไหลออกจากถังเพิ่มขึ้นนั่นเอง ดังนั้นตัวควบคุมที่ใช้จะต้องใช้ตัวควบคุมแบบให้ผลกระทำ ตรง ในทางกลับกันถ้าวาล์วทำการควบคุมอัตราไหลเข้าถังของของเหลวเราจะเลือกใช้ตัวควบคุมแบบที่ให้ ผลกระทำผกผัน ซึ่งจะให้ผลการตอบสนองต่อระดับของของเหลวที่สูงเกินไป โดยการปิดวาล์วเพื่อลดปริมาณ ของของเหลวที่จะไหลเข้าถังนั่นเอง

ค่าออฟเซตจะเป็นตัวกำหนดว่าค่าตัวแปรควบคุมจะเป็นเท่าไร ที่ค่าความผิดพลาดเป็นศูนย์ โดยปกติ แล้วจะตั้งค่าไว้ที่ 50 เปอร์เซ็นต์ นั่นคืออุปกรณ์ควบคุมจะเปิด 50 เปอร์เซ็นต์ เมื่อค่าความผิดพลาดเป็นศูนย์ ส่วนค่าอัตราขยายจะเป็นตัวกำหนดปริมาณการปฏิบัติของการควบคุม (CONTROL ACTION) ที่เกิดขึ้น จากค่าสัญญาณความผิดพลาดที่ให้ออกมา ที่ค่าสัญญาณความผิดพลาดที่เปลี่ยนแปลงไปค่าหนึ่ง ถ้าอัตรา ขยายมีค่าน้อยจะทำให้ตัวแปรควบคุมเปลี่ยนแปลงไปน้อยกว่าที่อัตราขยายมีค่ามาก ๆ

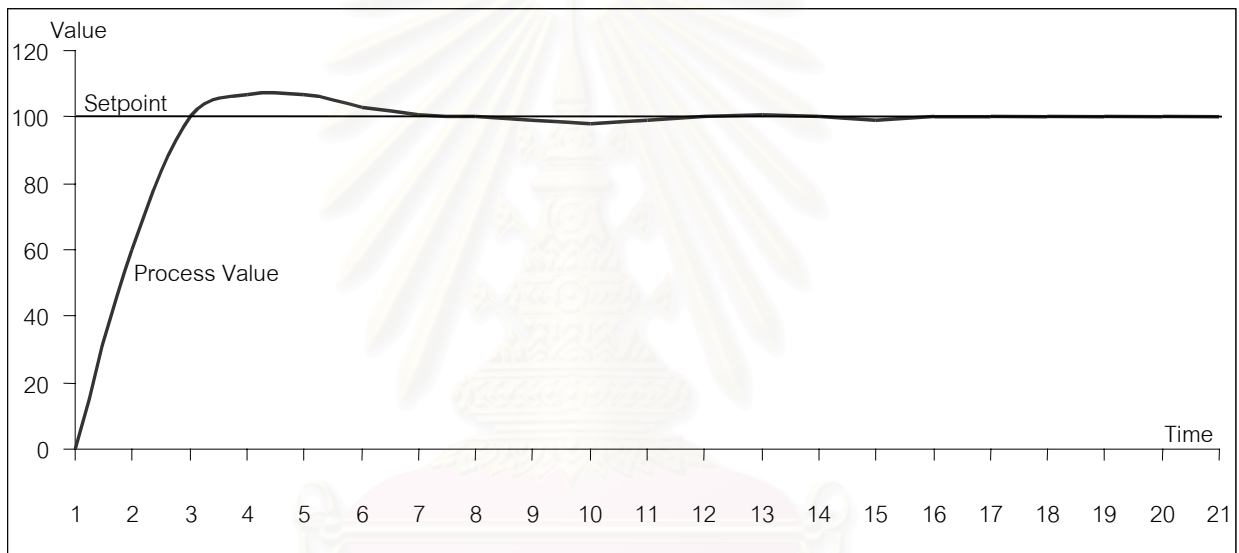
ปัญหาเบื้องต้นของการควบคุมแบบนี้คือ ค่าสัญญาณความผิดพลาดที่ไม่เป็นศูนย์ซึ่งจำเป็นต้องมี เพื่อสร้างตัวแปรควบคุมสำหรับทำให้กระบวนการได้อย่างเที่ยงตรง ค่าตัวแปรควบคุมที่จะทำให้ค่าตัวแปร กระบวนการเข้าสู่ค่าเป้าหมายได้ จะต้องเท่ากับค่าออฟเซต (50 เปอร์เซ็นต์ ดังตัวอย่างข้างต้น) เพื่อให้ได้มาซึ่ง การควบคุมที่ไม่ผิดพลาดในช่วงค่าเป้าหมายอย่างไรก็ดีในสภาวะใด ๆ ก็ตามของกระบวนการ ค่าสัญญาณ ความผิดพลาดที่ไม่เป็นศูนย์จำเป็นต้องมีเสมอ เพื่อสร้างค่าตัวแปรควบคุมที่เหมาะสม ด้วยเหตุนี้ค่าตัวแปร กระบวนการจึงต่างจากค่าเป้าหมายเสมอ ดังแสดงในรูปที่ 2.11 เราเรียกปรากฏการณ์นี้ว่า ความผิดพลาดที่ สภาวะคงตัว (STEADY-STATE ERROR)



รูปที่ 2.11 การตอบสนองของการควบคุมแบบ PROPORTIONAL (ดัดแปลงจาก สุดาทีป, 2540)

2.2.5. การควบคุมแบบ PROPORTIONAL-INTEGRAL (PI CONTROLLERS)

ในเบื้องต้นการปฏิบัติแบบ INTEGRAL จะถูกเพิ่มให้กับตัวควบคุมแบบ PROPORTIONAL เพื่อแก้ปัญหาความผิดพลาดที่สภาวะคงตัวพร้อมจะกำจัดความต้องการค่าออฟเซต และยังแก้ปัญหาความผิดพลาดที่สภาวะคงตัวด้วย เนื่องด้วยค่าความผิดพลาดที่เกิดขึ้นเป็นค่าที่ถูกสะสมอย่างต่อเนื่องตลอดเวลา ทำให้ค่าตัวแปรควบคุมของตัวควบคุมที่มีการปฏิบัติแบบ INTEGRAL เปลี่ยนแปลงอย่างต่อเนื่อง ตราบเท่าที่ค่าความผิดพลาดยังไม่เป็นศูนย์ และจะหยุดเมื่อค่าความผิดพลาดเป็นศูนย์ ถ้ากระบวนการที่ถูกควบคุมมีความเสถียร การควบคุมแบบนี้จะรับประกันได้ว่าค่าความผิดพลาดที่สภาวะคงตัวจะกลายเป็นศูนย์ ดังแสดงในรูปที่ 2.12



รูปที่ 2.12 การตอบสนองของการควบคุมแบบ PROPORTIONAL – INTEGRAL (ดัดแปลงจาก สุดาทีป, 2540)

2.2.6. การควบคุมแบบ PROPORTIONAL-INTEGRAL-DERIVATIVE (PID CONTROLLERS)

การปฏิบัติแบบ PID จะเพิ่มให้กับตัวควบคุมแบบ PRO-PORTIONAL เพื่อแก้ปัญหากระบวนการเฉื่อย (SLUGGISH PROCESS) อย่างเช่นกระบวนการที่จัดการกับสารปริมาณมากๆ ซึ่งต้องถูกเร่ง หรือลดความเร่ง เพิ่มความร้อนหรือให้ความเย็น ต่างมีแนวโน้มในการใช้ตัวควบคุมแบบ PID ทั้งสิ้น

การควบคุมจะมีผลกับอัตราการเปลี่ยนแปลงค่าความผิดพลาดที่เกิดขึ้น ซึ่งจะมีผลกระทบต่อลดค่าตัวแปรควบคุมเพื่อทำให้เกิดโอเวอร์ชูต (OVERSHOOT) ที่น้อยที่สุด นั่นหมายถึงว่า กระบวนการจะเข้าถึงค่าเป้าหมายได้ไม่ช้า ตัวอย่างเช่น เมื่อควบคุมอุณหภูมิในถังที่มีขนาดใหญ่มากถังหนึ่ง การเพิ่มค่าเป้าหมายอาจต้องการค่าตัวแปรควบคุมถึง 100 เปอร์เซ็นต์ เป็นระยะเวลาเวลานาน เพื่อเพิ่มความร้อนให้กับถังอย่างรวดเร็ว

แต่อย่างไรก็ดีเมื่อความร้อนที่ให้ เริ่มมีผลต่ออุณหภูมิของถัง เราจำเป็นต้องลดความร้อนลงอย่างรวดเร็วเช่นกัน เพื่อหลีกเลี่ยงการเกิดโอเวอร์ชูตของอุณหภูมิ การปฏิบัติแบบ PID จะทำให้การควบคุมกระบวนการประเภทนี้เป็นไปอย่างมีประสิทธิภาพ

2.2.7. การปรับการควบคุม (CONTROLLER TUNING)

กระบวนการในการเลือกค่าอัตราการขยายเพื่อการควบคุมที่ดีที่สุด เรียกว่า การปรับการควบคุม ค่าอัตราการขยายที่สูงเกินไปจะทำให้ค่าตัวแปรควบคุมแกว่งเป็นวงกว้าง และพฤติกรรมของค่าตัวแปรควบคุมไม่เสถียร ในขณะที่ค่าอัตราการขยายที่ต่ำเกินไปจะทำให้ค่าตัวแปรควบคุมมีการตอบสนองช้า และการควบคุมจะให้ผลไม่ดีเท่าที่ควร ถ้าค่าอัตราการขยายได้รับการปรับแต่งอย่างดีแล้ว กระบวนการภายใต้การควบคุมนี้จะให้ผลตอบสนองอย่างรวดเร็ว เพื่อเปลี่ยนแปลงในช่วงค่าเป้าหมายและทำให้กระบวนการกลับสู่สภาวะที่ต้องการ

อย่างไรก็ดีแนวโน้มของการเปลี่ยนแปลงค่าอัตราการขยายไม่ใช่ว่าต้องเป็นไปในทิศทางเดียวกันจึงจะ ได้ผลดี การผสมผสานที่เหมาะสมของการปฏิบัติแบบ PROPORTIONAL แบบ PI และแบบ PID จึงจะนำไปสู่ การควบคุมที่ดีได้ ซึ่งต้องขึ้นอยู่กับลักษณะของกระบวนการที่จะควบคุมด้วย การปฏิบัติแบบ PROPORTIONAL ที่มีค่าสูงๆ จะเหมาะกับการควบคุมกระบวนการ ที่เราสามารถคาดการณ์การเปลี่ยนแปลงอันเนื่องมาจากตัวแปรควบคุมได้ สำหรับกระบวนการที่มีสัญญาณรบกวน (NOISE) ขณะวัดค่าตัวแปรกระบวนการ การควบคุมด้วยค่าอัตราการขยายสูงๆ มักจะไม่ให้ผลดี การควบคุมระดับของเหลวในถัง และการควบคุมอุณหภูมิถือเป็นตัวอย่างที่สามารถใช้การควบคุมด้วยอัตราการขยายสัดส่วนที่มีค่าสูงๆ ได้ดี ในขณะที่การควบคุมอัตราการไหลหรือการควบคุมความดันซึ่งให้ผลตอบสนองรวดเร็วและมีสัญญาณรบกวนในค่าตัวแปรกระบวนการมาก จะต้องทำการควบคุมโดยใช้อัตราการขยายสัดส่วนต่ำๆ จึงจะได้ผลดี

สำหรับการปฏิบัติแบบ PI ถือได้ว่ามีพฤติกรรมที่เกือบจะตรงกันข้ามกับการปฏิบัติแบบ PROPORTIONAL เนื่องจากการปฏิบัติแบบ PI มีคุณสมบัติเป็นเหมือนตัวกรองสัญญาณความถี่ต่ำชนิดหนึ่ง เพราะฉะนั้นสัญญาณรบกวนจึงไม่มีผลกระทบต่อตัวแปรกระบวนการ (สัญญาณรบกวนมีค่าน้อยเมื่อเทียบกับค่าความผิดพลาดสะสม) การปฏิบัติที่เพิ่มเข้ามาก็หมายถึงว่า การควบคุมจะไม่เกิดผลเฉียบพลันต่อการเปลี่ยนแปลงในกระบวนการ แต่จะเป็นแบบค่อยเป็นค่อยไป ความจริงที่ว่านี่จึงทำให้เป็นผลดีต่อกระบวนการที่มีการตอบสนองรวดเร็ว (FAST RESPONDING) อาจกล่าวได้ว่าเป็นกระบวนการที่เหมาะสมกับสัญญาณรบกวน อย่างเช่น ค่าอัตราการขยาย PI ควรจะมีค่าที่ค่อนข้างสูงกว่าค่าอัตราการขยาย PROPORTIONAL

ในการควบคุมอุณหภูมิและระดับของไหลในถัง ผลกระทบของตัวแปรควบคุมภายในกระบวนการจะถูกสะสมตลอดเวลา ความร้อนที่ถูกเพิ่มให้กับกระบวนการ ทำยที่สุดก็จะทำให้อุณหภูมิเพิ่มขึ้น ขณะที่ของไหลที่เพิ่มเข้าไปในถังทำยที่สุดก็จะเพิ่มระดับของไหลเช่นกัน เนื่องด้วยกระบวนการประเภทนี้มีการปฏิบัติแบบ PI

อยู่แล้ว ดังนั้นในการควบคุมจึงต้องการตัวควบคุมที่มีการปฏิบัติแบบ PI เพียงน้อยนิดถึงไม่มีเลย และอัตราการขยาย PI ที่ใช้ก็ควรจะมีค่าต่ำเช่นกัน

ในการควบคุมโดยการใช้การปฏิบัติแบบ PID จำเป็นจะต้องใช้ความระมัดระวังอย่างสูง ชั้นแรกอัตราการขยาย PID ควรจะถูกปรับอย่างระมัดระวัง ลำดับที่สอง ควรหลีกเลี่ยงการใช้ในกระบวนการที่มีสัญญาณรบกวนในค่าตัวแปรกระบวนการ สัญญาณรบกวนในค่าตัวแปรกระบวนการจะทำให้เกิดค่าสัญญาณความผิดพลาดเปลี่ยนแปลงขึ้นลงอย่างรุนแรง เป็นผลให้ค่าความชันเปลี่ยนแปลงทั้งทางบวกและทางลบอย่างรวดเร็ว การเปลี่ยนแปลงนี้เป็นผลมาจากการปฏิบัติแบบ PID ซึ่งการควบคุมมักจะไม่ได้เสถียรเมื่อมีสัญญาณรบกวนเกิดขึ้นในค่าตัวแปรกระบวนการ ดังนั้นในการเลือกใช้ควรเป็นไปอย่างรอบคอบ กระบวนการที่สามารถใช้การปฏิบัติแบบนี้ได้ต้องเป็นกระบวนการที่มีการวัดที่เชื่อถือได้และไม่มีสัญญาณรบกวน (DEPENDABLE AND NOISE-FREE) ซึ่งกระบวนการที่เป็นไปตามนี้ก็คือการควบคุมอุณหภูมิ

ดังนั้นการที่จะเลือกใช้กระบวนการควบคุมแบบไหน จะต้องมีความรู้เฉพาะทางในเรื่องของตัวควบคุมที่ใช้ และกระบวนการภายใต้การควบคุมนั้น เพื่อที่จะสามารถตั้งค่าอัตราการขยายของตัวควบคุมที่ให้ค่าเป็นที่น่าพอใจได้ ยิ่งไปกว่านั้นผู้ผลิตตัวควบคุมแต่ละตัวกำหนดสมการที่ใช้กับตัวควบคุมแตกต่างกันไป ดังนั้นค่าอัตราการขยายจึงไม่จำเป็นต้องมีพฤติกรรมเหมือนตัวอย่างนี้เสมอไป ตัวควบคุมบางตัว เราจะปรับการปฏิบัติแบบ PROPORTIONAL โดยการปรับค่าเปอร์เซ็นต์ของแบบสัดส่วน และการปฏิบัติของ PI โดยการปรับค่าหน่วยจำนวนครั้งต่อนาทีหรือนาทีต่อจำนวนครั้ง (REPEATS PER MINUTE OR MINUTE PER REPEAT) ซึ่งจะให้ผลตรงข้ามกัน เพื่อเพิ่มความสับสนยิ่งขึ้นไปอีกการปฏิบัติแบบ PROPORTIONAL แบบ PI และแบบ PID มักจะถูกเรียกเป็นค่าอัตราการขยายค่ารีเซ็ต (RESET) และค่าอัตรา (RATE) ในหนังสือแบบเก่า ดังนั้นเพื่อความปลอดภัย ควรใช้ข้อมูลจากผู้ผลิตอ้างอิงทุกครั้ง

2.3 การควบคุมแบบฟัซซีลอจิก

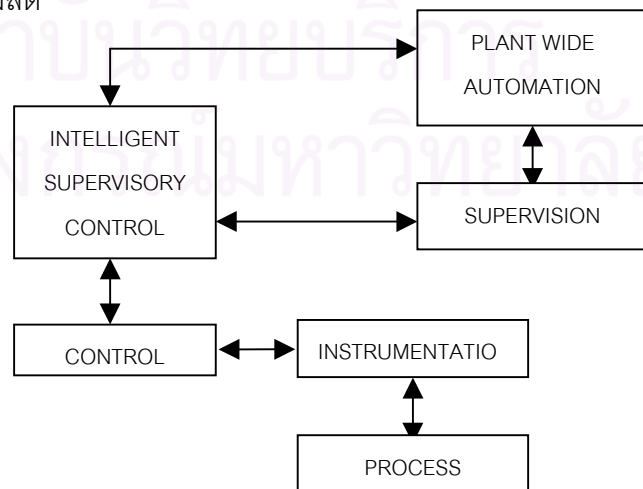
สหัส พรหมสิทธิ์ ได้กล่าวถึงระบบควบคุมแบบ ฟัซซีลอจิก ไว้ในหนังสือ Instrumentation World พ.ศ. 2540 ไว้ดังนี้

ปัญหาที่จัดว่ามีความสำคัญที่สุดในแง่ของการควบคุมกระบวนการ (PROCESS CONTROL) และการบริหารในโรงงานอุตสาหกรรมคือ การตรวจตราควบคุมแบบอัตโนมัติ (INTELLIGENT SUPERVISORY CONTROL) และการออปติไมซ์ (OPTIMIZATION) อันหมายถึงการปรับบังคับให้ “ระบบ” ทำงานให้ได้ใกล้เคียงกับที่ออกแบบไว้ให้มากที่สุดเท่าที่จะทำได้ โดยในปัจจุบัน ได้มี ระบบที่เรียกว่า DISTRIBUTED CONTROL SYSTEM (DCS) ชนิดต่างๆ เกิดขึ้นมาอย่างมากมาย ที่สามารถให้บริการเทคโนโลยี สำหรับการควบคุมขั้นพื้นฐาน เช่น PROPORTIONAL-INTEGRAL-DERIVATIVE LOOP CONTROL (PID) ระบบที่ว่านี้ จะเก็บข้อมูลจากเครื่องวัด รวมทั้งทำหน้าที่ปรับแต่งตัวแปรต่างๆ ที่เกี่ยวข้องกับกระบวนการในการผลิต (PROCESS VARIABLES) ตลอดจนเป็นพื้นฐานที่จะก้าวไปสู่การออปติไมซ์

อย่างไรก็ตามระบบดังกล่าวก็ยังมีข้อเสียในแง่ของการขาดความยืดหยุ่น รวมทั้งการไม่สามารถปรับเปลี่ยนตัวเอง ภายใต้สภาวะที่มีการเปลี่ยนแปลงอยู่ตลอดเวลาเมื่ออยู่ในสภาพแวดล้อมของโรงจักร เช่น โรงไฟฟ้าหรือโรงงาน อุตสาหกรรม อย่างปิโตรเคมี เป็นต้น เทคโนโลยีในด้านการควบคุมกระบวนการและการวัดด้วยอุปกรณ์ (INSTRUMENTATION) ที่จะกล่าวในที่นี้จะเป็นกระบวนการแบบต่อเนื่อง (continuous process) โดยจะมุ่งไปที่การใช้เทคนิคใหม่ๆ เช่น ฟัซซีลอจิก (FUZZY LOGIC) มาใช้ในการเพิ่มประสิทธิภาพการปรับแต่งหรือการจูนลูป (LOOP TUNING) สำหรับโรงงานที่ใช้ PID-LOOP เป็นจำนวนมาก

วิศวกรรมการควบคุมในปัจจุบัน

ภายในโรงงานอุตสาหกรรมขนาดใหญ่ มักมีห้อง PID-LOOP อยู่เป็นจำนวนมาก (นับเป็นร้อยลูป) สัมประสิทธิ์อื่นเป็นตัวเลขที่เป็นคุณสมบัติภายในลูปต่างๆ จะขึ้นอยู่กับอาทิ ต้องการผลิตอะไร, เป้าหมายของการผลิต, ลักษณะอันเป็นธรรมชาติ และสถานะของกระบวนการในรูปต่างๆ, คุณภาพของวัตถุดิบ, สภาวะอันเป็นเงื่อนไขในทางปฏิบัติที่ต้องการ (desired operating condition) สำหรับภายในโรงงาน หรืออาณาบริเวณที่เป็นโรงงานซึ่งเกี่ยวข้องกับการผลิต



รูปที่ 2.13 การควบคุมและการบริหารโรงงานยุคใหม่ (ดัดแปลงจาก สหัส, 2540)

การทำงานของโรงงานย่อมเปรียบได้กับการทำงานของร่างกายมนุษย์ ในแง่ของการที่ต้องมีการเปลี่ยนแปลง ผันผวนอยู่ตลอดเวลา ดังเช่นในกรณีที่ว่า ในช่วงขณะหนึ่งนั้นตัวแปรหรือพารามิเตอร์ตัวใดตัวหนึ่งอาจมีความสำคัญจน มองข้ามไม่ได้แต่เมื่อเวลาผ่านไปอีกช่วงขณะ ตัวแปรตัวเดียวกันนี้ก็อาจหมดความสำคัญหรืออาจก่อให้เกิดผลร้ายแก่ระบบ จนไม่เป็นที่ต้องการอีกต่อไป อันทำให้ต้องพึ่งเทคโนโลยีใหม่ๆ ในด้านการควบคุมและการออปติไมซ์ที่เรียกว่า INTELLIGENT SUPERVISORY CONTROL AND OPTIMIZATION SYSTEM เพื่อให้เข้ามาทำหน้าที่ในแง่ของการติดตามบันทึก (MONITER) กลั่นกรองและปรับแต่งส่วนที่เกี่ยวกับการควบคุมและการสอบวัด (CONTROL AND INSTRUMENTATION) ซึ่งมีองค์ประกอบใหญ่อยู่ 3 อย่างคือ

- การจูน (TUNING) หรือการปรับแต่ง ตัวแปรที่เป็นพารามิเตอร์ต่างๆ ที่อยู่ภายใต้กฎของการบังคับควบคุม (CONTROL LAWS)

- การประเมินและการออปติไมซ์ตัวเลขที่เรียกว่าค่าเป้าหมาย (SET POINT)

- การวิเคราะห์และติดตามประสิทธิภาพของระบบ

ดังนั้นถ้าจะให้เขียนภาพเพื่อแสดงรูปแบบของการควบคุมที่เป็นแบบ INTELLIGENT SUPERVISORY บวกด้วยการบริหารที่เป็นส่วนหนึ่งของโครงสร้างของ CIM (COMPUTER INTERGRATED MANUFACTURING) จะได้ความสัมพันธ์ดังในรูปที่ 2.13

2.3.1. ตัวอย่างปัญหาในการผลิตที่เกิดจากระบบควบคุม

ปัญหาใหญ่อันหนึ่งในเรื่องของการควบคุม (เช่น อุณหภูมิ) ที่ค้างคาใจวิศวกรตลอดจนผู้เกี่ยวข้องต่างๆ ในด้านการผลิตมาเป็นเวลาช้านาน ก็คือเรื่องของการปรับแต่งหรือจูนนิ่ง (TUNING) จนได้มีการประมาณการกันว่า รวบรวมร้อยละ 40 ของการผลิตต้อง เป็นกระบวนการแบบต่อเนื่อง จะมีกระแสของการรบกวนที่วัดค่าไม่ได้ หรือไม่ก็เกิดจาก เรื่องของความไม่เป็นเชิงเส้นที่มีผลต่อการตอบโต้ของอุปกรณ์ควบคุมลูปที่เป็น PID การทำงานของ PID ที่เป็นแบบเชิงเส้น (LINEAR) จึงไม่สามารถเผชิญกับกระบวนการต่างๆ ที่ตกอยู่ภายใต้การแปรปรวนผันผวนในรูปของความไม่เป็นเชิงเส้น (NONLINEAR) ได้ อันทำให้บุคลากรที่ทำหน้าที่เป็นช่างหรือวิศวกร ต้องเข้ามาควบคุมดูแลการทำงานของลูปต่างๆ ด้วย ตนเองในรูปของ MANUAL MODE ทำให้มีผลขั้นต่อไปว่าถ้ามีการปรับแต่ง PID ลูปเพิ่มมากเกินไปก็จะทำให้เกิด อาการ กวัดแกว่ง (OSCILLATORY BEHAVIOR) และหากมีการปรับแต่งน้อยจนเกินไปจะทำให้เกิดการตอบสนองช้า (TRANSIENT RESPONSE) ซึ่งไม่ดีเท่าที่ควร ดังตัวอย่างในการผลิตสารเคมีที่เรียกว่า FABRIC SOFTEUER INGREDIENT ซึ่งเป็นของเหลวที่จะนำมาถลุงในขั้นนี้

กรรมวิธีการผลิตที่เป็นของเหลวที่เรียกว่า FABRIC SOFTEUER นี้ต้องการอุปกรณ์ทำความเย็น ที่ระบายความร้อน ได้ชั่วโมงละ 1 ล้านบีทียู สำหรับกระบวนการใหม่ที่ผู้ผลิตนำมาใช้จะเกิดปัญหาที่ว่า PID-LOOP แบบที่ใช้กันอยู่ ทั่วไป ซึ่งอยู่ใน DCS ของผู้ผลิต ไม่สามารถที่จะลดการแปรปรวนที่มากถึง ± 15 องศาฟาเรนไฮต์ เมื่อเทียบกับค่าเป้าหมาย ซึ่งได้กำหนดอุณหภูมิไว้ที่ 157 องศาฟาเรนไฮต์ อันเป็นความแปรปรวนของอุณหภูมิภายในอุปกรณ์ทำความเย็นแบบ SHELL-AND-TUBE ที่วิศวกรยอมรับไม่ได้ เพราะผลิตภัณฑ์จะแข็งตัวที่อุณหภูมิ 150 องศาฟาเรนไฮต์ และจะไปทำให้ ท่อของอุปกรณ์ทำความเย็นเกิดการอุดตันหรือทำงานไม่

สะดวก ซึ่งต้องแก้ปัญหาด้วยการฉีดไอน้ำร้อนเข้าไปในท่อดังกล่าว หรือนำผลิตภัณฑ์ที่ยังร้อนอยู่ให้มาไหลวนใหม่อีกครั้งเป็นการช่วยเพิ่มอุณหภูมิ เพื่อที่จะไปแก้ปัญหาในเรื่องการ อุดตันในท่อ

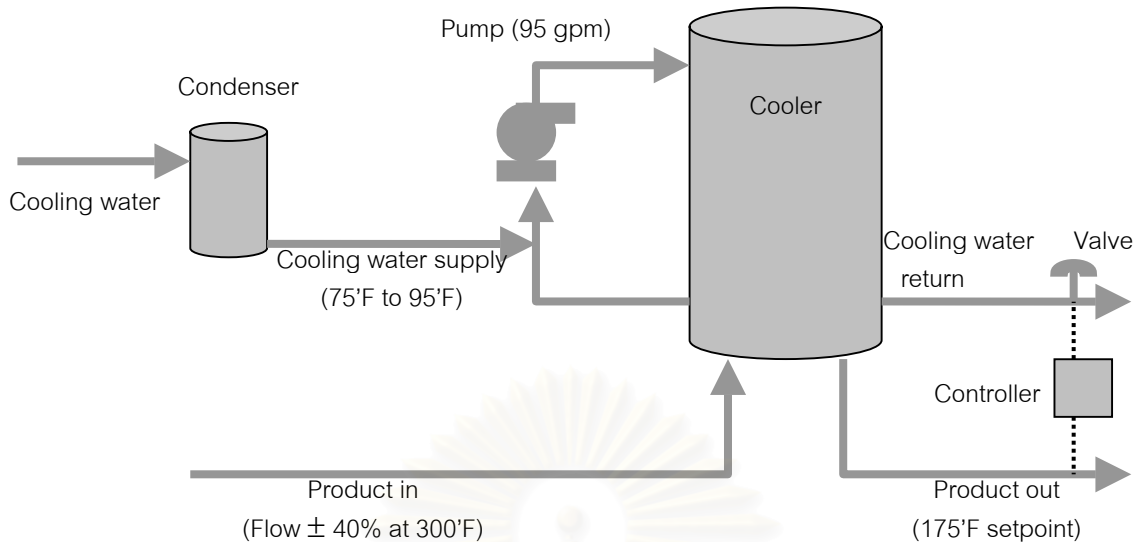
ในอดีตที่แล้มาทางโรงงานต้องเสียเวลาในการผลิตไปราว 4 ชั่วโมงต่อวัน เพื่อแก้ปัญหาเรื่องท่อตัน จากชั่วโมงการผลิตที่ทำอย่างต่อเนื่องวันละ 24 ชั่วโมง อย่างไรก็ตามการทำให้ผลิตภัณฑ์ร้อนมากๆ ก็จะมีปัญหาเช่นกัน เพราะจะต้องนำมาบรรจุลงในรถบรรทุก ซึ่งเป็นถังหุ้มด้วยฉนวน โดยผลิตภัณฑ์จะต้องมีอุณหภูมิระหว่าง 155-160 องศาฟาเรนไฮต์ โดยเทออกจากตัวคูลเลอร์ลงสู่บรรทุก ผลิตภัณฑ์ที่ร้อนเกินกว่าอุณหภูมิดังกล่าวก็จะมีปัญหา เพราะจะต้องนำไปทำให้เย็นลงจนถึงอุณหภูมิที่จะทำการขนส่งได้ ซึ่งต้องใช้เวลาหลายวัน ทั้งหมดนี้ เป็นการ มองปัญหาของโรงงานอย่างกว้างๆ ก่อนที่จะก้าวลึกเข้าไปในรายละเอียดในลำดับต่อไป

2.3.2. การควบคุมอุณหภูมิภายในรูป

ปัญหาอันเป็นรายละเอียดที่เกิดขึ้นในโรงงานผลิต FABRIC SOFTEUER INGREDIENT ได้แสดงไว้ในรูปที่ 2.14 โดย แสดงเฉพาะส่วนประกอบที่สำคัญ เช่น อุปกรณ์ทำความเย็น (COOLOR) และคอนเด็นเซอร์ (CONDENSER) ซ้ายสุด ของรูปนี้จะเป็นจุดที่น้ำที่ใช้สำหรับทำความเย็น (TOWER COOLING WATER SUPPLY : TCW SUPPLY) ผ่านเข้าไปในคอนเด็นเซอร์เป็นอันดับแรก การแปรปรวนของปริมาณน้ำที่ผ่านเข้ามาที่คอนเด็นเซอร์ ตลอดจน ความ ไม่แน่นอนของอุณหภูมิและความชื้นของอากาศภายในหอทำความเย็น (COLLING TOWER) จะทำให้น้ำ ที่มายัง คูลเลอร์มีอุณหภูมิระหว่าง 75-95 องศาฟาเรนไฮต์ สิ่งที่น่ามาทำให้เกิดความซับซ้อนขึ้นไปอีกก็คือ การไหลของผลิตภัณฑ์ ผ่านคูลเลอร์ (PROD IN) ที่มีการแปรปรวนในรูปของวัฏจักรคิดเป็นร้อยละ ± 40 ส่วนอุณหภูมิของ ผลิตภัณฑ์จะเป็นไป อย่างคงที่และเท่ากับ 300 องศาฟาเรนไฮต์

อิทธิพลที่เข้าไปในตัวควบคุม PID ของกระบวนการนี้คืออุณหภูมิของผลิตภัณฑ์ที่ออกจากคูลเลอร์ โดยเอาต์พุต จากตัวควบคุมจะไปบังคับวาล์วที่อยู่ในแนวของน้ำไหลกลับจากหอทำน้ำเย็น (COOLING TOWER WATER RETURN : TCW RETURN) อุณหภูมิของผลิตภัณฑ์ซึ่งแต่เดิมได้อยู่ในรูปของวัฏจักรแบบ SINUSOID (โดยประมาณ) นั้นจะแปรปรวนแบบ ± 15 องศาฟาเรนไฮต์ การปรับค่าคงที่ต่างๆ ที่เกี่ยวข้องกับแก้ PID TUNING ได้ส่งผลน้อยในแง่ของ ขนาดของการกวัดแกว่ง หรือแปรปรวน (AMPLITUDE OF SWINGS) แต่จะมีผลเฉพาะกับเรื่องของคาบเวลา (PERIODS) ซึ่งไม่ใช่เป็นประเด็นของปัญหา

ความพยายามของผู้ผลิตในขั้นแรก เพื่อที่จะแก้ปัญหาโดยลดความรุนแรงของการแปรปรวนของอุณหภูมิ ให้เป็นไปในรูปของการเพิ่มหอทำน้ำเย็นที่มีปั๊มขนาด 95 แกลลอนต่อนาทีเข้าไปอีกหนึ่งตัวดังในรูปที่ 2.14 เพื่อให้การไหล ของน้ำมีความคงที่มากขึ้น รวมทั้งเพื่อเป็นการเพิ่ม THERMAL INERTIA อันเป็นการเพิ่มที่ส่งผลให้รูปของน้ำอันใหม่นี้ สามารถช่วยแก้ไขปัญหาก็ได้บ้างในแง่ของการลดจุดแข็งตัวของผลิตภัณฑ์ในช่วงฤดูหนาว รวมทั้งการลดอุณหภูมิ ที่สูงมากๆ ในช่วงหน้าร้อน อย่างไรก็ตามการแก้ปัญหาในทำนองนี้ยังไม่ตรงเป้า เพราะยังลดการแปรปรวนของ อุณหภูมิไม่ได้ตามที่ต้องการ กล่าวคือสามารถลดการแปรปรวนได้เพียง 2-3 องศาฟาเรนไฮต์ เท่านั้น อันทำให้ต้อง แสวงหา วิธีอื่นต่อไป จนกระทั่งได้พบว่า ฟัชซีลอจิก (FUZZY LOGIC) สามารถแก้ปัญหาทำนองนี้ได้เป็นอย่างดี



รูปที่ 2.14 การควบคุมของผลิตภัณฑ์ขั้นสุดท้ายที่ต้องทำอย่างรัดกุม (ดัดแปลงจาก สหส, 2540)

2.3.3. ฟัชซีลอจิก

ความหมายที่สั้นที่สุดของฟัชซีลอจิกก็คือ เป็นกระบวนการในการแก้ปัญหาที่ต้องเกี่ยวข้องกับข้อมูลที่ไม่มีความเด่นชัดแบบขาวหรือดำ ซึ่งมักจะเกิดขึ้นบ่อยๆ ในโลกของความถูกต้องหรือความผิด 0 หรือ 1 ฯลฯ อันจะมีทางออกแค่เพียง 2 ทางหรือที่เรียกว่า CRISP-LOGIC ซึ่งเป็นกรมองประเด็นปัญหา แบบชัดเจนตายตัว จนค้นไม่ได้ที่ขาดความคล่องตัวหรือแตกหัก การแก้หรือมองปัญหาแบบนี้จึงมีเกี่ยวข้องกับตัวเลข ที่ใช้ในการตัดสินใจที่มีเพียงแค่ 0 กับ 1 โดยอยู่ภายใต้การกระทำทางลอจิกที่มีอยู่ 3 อย่างคือ AND, OR และ NOT ซึ่งจะต่างกับฟัชซีลอจิก ที่มองสรรพสิ่งต่างๆ ในโลกเป็นแบบระดับ (DEGREE) ของลอจิกที่มีค่าเป็นตัวเลขได้หลายค่า (MULTIVALUED LOGIC) ที่อยู่ระหว่าง 0 กับ 1

วิธีที่จะเข้าใจปรัชญาของฟัชซีลอจิก ในเวลาอันสั้นที่สุดคงหนีไม่พ้นการยกตัวอย่าง เช่น ระบบควบคุมจราจรบนถนน โดยอาศัยกฎที่มีความยืดหยุ่นสูงในรูปของ FUZZY RULES ดังการควบคุมตามทางแยกโดยอาศัยสัญญาณไฟ

ในส่วนของวิศวกรรมการควบคุม การใช้ฟัชซีลอจิกที่สำคัญอย่างหนึ่งก็คือเรื่องของ EMBEDDED CONTROLLERS การฟัชซีลอจิก มาใช้ในด้านการควบคุมจะช่วยลดความรุนแรงของอาการที่เรียกว่า OVERSHOOT อันเนื่องมาจาก การรบกวนที่เกิดจากกระบวนการ (PROCESS DISTURBAUCES) โดยไม่มีการตั้งโทษในแง่ของ SETTING หรือช่วงเวลา ตอบสนอง (RESPONSE TIME) เช่น ในกรณีของการแปรปรวนใน

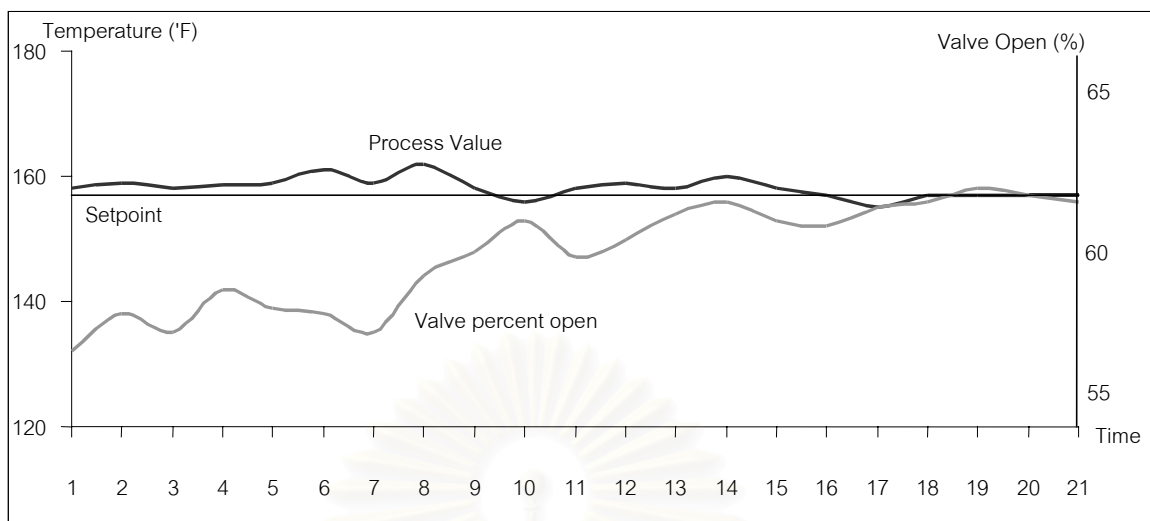
เรื่องอุณหภูมิที่สามารถทำให้สงบราบคาบได้โดยอาศัย ฟัชชี่ลลจิก ที่ใช้หลักของ OVERLAPPING MEMBERSHIP-DOMAINS และกลุ่มของกฎต่างๆ สำหรับให้การนิยามการตอบสนอง แทนที่จะใช้อัลกอริทึมชนิด ดำ-ขาว หรือ 0 กับ 1

เอาต์พุตที่ได้จากการคำนวณวางแผนด้วยฟัชชี่ลลจิก จะออกมาในรูปของไม่เป็นเชิงเส้นที่คล้ายกับการตัดสินใจ หรือการประสานงานที่เลียนแบบไปจากมนุษย์ ปรชญาอันเป็นการทำงานของฟัชชี่ลลจิก จึงเหมือนกับ ผู้ปฏิบัติงาน ที่เป็นมนุษย์ ในแง่ที่ว่าจะมีการลงโทษความผิดพลาดในเรื่องของการบังคับควบคุมที่เป็นเรื่องใหญ่ ในรูปที่มี ความรุนแรง มากกว่าข้อผิดพลาดเล็กๆ น้อยๆ รวมทั้งการมีวิธีลงโทษพฤติกรรมที่เป็นแบบกวัดแกว่ง การลงโทษในเรื่อง ดังกล่าว นั้นได้อาศัยการรักษาสมดุลสำหรับการตอบสนองอัตราขยายที่สูงอันเนื่องมาจากข้อผิดพลาดที่ค่อนข้างมากด้วย STRONG DAMPING เมื่อสถานะของลูปลายเป็นแบบ OSCILATORY ตัวควบคุมฟัชชี่ลลจิกจึงมีสถานะเหมือนกับ ERROR-SQUARED PID CONTROLLER แต่จะต่างกันตรงที่ตัวควบคุมที่ทำงานด้วยหลักของฟัชชี่ลลจิกจะมีความสมบุกสมบันมากกว่า

2.3.4. การใช้ฟัชชี่ลลจิกควบคุมอุณหภูมิ

จากการติดตามพัฒนาการของผลิตภัณฑ์ต่างๆ ในด้านควบคุมที่มีอยู่ในตลาด และติดต่อกับตัวแทนจำหน่าย ทำให้ผู้ผลิต FABRIC SOFTEUER INGREDIENT ทราบว่าบริษัท FISHER ROSEMOUNT SYSTEM (สหรัฐอเมริกา) ซึ่งเคยขาย DCS ที่เรียกว่า RS3 เพื่อใช้ในการควบคุม PID-LOOP ในอดีตนั้นได้นำผลิตภัณฑ์แบบใหม่ล่าสุดในตระกูล RS 3 ออกสู่ตลาด ในรูปของซอฟต์แวร์ที่มีชื่อว่า RS3 INTELLIGENT FUZZY LOGIC CONTROL (IFLC) ที่คาดว่าจะสามารถแก้ปัญหาในการควบคุม อุณหภูมิในรูปของ DEADTIME CONTROLLER และได้มีการทดลองใช้ IFLC ก่อนการตัดสินใจซื้อ

โดยในการติดตั้งและการปรับแต่งฟัชชี่ลลจิกคอนโทรลเลอร์ไม่ได้มีความยุ่งยากซับซ้อนแต่อย่างใด เพราะผู้ใช้ สามารถแทรก FUZZY LOGIC CONTROL BLOCK เข้าไปในตัวควบคุมของ PID-LOOP ที่มีอยู่แต่เดิมได้ โดยอยู่ภายใต้ DCS CONFIGURATION UTILITY จากนั้นก็ได้มีการปรับแต่งหรือจูนรูปแบบใหม่อีกครั้ง โดยใช้ TUNING FACILITY ที่มี DCS ให้การสนับสนุน ซึ่งมีชื่อเรียกว่า RS 3 INTELLIGENT TUNER โดยมี RELAY OSCILLATION ของกระบวนการเท่ากับร้อยละ 5 ผลของการปรับแต่ง ได้ทำให้ค่าของ ULTIMATE GAIN ที่เท่ากับ 5.256 และ ULTIMATE PERIOD ที่เท่ากับ 561 วินาทีหรือ 9.35 นาที ซึ่งก็ได้มีการคีย์ค่าตัวเลขดังกล่าวเข้าไปใน FUZZY CONTROL BLOCK อันถือว่าการสิ้นสุดการปรับแต่ง



รูปที่ 2.15 แสดงการแก้ปัญหาในเรื่องของ PROCESS UPSET โดยอาศัยพีชชีลลจิกที่สามารถก้าวไปสู่เป้าหมายที่กำหนด ไว้ในระยะเวลาอันสั้น โดยไม่เกิดการ OVERSHOOT หรือกลายเป็น OSCILLATORY เหมือนกับการควบคุมด้วย PID (ดัดแปลงจาก สหัส, 2540)

หลังจากที่ได้มีการนำพีชชีลลจิกเข้ามาใช้ควบคุมการผลิตอย่างเต็มที่ ก็ได้ส่งผลให้สามารถควบคุม การทำงานของลูบให้เป็นไปอย่างมีประสิทธิภาพได้ในทันที รวมทั้งการที่ลูบสามารถทำงานได้อย่างมีประสิทธิภาพ และมีการตอบสนองที่ดีคิดเป็นเวลานานนับเดือน โดยสามารถทำให้อุณหภูมิของผลิตภัณฑ์แปรปรวนไม่เกิน 3 องศาฟาเรนไฮต์ จากค่าเป้าหมายในเวลาปกติและไม่ต้องเสียเวลาในการหยุดทำงานวันละ 4 ชั่วโมง อันเนื่องมาจากการแปรปรวนของอุณหภูมิอีกต่อไป อันทำให้การนำผลิตภัณฑ์ให้ลูกค้าเป็นไปโดยราบรื่น

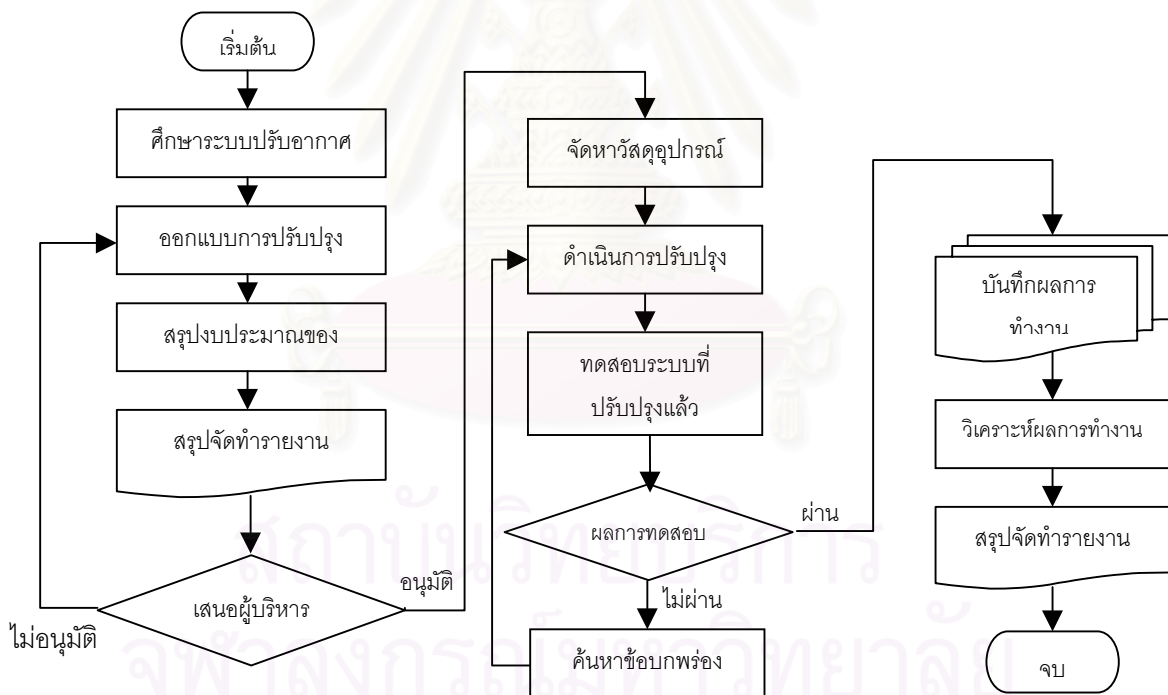
นอกจากนี้ผู้ใช้งานยังสามารถเปลี่ยนแปลงการควบคุมแบบ PID ไปเป็นพีชชีลลจิก หรือในทางตรงข้ามได้ใน รูปของ ON-LINE โดยอาศัยการทำงานแบบ POINT-AND-CLICK อันจะทำให้ผู้ผลิตสามารถเปลี่ยนจาก การควบคุมด้วยพีชชีลลจิก ไปเป็นการควบคุมแบบ PID ได้อย่างสะดวกรวดเร็วหากจำเป็นต้องทำเช่นนั้น

ตัวอย่างของ TREND GRAPH ที่เกิดจากการควบคุมอุณหภูมิด้วยพีชชีลลจิก ได้แสดงไว้ในรูปที่ 3 โดย ได้มีเวลา ที่เรียกว่า NON-NORMAL นาน 2 ชั่วโมง ภายใต้การควบคุมแบบใหม่ รวมทั้งความสามารถ ในการแก้ปรับตัวเอง ได้อย่างอัตโนมัติของ “กระบวนการ” ภายหลังจากที่ได้นำผลิตภัณฑ์บางชนิดมารีไซเคิลโดยผ่าน ทางช่างวิศวกร ซึ่งเป็นความต้องการของโรงงานแห่งนี้ที่มีไม่บ่อยนัก

ในอดีตที่ยังไม่มีการนำพีชชีลลจิกมาควบคุมนั้นกระบวนการในการผลิตจะแปรปรวนในอัตราที่สูงจน หลุดออกไปนอก CHART หากใช้เงื่อนไขดังแสดงไว้ในรูปที่ 3 สิ่งที่เป็น PENALTY ซึ่งเกิดจากการใช้พีชชีลลจิก ตามการสังเกต ของผู้ใช้ รายนี้ก็คือการใช้ หน่วยความจำ สำหรับตัวควบคุมที่มากกว่าเดิม 2.5 เท่า จากเดิมที่ เป็นแบบ FULL PID CONTROL

บทที่ 3 วิธีดำเนินการวิจัย

โครงการวิจัยนี้เกิดขึ้นเนื่องจากเกิดการหยุดผลิตในกระบวนการพ่นสีของโรงงานประกอบรถยนต์ตัวอย่างเป็นเวลานาน 1 ถึง 2 ชั่วโมงในช่วงเช้าของวันที่มีอากาศหนาวเย็น เพราะวาระบบปรับอากาศเพื่อให้ห้องพ่นสีมีสภาวะแวดล้อมที่เหมาะสมในการพ่นสีไม่สามารถทำการปรับอากาศให้อยู่ในสภาวะนั้นได้ ซึ่งปัญหาที่เกิดขึ้นนี้เป็นความรับผิดชอบของฝ่ายซ่อมบำรุงโดยตรง ผู้ทำงานวิจัย เป็นวิศวกรประจำฝ่ายซ่อมบำรุงจึงเป็นหน้าที่ที่จะต้องทำการแก้ไขและป้องกันปัญหาดังกล่าว ซึ่งผู้ทำการวิจัยได้วางแผนงานเพื่อทำการศึกษาและแก้ไขปัญหาที่เกิดขึ้นโดยมีขั้นตอนการศึกษาค้นคว้าและแก้ไขปัญหาที่แสดงในรูปที่ 3.1 ซึ่งมีรายละเอียดดังนี้



รูปที่ 3.1 แผนภูมิการทำงานของการทำโครงการวิจัย

3.1. ศึกษากระบวนการปรับอากาศสำหรับห้องพ่นสีของโรงงานตัวอย่าง

เพื่อที่จะเข้าใจถึงกระบวนการปรับอากาศสำหรับห้องพ่นสีของโรงงานตัวอย่างในสภาพการทำงานปัจจุบันก่อนที่จะทำการปรับปรุง โดยจะแบ่งออกเป็นสองหัวข้อใหญ่ คือ กระบวนการปรับอากาศ และ กระบวนการควบคุมการปรับอากาศ โดยจะทำการศึกษาถึง แนวทางในการออกแบบของวิศวกรที่ทำการก่อสร้าง และ การทำงานของส่วนประกอบต่างๆ จาก คู่มือระบบปรับอากาศของผู้ก่อสร้าง จากนั้นก็จะทำการศึกษาถึงความสามารถของกระบวนการปรับอากาศภายหลังจากทำการก่อสร้างแล้วเสร็จโดยจะทำการศึกษาจากรายงานผลการทดสอบกระบวนการปรับอากาศของผู้ก่อสร้าง เพื่อใช้อ้างอิงกับสภาพการทำงานในปัจจุบัน โดยจะทำการปรับค่าควบคุมต่างๆ เช่น ค่าความดันไอน้ำ หรือ อุณหภูมิของน้ำเย็น ที่จ่ายให้กระบวนการปรับอากาศเป็นต้น ทั้งนี้ก็เพื่อจุดประสงค์หลัก คือ เพื่อให้เข้าใจถึงสาเหตุที่แท้จริงของปัญหาที่เกิดขึ้น และ เพื่อที่จะทำการแก้ไขปัญหาได้ถูกต้อง

จากการศึกษาปัญหาในเบื้องต้นพบว่า ที่กระบวนการปรับอากาศไม่สามารถทำการปรับอากาศได้ตามค่าเป้าหมายในช่วงเช้าของวันที่มีอากาศหนาวเย็น ก็เพราะว่าค่าเอนทาลปีของอากาศอยู่นอกค่าออกแบบ นั่นหมายถึง เกินความสามารถของกระบวนการปรับอากาศที่จะสามารถทำการปรับอากาศให้ได้ตามค่าเป้าหมายได้

3.2. ออกแบบการปรับปรุงระบบปรับอากาศ

เมื่อเข้าใจถึงสาเหตุที่แท้จริงของปัญหาแล้วก็จะทำการออกแบบการปรับปรุงกระบวนการปรับอากาศให้เหมาะสมกับสภาพปัญหา งบประมาณ และ เวลาที่ใช้ในการทำโครงการวิจัยนี้ ซึ่งการออกแบบการปรับปรุงนี้จะต้องทำอย่างรอบคอบเพื่อที่จะลดข้อผิดพลาดต่างๆที่อาจเกิดขึ้น โดยเมื่อทำการออกแบบแล้วเสร็จก็สามารถที่จะทำการตรวจสอบความถูกต้องเบื้องต้นได้จากการคำนวณทางวิศวกรรม และ อาจจะต้องใช้ประสบการณ์จากการทำงานในโรงงานตัวอย่างประกอบด้วย ซึ่งอาจจะต้องทำการออกแบบการแก้ไขปัญหานี้ไว้หลายทางแล้วนำมาเปรียบเทียบเพื่อเลือกแนวทางที่เหมาะสมที่สุด หรืออาจจะขึ้นอยู่กับผู้บริหารของโรงงานตัวอย่างจะตัดสินใจเลือก

3.3. สรุปงบประมาณของโครงการ

งบประมาณเป็นปัจจัยหลักในการลงทุนทางธุรกิจ ในการลงทุนที่จะทำการปรับปรุงระบบปรับอากาศนี้ก็เช่นกัน ดังนั้นจึงจำเป็นที่จะต้องทำการสรุปงบประมาณ ค่าใช้จ่ายต่างๆ ที่จะต้องนำมาใช้ในการปรับปรุงนี้ การสรุปงบประมาณจะจัดทำจากการเลือกแบบแผนการปรับปรุงระบบปรับอากาศที่เหมาะสมแล้วซึ่งอาจจะมียุหลายวิธีซึ่งในแต่ละวิธีก็จะมีค่าใช้จ่ายที่ต่างกันไป ซึ่งอุปกรณ์ที่ใช้ก็จะมีราคาต่างกันไปด้วย นอกจากนี้ยังจะต้องคำนึงถึง ความยากง่ายในการติดตั้ง และ บำรุงรักษา รวมทั้งค่าใช้จ่ายในการใช้งานอุปกรณ์นั้นๆ เช่น ค่าไฟฟ้า เป็นต้นด้วย

3.4. สรุปรายงานนำเสนอเพื่อขออนุมัติ

หลังจากได้ข้อสรุปสาเหตุของปัญหา วิธีการในการแก้ไข และ งบประมาณที่ต้องการใช้ ก็จะมีการสรุปรวบรวมข้อมูลต่างๆให้ผู้บริหารเข้าใจได้ง่ายเพื่อขออนุมัติงบประมาณ และการดำเนินงานปรับปรุงตามที่ได้ออกแบบไว้ โดยรายงานที่นำเสนอจะนำเสนอในรูปแบบรายงานแผ่นเดียว ประกอบไปด้วยหัวข้อหลัก 6 หัวข้อดังนี้

3.4.1 ชื่อเรื่องที่น่าสนใจ ให้มีความกระชับเข้าใจง่าย

3.4.2 จุดประสงค์ของการนำเสนอ บอกถึงจุดประสงค์ในการนำเสนอรายงานนี้ เช่น ต้องการขออนุมัติงบประมาณ เป็นต้น

3.4.3 ความเป็นมา และ สาเหตุ ของปัญหา อธิบายถึงปัญหาที่เกิดขึ้น และ ผลที่เกิดจากปัญหานี้

3.4.4 การวิเคราะห์สาเหตุของปัญหา อธิบายถึงสาเหตุที่แท้จริงของปัญหา และ การวิเคราะห์หาสาเหตุ

3.4.5 การแก้ไขปัญหา แนวทางในการแก้ไขปัญหา

3.4.6 แผนการปฏิบัติงาน เพื่อติดตามผลการทำงาน

3.5. จัดหาวัสดุอุปกรณ์ที่จำเป็นในการปรับปรุง

เมื่อได้รับอนุมัติจากผู้บริหารแล้ว ก็จะต้องดำเนินการจัดหาวัสดุอุปกรณ์ที่จำเป็นตั้งใช้ในการปรับปรุงกระบวนการปรับอากาศ โดยทำการตรวจสอบอุปกรณ์ที่ต้องการจากคลังเก็บวัสดุอุปกรณ์ก่อน ถ้าไม่มีแล้วจึงดำเนินการจัดซื้ออุปกรณ์ที่จำเป็นนั้น โดยจะต้องควบคุมค่าใช้จ่ายให้เป็นไปตามที่ได้จัดทำงบประมาณไว้

3.6. ดำเนินการปรับปรุงระบบปรับอากาศ

การดำเนินการปรับปรุงระบบปรับอากาศก็คือการติดตั้ง หรือ ซ่อมแซม อุปกรณ์ต่างตามที่ได้ทำการออกแบบไว้ การปฏิบัติในข้อนี้ จะต้องมีการตรวจสอบความถูกต้องเรียบร้อยของการ ซ่อมแซม หรือ ติดตั้งอุปกรณ์ต่างๆ และจะต้องดำเนินงานทั้งหมดภายใต้เงื่อนไขทางเวลา และ ค่าใช้จ่าย เพื่อควบคุมให้เป็นไปตามแผนงาน และ งบประมาณที่ได้จัดทำไว้

3.7. การทดสอบระบบที่ปรับปรุงแล้ว

การทดสอบระบบที่ปรับปรุงแล้ว จะทำการทดสอบโดยการจำลองการทำงานก่อน นั่นคือทำการทดสอบในวันที่ไม่มีการผลิตโดยใช้อุปกรณ์จริงทั้งหมด เมื่อได้ผลเป็นที่น่าพอใจแล้วจึงจะทำการทดลองระบบที่ทำการปรับปรุงแล้วในสภาพการทำงานจริง ซึ่งในขั้นตอนนี้อาจใช้เวลาถึง 2 ถึง 3 เดือนในการเก็บข้อมูล

3.8. การวิเคราะห์ผลการปรับปรุง

ในการวิเคราะห์ผลการปรับปรุงจะนำผลการทำงานของกระบวนการปรับอากาศที่ทำการปรับปรุงแล้ว โดยจะทำการบันทึกผลการทำงานของระบบวันละหนึ่งครั้ง ในช่วง 8.00 น. ถึง 10.00 น. โดยจะทำการบันทึกติดต่อกันเฉพาะในวันทำงานปกติเท่านั้นเป็นเวลา 2 ถึง 3 เดือน ถ้ากระบวนการปรับอากาศสามารถทำงานได้ตามเป้าหมายนั้นคือสามารถปรับอากาศในห้องพ่นสีได้ตามสภาวะที่ต้องการ ก็สรุปได้ว่าการปรับปรุงสัมฤทธิ์ผล

3.9. สรุปรายงานเพื่อนำเสนอ

จัดทำรายงานผลของการปรับปรุงกระบวนการปรับอากาศ โดยนำผลที่ได้จากหัวข้อต่างๆที่กล่าวมาแล้วทั้งหมด มาทำการรวบรวม เรียบเรียงเป็นรายงานผลการดำเนินงานทั้งหมด เพื่อนำเสนอต่อไป



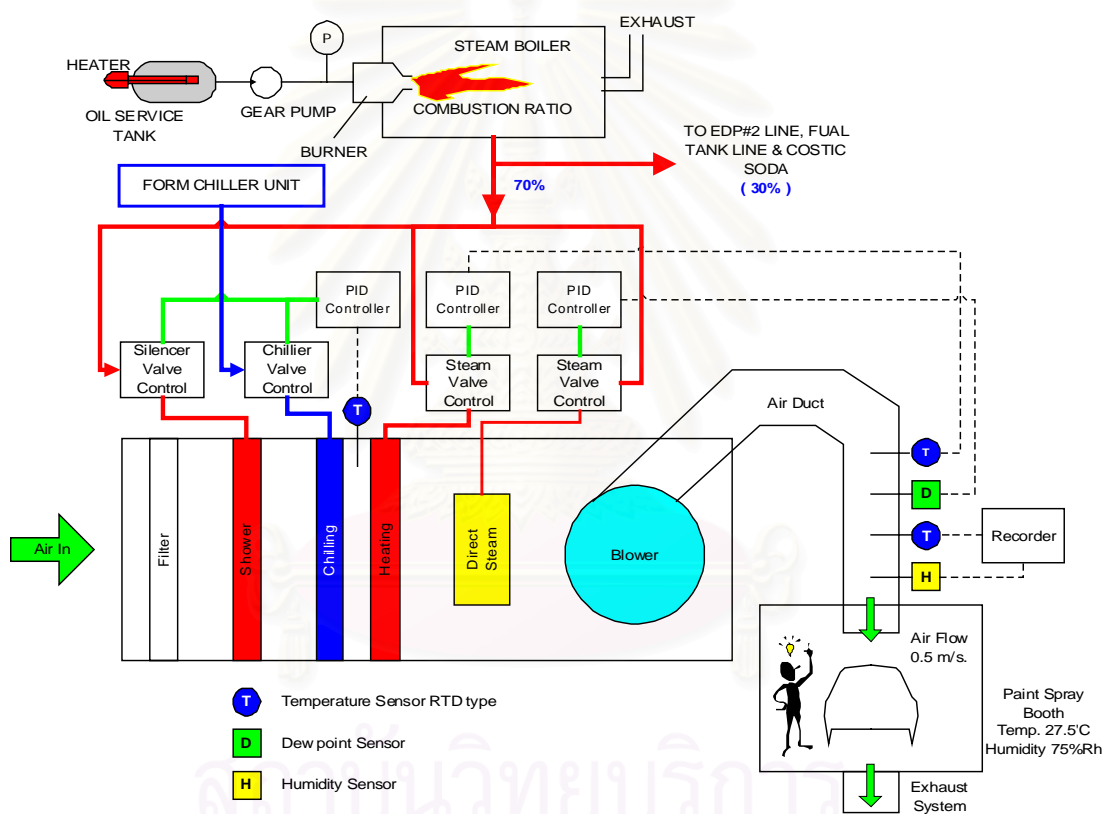
สถาบันวิทยบริการ
จุฬาลงกรณ์มหาวิทยาลัย

บทที่ 4

หลักการการทำงานของกระบวนการปรับอากาศสำหรับห้องพ่นสีของโรงงานตัวอย่าง

4.1 การทำงานของกระบวนการปรับอากาศสำหรับห้องพ่นสีของโรงงานประกอบรถยนต์ตัวอย่าง

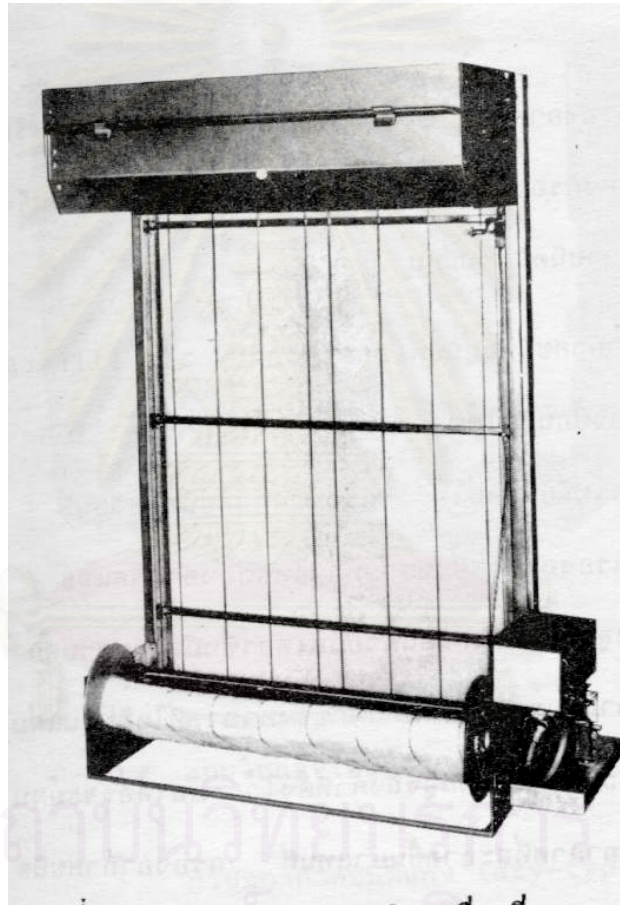
กระบวนการปรับอากาศ ประกอบไปด้วย 6 กระบวนการ ดังรูปที่ 4.1 โครงสร้างของระบบปรับอากาศ ประกอบการอธิบาย โดยแต่ละกระบวนการจะถูกกันโดยอุปกรณ์ดักอนุภาค (Eliminator) เพื่อดักฝุ่นผงและหยดน้ำที่มากับอากาศ



รูปที่ 4.1 โครงสร้างของระบบปรับอากาศ

1. กระบวนการกรองอากาศ

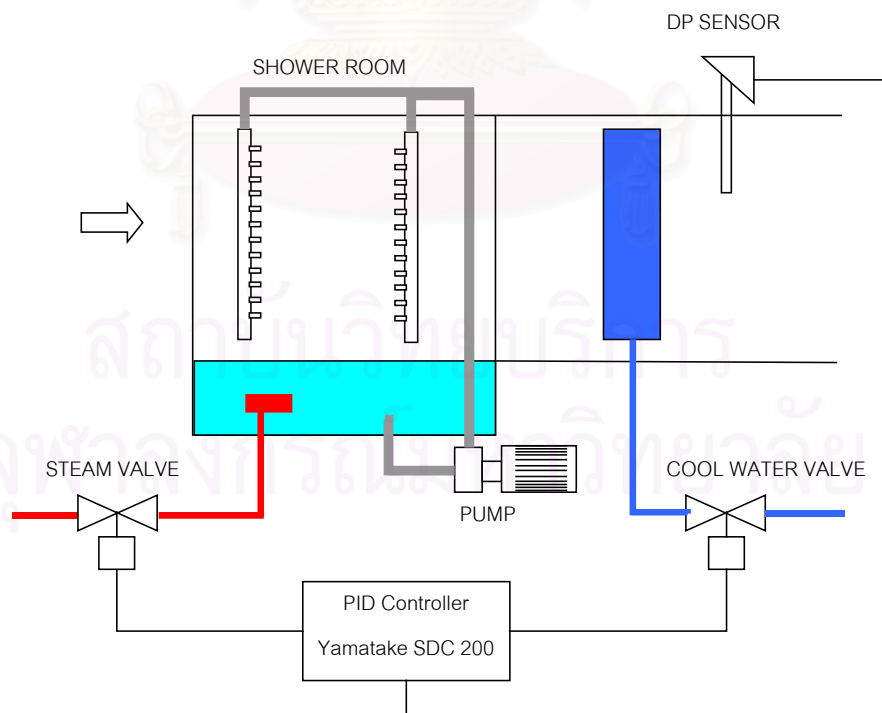
กระบวนการกรองอากาศนี้จะแบ่งการกรองออกเป็น 3 ชั้น ชั้นแรกเป็นตาข่ายเหล็กกันนก (INTAKE LOUVER) ขนาดตาราง 25 มม. ชั้นที่ 2 เป็นตาข่ายกันแมลง และ เศษฝุ่นผงขนาดใหญ่ (SARAN NET FILTER) เป็นเหล็กปิดสนิทมีความละเอียดของตาราง 1 มม. ชั้นสุดท้ายเป็นระบบกรองอากาศแบบเคลื่อนที่อัตโนมัติ (RENEWABLE AIR FILTER) แผ่นกรองทำจากกระดาษอัด อยู่ในม้วนลูกกลิ้งมีอุปกรณ์ตรวจจับความดันตกของอากาศที่ไหลผ่าน ถ้าความดันตกเนื่องจากแผ่นกรองอากาศตันถึงจุดที่กำหนด มอเตอร์จะม้วนแผ่นกรองที่สกปรกเข้าไปเก็บในม้วน และ ถึงเอาแผ่นกรองใหม่ขึ้นมาแทนที่ ดังรูปที่ 4.2



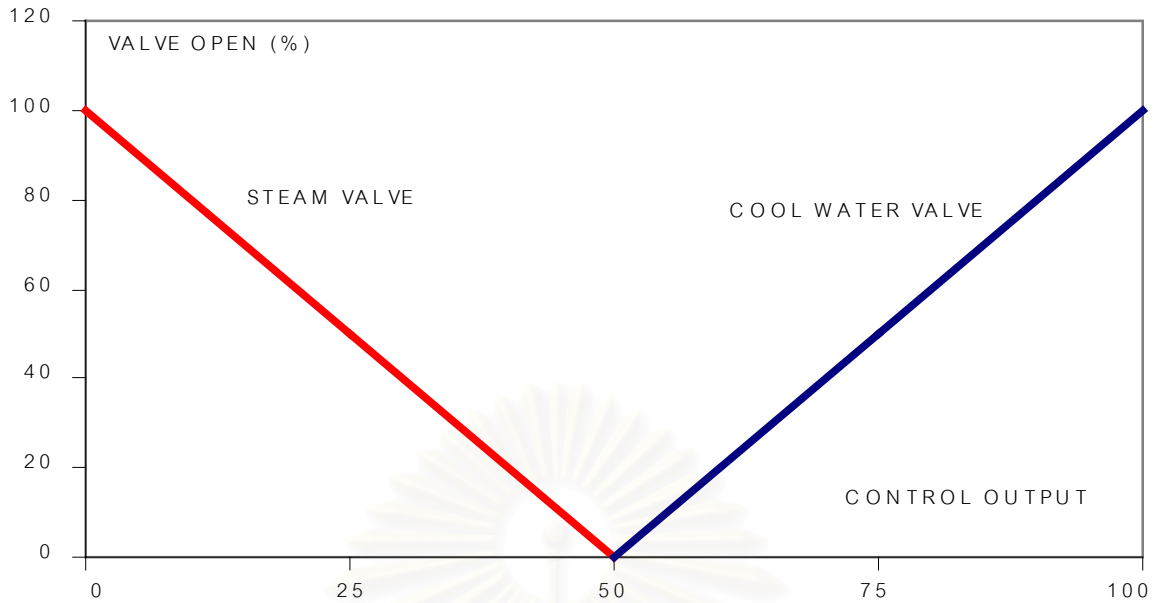
รูป 4.2 การกรองอากาศแบบเคลื่อนที่อัตโนมัติ (Renewable air filter)

2. ส่วนกระบวนการเอไดอาแบติกคิมตัว

ในส่วนนี้จะทำการสูบน้ำจากถาดเปิดภายในระบบปรับอากาศ มาฉีดพ่นเป็นละอองฝอยเข้าไปในอากาศทำให้อากาศคิมตัว ในทางปฏิบัติจะสามารถทำให้น้ำระเหยได้ประมาณ 95% – 99% ทำให้อากาศที่ผ่านออกมามีความชื้นสัมพัทธ์อยู่ที่ 95%Rh – 99%Rh ด้วย ดังในรูปที่ 4.3 และนอกจากนั้นในกระบวนการนี้ยังมีการเพิ่มความอุณหภูมิของน้ำที่ใช้ เพื่อให้อากาศที่ออกจากกระบวนการมีอุณหภูมิจุดน้ำค้าง DP ที่ 23.5°เซลเซียส ในกรณีที่เอนทาลปีของอากาศมีค่าน้อยกว่าค่าเป้าหมาย การเพิ่มความอุณหภูมิของน้ำนี้จะมีการเพิ่มพลังงานให้กับระบบโดยจ่ายไอน้ำร้อนให้กับน้ำในระบบเพื่อเพิ่มความอุณหภูมิของน้ำในถาดเปิดให้สูงขึ้นกว่าปรกติ ในส่วนนี้จะมีการใช้การควบคุมแบบ PROPORTIONAL INTEGRAL DERIVATIVE (PID) ของ Yamatake รุ่น SDC 200 ในการสั่งให้วาล์วไอน้ำเปิดมากหรือน้อยเพื่อรักษาอุณหภูมิของอากาศที่จะออกจากกระบวนการ โดยจะทำงานสัมพันธ์กับกระบวนการให้ความเย็นสัมผัสที่อยู่ถัดไปด้วย โดยใช้ตัวควบคุม PID ตัวเดียวกัน โดยแบ่งส่วนควบคุมออกเป็น 2 ส่วนดังในรูปที่ 4.4 ในส่วนแรกเป็นส่วนควบคุมวาล์วจ่ายไอน้ำ ถ้าค่าควบคุมเอาต์พุตมีค่าเป็น 0 วาล์วควบคุมไอน้ำจะเปิดเต็มที่ 100% และเมื่อค่าควบคุมเอาต์พุตมีค่าเพิ่มขึ้น วาล์วควบคุมไอน้ำจะค่อยๆปิดลง จนค่าควบคุมเอาต์พุตมีค่าเป็น 50 วาล์วควบคุมไอน้ำก็จะเปิดเต็มที่คือ 0% ต่อจากนั้นเมื่อค่าควบคุมเอาต์พุตมีค่าเพิ่มขึ้นไปอีกวาล์วควบคุมน้ำเย็นในกระบวนการถัดไปจะเริ่มเปิดจนเมื่อค่าควบคุมเอาต์พุตมีค่าเป็น 100 วาล์วควบคุมน้ำเย็นจะเปิดเต็มที่ 100% เช่นเดียวกัน ในส่วนของการตรวจวัดค่าอุณหภูมิเพื่อป้อนกลับให้กับตัวควบคุม PID จะใช้ตัวตรวจวัดอุณหภูมิจุดน้ำค้าง (DP) ของอากาศ ของ Yamatake ติดตั้งในตำแหน่งที่ออกจากกระบวนการที่ 3 ค่าเอาต์พุตที่ป้อนกลับเป็นสัญญาณแบบ อะนาล็อก มาตรฐาน 4 – 20 mA



รูปที่ 4.3 กระบวนการเอไดอาแบติกคิมตัวและกระบวนการให้ความเย็นสัมผัสในระบบปรับอากาศ



รูปที่ 4.4 แผนภูมิความสัมพันธ์การเปิดปิดไอน้ำและน้ำเย็นเพื่อควบคุมค่า DP

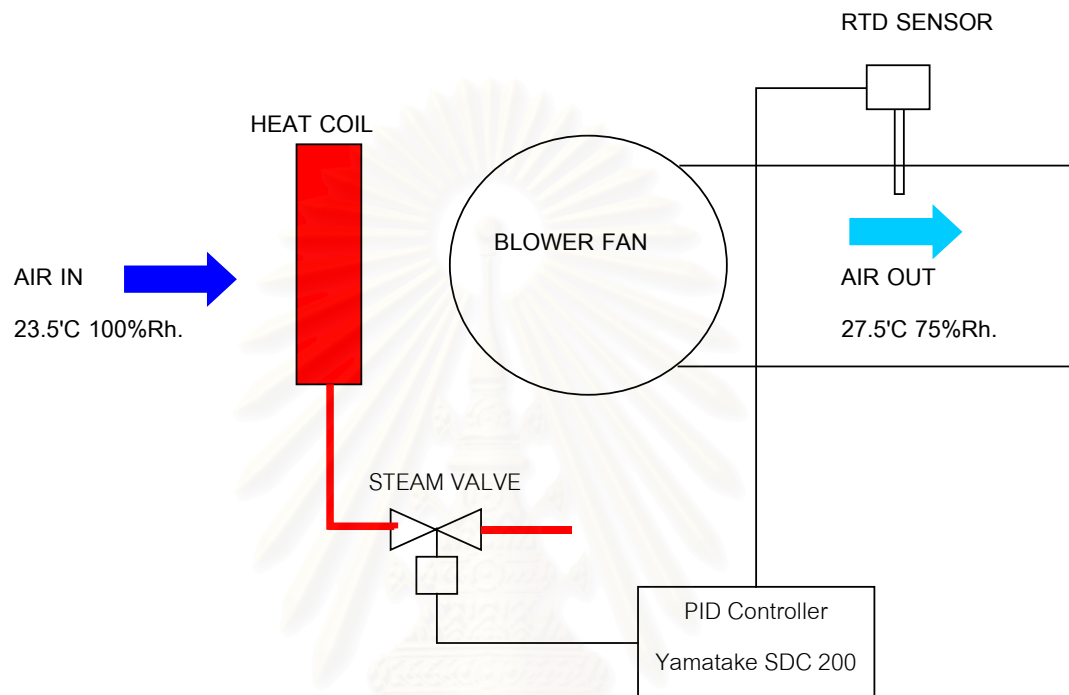
3. กระบวนการให้ความเย็นสัมผัส

แสดงในรูปที่ 4.3 เป็นกระบวนการที่ให้อากาศไหลผ่านท่อไอน้ำเย็นเพื่อลดอุณหภูมิของอากาศลงในกรณีที่อากาศที่มาจากส่วนกระบวนการเอไดอาแบติกคอล์มตัวมีอุณหภูมิจุดน้ำค้างมีสูงกว่า 23.5° เซลเซียส ที่กำหนด โดยการควบคุมจะใช้ระบบการควบคุมแบบ PID โดยจะใช้ตัวควบคุมร่วมกับกระบวนการเพิ่มอุณหภูมิของน้ำในถาดเปิดตั้งที่กล่าวมาแล้วในข้อ 2

4. กระบวนการให้ความร้อนสัมผัส

ในกระบวนการนี้อากาศจะไหลผ่านท่อไอน้ำร้อน ทำหน้าที่เพิ่มความร้อนสัมผัสเพื่อเพิ่มอุณหภูมิของอากาศให้มีค่าอุณหภูมิอยู่ระหว่าง 27.5° เซลเซียส จากอากาศที่มีค่าอุณหภูมิ $DP = DB = WB$ 23.5° เซลเซียส ซึ่งในกระบวนการนี้ไม่มีการให้หรือดึงความชื้นออกจากอากาศจึงทำให้ในกระบวนการนี้ค่าความชื้นจำเพาะของอากาศจะคงที่ แต่เนื่องจากค่าอุณหภูมิของอากาศเปลี่ยนไป ค่าความกดดันอากาศเปลี่ยนไปซึ่งจะทำให้ค่าความชื้นสัมพัทธ์เปลี่ยนไปมีค่าประมาณอยู่ระหว่าง 75%Rh – 80%Rh ดังที่แสดงในรูปที่ 4.5 การควบคุมกระบวนการนี้จะใช้การควบคุมแบบป้อนกลับเช่นเดียวกัน โดยใช้ตัวควบคุม PID Yamatake รุ่น SDC 200 เช่นเดียวกันโดยจะติดตั้งอุปกรณ์ตรวจวัดอุณหภูมิของอากาศแบบ RTD 100Ω ที่ปล่องจ่ายอากาศหลังจากผ่านพัดลมดูดอากาศแล้ว ตัวควบคุม PID จะทำการควบคุมวาล์วไอน้ำเพื่อควบคุมอุณหภูมิของอากาศที่ผ่านออก

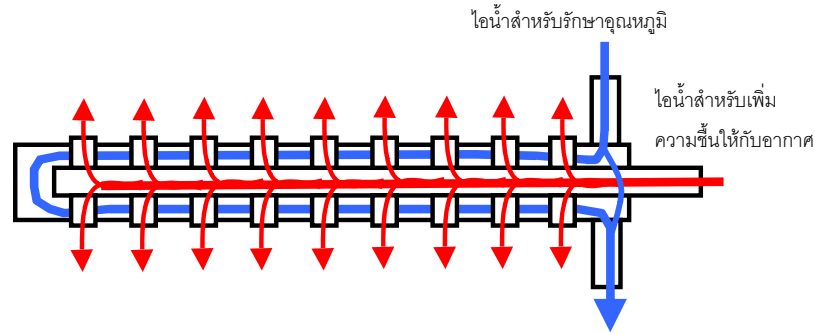
จากกระบวนการ โดยเมื่อค่าควบคุมเอาต์พุตเป็น 0 วาล์วไอน้ำจะปิดเต็มที่ที่ 0% แต่เมื่อค่าควบคุมเอาต์พุตมีค่ามากขึ้นวาล์วไอน้ำจะค่อยๆเปิดมากขึ้นจนเปิดเต็มที่ 100% เมื่อค่าควบคุมเอาต์พุตเป็น 100



รูปที่ 4.5 กระบวนการให้ความร้อนสัมผัส

5. กระบวนการเอโดคาแบติกโดยใช้ไอน้ำร้อน

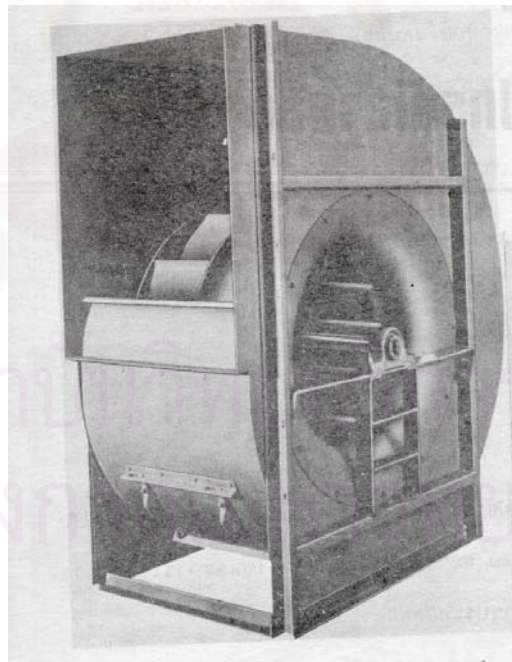
ในกรณีที่กระบวนการที่ 2 ถึง กระบวนการที่ 4 ไม่สามารถทำการปรับสภาพอากาศให้อยู่ในช่วงที่กำหนดได้ ในส่วนของกระบวนการนี้ก็จะเริ่มทำงานโดยจะทำการปล่อยไอน้ำร้อนออกมาเพื่อทำการปรับค่าอุณหภูมิและความชื้นของอากาศ โดยกำหนดค่าเป้าหมายเป็นค่าอุณหภูมิจุดน้ำค้างที่ 23.5 องศาเซลเซียส ในส่วนควบคุมของกระบวนการนี้ก็จะใช้การควบคุมแบบป้อนกลับ โดยใช้ตัวควบคุมแบบ PID Yamatake รุ่น SDC 200 เช่นกัน อุปกรณ์ตรวจวัดที่ใช้ในกระบวนการนี้คือ อุปกรณ์ตรวจวัดความชื้นสัมพัทธ์ของอากาศ ของ Yamatake ค่าเอาต์พุตที่ป้อนกลับเป็นสัญญาณแบบ อะนาล็อก มาตรฐาน 4 – 20 mA ติดตั้งในตำแหน่งปล่อยจ่ายอากาศ แสดงในรูปที่ 4.6



รูปที่ 4.6 กระบวนการเอไดอาแบติกโดยใช้ไอน้ำร้อน

6. กระบวนการดูดจ่ายอากาศ

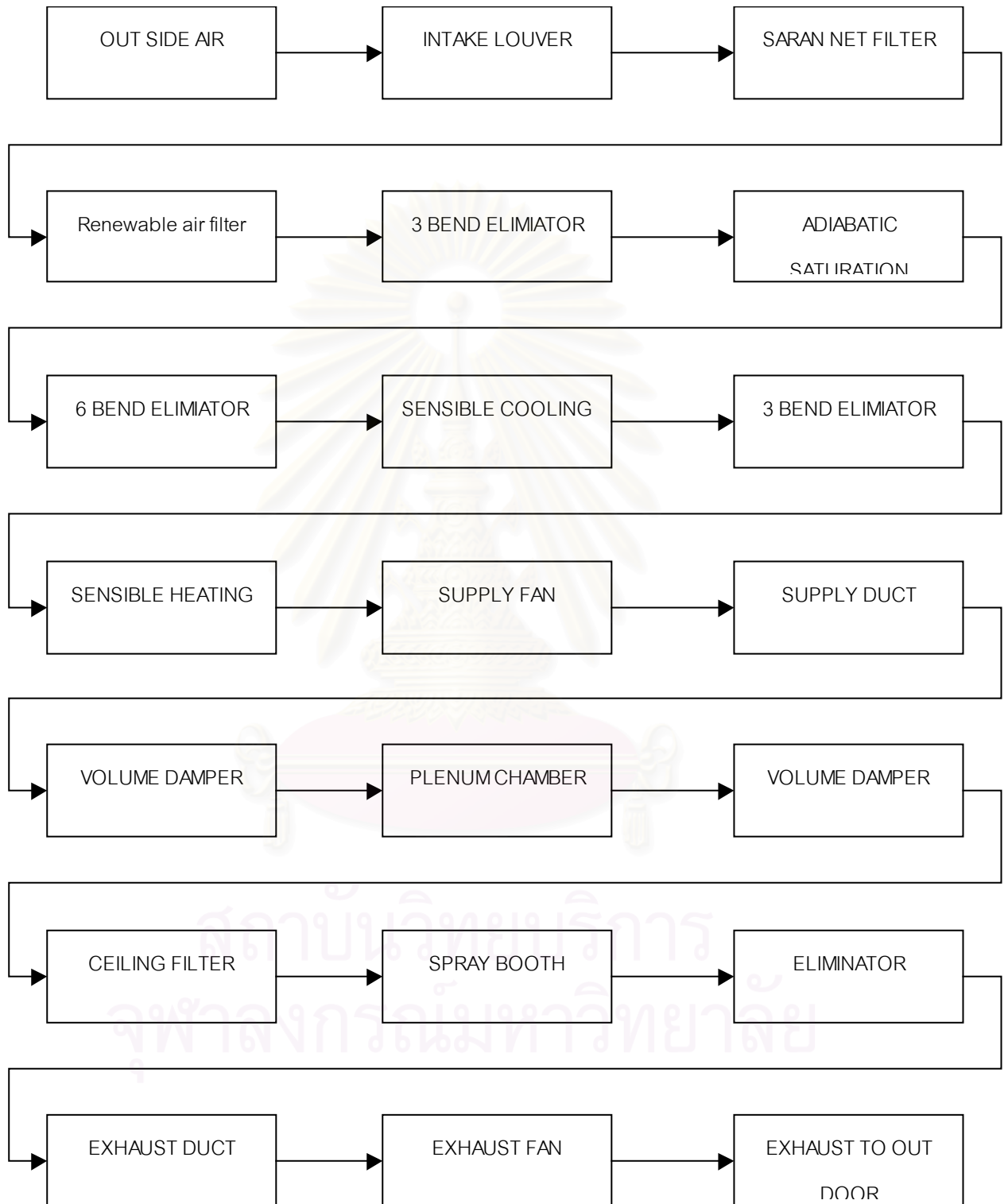
ในกระบวนการนี้จะมีพัดลมแบบเซ็นตริฟูกอล ชนิด ใบพัดแอร์ฟรอยล์ ขนาดกำลังส่งอากาศปกติ 2,000 ลูกบาศก์เมตร / นาที จำนวน 3 ตัว ต่อ 1 หน่วยปรับอากาศ ทำหน้าที่ส่งอากาศไปยังห้องพ่นสีโดยสามารถควบคุมปริมาณอากาศได้โดยใบดักลม (Van damper) เป็นตัวควบคุม โดยเมื่อทำงานเต็มที่จะสามารถส่งอากาศได้ประมาณ 6,000 ลูกบาศก์เมตร / นาที ต่อ หน่วยปรับอากาศ 1 หน่วย



รูปที่ 4.7 บัดลมแบบเซ็นตริฟูกอล ชนิด ใบพัดแอร์ฟรอยล์

4.2 ลำดับขั้นตอนการทำงานของกระบวนการปรับอากาศ

สำหรับการทำงานของกระบวนการปรับอากาศในหัวข้อที่ 4.1 สามารถอธิบายได้ด้วยแผนภูมิดังแสดงในรูปที่ 4.8

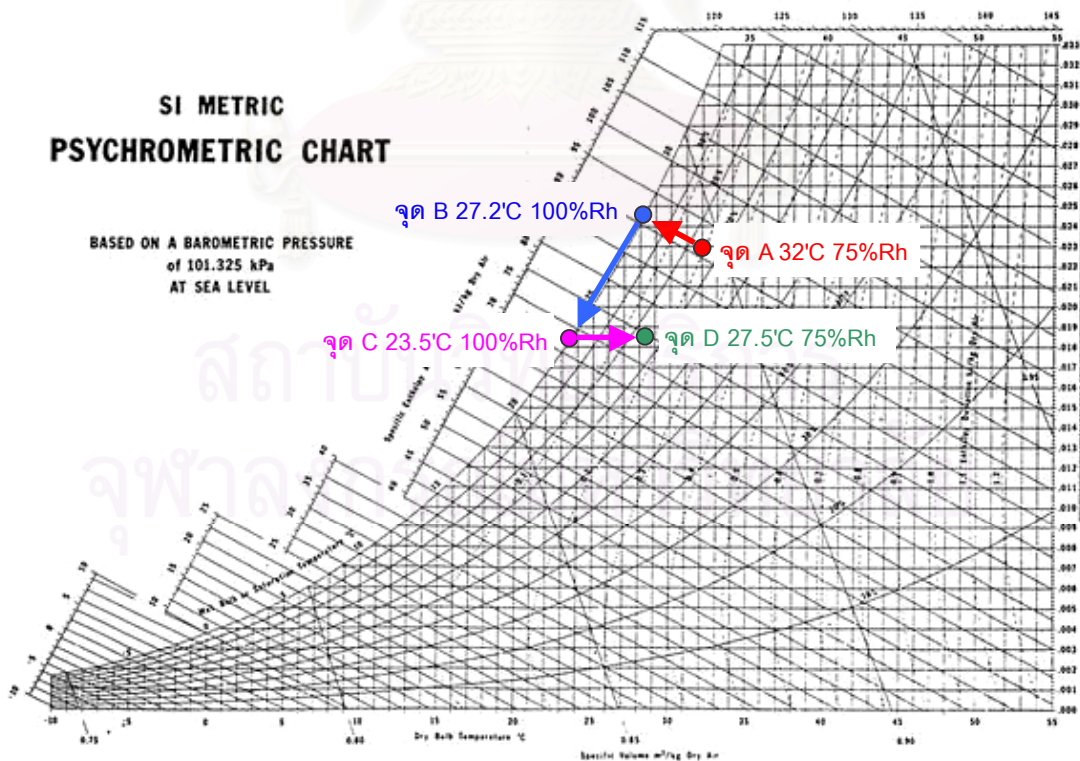


รูปที่ 4.8 แผนภูมิการทำงานของกระบวนการปรับอากาศ

4.3 กระบวนการปรับอากาศบนแผนภูมิไซโครเมตริก

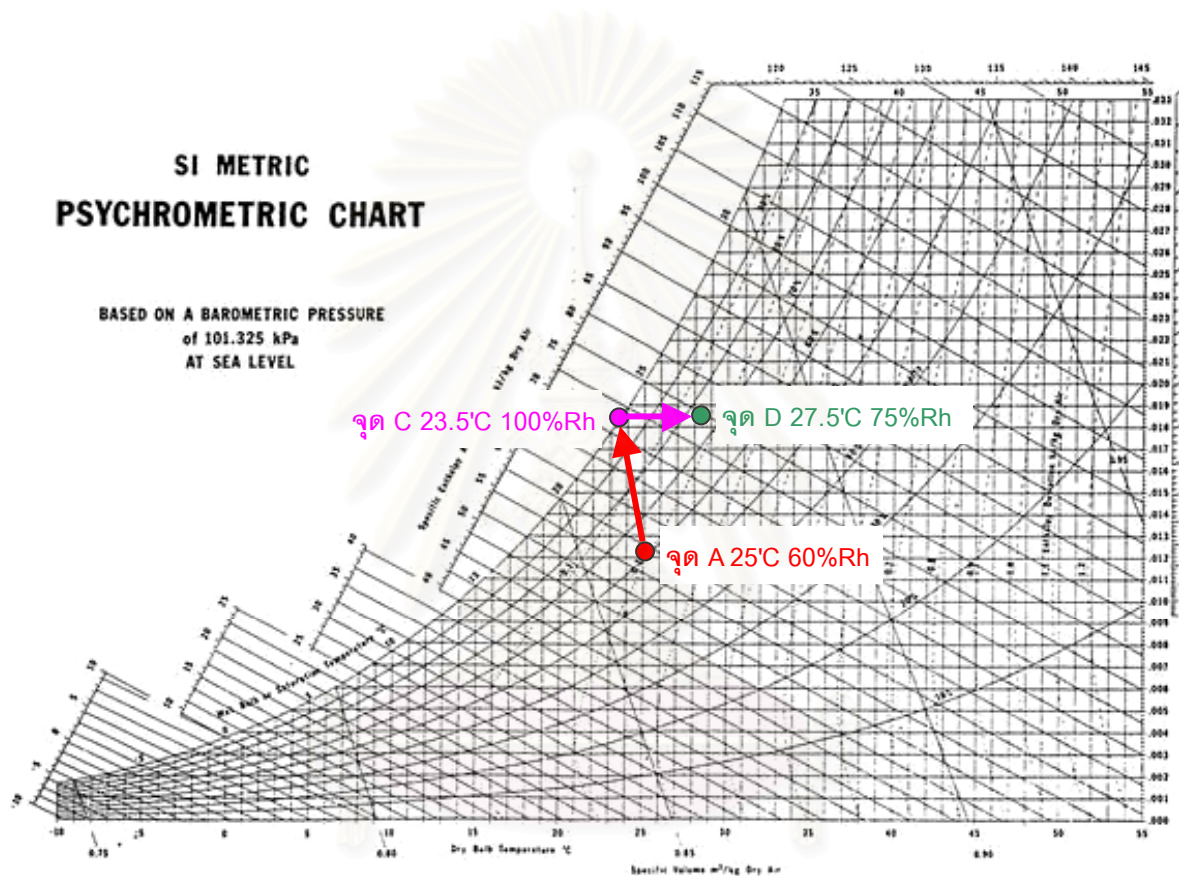
จากกระบวนการปรับอากาศทั้ง 6 กระบวนการจะสามารถนำกระบวนการที่ 2 ถึงกระบวนการที่ 5 มาเขียนลงในแผนภูมิไซโครเมตริกได้เป็น 2 กรณี คือ ในกรณีที่สภาพอากาศภายนอกมีค่าเอนทาลปีสูงกว่าค่าเป้าหมายและในกรณีที่สภาพอากาศภายนอกมีค่าเอนทาลปีต่ำกว่าค่าเป้าหมาย ในขณะที่ค่าเป้าหมายอยู่ที่อุณหภูมิ 27.5 องศาเซลเซียส ความชื้นสัมพัทธ์ 75% Rh ซึ่งจะมีค่าเอนทาลปีอยู่ที่ 78 kJ / kg ซึ่งทั้ง 2 กรณีจะมีกระบวนการทำงานที่แตกต่างกันดังนี้

ตัวอย่างที่ 1 กรณีที่สภาพอากาศภายนอกมีค่าเอนทาลปีสูงกว่าค่าเป้าหมาย โดยสมมุติกำหนดให้อากาศภายนอกมีอุณหภูมิ 32 องศาเซลเซียส ความชื้นสัมพัทธ์ 75% Rh ค่าเอนทาลปีจะมีค่าเท่ากับ 91 kJ / kg ซึ่งสูงกว่าค่าเป้าหมาย จุดนี้จะเป็นจุดเริ่มต้นกระบวนการปรับอากาศ (จุด A) ดังแสดงในรูปที่ 4.8 ในกระบวนการที่ 2 จะเป็นกระบวนการเอโดอาแบตติคิมตัวจะทำให้อากาศมีค่า DB, WB และ DP เท่ากันที่ อุณหภูมิ 27.2 องศาเซลเซียส ความชื้นสัมพัทธ์ 100% Rh ที่จุด B จากนั้นกระบวนการที่ 3 กระบวนการให้ความเย็นสัมผัสอากาศอิมตัวจะไหลผ่านท่อน้ำเย็นทำให้อุณหภูมิลดลงมาอยู่ที่ 23.5 องศาเซลเซียส ความชื้นสัมพัทธ์ 100% Rh ที่จุด C ตามที่กำหนดเป็นค่าเป้าหมายของตัวควบคุม PID ที่ควบคุมค่า DP จากนั้นอากาศจะไหลผ่านกระบวนการที่ 4 กระบวนการให้ความร้อนสัมผัส อากาศจะไหลผ่านท่อไอน้ำร้อนที่ควบคุมด้วยตัวควบคุม PID ที่มีค่าเป้าหมายอยู่ที่ 27.5 องศาเซลเซียส เมื่ออากาศร้อนขึ้นค่าความชื้นสัมพัทธ์จะลดลงอยู่ที่ 75% Rh คือจุด D ในแผนภูมิไซโครเมตริก รูปที่ 4.9



รูปที่ 4.9 กระบวนการปรับอากาศในกรณีที่เอนทาลปีของอากาศภายนอกสูงกว่าค่าเป้าหมาย

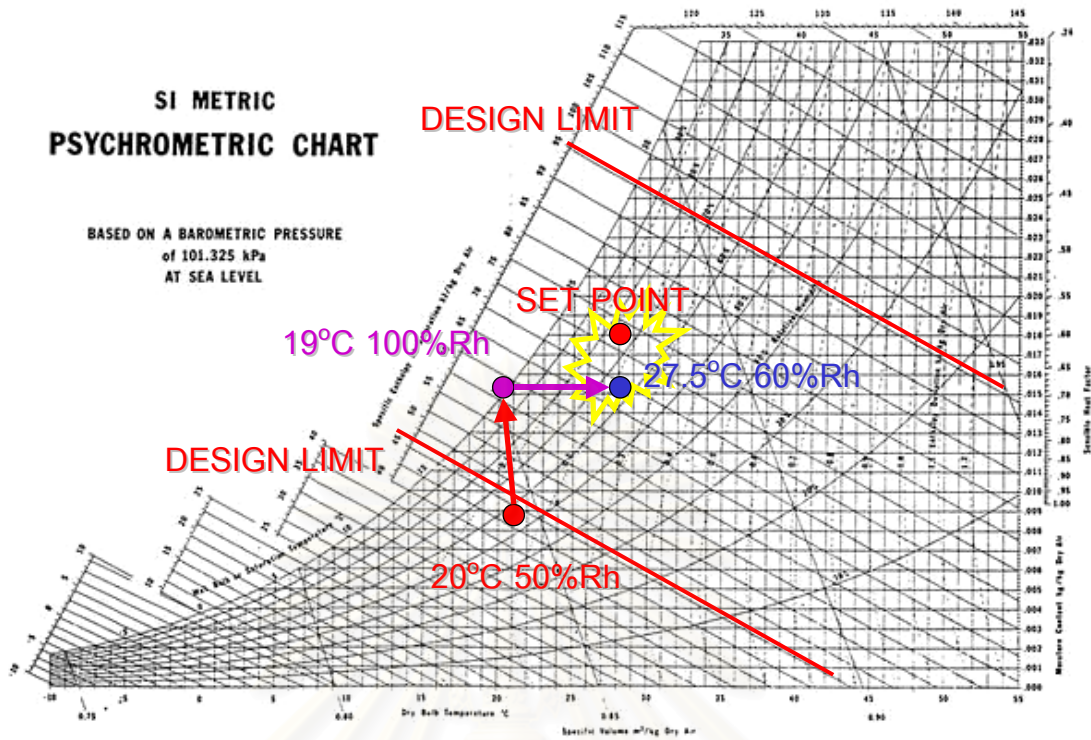
ตัวอย่างที่ 2 กระบวนการปรับอากาศในกรณีที่เอนทาลปีของอากาศต่ำกว่าค่าเป้าหมาย โดยสมมติให้ เริ่มต้นกระบวนการที่จุด A อากาศมีอุณหภูมิ 25 องศาเซลเซียส ความชื้นสัมพัทธ์ 60% Rh ในกระบวนการที่ 2 ที่เป็นกระบวนการ เอไดอาแบติกอิมิตัว น้ำที่นำมาฉีดพ่นจะถูกทำให้ร้อนขึ้นด้วยการเติมไอน้ำร้อน 180 องศาเซลเซียส ทำให้ในกระบวนการนี้มีการเพิ่มความชื้นสัมพัทธ์ไปพร้อมกันด้วยโดยควบคุมด้วยตัวควบคุม PID เพื่อที่จะให้ได้ค่า DP ตามเป้าหมายที่จุด C โดยที่ตัวควบคุมจะไม่สั่งให้เปิดน้ำเย็นให้ไหลเข้าไปในท่อในกรณีนี้จึงไม่มีจุด B ในกระบวนการ จากนั้นอากาศจะไหลผ่านท่อไอน้ำร้อนในกระบวนการที่ 4 เพื่อเพิ่มความชื้นสัมพัทธ์มาที่จุด D ซึ่งเป็นค่าเป้าหมายของกระบวนการปรับอากาศในรูปที่ 4.10



รูปที่ 4.10 กระบวนการปรับอากาศในกรณีที่เอนทาลปีของอากาศต่ำกว่าค่าเป้าหมาย

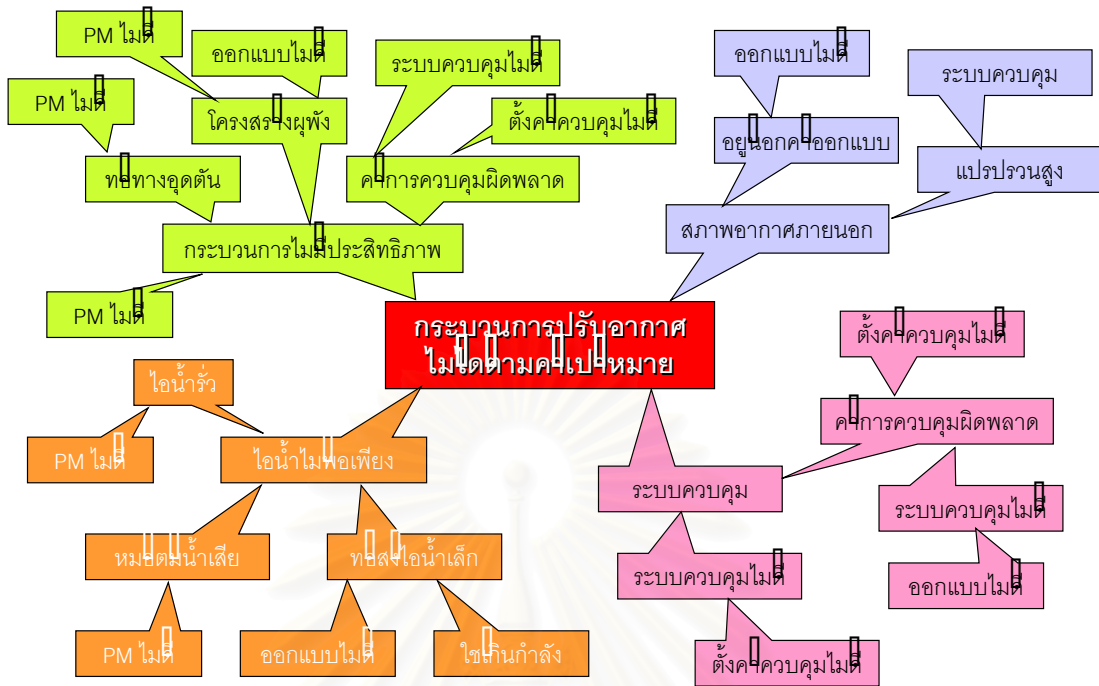
4.4 ปัญหาของกระบวนการปรับอากาศ

ดังที่ได้กล่าวมาแล้วในบทนำ ปัญหาของระบบปรับอากาศส่วนใหญ่เกิดจากการที่สภาพอากาศภายนอกมีค่าเอนทาลปีต่ำกว่าค่าต่ำสุดที่วิศวกรออกแบบได้ประมาณการไว้ในการออกแบบระบบปรับอากาศในช่วงหน้าหนาว โดยที่ค่าต่ำสุดในการออกแบบอยู่ที่ ค่าเอนทาลปีเท่ากับ 46 kJ / kg ดังนั้นเมื่อสภาพอากาศมีค่าเอนทาลปีต่ำกว่า หรือ เข้าใกล้ค่านี้ก็จะทำให้ระบบปรับอากาศไม่สามารถทำการปรับอากาศให้ได้ตามค่าเป้าหมายที่ตั้งไว้ได้เนื่องจากการออกแบบในกระบวนการเอไดอาแบติกอิมิตัวในกระบวนการที่ 2 ที่มีการเพิ่มความชื้นสัมพัทธ์ด้วยไอน้ำให้กับน้ำที่เอามาฉีดในกระบวนการสามารถที่ทำให้อุณหภูมิของน้ำสูงขึ้นได้สูงสุด 5 องศาเซลเซียส ปัญหาที่เกิดขึ้นนี้แสดงได้บนแผนภูมิไซโคเมตริกในรูปที่ 4.11



รูปที่ 4.11 กระบวนการปรับอากาศที่ไม่ได้ตามค่าเป้าหมาย

จากปัญหาดังกล่าวจึงได้มาจัดทำเป็นแผนภูมิการหาสาเหตุที่เป็นไปได้ของปัญหาที่เกิดขึ้นโดยใช้วิธีระดมมันสมองของผู้ที่เกี่ยวข้องคือ ผู้ทำวิจัยและช่างประจำฝ่ายซ่อมบำรุง วิธีการนี้ทำได้โดยเขียนปัญหาไว้ตรงกลางแล้วหาสาเหตุที่ทำให้เกิดปัญหานั้นเรียกว่า สาเหตุหลัก จากนั้นก็ทำการหาสาเหตุที่ทำให้เกิดของผลของสาเหตุหลักของปัญหานั้นเรียกว่า สาเหตุรอง ทำเช่นนี้ไปเรื่อยๆเป็นขั้นๆจนสาเหตุรองไม่เกี่ยวเนื่องกับสาเหตุหลัก ก็ให้หยุดการค้นหาสาเหตุ การค้นหาสาเหตุของปัญหาได้ดังที่แสดงไว้ที่รูปที่ 4.12 ซึ่งสาเหตุหลักในขั้นที่ 1 ประกอบไปด้วย สภาพอากาศภายนอก, ระบบควบคุม, พลังงานไม่เพียงพอ, ประสิทธิภาพของระบบปรับอากาศเอง จากการวิเคราะห์สาเหตุของปัญหาที่ได้พบว่าสาเหตุทั้งหมดมีความเกี่ยวเนื่องกันเป็นลูกโซ่ คือเมื่อค้นหาสาเหตุรองของปัญหาไปแล้วจะพบว่าเป็นสาเหตุหลักของอีกสาเหตุหนึ่ง เช่น สาเหตุหลักคือ ความแปรปรวนของสภาพอากาศภายนอก ทำให้กระบวนการปรับอากาศไม่สามารถทำงานได้ตามเป้าหมาย แต่ถ้าทำการออกแบบการควบคุมให้มีความยืดหยุ่นก็จะสามารถแก้ไขปัญหานี้ได้ในระดับหนึ่ง ดังนั้นจึงนำระบบควบคุมมาเป็นสาเหตุรองของปัญหานี้ ซึ่งระบบการควบคุมก็จัดเป็นสาเหตุหลักอันหนึ่งด้วย เป็นต้น



รูปที่ 4.12 การค้นหาสาเหตุของปัญหา

จากการศึกษาถึงมาตรฐานของความต้องการในห้องพื้นที่ของโรงงานตัวอย่าง พบว่าความต้องการ อุณหภูมิ และ ความชื้น นั้น มีค่าเป็นช่วงอยู่ คือ ต้องการอุณหภูมิมีค่าอยู่ระหว่าง 26 องศาเซลเซียส ถึง 29 องศาเซลเซียส และ ต้องการค่าความชื้นสัมพัทธ์อยู่ระหว่าง 60 %Rh ถึง 90 %Rh แต่เนื่องจากระบบควบคุม กระบวนการปรับอากาศที่เป็นแบบ PID ไม่มีความยืดหยุ่นในการควบคุมจึงพยายามที่จะปรับอากาศให้เข้าสู่ค่า เป้าหมาย แต่ก็ไม่สามารถทำได้ เนื่องจากถูกจำกัดด้วยความสามารถของกระบวนการเอง ดังเช่นตัวอย่างในรูป ที่ 4.11 เมื่อสภาพอากาศภายนอกมี อุณหภูมิ 20 องศาเซลเซียส ความชื้นสัมพัทธ์ 50 %Rh ซึ่งที่สภาวะนี้จะมีค่า อุณหภูมิจุดน้ำค้างอยู่ที่ 14 องศาเซลเซียส ความสามารถของกระบวนการตามการออกแบบ สามารถที่จะปรับ เพิ่มอุณหภูมิจุดน้ำค้างในกระบวนการที่ 2 ได้ 5 องศาเซลเซียส ดังนั้นเมื่อผ่านกระบวนการที่ 2 อากาศจะมี อุณหภูมิ 19 องศาเซลเซียส และ ความชื้นสัมพัทธ์ 100 %Rh และเมื่อผ่านกระบวนการที่ 4 และกระบวนการที่ 5 แล้ว ตัวควบคุมแบบ PID จะพยายามเพิ่มอุณหภูมิให้อยู่ที่ 27.5 องศาเซลเซียส แต่เมื่อเพิ่มอุณหภูมิไปแล้วจะ ทำให้ค่าความชื้นสัมพัทธ์มีค่าลดลงมาอยู่ที่ 60 %Rh และมีค่าอุณหภูมิจุดน้ำค้างอยู่ที่ 22 องศาเซลเซียส ซึ่งต่ำ

กว่าค่าเป้าหมาย ดังนั้นกระบวนการที่ 5 จึงทำการปรับค่าอุณหภูมิจุดน้ำค้างโดยปล่อยไอน้ำออกมาเพื่อให้ได้ค่าเป้าหมายที่ 23.5 องศาเซลเซียส แต่การปรับสภาพตรงจุดนี้จะต้องใช้ไอน้ำมากจะทำให้อุณหภูมิกระเปาะแห้งมีค่าลดลงจนต่ำกว่าค่าเป้าหมาย นั่นหมายถึงกระบวนการต้องการพลังงานมากกว่าที่สามารถผลิตได้ ซึ่งการตรวจสอบจะขออ้างอิงถึงความสามารถของหม้อไอน้ำ และความต้องการพลังงานของกระบวนการดังนี้

ความสามารถของหม้อไอน้ำของโรงงานตัวอย่างสามารถผลิตไอน้ำได้ 7 ตันต่อชั่วโมง โดยที่ได้ไอน้ำที่อุณหภูมิ 180 องศาเซลเซียส ความดัน 8 kg / cm² ซึ่งโรงงานตัวอย่างมรม้อไอน้ำทั้งหมด 3 หน่วย การคำนวณพลังงานที่ได้จากหม้อต้มน้ำ

BOILER CAPACITY = 7 Ton / h, 3 unit

TOTAL STEAM OUT PUT = 21 Ton / h

TEMPERATURE = 180 °C

PRESSURE = 0.8 Mpa

จากตารางคุณสมบัติไอน้ำ

SPRIFIC VOLUM = 0.2404 m³ / kg

SATURATED LIQUID = 0.001 kJ / kg (น้อยมาก จึงไม่นำมาคิด)

SATURATED VAPOR ENTHALPY = 2778 kJ / kg

ดังนั้น

พลังงานทั้งหมดที่ได้ = (21 x 1,000) kg / h x 2778 kJ / kg

= 58,338,000 kJ / h

= 972,300 kJ / min.

พลังงานทั้งหมดต้องแบ่งจ่ายให้กับกระบวนการอื่นๆ 30 % ที่เหลือจ่ายให้กับกระบวนการปรับอากาศ 70 %

ดังนั้นพลังงานที่จ่ายให้กับกระบวนการปรับอากาศ

= 680,610 kJ / min.

การคำนวณการใช้พลังงานของกระบวนการปรับอากาศ

จากแผนภูมิไซโคเมตริกค่าความแตกต่างของเอนทาลปีของค่าออกแบบต่ำสุดกับค่าเป้าหมาย

ค่าออกแบบต่ำสุด = 46 kJ / kg

ค่าเป้าหมาย = 72 kJ / kg

ดังนั้น Δh_t = 26 kJ / kg

ระบบปรับอากาศ 1 หน่วยใช้พัดลมขนาด 2,000 m³ / min. จำนวน 3 ตัว มีระบบปรับอากาศที่ใช้ในโรงงานทั้งหมด 4 หน่วย (สำหรับห้องพ่นสีรองพื้น 2 หน่วย และ สำหรับห้องพ่นสีขั้นสุดท้าย 2 หน่วย)

ดังนั้นอากาศไหลทั้งหมด = 2,000 m³ / min. x 3 x 4

= 24,000 m³ / min.

$$\begin{aligned}
 \text{อากาศมาตรฐาน } 1 \text{ m}^3 \text{ หนัก} &= 1.16 \text{ kg / m}^3 \\
 \text{ดังนั้นมวลอากาศไหลทั้งหมด} &= 1.16 \text{ kg / m}^3 \times 24,000 \text{ m}^3 / \text{min.} \\
 &= 27,840 \text{ kg / min.} \\
 \text{พลังงานที่ต้องการ} &= \Delta h_f \text{ kJ / kg} \times m \text{ kg / min.} \\
 &= 26 \text{ kJ / kg} \times 27,840 \text{ kg / min.} \\
 &= 723,840 \text{ kJ / min.}
 \end{aligned}$$

จากการคำนวณทำให้ทราบได้ว่าถ้าสภาพอากาศอยู่ใกล้ค่ากำหนดออกแบบจะทำให้ระบบปรับอากาศไม่สามารถทำการปรับอากาศให้ได้ค่าเป้าหมายได้เพราะมีพลังงานไม่พอเพียงต่อการปรับอากาศให้ได้ตามค่าเป้าหมาย นั่นคือหม้อต้มไอน้ำสามารถที่จะผลิตพลังงานให้กับกระบวนการปรับอากาศได้ 680,610 kJ/min. แต่กระบวนการปรับอากาศมีความต้องการพลังงานเมื่อมีค่าเอนทาลปีเข้าใกล้ค่ากำหนดออกแบบจะต้องการพลังงาน 723,840 kJ/min.



สถาบันวิทยบริการ
จุฬาลงกรณ์มหาวิทยาลัย

บทที่ 5

การออกแบบและปรับปรุงระบบปรับอากาศสำหรับห้องพ่นสีของโรงงานตัวอย่าง

5.1. แนวคิดในการออกแบบปรับปรุงกระบวนการปรับอากาศ

จากการหาสาเหตุของปัญหาในบทที่ 4 พบว่าสาเหตุที่แท้จริงเกิดจากมีพลังงานความร้อนที่จ่ายให้กับกระบวนการปรับอากาศไม่พอเพียงเมื่อสภาพอากาศภายนอกมีความแปรปรวนมี เอนทัลปี อยู่ใกล้หรือออกนอกค่ากำหนดออกแบบ ทางแก้ไขปัญหานี้อาจทำได้โดยติดตั้งหม้อต้มไอน้ำเพิ่มเพื่อรองรับการใช้พลังงานที่มากขึ้น แต่วิธีการดังกล่าวจำเป็นที่จะต้องใช้เงินลงทุนสูง และยังต้องใช้เวลามากในการติดตั้งที่ยาวนานอีกด้วย นอกจากนี้ยังต้องคำนึงถึงค่าใช้จ่ายในการใช้หม้อต้มไอน้ำด้วย จากการประมาณการต้องใช้งบประมาณ 5 ล้านบาทในการซื้ออุปกรณ์และติดตั้ง และค่าใช้จ่ายในการเดินเครื่องอีก 8,000 – 12,000 บาทต่อวัน ค่าใช้จ่ายในการบำรุงรักษาอีกปีละประมาณ 152,000 บาท ข้อมูลนี้ได้มาจากโรงงานตัวอย่างนี้เอง ดังนั้นจึงต้องหาทางแก้ไขที่มีความเหมาะสมมากกว่าในทางเศรษฐศาสตร์เพราะว่าปัญหาการหยุดผลิตที่เกิดขึ้นนี้จะเกิดขึ้นในช่วงเดือน พฤศจิกายน ถึง เดือน มกราคม ของปีถัดไปเท่านั้น ในการหยุดผลิตโรงงานตัวอย่างจะเกิดความสูญเสีย 180,000 บาท ต่อการหยุดผลิต 1 นาที ดังนั้นหากคิดถึงความคุ้มค่าในการลงทุนแล้วจะพบว่าไม่คุ้มค่าในการลงทุน

อีกสาเหตุหนึ่งที่ทำให้กระบวนการปรับอากาศไม่สามารถเข้าสู่ค่าเป้าหมายได้เพราะไม่มีความยืดหยุ่นของระบบควบคุมทำให้การปรับอากาศมุ่งเน้นให้ได้ค่าเป้าหมายโดยไม่ได้คำนึงถึงความแปรปรวนของสภาพอากาศภายนอก และ ข้อจำกัดของพลังงานที่มีอยู่ ดังนั้นถ้าสามารถที่จะทำให้ระบบควบคุมมีความยืดหยุ่น ปรับสภาพการควบคุมตามความเปลี่ยนแปลงของสภาพอากาศ โดยคำนึงถึงข้อจำกัดของพลังงานที่มีอยู่ และค่าตัวแปรของกระบวนการต้องอยู่ในช่วงที่ยอมรับได้ ก็จะสามารถช่วยลดการสูญเสียจากการหยุดผลิตได้ แต่ก็มีข้อด้อยคือถ้าสภาพอากาศภายนอกมีความแปรปรวนมากจนออกนอกข้อจำกัดพลังงานที่มีอยู่กระบวนการปรับอากาศก็จะล้มเหลวไม่สามารถปรับอากาศให้อยู่ในช่วงที่ยอมรับได้ เช่นในระบบควบคุมแบบเก่า ในเรื่องของค่าใช้จ่ายงบประมาณในการลงทุนปรับเปลี่ยนระบบควบคุมนั้น ก็ใช้เงินลงทุนไม่มากนัก ขึ้นอยู่กับอุปกรณ์ที่ใช้ เช่นถ้าใช้ระบบพีซีลอคจิกในการปรับปรุงก็จะใช้งบประมาณ 280,000 บาท ในการจัดหาอุปกรณ์ 25,000 บาท ในการติดตั้ง ส่วนค่าใช้จ่ายในการใช้งานที่เพิ่มขึ้นก็มาจากค่าไฟฟ้าที่ใช้ประมาณ 1 หน่วย คือ 2.50 บาทต่อวัน เมื่อเปรียบเทียบกับติดตั้งหม้อต้มไอน้ำเพิ่มแล้วจะพบว่าการปรับปรุงระบบควบคุมมีความคุ้มค่าทางเศรษฐศาสตร์มากกว่า

อีกทางเลือกหนึ่งคือการใช้วิธีการปรับค่าเป้าหมายของระบบควบคุมแบบเดิมโดยใช้คนทำการคำนวณและปรับค่าเป้าหมายตามสภาพอากาศที่แปรเปลี่ยนไป (MANUAL SETTING) วิธีการนี้ไม่จำเป็นต้องใช้งบในการลงทุนติดตั้งอุปกรณ์ใดๆเพิ่มเติม แต่จะต้องใช้บุคลากรที่มีความเข้าใจในกระบวนการปรับอากาศซึ่งอาจจะต้องเป็นวิศวกร หรือจัดทำมาตรฐานการทำงานให้เข้าใจได้ง่ายเพื่อให้พนักงานทั่วไปสามารถที่จะทำการปรับค่าเป้าหมายที่ตัวควบคุมกระบวนการปรับอากาศได้ มาทำการปรับค่าเป้าหมายที่แปรเปลี่ยนไปตามสภาพ

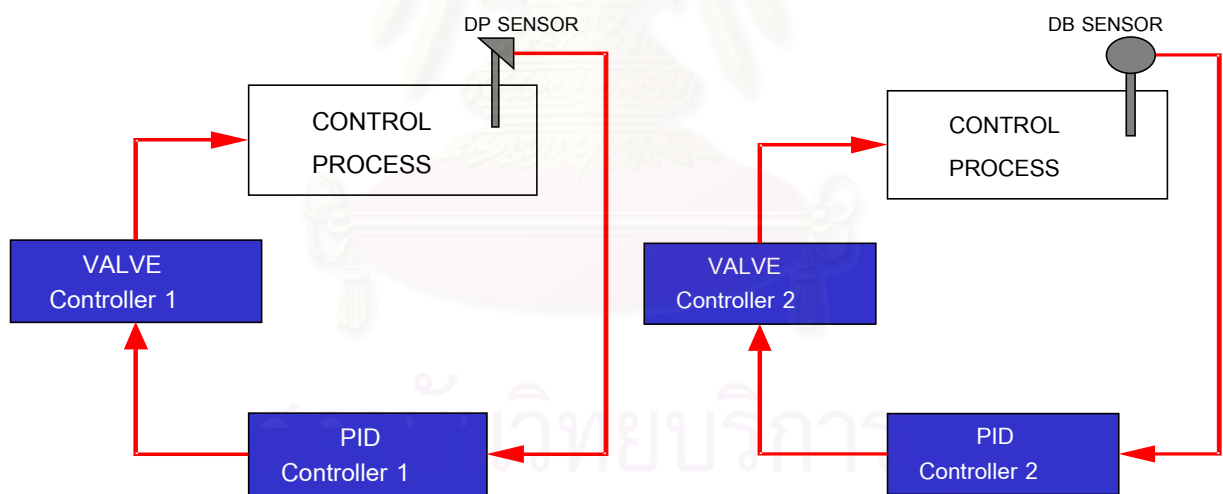
อากาศภายนอกอยู่ตลอดเวลา ถ้านำมาคิดเป็นจำนวนแรงงานที่ต้องใช้อาจต้องใช้แรงงานวันละ 1 ชั่วโมงในการปรับแต่งค่าเป้าหมายต่อ 1 วันทำงาน โรงงานตัวอย่างทำงานโดยเฉลี่ยปีละ 250 วัน ค่าแรงงานพนักงานระดับปฏิบัติการเฉลี่ยชั่วโมงละ 130 บาท ดังนั้นค่าใช้จ่ายในการปรับแบบ MANUAL SETTING นี้ต้องใช้เงินปีละ 32,500 บาท ข้อดีของการใช้คนปรับค่าเป้าหมายนี้คือไม่มีการลงทุนเพิ่ม แต่ก็สามารถที่จะแก้ไขปัญหาได้ ข้อเสียก็คือ ถ้าสภาพอากาศภายนอกมีความแปรปรวนเกินขีดจำกัดของการออกแบบกระบวนการปรับอากาศก็ไม่สามารถทำการปรับอากาศให้ได้ค่าเป้าหมายเช่นเดียวกันกับการใช้วิธีปรับปรุงระบบควบคุมแบบพีซีแอลจิก นอกจากนี้ยังมีความเสี่ยงในเรื่องของความผิดพลาดที่อาจเกิดขึ้นจากคนทำงานผิดพลาด (MISS OPERATEATION) อีกด้วย ซึ่งการเปรียบเทียบการปรับปรุงทั้ง 3 แบบได้แสดงในตารางที่ 5.1 จากตารางเปรียบเทียบนี้จะเห็นได้ว่าโดยรวมแล้วการปรับปรุงระบบควบคุมแบบอัตโนมัติ น่าจะเหมาะสมที่สุดในการปรับปรุงกระบวนการปรับอากาศ เนื่องจากใช้งบประมาณไม่สูงมากนักและมีความน่าเชื่อถือมากกว่าการใช้วิธีการปรับค่าเป้าหมายแบบใช้คนปรับ

ตารางที่ 5.1 เปรียบเทียบการปรับปรุงกระบวนการปรับอากาศ

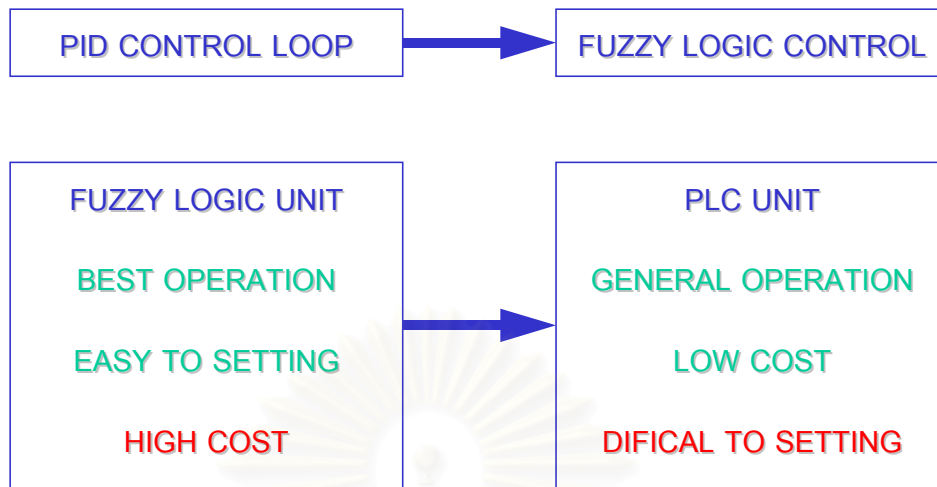
| รายการ | หม้อต้มไอน้ำ | ระบบควบคุมอัตโนมัติ | ระบบควบคุมโดยคน |
|--------------------------------|------------------|---------------------------|-----------------|
| งบประมาณการซื้อและติดตั้ง | 5 ล้านบาท | 330,000 บาท | 0 บาท |
| ค่าใช้จ่ายในการใช้งาน | 2.5 ล้านบาท / ปี | 625 บาท / ปี | 32,500 บาท / ปี |
| ค่าใช้จ่ายในการบำรุงรักษา | 152,000 บาท / ปี | 25,000 บาท / ปี | 0 บาท |
| รวมค่าใช้จ่ายต่อปี | 2,652,000 บาท | 25,625 บาท | 32,500 บาท / ปี |
| ความเสี่ยงเนื่องจากการปรับแต่ง | ไม่มี | ไม่มี | มี |
| ความเสี่ยงเมื่ออากาศแปรปรวนสูง | ไม่มี | ขึ้นอยู่กับขีดจำกัดออกแบบ | |
| สูญเสียจากกระบวนการปรับอากาศ | 290 นาที่ / ปี | | |
| ค่าสูญเสียต่อปี (เฉลี่ย) | 5,220,000 บาท | | |
| คุ้มทุน | 25 ปี | 0.1 ปี | 0 ปี |

5.2. การออกแบบการปรับปรุงกระบวนการปรับอากาศ

การปรับปรุงระบบควบคุมของกระบวนการปรับอากาศของโรงงานตัวอย่างซึ่งการควบคุมใช้เป็นการควบคุมแบบป้อนกลับ หรือ PID ซึ่งได้แสดงรูปแบบการควบคุมอย่างง่ายในรูปที่ 5.1 ข้อเสียของระบบแบบ PID นี้คือ ความไม่ยืดหยุ่นของระบบ การแก้ไขข้อบกพร่องนี้ทำได้โดยการใช้ระบบ ฟัชซีลอจิก เข้ามาช่วยในการควบคุมทำให้ระบบมีความยืดหยุ่นได้ นั่นคือสามารถที่จะทำให้การควบคุมแปรผันไปตามสภาพอากาศภายนอกโดยให้ค่าเป้าหมายอยู่ในช่วงที่ยอมรับได้ การใช้ระบบฟัชซีลอจิกนี้ สามารถใช้อุปกรณ์ที่ทำหน้าที่นี้โดยตรงโดยใช้สมการในการคำนวณภายในตัวอุปกรณ์เอง หรือ อาจจะใช้อุปกรณ์ควบคุมอื่นที่สามารถทำการคำนวณได้และส่งค่าต่างๆออกมาในรูปแบบที่ต้องการได้ เช่น อุปกรณ์ควบคุมแบบ PROGRAMABLE LOGIC CONTROLLER (PLC) แต่ข้อเสียของการใช้อุปกรณ์ควบคุมแบบ PLC ก็คือต้องทำการแปลงสมการที่ใช้ในการคำนวณให้มาอยู่ในรูปของคำสั่งที่มีใช้ในอุปกรณ์ PLC นั้น แต่เนื่องจากภายในโรงงานตัวอย่างมีการใช้ PLC ของ MITSUBISHI อยู่แล้ว และ เนื่องจากข้อจำกัดทางงบประมาณ จึงเลือกใช้ PLC มาเป็นตัวช่วยในการคำนวณ แนวคิดในการปรับปรุงระบบควบคุมกระบวนการปรับอากาศดังที่กล่าวมาแล้วสามารถแสดงเป็นแผนภาพได้ตามรูปที่ 5.2

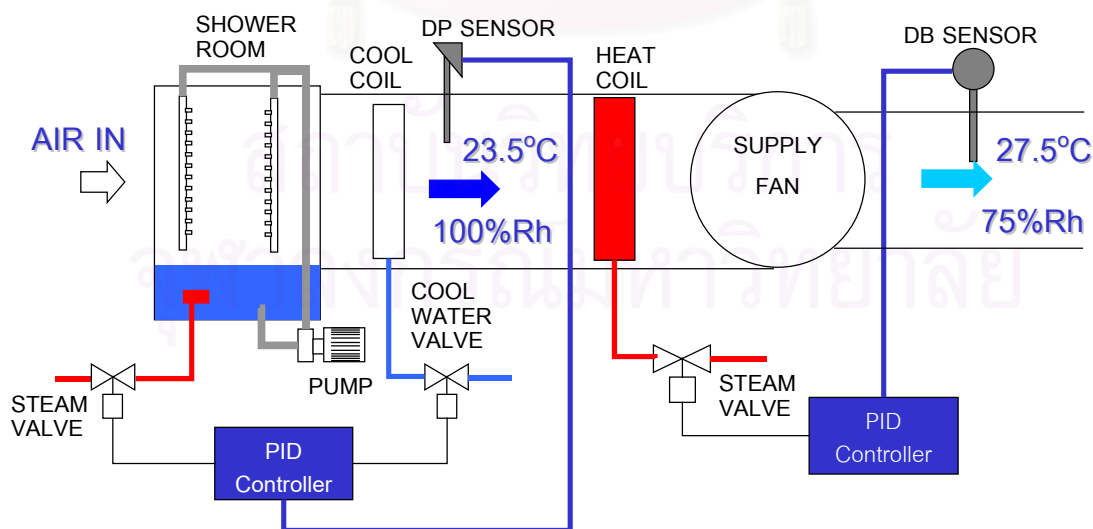


รูปที่ 5.1 การควบคุมค่าอุณหภูมิจุดน้ำค้าง และค่าอุณหภูมิกระเปาะแห้งก่อนการปรับปรุง

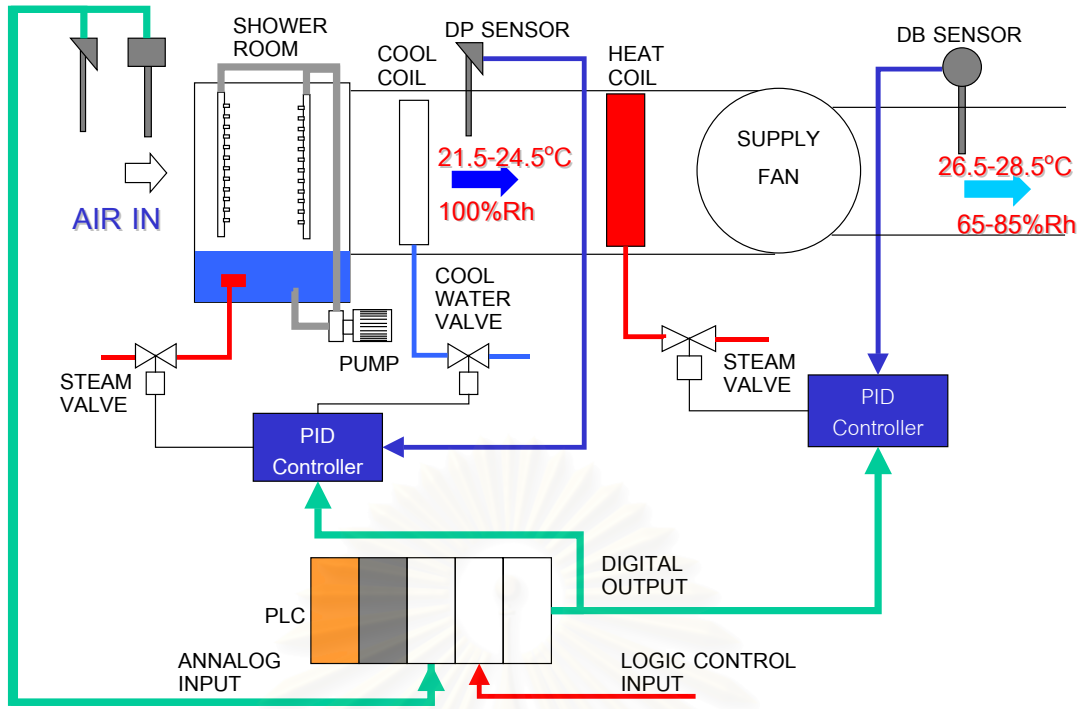


รูปที่ 5.2 แนวทางการปรับปรุงระบบควบคุมกระบวนการปรับอากาศ

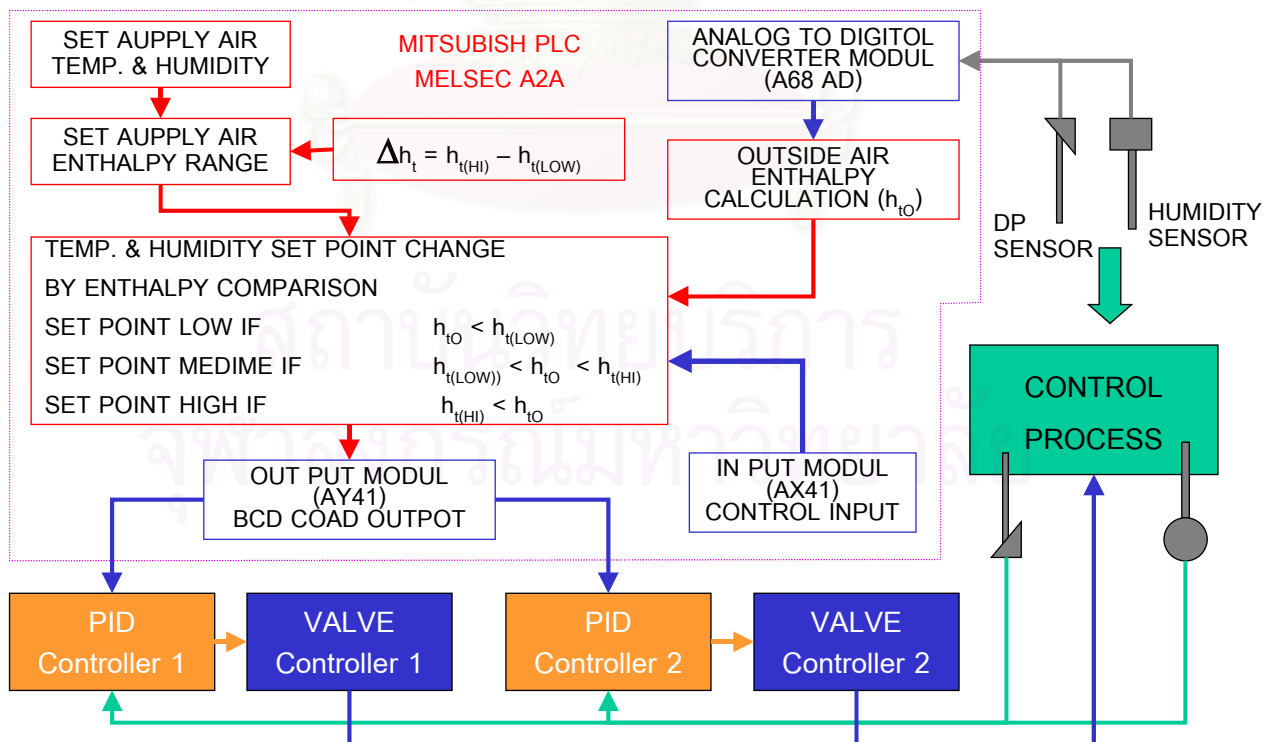
จากแนวคิดนี้จึงได้นำมาเขียนเป็นแผนภูมิการทำงานของระบบควบคุมกระบวนการปรับอากาศในรูปแบบที่ 5.4 และ 5.5 การทำงานของระบบควบคุมจะยุ่งยากมากขึ้น โดยระบบจะต้องทำการวัดค่าสภาพอากาศภายนอก แล้วแปลงมาเป็นสัญญาณทางไฟฟ้า จากนั้น PLC จะทำการแปลงสัญญาณทางไฟฟ้าเป็นค่าตัวเลขเพื่อใช้ในการคำนวณหาค่าเอนทาลปีของอากาศภายนอก ต่อจากนั้นก็ทำการเปรียบเทียบค่าที่ได้กับค่าที่กำหนดไว้ เพื่อที่จะได้ทราบว่าต้องส่งคำสั่งไปทำการเปลี่ยนค่าเป้าหมายของตัวควบคุมแบบ PID เพื่อให้สามารถควบคุมกระบวนการปรับอากาศให้อยู่ในช่วงค่าเป้าหมายที่ต้องการได้



รูปที่ 5.3 กระบวนการปรับอากาศก่อนการปรับปรุง



รูปที่ 5.4 กระบวนการปรับอากาศหลังการปรับปรุง



รูปที่ 5.5 การทำงานของระบบควบคุมกระบวนการปรับอากาศหลังการปรับปรุง

ในขั้นตอนการตรวจวัดสภาพอากาศภายนอกต้องใช้อุปกรณ์ตรวจวัดค่า DEW POINT และ HUMIDITY เพื่อนำมาคำนวณหาค่า เอนทาลปี ของอากาศในขณะนั้น ซึ่งวิธีการคำนวณมีดังนี้

คำนวณหาค่าเอนทาลปี

$$h_t = h_s + h_L \quad \dots(1)$$

$$h_s = C_{p(Air)} DB \quad \dots(2)$$

$C_{p(Air)}$ = ค่าความร้อนจำเพาะของอากาศที่ความดันคงที่ มีค่าเท่ากับ $1 \text{ kJ / kg } ^\circ\text{K}$

DB = อุณหภูมิกระเปาะแห้ง ($^\circ\text{C}$)

$$h_L = (W) (h_w) \quad \dots(3)$$

$$W = (0.622PW) / (P-PW)$$

P = ความดันอากาศ 1.01325 bar

PW = ความดันไอน้ำที่ DP (bar)

$$h_w = h_g + CP \cdot DB \quad \dots(4)$$

$$h_g = 2502 \text{ kJ / kg}$$

CP = ค่าความร้อนจำเพาะของไอน้ำในอากาศ มีค่าเท่ากับ $1.88 \text{ kJ / kg } ^\circ\text{K}$

DB = อุณหภูมิกระเปาะแห้ง ($^\circ\text{C}$)

เนื่องจากข้อจำกัดของงบประมาณจึงต้องใช้การวัด DEW POINT มาใช้ในการคำนวณ โดยใช้ค่าความดันไอน้ำจากตารางค่าความดันไอทำการหาค่าโดยการ FIT COVER โดยใช้สมการ เอ็กโปเนเชียล ได้ดังนี้

$$PW = 0.0065 e^{(0.0591 DP)} \quad \dots(5)$$

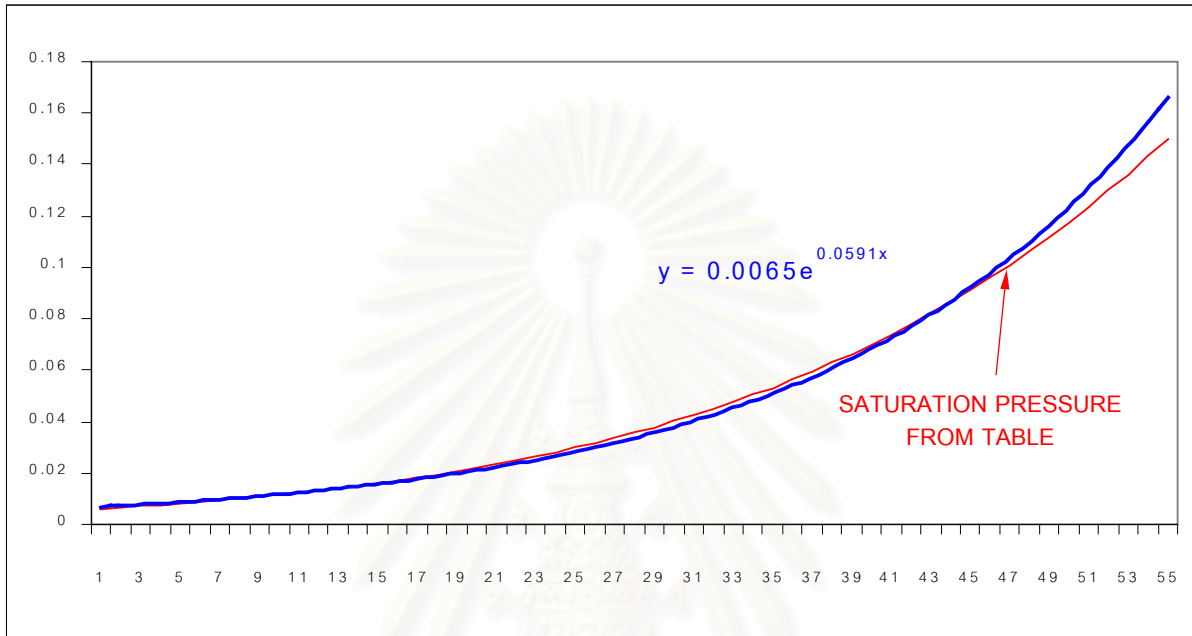
ดังนั้นสามารถนำมาหาค่าความดันไอที่แท้จริงได้ดังนี้

$$PW_{(air)} = PW / \%Rh \quad \dots(6)$$

ดังนั้นสามารถหาอุณหภูมิกระเปาะแห้งได้ดังนี้

$$DB = (\ln (PW_{(air)} / 0.0065)) / 0.0591 \quad \dots(7)$$

จากการตรวจสอบสมการนี้ จะใช้ได้ในช่วงอุณหภูมิ $0^\circ\text{C} - 48^\circ\text{C}$ ซึ่งครอบคลุมสภาพอากาศของเมืองไทยจึงยอมรับได้ตามแผนภูมิในรูปที่ 5.6



รูปที่ 5.6 แสดงค่าความดันไอที่ได้จากการคำนวณและจากตารางค่าความดันไอ (ตารางที่ 2.1)

ตัวอย่างการคำนวณหาค่าเอนทาลปีอากาศภายนอกจากชุดสมการที่ (1) ถึง สมการที่(7) โดยที่อุปกรณ์ตรวจวัดวัดค่าอุณหภูมิจุดน้ำค้างได้ 27 องศาเซลเซียส ความชื้นสัมพัทธ์ 70 %Rh สามารถหาค่าเอนทาลปีของอากาศภายนอกได้ดังนี้

$$DP = 27 \text{ }^{\circ}\text{C}$$

$$Rh = 70 \text{ \%Rh}$$

จากสมการที่ (5)

$$PW = 0.0065 e^{(0.0591 DP)}$$

ดังนั้น

$$PW = 0.0065 e^{(0.0591 \times 27)}$$

$$= 0.032057 \text{ bar}$$

จากสมการที่ (6)

$$PW_{(air)} = PW / \%Rh$$

ดังนั้น

$$PW_{(air)} = 0.032057 / 0.7$$

$$= 0.045795 \text{ bar}$$

จากสมการที่ (7)

$$\text{DB} = (\ln (P_{W_{(\text{air})}} / 0.0065)) / 0.0591$$

ดังนั้น

$$\begin{aligned} \text{DB} &= (\ln (0.045795 / 0.0065)) / 0.0591 \\ &= 33.03 \text{ }^{\circ}\text{C} \end{aligned}$$

จากสมการที่ (4)

$$h_w = h_g + C_p \cdot \text{DB}$$

ดังนั้น

$$\begin{aligned} h_w &= 2502 \text{ kJ/kg} + 1.88 \text{ kJ/kg }^{\circ}\text{K} \times 33.03 \text{ }^{\circ}\text{C} \\ &= 2564.106 \text{ kJ/kg} \end{aligned}$$

หาค่า W จาก

$$\begin{aligned} W &= (0.622P_w) / (P - P_w) \\ &= (0.622 \times 0.032057) / (1.01325 - 0.032057) \\ &= 0.029443 \end{aligned}$$

จากสมการที่ (3)

$$h_L = (W) (h_w)$$

ดังนั้น

$$\begin{aligned} h_L &= 0.020321 \times 2564.106 \\ &= 52.10613 \text{ kJ / kg} \end{aligned}$$

จากสมการที่ (2)

$$h_s = C_{p(\text{Air})} \text{DB}$$

ดังนั้น

$$\begin{aligned} h_s &= 1 \times 33.03 \\ &= 33.03 \text{ kJ / kg} \end{aligned}$$

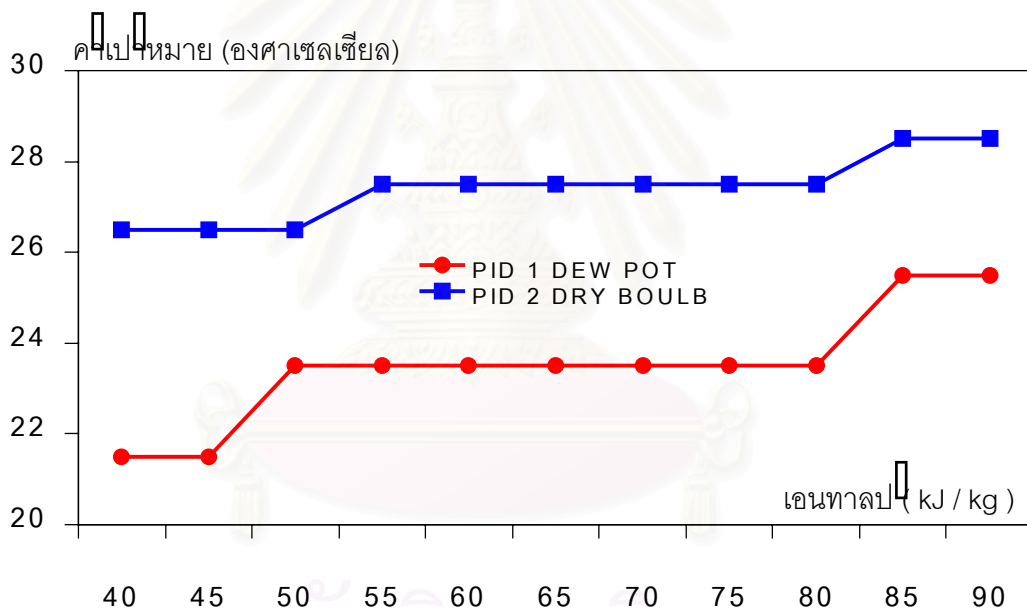
แทนค่าในสมการที่ (1)

$$h_t = h_s + h_L$$

$$h_t = 33.03 + 52.10613$$

$$= 85.14124 \text{ kJ / kg}$$

ในการเปรียบเทียบค่าเอนทาลปีของอากาศภายนอกกับค่าที่กำหนดจากแผนภูมิไซโครเมตริกกำหนดให้มีค่าเป้าหมาย 3 ค่า คือ ค่าเป้าหมายแบบต่ำเมื่อเอนทาลปีของอากาศน้อยกว่า 50 kJ / kg โดยจะตั้งค่าเป้าหมายของตัวควบคุมแบบ PID ตัวที่ 1 ค่า DEW POINT อยู่ที่ 21.5 องศาเซลเซียส และ ค่าเป้าหมายของตัวควบคุมแบบ PID ตัวที่ 2 DRY BOULB อยู่ที่ 26.5 องศาเซลเซียส ระบบควบคุมจะตั้งค่าเป้าหมายแบบกลางเมื่อเอนทาลปีของอากาศมากกว่าหรือเท่ากับ 50 kJ / kg และ น้อยกว่าหรือเท่ากับ 88 kJ / kg โดยจะตั้งค่าเป้าหมายของตัวควบคุมแบบ PID ตัวที่ 1 ค่า DEW POINT อยู่ที่ 23.5 องศาเซลเซียส และ ค่าเป้าหมายของตัวควบคุมแบบ PID ตัวที่ 2 DRY BOULB อยู่ที่ 27.5 องศาเซลเซียส และระบบควบคุมจะตั้งค่าเป้าหมายแบบสูงเมื่อเอนทาลปีของอากาศมากกว่า 88 kJ / kg โดยจะตั้งค่าเป้าหมายของตัวควบคุมแบบ PID ตัวที่ 1 ค่า DEW POINT อยู่ที่ 25.5 องศาเซลเซียส และ ค่าเป้าหมายของตัวควบคุมแบบ PID ตัวที่ 2 DRY BOULB อยู่ที่ 28.5 องศาเซลเซียส ผลที่ได้จากการเปลี่ยนค่าเป้าหมายนี้จะทำให้ภายในห้องพ่นสีมีอุณหภูมิอยู่ในช่วง $26.5 - 28.5$ องศาเซลเซียส และ มีความชื้นสัมพัทธ์อยู่ที่ $65 - 90 \%Rh$



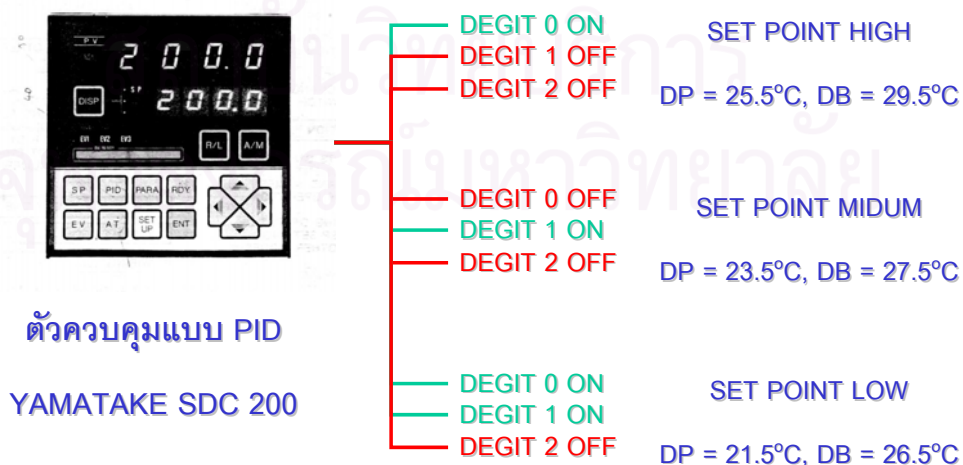
รูปที่ 5.7 แสดงการเปลี่ยนค่าเป้าหมายของตัวควบคุมแบบ PID

5.3 อุปกรณ์ที่การปรับปรุงระบบควบคุมกระบวนการปรับอากาศ

ในการปรับปรุงนี้ต้องการให้มีการใช้งบประมาณอย่างจำกัดที่สุดดังนั้นจึงได้มีการใช้อุปกรณ์ที่มีใช้อยู่แล้วในโรงงานตัวอย่างมาใช้ในการปรับปรุง ซึ่งอุปกรณ์ที่ต้องใช้ในการปรับปรุงมีรายการดังนี้

1. PID CONTROLLER YAMATAKE SDC 200
2. PLC MITSUBISHI A2A CPU WITH RACK AND POWER SUPPLY
3. PLC MITSUBISHI INPUT MODUL AX41
4. PLC MITSUBISHI OUTPUT MODUL AY41
5. PLC MITSUBISHI ANNALOG INPUT MODUL A 68 AD
6. DEW POINT TEMPERATURE SENSOR YAMATAKE MODEL DP-5816
7. HUMIDITY SENSOR YAMATAKE MODEL HY-5716
8. WIRING EQUIPMENT

1. PID CONTROLLER YAMATAKE MODEL SDC 200 เป็นอุปกรณ์ที่ใช้ในการควบคุมกระบวนการปรับอากาศอยู่ก่อนแล้ว เป็นอุปกรณ์ควบคุมที่สามารถปรับค่าการควบคุมได้ด้วยตัวเอง (AUTO TUNEING) เพื่อให้ได้ค่าควบคุม PID ที่เหมาะสมกับกระบวนการที่ทำการควบคุมอยู่ และสามารถปรับเปลี่ยนค่าเป้าหมายได้ 8 ค่าเป้าหมาย โดยใช้การควบคุมแบบเลขฐานสองสามหลักเพื่อเปลี่ยนค่าเป้าหมาย แต่ในการใช้งานในการปรับปรุงระบบควบคุมกระบวนการปรับอากาศในครั้งนี้จะใช้ค่าเป้าหมาย 3 ค่า คือค่าเป้าหมายดังที่ได้กล่าวมาแล้ว

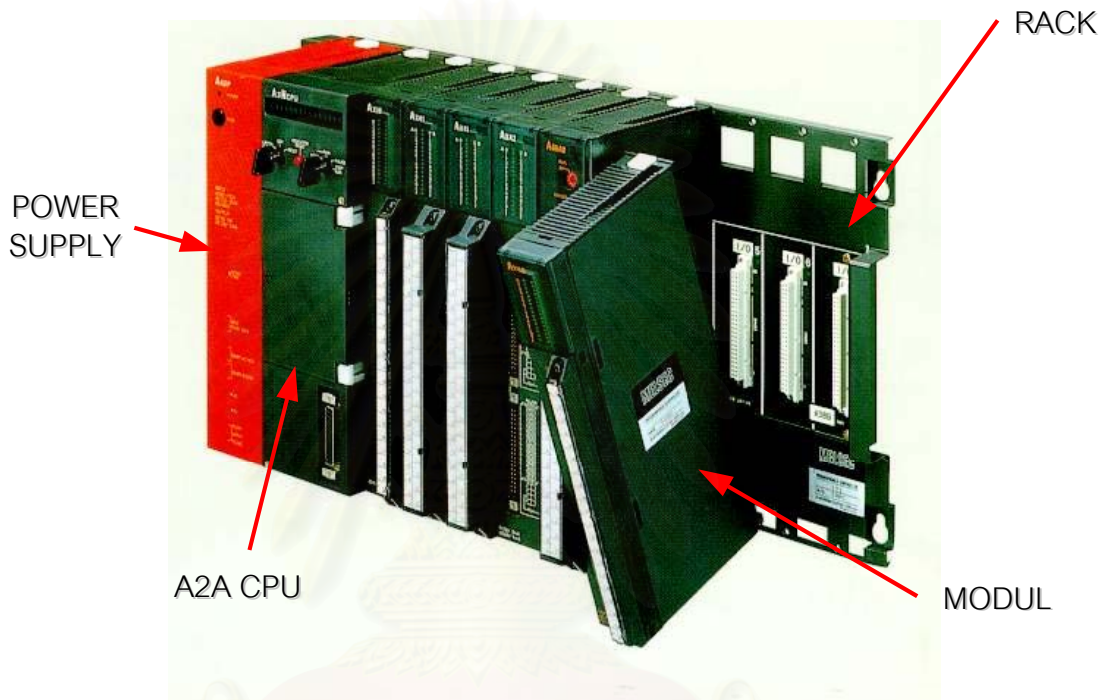


ตัวควบคุมแบบ PID

YAMATAKE SDC 200

รูปที่ 5.8 ตัวควบคุมแบบ PID และการเปลี่ยนค่าเป้าหมาย

2. PLC MITSUBISHI A2A CPU WITH RACK AND POWER SUPPLY เป็นอุปกรณ์แบบโปรแกรมได้ ที่ใช้ควบคุมการทำงานของห้องพ่นสี เช่นการเปิดปิดระบบห้องพ่นสีแบบอัตโนมัติ ระบบสายพานลำเลียงภายในห้องพ่นสี เป็นต้น ในการปรับปรุงระบบควบคุมกระบวนการปรับอากาศนี้จะใช้ความสามารถในการโปรแกรมควบคุม และการคำนวณมาใช้สำหรับ หาค่าเอนทาลปีของอากาศภายนอก คำนวณเปรียบเทียบ กำหนดค่าเป้าหมาย และ ส่งค่าให้กับตัวควบคุมระบบปรับอากาศแบบ PID



รูปที่ 5.9 MITSUBISHI PLC

3. PLC MITSUBISHI INPUT MODUL AX41 เป็นหน่วยย่อยที่ต้องใช้งานประกอบกับ CPU และ RACK หน่วยนี้ทำหน้าที่รับค่าที่เป็นสัญญาณทางไฟฟ้าแบบ ดิจิตอล คือแบบเปิด หรือ ปิด ใช้สำหรับรับค่าการควบคุมต่าง เช่นการกด SWITCH สำหรับสั่งงานเป็นต้น

4. PLC MITSUBISHI OUTPUT MODUL AY41 เป็นหน่วยย่อยของ PCL เช่นกันแต่ทำหน้าที่ส่งสัญญาณแบบ ดิจิตอลออกไปสู่อุปกรณ์ภายนอก เช่นที่ใช้ในการปรับปรุงนี้ใช้สัญญาณเปิดปิดแบบดิจิตอลนี้สามหลักในการสั่งเปลี่ยนค่าเป้าหมายกับอุปกรณ์ควบคุมแบบ PID เป็นต้น

5. PLC MITSUBISHI ANNALOG INPUT MODUL A 68 AD เป็นหน่วยย่อยแบบพิเศษที่ต้องสั่งซื้อเพิ่มเติม ทำหน้าที่รับสัญญาณแบบ อะนาล็อก แล้วเปลี่ยนเป็นสัญญาณแบบตัวเลขฐานสองให้กับ CPU ดังที่ใช้ในการรับค่าจากอุปกรณ์ตรวจวัด DEW POINT และ HUMIDITY ในการคำนวณหาค่าเอนทาลปีของอากาศ เป็นต้น

6. DEW POINT TEMPERATURE SENSOR YAMATAKE MODEL DP-5816 เป็นอุปกรณ์ตรวจวัด DEW POINT ของอากาศที่ไหลผ่าน มีลักษณะเป็นแท่งโลหะทรงกระบอกมีจุดต่อสายสัญญาณที่หัวดังในรูปที่ 5.10 สัญญาณที่ได้เป็นแบบอะนาล็อก 4 – 20 mA

7. HUMIDITY SENSOR YAMATAKE MODEL HY-5716 5714 เป็นอุปกรณ์ตรวจวัด HUMIDITY ของอากาศที่ไหลผ่าน มีลักษณะเป็นแท่งโลหะทรงกระบอกมีจุดต่อสายสัญญาณที่หัวดังในรูปที่ 5.10 สัญญาณที่ได้เป็นแบบอะนาล็อก 4 – 20 mA



รูปที่ 5.10 YAMATAKE DEW POINT SENSOR AND HUMIDITY SENSOR

8. WIRING EQUIPMENT เป็นอุปกรณ์เบ็ดเตล็ดต่างๆที่ใช้ในการเดินสายไฟในโรงงาน เช่น สายไฟ, รางปลา, รางสายไฟ เป็นต้น

5.4 งบประมาณที่ใช้ในการปรับปรุงกระบวนการปรับอากาศ

ดังที่ได้กล่าวมาแล้วว่างบประมาณมีส่วนสำคัญในการตัดสินใจในการลงทุนของผู้บริหารของโรงงานตัวอย่างที่จะอนุมัติงบประมาณการปรับปรุงกระบวนการปรับอากาศ ซึ่งงบประมาณนี้จะประกอบด้วย 3 ส่วนหลัก คือ ส่วนของการจัดหาวัสดุอุปกรณ์ที่จะต้องใช้ในการปรับปรุง ส่วนของค่าแรงงาน และ ส่วนของค่าใช้จ่ายที่ใช้ในการเดินเครื่องจักรอุปกรณ์ ซึ่งจะต้องนำทั้ง 3 ส่วนนี้มารวมกันแล้วเปรียบเทียบกับกำไรที่โครงการนี้จะสามารถลดการสูญเสียเนื่องจากการผลิตได้

5.4.1 งบประมาณในการจัดหาวัสดุอุปกรณ์

จากรายการความต้องการวัสดุอุปกรณ์ในหัวข้อที่ 5.3 บางรายการที่ต้องการใช้เป็นอุปกรณ์ที่มีใช้งานอยู่แล้วในระบบควบคุมกระบวนการปรับอากาศของโรงงานตัวอย่าง ซึ่งรายการทั้งหมดนำมาทำเป็นตารางเพื่อคิดค่างบประมาณได้ดังในตารางที่ 5.2

ตารางที่ 5.2 งบประมาณในการจัดหาวัสดุอุปกรณ์

| รายการอุปกรณ์ | จำนวน | | ราคา (บาท) |
|--|---------|---------|------------------|
| | ของใหม่ | ของเก่า | |
| 1. PID CONTROLLER YAMATAKE SDC 200 | | 2 | - |
| 2. PLC MITSUBISHI A2A CPU WITH RACK AND POWER SUPPLY | | 1 | - |
| 3. PLC MITSUBISHI INPUT MODUL AX41 | | 1 | - |
| 4. PLC MITSUBISHI OUTPUT MODUL AY41 | | 1 | - |
| 5. PLC MITSUBISHI ANNALOG INPUT MODUL A 68 AD | 1 | | 38,000.00 |
| 6. DEW POINT TEMPERATURE SENSOR YAMATAKE MODEL DP-5816 | 1 | | 18,000.00 |
| 7. HUMIDITY SENSOR YAMATAKE MODEL HY-5716 | 1 | | 16,000.00 |
| 8. WIRING EQUIPMENT | 1 | | 8,000.00 |
| รวมทั้งหมด | | | 80,000.00 |

5.4.2 งบประมาณของค่าแรงงาน

แรงงานที่ใช้ในการปรับปรุงกระบวนการปรับอากาศจะใช้แรงงานของพนักงานซ่อมบำรุงของโรงงานตัวอย่าง โดยจะแยกเป็นการประมาณชั่วโมงการทำงานในแต่ละส่วนงาน และคูณด้วยค่าเฉลี่ยค่าแรงงานต่อชั่วโมงซึ่งมีค่าเฉลี่ยของพนักงานระดับปฏิบัติการอยู่ที่ 125 บาทต่อชั่วโมง คิดเป็นงบประมาณแรงงานได้ในตารางที่ 5.3

ตารางที่ 5.3 งบประมาณของค่าแรงงาน

| รายการ | จำนวนชั่วโมง | ค่าแรงงาน |
|---|--------------|------------------|
| 1. การศึกษากระบวนการปรับอากาศ | 48 | 6,000.00 |
| 2. งานออกแบบการปรับปรุงกระบวนการปรับอากาศ | 120 | 15,000.00 |
| 3. งานเขียนโปรแกรม PLC | 80 | 10,000.00 |
| 4. งานติดตั้งอุปกรณ์ | 16 | 2,000.00 |
| 5. งานเดินสายไฟ | 24 | 3,000.00 |
| 6. งานทดสอบระบบ | 24 | 3,000.00 |
| รวมค่าแรงงาน | 312 | 39,000.00 |

5.4.3 งบประมาณในการเดินเครื่องจักร

ในการปรับปรุงกระบวนการปรับอากาศนี้มีอุปกรณ์ที่ใช้พลังงานไฟฟ้าเท่านั้น การเดินกระบวนการปรับอากาศก็ยังคงต้องใช้พลังงานต่างๆเท่ากับ หรือ อาจจะน้อยกว่าการใช้พลังงานที่กระบวนการปรับอากาศใช้ก่อนทำการปรับปรุง อุปกรณ์ที่ใช้พลังงานที่เพิ่มขึ้นคือ PLC MITSUBISHI ANNALOG INPUT MODUL A 68 AD และ อุปกรณ์ตรวจวัดค่าอุณหภูมิจุดน้ำค้าง และ อุปกรณ์ตรวจวัดค่าความชื้นสัมพัทธ์ ซึ่งใช้พลังงานไฟฟ้าน้อยมากไม่เกินเดือนละ 1 kWh ดังนั้นจะคิดเป็นค่าพลังงานไฟฟ้าที่ใช้ทั้งหมด 1 หน่วยต่อวัน ค่าพลังงานไฟฟ้าหน่วยละ 2.50 บาท คิดเป็นเงินเท่ากับ 75 บาท ต่อ เดือน ซึ่งถือว่าน้อยมาก ค่าใช้จ่ายในการใช้งานอุปกรณ์ที่ใช้ปรับปรุงระบบควบคุมกระบวนการปรับอากาศส่วนใหญ่จะเป็นค่าบำรุงรักษาอุปกรณ์ต่างๆมากกว่า จากประสบการณ์พบว่าอุปกรณ์ทางไฟฟ้าโดยเฉพาะอุปกรณ์ PLC จะมีอายุการใช้งานมากกว่า 5 ปี ในสภาพการทำงานปกติ ถ้าคิดว่าต้องทำการเปลี่ยนอุปกรณ์ใหม่ทั้งหมดทุกๆ 5 ปีโดยรวมถึงค่าแรงในการเปลี่ยนด้วย เพื่อให้ระบบสามารถทำงานได้ตลอดเวลา เมื่อนำมาเฉลี่ยเป็นค่าบำรุงรักษารายปีแล้วได้ดังนี้

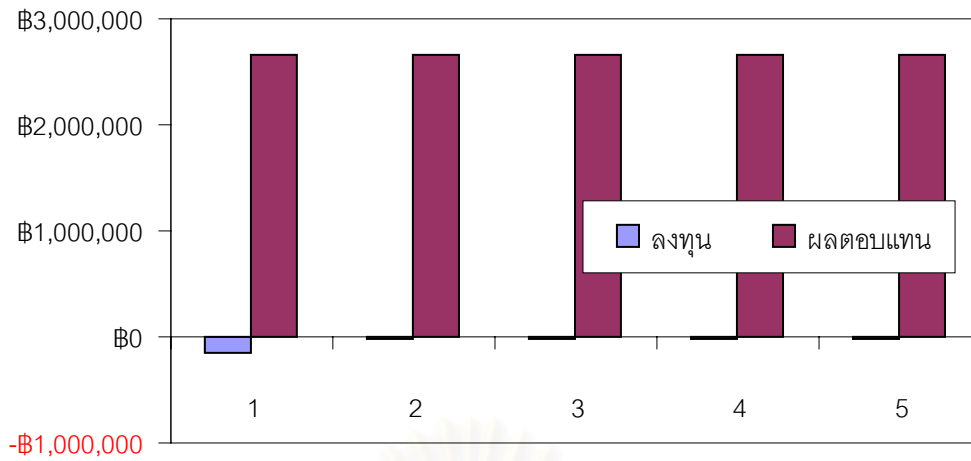
| | | |
|--|-----------|-----|
| ค่าใช้จ่ายจัดหาอุปกรณ์ทั้งหมดในช่วง 5 ปี | = 80,000 | บาท |
| ค่าแรงงานในการบำรุงรักษา 5 ปี | = 39,000 | บาท |
| รวมค่าบำรุงรักษา 5 ปี | = 119,000 | บาท |
| ดังนั้นค่าบำรุงรักษาต่อปี | = 23,800 | บาท |

5.4.4 สรุปงบประมาณและการคุ้มทุน

สรุปงบประมาณที่ต้องทั้งหมดในการปรับปรุงกระบวนการปรับอากาศ

| | | |
|-----------------------------|-----------|-----|
| ค่าวัสดุอุปกรณ์ | = 80,000 | บาท |
| ค่าแรงงานในการปรับปรุง | = 39,000 | บาท |
| ค่าบำรุงรักษา | = 23,800 | บาท |
| รวมงบประมาณทั้งหมดในปีที่ 1 | = 142,800 | บาท |
| ค่าใช้จ่ายในปีที่ 2,3,... | = 23,800 | บาท |

ดังที่ได้กล่าวมาแล้วว่าการหยุดผลิตของโรงงานตัวอย่างจะเกิดความสูญเสียขึ้นถึงนาทีละ 180,000 บาท การหยุดผลิตเนื่องจากกระบวนการปรับอากาศโดยเฉลี่ยปีละ 290 นาที นั่นคือสูญเสียถึงปีละ 5.22 ล้านบาท ถ้าคิดว่าการปรับปรุงสามารถที่จะลดการสูญเสียได้ครึ่งหนึ่งคือปีละ 2.66 ล้านบาท ถ้านำมาเปรียบเทียบกับงบประมาณที่ต้องลงทุนในการปรับปรุงระบบควบคุมกระบวนการปรับอากาศ จะพบว่ามีความคุ้มค่าในการลงทุนอย่างมาก แสงผังแผนภูมิการลงทุนในรูปที่ 5.11



รูปที่ 5.11 แผนภูมิการลงทุนและผลตอบแทน

จากรูปที่ 5.11 จะพบว่าการลงทุนจะคุ้มทุนในปีแรกซึ่งสามารถนำมาคำนวณได้ดังนี้

งบลงทุนปีที่ 1 = 142,800 บาท

ผลตอบแทนปีที่ 1 = 2,660,000 บาท

ดังนั้นคุ้มทุน = 0.05 ปี

5.5 แผนการติดตั้งอุปกรณ์และการปรับปรุงโปรแกรมควบคุม

แผนการติดตั้งอุปกรณ์และการปรับปรุงโปรแกรมควบคุมได้กำหนดที่จะทำในวันหยุดของโรงงานในช่วงต้นเดือนธันวาคม 2543 ดังแสดงในรูปที่ 5.12 ดังนี้

| หัวข้อการทำงาน | 2/12/00 | | 3/12/00 | | 4/12/00 | |
|--|---------|-------|---------|-------|---------|-------|
| | 8-12 | 13-17 | 8-12 | 13-17 | 8-12 | 13-17 |
| 1. ติดตั้งอุปกรณ์ตรวจวัด | █ | | | | | |
| 2. ติดตั้ง A68 A/D MODUL | █ | | | | | |
| 3. เดินสายไฟฟ้า | | █ | █ | | | |
| 4. ตรวจสอบการเดินสายไฟฟ้า | | | █ | | | |
| 5. แก้ไข PROGRAM ควบคุม PLC | | | | █ | | |
| 6. แก้ไขค่า PARAMETER ของตัวควบคุม PID | | | | █ | | |
| 7. ทดลองระบบ | | | | | █ | |

รูปที่ 5.12 แผนการติดตั้งอุปกรณ์และการปรับปรุงโปรแกรมควบคุม

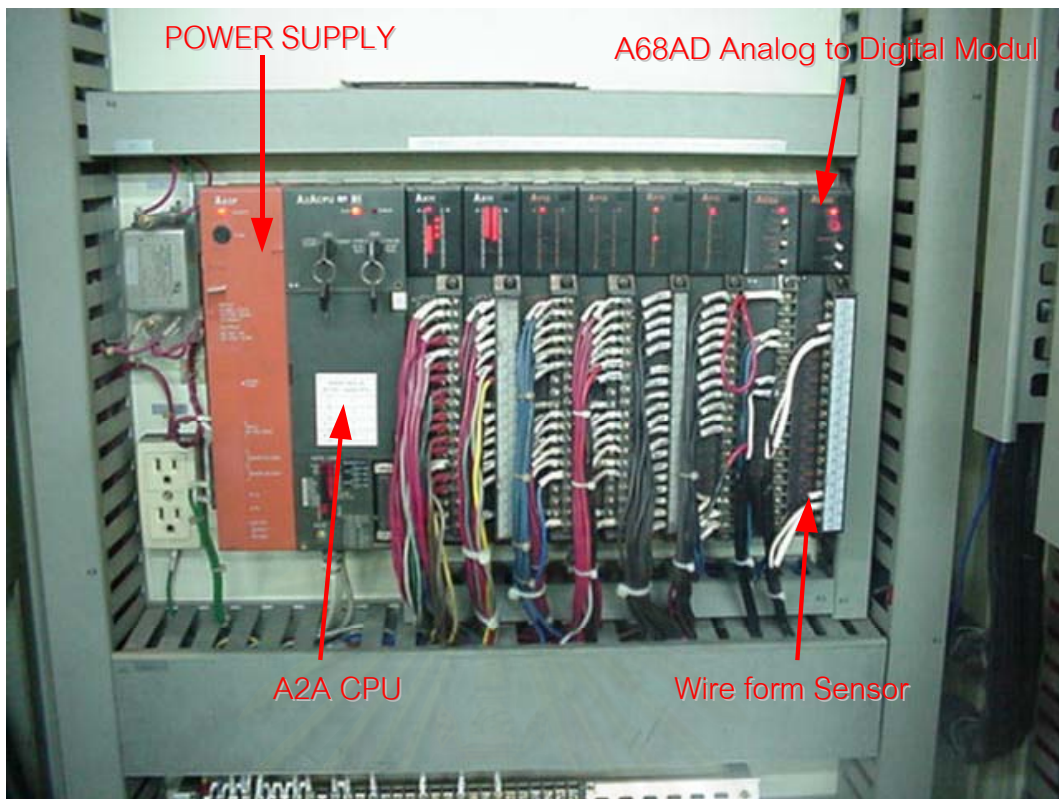
5.6 การติดตั้งอุปกรณ์และการปรับปรุงโปรแกรมควบคุม

5.6.1 การติดตั้งอุปกรณ์

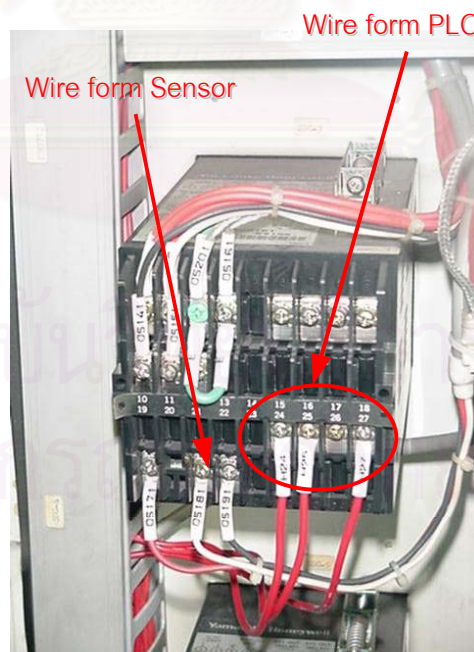
อุปกรณ์ที่ต้องติดตั้งเพิ่มขึ้นคือ PLC MITSUBISHI ANALOG INPUT MODUL A 68 AD ติดตั้งบน RACK ของชุด PLC ในตู้ควบคุมได้เลยดังที่ได้แสดงในรูปที่ 5.11 เป็นตู้ควบคุม PLC และ ตู้ควบคุม PID โดย MODUL ที่ติดตั้งเพิ่มขึ้นนี้ติดตั้งในตู้ควบคุม PLC นอกจากนี้ยังจะต้องติดตั้งอุปกรณ์ตรวจวัดอุณหภูมิจุดน้ำค้าง และ ความชื้นสัมพัทธ์ ของอากาศภายนอก ซึ่งจุดติดตั้งที่เหมาะสมควรจะเป็นทางที่อากาศภายนอกเข้าสู่กระบวนการปรับอากาศ ดังนั้นจึงติดตั้งอุปกรณ์ตรวจวัดทั้งสองตัวไว้ในห้องกระบวนการที่หนึ่งคือกระบวนการกรองอากาศ โดยต้องทำอุปกรณ์จับยึดขึ้นมาใหม่ในการเดินสายสัญญาณควบคุมจากตัวอุปกรณ์ตรวจวัดมายัง PLC MODUL ใช้สายนำสัญญาณแบบ ป้องกันการรบกวน SHIELED CABLE แบบมีสายนำสัญญาณ 3 เส้น ส่วนสายนำสัญญาณจาก PLC ไปยังตัวควบคุมแบบ PID ใช้สายไฟฟ้าขนาด 1.5 ตารางมิลลิเมตร ในการเข้าจุดต่อสายใช้แบบ RING TERMIAL ทั้งหมดเพื่อป้องกันการหลุดหลวม ทั้งนี้การเดินสายต่างๆเป็นไปตามมาตรฐานของโรงงานตัวอย่าง แบบการเดินสายไฟฟ้าทั้งหมดได้แสดงในภาคผนวกในหัวข้อแบบไฟฟ้า



รูปที่ 5.13 ตู้ควบคุม PLC และ กระบวนการปรับอากาศ



รูปที่ 5.14 การเดินสายไฟกับ PLC ในตู้ควบคุม PLC



รูปที่ 5.14 การเดินสายไฟที่ตัวควบคุมแบบ PID

5.6.2 การปรับปรุงโปรแกรมควบคุม

การปรับปรุงโปรแกรมควบคุมของ PLC จะอ้างอิงจากแผนภูมิการทำงานของกระบวนการปรับอากาศ ในรูปที่ 5.5 คือ กำหนดค่าคงที่ต่างๆที่จำเป็นในการทำงาน จากนั้นทำการแปลงค่าทางไฟฟ้าที่รับมาจากอุปกรณ์ตรวจวัดเป็นค่าจริง (REAL NUMBER) แล้วทำการคำนวณหาค่าเอนทาลปีของอากาศภายนอกหลังจากนั้นจะทำการเปรียบเทียบค่าที่คำนวณได้กับค่าที่ตั้งไว้แล้วจึงส่งสัญญาณไปกำหนดค่าเป้าหมายให้กับตัวควบคุมแบบ PIDเป็นการตรวจสอบการทำงาน ซึ่งในการทำงานนี้ได้กำหนดให้ทำการคำนวณและเปรียบเทียบทุกๆ 1 นาที เพื่อป้องกันการตั้งค่าง่ายๆไปกลับมาของตัวควบคุมแบบ PID เพื่อความเสถียรของกระบวนการ โปรแกรมที่จัดทำขึ้นเป็นส่วนเพิ่มเติมจากโปรแกรมเดิมแสดงในภาคผนวกในหัวข้อโปรแกรม PLC ซึ่งโปรแกรมนี้อาจใช้งานได้กับ PLC MITSUBISHI CPU A2A หรือ A3A เท่านั้น ในส่วนการตั้งค่าการควบคุมของตัวควบคุมแบบ PID แสดงใน DATA SHEET ในภาคผนวกหัวข้อเรื่อง PID DATA SHEET

5.7 การทดลองระบบ

เมื่อทำการปรับปรุงระบบควบคุมกระบวนการปรับอากาศแล้วเสร็จ การทดสอบระบบสามารถทำได้โดยการใช้อุปกรณ์สอบเทียบทางไฟฟ้า 2 ชุด ป้อนสัญญาณ 4-20 Am เลียนแบบค่าที่ได้จากอุปกรณ์ตรวจวัดค่า DP และ %Rh แล้วดูผลที่ได้จากการเปลี่ยนค่าเป้าหมายของตัวควบคุมแบบ PID ถ้าสามารถทำการเปลี่ยนค่าเป้าหมายได้ตามที่ออกแบบไว้ก็สรุปได้ว่าระบบที่ทำการปรับปรุงสามารถทำงานได้ตามที่ออกแบบไว้ ซึ่งได้ทำการทดลอง 6 ครั้ง ซึ่งค่าที่กำหนดในการทดลองเลือกมาจากค่าเอนทาลปีที่มีผลทำให้การปรับค่าระบบควบคุมครอบคลุมค่าเป้าหมายทั้งสามค่าโดยกำหนดค่าเป็นค่าอุณหภูมิคงที่ 3 ค่า และ ค่าความชื้นสัมพัทธ์คงที่ 3 ค่า ผลที่ได้แสดงในตารางที่ 5.4 จากตารางนี้สรุปได้ว่าระบบควบคุมสามารถทำงานได้ตามที่ออกแบบไว้ ในส่วนของการตรวจสอบทั้งกระบวนการจะใช้การทำงานจริงในช่วงเวลาทำการผลิตเป็นการตรวจสอบโดยจะต้องมีการเฝ้าดูผลอย่างใกล้ชิด

ตารางที่ 5.4 ผลการทดสอบระบบควบคุม

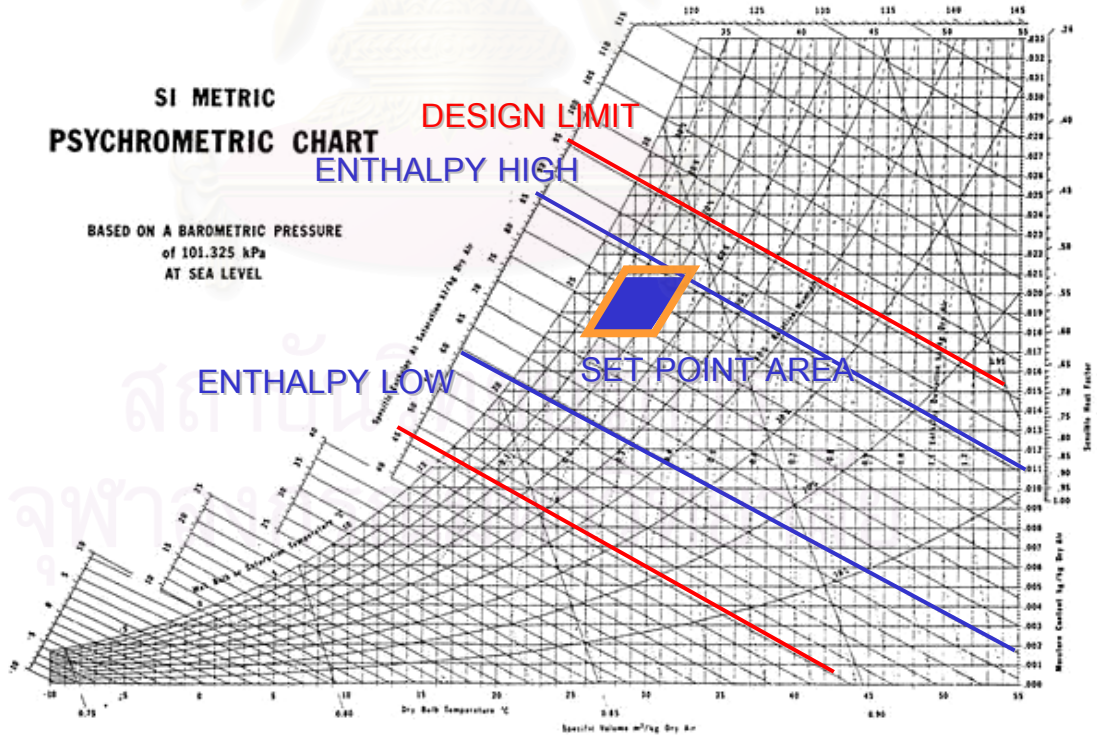
| การทดลอง | ค่าเป้าหมาย | |
|----------------------|------------------|------------------|
| | ผลจากการออกแบบ | ผลที่ได้จริง |
| 1. กำหนด 35°C, 60%Rh | SET POINT HIGH | SET POINT HIGH |
| 2. กำหนด 31°C, 60%Rh | SET POINT MEDIUM | SET POINT MEDIUM |
| 3. กำหนด 20°C, 60%Rh | SET POINT LOW | SET POINT LOW |
| 4. กำหนด 32°C, 75%Rh | SET POINT HIGH | SET POINT HIGH |
| 5. กำหนด 32°C, 60%Rh | SET POINT MEDIUM | SET POINT MEDIUM |
| 6. กำหนด 32°C, 30%Rh | SET POINT LOW | SET POINT LOW |

บทที่ 6

ประเมินผลการปรับปรุงกระบวนการปรับอากาศ

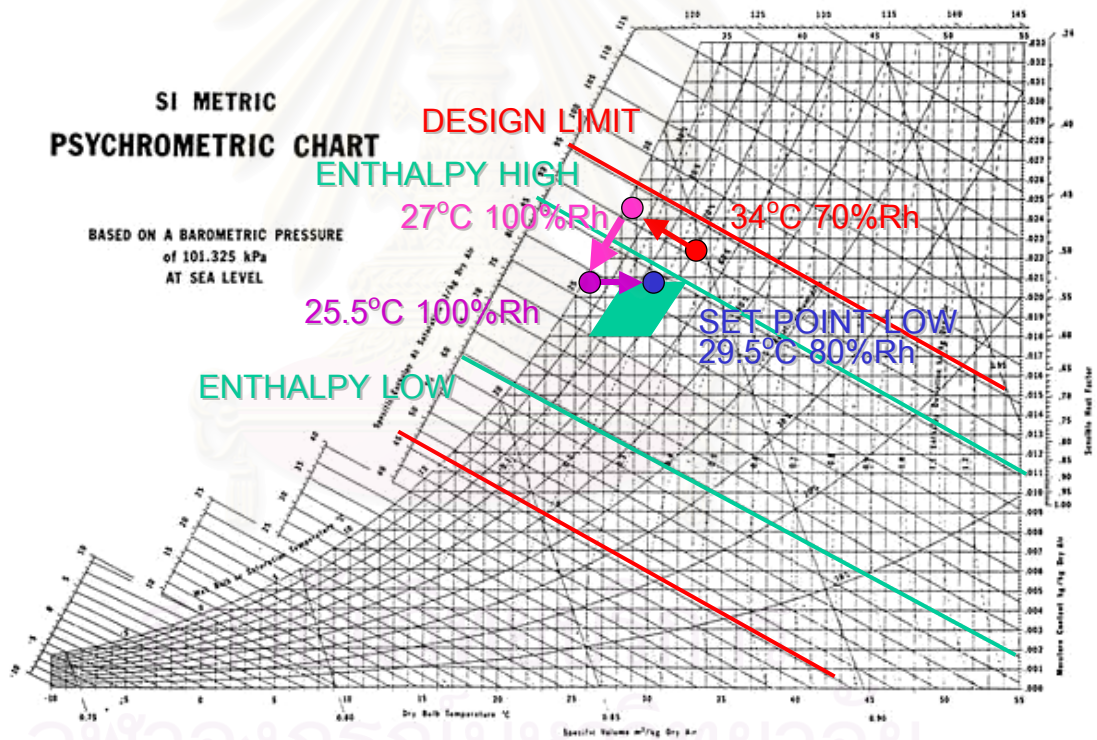
6.1 การทำงานของกระบวนการปรับอากาศหลังการปรับปรุง

การทำงานของกระบวนการปรับอากาศสำหรับห้องพ่นสีของโรงงานตัวอย่าง โดยการปรับปรุงระบบการควบคุมกระบวนการปรับอากาศจากการควบคุมแบบ PID ที่ไม่มีความยืดหยุ่นในการควบคุมค่าเป้าหมาย เป็นการควบคุมแบบ ฟีดแบ็คลอจิก ที่มีความยืดหยุ่นสามารถปรับค่าเป้าหมายได้ตามสภาวะแวดล้อมภายนอกที่มีผลกับกระบวนการ ทำให้มีค่าเป้าหมายสุดท้ายมีค่าเป็นช่วงทั้งค่าอุณหภูมิ และ ค่าความชื้นสัมพัทธ์ ซึ่งจะปรากฏเป็นพื้นที่บนแผนภูมิไซโคเมตริก ในรูปที่ 6.1 ค่าต่ำที่สุดในการใช้พลังงานเมื่อ ค่าเอนทัลปีของอากาศภายนอกอยู่ในช่วงค่าเป้าหมายแบบสูงคือ อุณหภูมิ 28.5 องศา ความชื้นสัมพัทธ์ 85 %Rh และ ค่าการใช้พลังงานต่ำสุดเมื่อ ค่าเอนทัลปีของอากาศภายนอกอยู่ในช่วงค่าเป้าหมายแบบกลางคือ อุณหภูมิ 27.5 องศาเซลเซียส ความชื้นสัมพัทธ์ 75 %Rh และ เมื่อค่าเอนทัลปีอยู่ในช่วงค่าเป้าหมายแบบต่ำค่าการใช้พลังงานต่ำสุดที่อุณหภูมิ 26.5 องศาเซลเซียส ความชื้นสัมพัทธ์ 65 %Rh ค่าเป้าหมายที่เป็นพื้นที่นี้เมื่อนำมาเปรียบเทียบกับค่าความต้องการของห้องพ่นสีที่เป็นค่ามาตรฐาน จะพบว่าพื้นที่ค่าเป้าหมายอยู่ในช่วงของค่ามาตรฐานที่ยอมรับได้



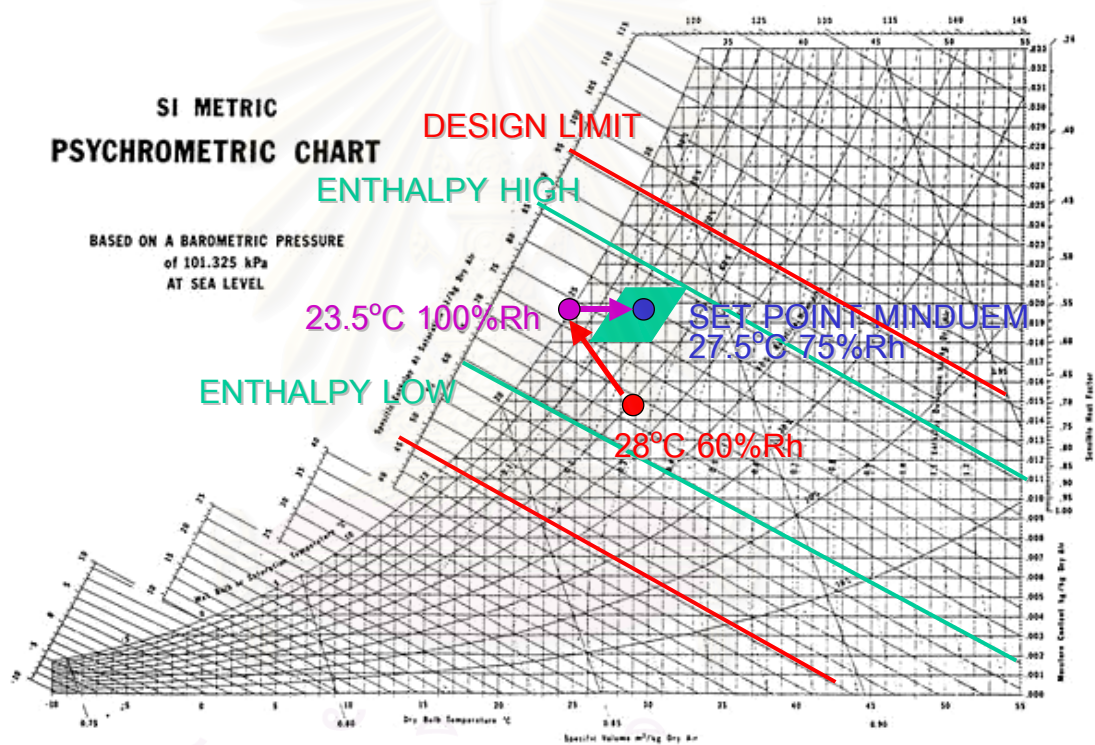
รูปที่ 6.1 ค่าเป้าหมายของกระบวนการปรับอากาศหลังการปรับปรุง

การทำงานของกระบวนการปรับอากาศสำหรับห้องพ่นสีของโรงงานตัวอย่าง หลังจากทำการปรับปรุงอธิบายได้จากแผนภูมิไซโครเมตริก ในรูปที่ 6.2 แสดงการทำงานของกระบวนการปรับอากาศเมื่อ เอนทาลปีของอากาศภายนอกอยู่ในช่วงค่าเป้าหมายแบบสูง อากาศภายนอกมีอุณหภูมิกระเปาะแห้ง DB อยู่ที่ 34 องศาเซลเซียส ความชื้นสัมพัทธ์ 70 %Rh เมื่อผ่านกระบวนการเอไดอาแบติกอิมิตัวแล้ว อากาศจะมีอุณหภูมิ 27 องศาเซลเซียส และความชื้นสัมพัทธ์ 100 %Rh ผ่านไปที่กระบวนการให้ความเย็นสัมผัสผัดที่มีค่าเป้าหมายแบบสูงอยู่ที่ 25.5 องศาเซลเซียส ต่อกจากนั้นก็ผ่านกระบวนการให้ความร้อนสัมผัส ทำให้อากาศมีอุณหภูมิสูงขึ้นและความชื้นสัมพัทธ์ลดลง ค่าเป้าหมายอยู่ที่ 29.5 องศาเซลเซียส ซึ่งจะทำให้มีค่าความชื้นสัมพัทธ์ 80 %Rh รูปที่ 6.3 แสดงการทำงานของกระบวนการปรับอากาศเมื่อ เอนทาลปีของอากาศภายนอกอยู่ในช่วงค่าเป้าหมายกลาง และ ในรูปที่ 6.4 แสดงการทำงานของกระบวนการปรับอากาศเมื่อ เอนทาลปีของอากาศภายนอกอยู่ในช่วงค่าเป้าหมายแบบต่ำ



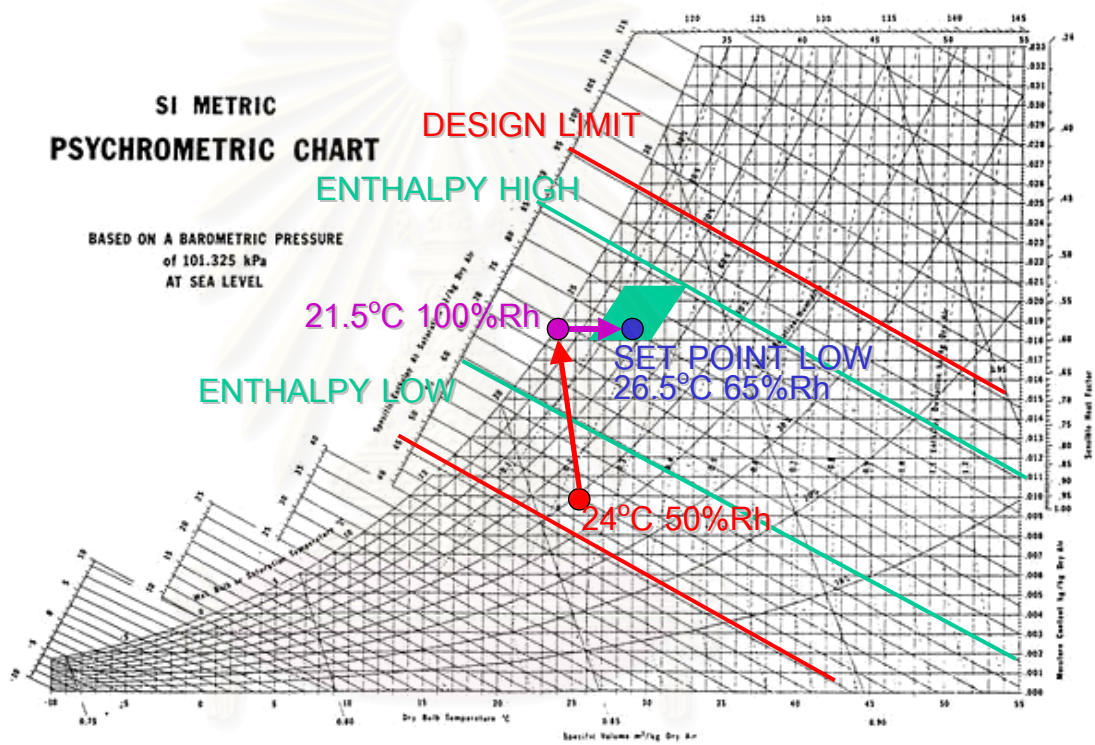
รูปที่ 6.2 แสดงการทำงานของกระบวนการปรับอากาศเมื่อ เอนทาลปีของอากาศภายนอกอยู่ในช่วงค่าเป้าหมายแบบสูง

ในรูปที่ 6.3 แสดงการทำงานของกระบวนการปรับอากาศเมื่อ เอนทัลปีของอากาศภายนอกอยู่ในช่วงค่าเป้าหมายกลาง อากาศภายนอกมีอุณหภูมิกระเปาะแห้ง DB อยู่ที่ 27.5 องศาเซลเซียส ความชื้นสัมพัทธ์ 75 %Rh เมื่อผ่านกระบวนการเอไดอาแบติกคอล์มตัวโดยมีการเพิ่มความชื้นด้วยสปริงเกอร์น้ำที่ทำการฉีดพ่น อากาศจะมีอุณหภูมิ 23.5 องศาเซลเซียส และ ความชื้นสัมพัทธ์ 100 %Rh ผ่านไปที่กระบวนการให้ความเย็นสัมผัสที่มีค่าเป้าหมายแบบกลางอยู่ที่ 23.5 องศาเซลเซียส ต่อจากนั้นก็ผ่านกระบวนการให้ความร้อนสัมผัส ทำให้อากาศมีอุณหภูมิสูงขึ้นและความชื้นสัมพัทธ์ลดลง ค่าเป้าหมายอยู่ที่ 27.5 องศาเซลเซียส ซึ่งจะทำให้มีค่าความชื้นสัมพัทธ์ 75 %Rh รูปที่



รูปที่ 6.3 แสดงการทำงานของกระบวนการปรับอากาศเมื่อ เอนทัลปีของอากาศภายนอกอยู่ในช่วงค่าเป้าหมายกลาง

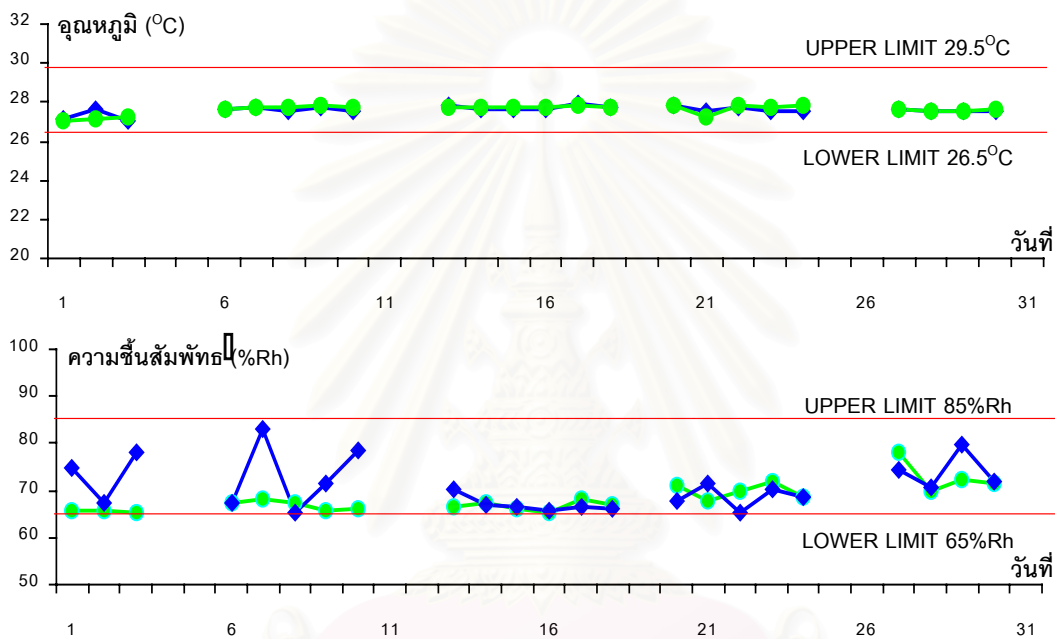
ในรูปที่ 6.4 แสดงการทำงานของกระบวนการปรับอากาศเมื่อ เอนทัลปีของอากาศภายนอกอยู่ในช่วงค่าเป้าหมายต่ำ อากาศภายนอกมีอุณหภูมิกระเปาะแห้ง DB อยู่ที่ 24 องศาเซลเซียส ความชื้นสัมพัทธ์ 50 %Rh เมื่อผ่านกระบวนการเอไดอาแบติกคิมตัวโดยมีการเพิ่มความร้อนด้วยการพ่นไอน้ำลงในน้ำที่ทำการฉีดพ่น อากาศจะมีอุณหภูมิ 21.5 องศาเซลเซียส และ ความชื้นสัมพัทธ์ 100 %Rh ผ่านไปที่กระบวนการให้ความเย็นสัมผัสที่มีค่าเป้าหมายแบบต่ำอยู่ที่ 21.5 องศาเซลเซียส ต่อจากนั้นก็ผ่านกระบวนการให้ความร้อนสัมผัส ทำให้อากาศมีอุณหภูมิสูงขึ้นและความชื้นสัมพัทธ์ลดลง ค่าเป้าหมายอยู่ที่ 26.5 องศาเซลเซียส ซึ่งจะทำให้มีค่าความชื้นสัมพัทธ์ 65 %Rh รูปที่



รูปที่ 6.4 แสดงการทำงานของกระบวนการปรับอากาศเมื่อ เอนทัลปีของอากาศภายนอกอยู่ในช่วงค่าเป้าหมายต่ำ

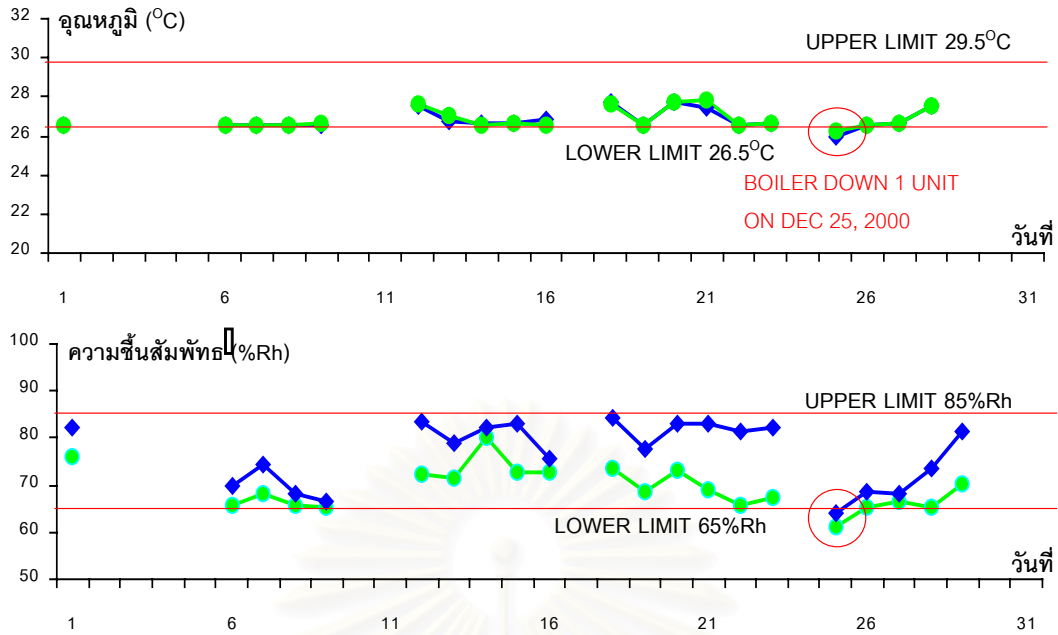
จุฬาลงกรณ์มหาวิทยาลัย

หลังจากนั้นได้ทำการบันทึกการทำงานของกระบวนการปรับอากาศโดยจะใช้วิธีเฉลี่ยค่าในช่วงเวลา 8.00 น. 10.00 น. เพราะว่าเป็นช่วงเริ่มต้นของการทำงานในแต่ละวัน ซึ่งปัญหาการหยุดผลิตเนื่องจากกระบวนการปรับอากาศที่เกิดขึ้นจะเกิดในช่วงเวลานี้ การจดบันทึกนี้ได้ทำในเดือน พฤศจิกายน พ.ศ. 2543 ก่อนทำการปรับปรุงแสดงในรูปที่ 6.5 และเมื่อหลังจากทำการปรับปรุงกระบวนการปรับอากาศในช่วงต้นเดือน ธันวาคม พ.ศ. 2543 และได้ทำการจดบันทึกต่อเนื่องมาถึงเดือน มกราคม พ.ศ. 2544 แสดงในรูปที่ 6.6 และ 6.7 ตามลำดับ



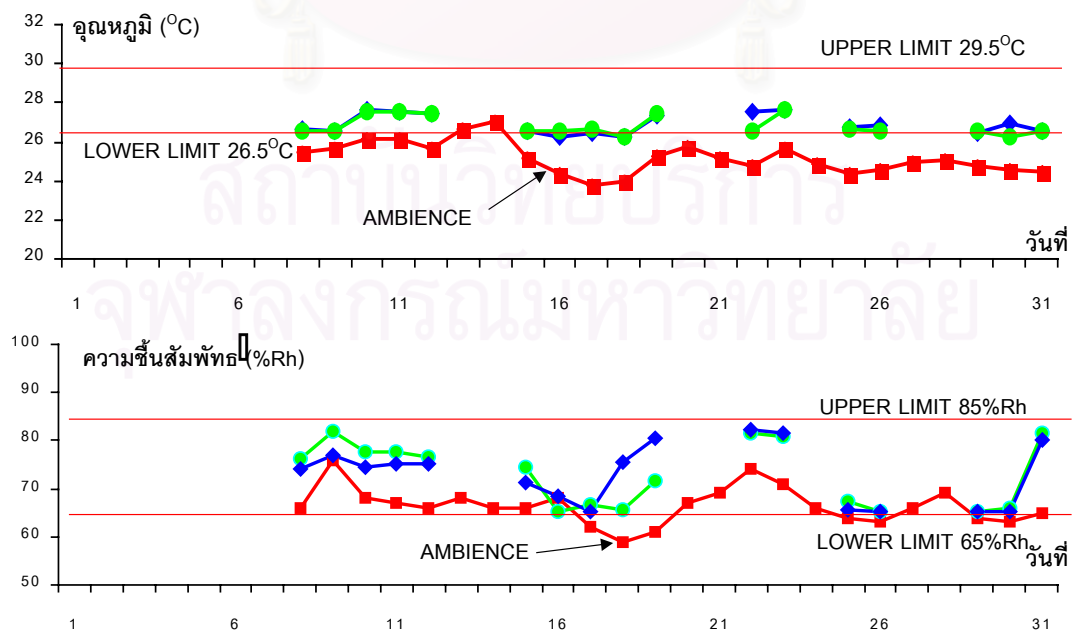
รูปที่ 6.5 ผลการทำงานของกระบวนการปรับอากาศก่อนทำการปรับปรุงเดือน พฤศจิกายน พ.ศ. 2543

จากรูปที่ 6.5 จะเห็นได้ว่ากระบวนการสามารถที่จะควบคุมอุณหภูมิได้ใกล้ค่าเป้าหมาย แต่กระบวนการไม่สามารถควบคุมค่าความชื้นสัมพัทธ์ได้ในหน่วยปรับอากาศที่ 1 เพราะค่าที่ได้อยู่ใกล้กับขีดจำกัดล่างสุดที่ยอมรับได้ในช่วงกลางเดือน หน่วยปรับอากาศทั้งสองหน่วยไม่สามารถควบคุมค่าความชื้นสัมพัทธ์ได้ แต่ในช่วงปลายเดือน สามารถควบคุมค่าความชื้นสัมพัทธ์ให้อยู่ใกล้ค่าเป้าหมายได้



รูปที่ 6.6 ผลการทำงานของกระบวนการปรับอากาศหลังทำการปรับปรุงเดือน ธันวาคม พ.ศ. 2543

จากรูปที่ 6.6 หลังจากทำการปรับปรุงกระบวนการปรับอากาศในช่วงวันหยุดในวันที่ 2 – 5 ธันวาคม พ.ศ. 2543 แล้วพบว่าในช่วงแรกกระบวนการปรับอากาศสามารถทำงานได้ตามที่ออกแบบไว้แต่ในช่วงกลางเดือน การควบคุมค่าความชื้นทำได้ไม่ดีเท่ากับในช่วงแรกจากการตรวจสอบพบว่าเกิดจากมีการเปิดใช้งานตัวควบคุม PID ของกระบวนการที่ 5 กระบวนการเอโดอานาเบตติคด้วยไอน้ำ ทำให้ค่าความชื้นสูงขึ้น



รูปที่ 6.7 ผลการทำงานของกระบวนการปรับอากาศหลังทำการปรับปรุงเดือน มกราคม พ.ศ. 2544

รูปที่ 6.7 ผลการทำงานของกระบวนการปรับอากาศสามารถควบคุมค่าอุณหภูมิได้ตามที่ได้ออกแบบไว้ แต่ในส่วนของ การควบคุมค่าความชื้นสัมพัทธ์ก็สามารถควบคุมได้พอสมควร แต่ค่าก็อยู่ในช่วงที่ยอมรับได้ เมื่อเปรียบเทียบกับค่าอุณหภูมิและความชื้นสัมพัทธ์ของอากาศภายนอกแล้วจะเห็นได้ว่ามีความสัมพันธ์กัน โดยมีค่าเอนทาลปีเป็นตัวบ่งชี้ คือเมื่ออุณหภูมิและความชื้นสัมพัทธ์ของอากาศภายนอกต่ำก็ทำให้ค่าเอนทาลปีต่ำ ระบบควบคุมกระบวนการปรับอากาศก็จะปรับลดค่าเป้าหมายของห้องพ่นสีลงมาอยู่ใกล้กับขีดจำกัดล่าง (LOWER LIMIT) และเมื่อเอนทาลปีของอากาศภายนอกสูงขึ้นระบบควบคุมก็จะทำการปรับค่าเป้าหมายให้สูงขึ้นอยู่ในช่วงกึ่งกลางของค่าควบคุม

จากรูปที่ 6.6 และ 6.7 เป็นผลการทำงานของกระบวนการปรับอากาศหลังจากทำการปรับปรุงระบบควบคุมแล้ว แต่ จะสังเกตเห็นได้ว่าค่าของอุณหภูมิของอากาศภายในห้องพ่นสีส่วนมากจะอยู่ใกล้ขีดจำกัดล่าง เป็นเพราะว่าการตั้งค่าเป้าหมายอุณหภูมิจุดน้ำค้างของการควบคุมในกระบวนการปรับอากาศ กระบวนการที่ 2 (กระบวนการเอไดอาแบติกคอล์มตัว) ตั้งค่าไว้ต่ำที่ 21.5 องศาเซลเซียส เพื่อลดการใช้พลังงานให้น้อยที่สุด จึงทำให้การตั้งค่าเป้าหมายของกระบวนการให้ความร้อนสัมผัสต้องตั้งค่าเป้าหมายให้ต่ำลงมาด้วยโดยตั้งค่าอยู่ที่ 26.5 องศาเซลเซียส ซึ่งเป็นค่าเดียวกับขีดจำกัดล่าง แต่ในความเป็นจริงตามข้อกำหนดมาตรฐานยอมให้อุณหภูมิในห้องพ่นสีต่ำสุดได้ถึง 26 องศาเซลเซียส

จากผลการทำงานของกระบวนการปรับอากาศภายหลังการปรับปรุงซึ่งได้ทำการบันทึกผลค่าเฉลี่ยลงทั้งอุณหภูมิ และ ความชื้นสัมพัทธ์ ภายในห้องพ่นสี ตั้งแต่เดือนธันวาคม พ.ศ. 2543 ถึง สิ้นเดือนมกราคม พ.ศ. 2544 พบว่ามีค่าอยู่ในช่วงที่ยอมรับได้ทุกวัน ยกเว้นในวันที่ 25 ธันวาคม พ.ศ. 2543 เกิดปัญหาที่ทำให้กระบวนการผลิตหยุดเป็นเวลาประมาณ 12 นาที เพราะว่ากระบวนการปรับอากาศไม่สามารถปรับอากาศให้เข้าสู่ค่าเป้าหมายได้ แต่ จากการตรวจสอบพบว่าสาเหตุของปัญหาเกิดจาก หม้อต้มไอน้ำเกิดการหยุดแบบกะทันหัน 1 เครื่องเพราะหัวฉีดน้ำมันสึกหรอ ทำให้มีไอน้ำไม่เพียงพอต่อการทำงานของกระบวนการปรับอากาศ

บทที่ 7

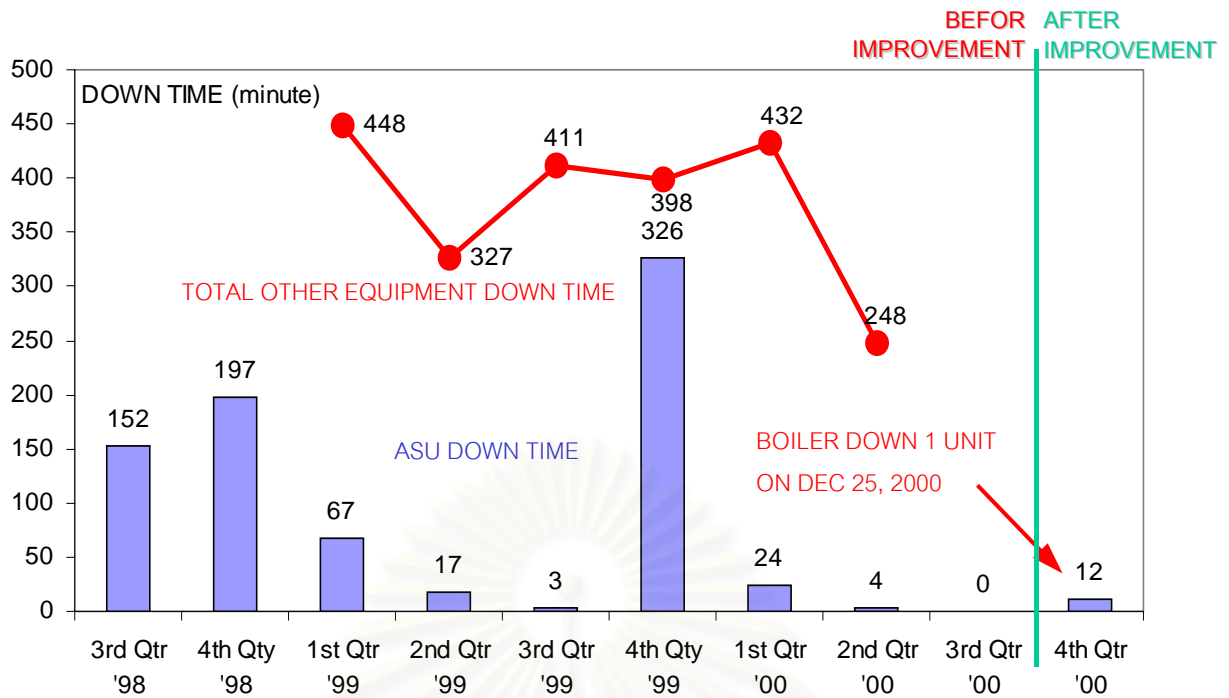
สรุปผลการศึกษา

7.1 สรุปผลการปรับปรุงกระบวนการปรับอากาศ

โรงงานประกอบรถยนต์ตัวอย่างได้ประสบปัญหาการหยุดผลิตเนื่องจากกระบวนการปรับอากาศสำหรับห้องพ่นสีไม่สามารถทำการปรับอากาศให้อยู่ในช่วงที่ยอมรับได้คือ อุณหภูมิ 26 – 29 องศาเซลเซียส และความชื้นสัมพัทธ์ 60%Rh – 90%Rh ในช่วงหน้าหนาวคือในเดือนพฤศจิกายน ถึง เดือนมกราคม ของปีถัดไป สาเหตุเพราะอากาศมีความแปรปรวนจนอยู่นอกค่ากำหนดออกแบบ ทำให้กระบวนการปรับอากาศต้องการพลังงานเพิ่มมากขึ้นในการปรับอากาศ การติดตั้งแหล่งพลังงานเพิ่มสามารถทำได้ด้วยการติดตั้งหม้อต้มไอน้ำเพิ่ม แต่ ต้องใช้ค่าใช้จ่างสูงนอกจากนี้ยังจะต้องเสียค่าใช้จ่ายในการเดินเครื่องสูงอีกด้วย การปรับปรุงจึงมุ่งเน้นมาที่ระบบควบคุมที่มีค่าใช้จ่ายในการปรับปรุง และ เดินเครื่องต่ำกว่ามาก โดยทำการปรับปรุงจากการควบคุมแบบ PROPORTIONAL INTEGRAL DERIVATIVE (PID) ที่มีข้อดีคือกระบวนการที่ถูกควบคุมจะมีความเสถียรสูง แต่ มีข้อเสียคือไม่มีความยืดหยุ่นในการปรับการควบคุมตามสภาพแวดล้อมที่เปลี่ยนแปลงไป ทำให้ไม่สามารถควบคุมกระบวนการได้ หากสภาพแวดล้อมอยู่ใกล้ค่ากำหนดออกแบบ มาเป็นการควบคุมแบบ FUZZY LOGIC ซึ่งสามารถปรับการควบคุมค่าเป้าหมายให้แปรเปลี่ยนไปตามสภาวะแวดล้อมส่งผลให้กระบวนการมีความยืดหยุ่นมากขึ้นในขณะที่สามารถควบคุมกระบวนการให้ค่าเป้าหมายอยู่ในช่วงที่ยอมรับได้ดังที่ได้กล่าวมาแล้ว

ผลของการปรับปรุงระบบควบคุมกระบวนการปรับอากาศที่ได้แสดงมาแล้วในบทที่ 6 แสดงให้เห็นได้ว่ากระบวนการสามารถที่จะทำการปรับสภาพอากาศให้อยู่ในช่วงที่ยอมรับได้ตลอดช่วงเวลาฤดูหนาวภายหลังจากการปรับปรุงระบบควบคุมกระบวนการปรับอากาศแล้ว คือในเดือนธันวาคม 2543 ถึง เดือนมกราคม 2544 ไม่เกิดการหยุดผลิตอันเนื่องมาจากสภาพอากาศภายในห้องพ่นสีอยู่นอกค่าที่ยอมรับได้เลย เมื่อเปรียบเทียบกับก่อนการปรับปรุงจะเกิดการหยุดผลิตจากสาเหตุเดียวกันในช่วงหน้าหนาวนี้ถึง 290 นาที นั่นคือการปรับปรุงระบบควบคุมมีผลต่อกระบวนการปรับอากาศ ซึ่งสามารถแสดงได้ดังรูปที่ 7.1 และสามารถเปรียบเทียบได้ระบบควบคุมก่อนและหลังการปรับปรุงได้ดังในตารางที่ 7.1 ดังนี้

จุฬาลงกรณ์มหาวิทยาลัย



รูปที่ 7.1 แผนภูมิแสดงการหยุดผลิตรองานตัวอย่าง

ตารางที่ 7.1 เปรียบเทียบระบบควบคุมกระบวนการปรับอากาศแบบเดิมกับแบบใหม่

| หัวข้อเปรียบเทียบ | แบบเก่า | แบบใหม่ |
|---|--------------------------------------|---|
| ระบบควบคุม | Proportional Integral Derivate (PID) | Fuzzy Logic |
| ค่าเป้าหมายอุณหภูมิจุดน้ำค้าง | 23.5 องศาเซลเซียส | 21.5 องศาเซลเซียส(ค่าเป้าหมายแบบต่ำ) 23.5 องศาเซลเซียส(ค่าเป้าหมายแบบกลาง) 25.5 องศาเซลเซียส(ค่าเป้าหมายแบบสูง) |
| ค่าเป้าหมายอุณหภูมิสุดท้าย | 27.5 องศาเซลเซียส | 26.5 องศาเซลเซียส(ค่าเป้าหมายแบบต่ำ) 27.5 องศาเซลเซียส(ค่าเป้าหมายแบบกลาง) 28.5 องศาเซลเซียส(ค่าเป้าหมายแบบสูง) |
| ความชื้นสัมพัทธ์จากระบบการ | 75%Rh | 65%Rh(ค่าเป้าหมายแบบต่ำ) 75%Rh(ค่าเป้าหมายแบบกลาง) 85%Rh(ค่าเป้าหมายแบบสูง) |
| ค่าเอนทาลปีสูงสุดที่กระบวนการสามารถปรับค่าได้ | 91 kJ / kg | 93 kJ / kg |
| ค่าเอนทาลปีต่ำสุดที่กระบวนการสามารถปรับค่าได้ | 46 kJ / kg | 43 kJ / kg |
| ปัญหาการหยุดผลิตรองานต่อปี | 290 นาที ต่อ ปี (2542 - 2543) | 0 นาที ต่อ ปี (2543 - 2544) |
| มูลค่าความสูญเสียต่อปี | 5.22 ล้านบาท ต่อ ปี (2542 - 2543) | 0 บาท ต่อ ปี (2543 - 2544) |

7.2 ปัญหาในการปรับปรุงกระบวนการปรับอากาศ

ปัญหาที่สำคัญคือ ข้อจำกัดทางด้านงบประมาณในการจัดหาวัสดุอุปกรณ์ และ ข้อจำกัดทางด้านเวลา ในการปรับปรุงกระบวนการปรับอากาศ ในส่วนของข้อจำกัดทางด้านงบประมาณ เกิดขึ้นเนื่องจากโรงงานตัวอย่างมีนโยบายที่ต้องการใช้งบประมาณในการบำรุงรักษาและการปรับปรุงอุปกรณ์ต่างๆให้น้อยที่สุด ดังนั้นการจัดหาอุปกรณ์ที่จะนำมาใช้ในการปรับปรุงกระบวนการปรับอากาศจึงต้องจัดหาแต่อุปกรณ์ที่จำเป็นเท่านั้น อุปกรณ์บางอย่างจะต้องใช้อุปกรณ์เก่าที่มีอยู่แล้ว คือ ใช้ตัวควบคุม PID ที่มีอยู่แล้วซึ่งเป็นรุ่นที่การเปลี่ยนค่าเป้าหมายทำได้แบบ ดิจิตอล 8 ค่า ผลก็คือทำให้ ทำให้การปรับปรุงกระบวนการปรับอากาศนี้เป็นแบบ กึ่งพีชชีลอจิก คือการปรับเปลี่ยนค่าเป้าหมายเป็นแบบขั้นบันได ไม่เป็นแบบสมการเส้นตรง ซึ่งน่าจะให้ผลการทำงานที่ดีกว่า

การที่จำเป็นต้องใช้อุปกรณ์ตรวจวัดสภาพอากาศภายนอกเพื่อนำมาคำนวณหาค่าเอนทาลปี ที่ต้องใช้ อุปกรณ์ตรวจวัดอุณหภูมิแบบจุดน้ำค้าง (DEW POINT SENSOR) แทนการใช้อุปกรณ์ตรวจวัดอากาศ กระเปาะแห้ง ก็เพราะว่า การใช้ PLC ที่มีใช้อยู่แล้วในการควบคุมเงื่อนไขการทำงานของระบบควบคุมการทำงานของห้องพ่นสีมาเป็นตัวคำนวณในกระบวนการพีชชีลอจิก จำเป็นต้องจัดหาโมดูลทางด้าน ANNALOG INPUT มาติดตั้งเพิ่มเติม ซึ่งอุปกรณ์ตรวจวัดอุณหภูมิอากาศกระเปาะแห้งจะเป็นแบบค่าความต้านทานแบบ RTD ซึ่งไม่สามารถที่จะส่งสัญญาณ ANNALOG มาตราฐานออกมาให้กับ ANNALOG INPUT MODUL ของ PLC ได้ ดังนั้นหากต้องการที่จะใช้อุปกรณ์วัดอุณหภูมิแบบ RTD ก็จำเป็นที่จะต้องจัดหาโมดูลของ PLC สำหรับรับค่าอุณหภูมิของอุปกรณ์ตรวจวัดแบบ RTD ซึ่งจะทำให้งบประมาณสูงขึ้น นอกจากนี้ การใช้ PLC เป็นตัวคำนวณในกระบวนการพีชชีลอจิก จำเป็นต้องใช้สมการ เอ็กโปเนนเชียล ในการคำนวณเพื่อประมาณค่าความดันไอน้ำทำให้เกิดข้อจำกัดของการคำนวณ คือสามารถใช้ในการประมาณค่าได้ในช่วง 0 – 48 องศาเซลเซียส เท่านั้น

ในส่วนของข้อจำกัดทางด้านเวลา เนื่องจากกระบวนการปรับอากาศสำหรับห้องพ่นสีของโรงงานตัวอย่างนี้ ถูกใช้งานในกระบวนการผลิตจริง ดังนั้นการหยุดเครื่องเพื่อทำการปรับปรุงในการติดตั้งอุปกรณ์ต่างๆเพิ่มเติมจำเป็นจะต้องทำนอกเวลาทำงานเท่านั้นและจะต้องไม่มีผลต่อการทำงานของกระบวนการเมื่อเริ่มการทำงานอีกครั้ง ดังนั้นการปรับปรุงจึงจะต้องมีการเตรียมงานอย่างดี และ เลือกที่จะทำการปรับปรุงในวันหยุดของโรงงานตัวอย่าง เพื่อที่จะได้มีเวลามากพอในการปรับปรุงและการทดลองกระบวนการที่ทำการปรับปรุงไปแล้ว และถ้าการปรับปรุงนั้นไม่สัมฤทธิ์ผล ก็จะต้องมีเวลามากพอที่จะปรับกลับมาที่เดิมก่อนทำการปรับปรุง เพื่อให้กระบวนการผลิตสามารถดำเนินต่อไปได้

7.3 ข้อเสนอแนะการปรับปรุงกระบวนการปรับอากาศ

ปัญหาที่เกิดขึ้นนี้ในทางปฏิบัติจริงอุณหภูมิภายในห้องพ่นสีมีผลกระทบต่อคุณภาพของงานพ่นสีมากกว่าความชื้นสัมพัทธ์ เพราะจากประสบการณ์ที่ผ่านมาเมื่อเกิดปัญหากระบวนการปรับอากาศไม่สามารถที่จะปรับอากาศได้ตามมาตรฐาน โดยเมื่อทั้งอุณหภูมิและความชื้นสัมพัทธ์ต่ำกว่าค่ากำหนด ซึ่งโดยปกติจะเกิดขึ้นพร้อมกันทั้งอุณหภูมิและความชื้นเมื่อนำรถเข้าพ่นในสภาวะดังกล่าวจะทำให้เกิดผิวสีหยาบซึ่งเป็นผลของอุณหภูมิต่ำกว่าค่ากำหนด และเมื่อค่าอุณหภูมิสูงกว่าค่ากำหนดซึ่งโดยปกติค่าความชื้นสัมพัทธ์จะไม่สูงตามไปด้วยคืออยู่ในช่วงที่ยอมรับได้ถ้านำรถเข้าพ่นสีปัญหาที่เกิดขึ้นคือปัญหาสีไหลซึ่งเป็นผลมาจากอุณหภูมิสูง แต่ในกรณีที่ทั้งอุณหภูมิและความชื้นสัมพัทธ์สูงกว่าค่ากำหนดปัญหาที่เกิดขึ้นจะเกิดทั้งสีไหลและสีเป็นฝ้า

ส่วนปัญหาในการควบคุมกระบวนการปรับอากาศสำหรับห้องพ่นสีโดยมากที่เกิดการหยุดผลผลิตจะเกิดจากการที่ไม่สามารถที่จะทำการปรับความชื้นสัมพัทธ์ภายในห้องพ่นสีให้อยู่ในค่าที่กำหนดได้ แต่ กระบวนการที่สามารถที่ปรับอุณหภูมิให้อยู่ในช่วงที่กำหนดได้เป็นเพราะค่าความชื้นสัมพัทธ์ที่ได้จากกระบวนการปรับอากาศนี้ไม่ได้เป็นการปรับค่าความชื้นสัมพัทธ์โดยตรง แต่เป็นผลมาจากการปรับค่าอุณหภูมิจุดน้ำค้างและอุณหภูมิกระเปาะแห้ง ดังนั้นการควบคุมค่าความชื้นสัมพัทธ์ก็คือการควบคุมค่าอุณหภูมิจุดน้ำค้างและค่าอุณหภูมิกระเปาะแห้งให้มีความสัมพันธ์กันตามกระบวนการไซโครเมตริกนั่นเอง

ปัญหาในการปรับปรุงกระบวนการปรับอากาศสำหรับห้องพ่นสีของโรงงานตัวอย่างคือการปรับปรุงที่มีข้อจำกัดทางด้านงบประมาณทำให้การปรับปรุงเป็นแบบกึ่งพีซีลอจิก การที่จะทำให้กระบวนการควบคุมเป็นแบบ พีซีลอจิก เต็มรูปแบบจะต้องใช้ตัวควบคุม PID ที่สามารถปรับเปลี่ยนค่าเป้าหมายได้แบบต่อเนื่อง และการเปลี่ยนค่าจะต้องใช้สัญญาณไฟฟ้าแบบอนาล็อกด้วยซึ่งจะต้องใช้ PLC ANALOG OUTPUT MODUL เป็นตัวส่งสัญญาณควบคุมค่าเป้าหมาย สมการที่ใช้ในการคำนวณเปรียบเทียบก็จะต้องใช้สมการเชิงเส้นเพื่อให้เกิดความต่อเนื่องของสัญญาณควบคุม แต่ทั้งหมดนี้ก็ต้องใช้งบประมาณและความชำนาญที่มากขึ้นด้วยโดยเฉพาะการเขียนโปรแกรม PLC

การปรับปรุงการควบคุมกระบวนการปรับอากาศนี้ยังสามารถที่จะพัฒนาการควบคุมแบบพีซีลอจิกให้ครอบคลุมการทำงานการควบคุมกระบวนการปรับอากาศให้สามารถที่จะใช้พลังงานให้น้อยที่สุดตลอดการทำงานทั้งปีทั้งสามฤดูเป็นการประหยัดพลังงานทางหนึ่ง แต่ก็ต้องทำการศึกษาเงื่อนไขการทำงานในแต่ละสภาพอากาศที่แตกต่างกันในแต่ละช่วงเวลาเพื่อที่จะได้ทำการปรับการควบคุมให้เหมาะสม โดยจะต้องอาศัยการเก็บข้อมูลตลอดทั้งปีมาเป็นข้ออ้างอิงในการปรับปรุงซึ่งต้องใช้เวลาและเงินทุนเพิ่มขึ้นด้วย

นอกจากนี้ยังสามารถพัฒนาการปรับปรุงระบบควบคุมกระบวนการอื่น ๆ ที่มีการควบคุมที่มีลักษณะงานที่คล้ายคลึงกันเป็นการควบคุมแบบพีซีลอจิกเพื่อทำให้กระบวนการมีความยืดหยุ่น สามารถที่จะปรับการควบคุมตามสภาวะการณที่มีความแปรปรวนแต่จะต้องไม่ให้ค่าควบคุมออกนอกค่ากำหนดตามที่ได้ออกแบบไว้ในการควบคุมกระบวนการนั้นๆด้วย

รายการอ้างอิง

ภาษาไทย

บริษัท เอ็มแอนดีซี จำกัด. คู่มือวิศวกรเครื่องกล. กรุงเทพฯ : 2531

สหัส พรหมลสิทธิ์. ลดความแปรปรวนใน PID Loop ด้วยพีซีลอจิก, INSTRUMENTATION WORLD, 2540 : 52.

สุดาธิป พลพงษ์. ข้อควรรู้เกี่ยวกับกระบวนการควบคุมแบบ PID, INSTRUMENTATION, กันยายน 2540 : 45

สุรพล พฤษพานิช. การปรับอากาศ หลักการและระบบ. ภาควิชาวิศวกรรมเครื่องกล คณะวิศวกรรมศาสตร์ มหาวิทยาลัยเกษตรศาสตร์, 2529

อัครเดช สีนุรักษ์. การทำความเย็น. ภาควิชาวิศวกรรมเครื่องกล คณะวิศวกรรมศาสตร์ สถาบันเทคโนโลยีพระจอมเกล้าเจ้าคุณทหารลาดกระบัง, 2537

ภาษาอังกฤษ

ExperTune. Available from : www.expertune.com/articles.html

Mitsubishi Electric Corporation. PROGRAMMABLE CONTROLLER MELSEC-A PROGRAMMING MANUAL TYPE A CPU. Nagoya Japan, 1999

Mitsubishi Electric Corporation. PROGRAMMABLE CONTROLLER MELSEC-A PROGRAMMING MANUAL TYPE A2A(S1) / A3A CPU (Dedicated Instructions). Nagoya Japan, 1998

Mitsubishi Electric Corporation. USER'S MANUAL A/D CONVERTER MODULE TYPE A68 AD. Nagoya Japan, 1999

Roy J. Dossat. Principles of Refrigeration. University of Houston, 1991


Thai Kenzaisha Co.,Ltd. Toyota Motor Thailand Co., Ltd. Operation & Maintenance Manual No.4 Spray Booth & ASH System. Bangkok, 1992

Yamatake-Honeywell Co.,Ltd. Product Manual DigitroniK SDC200 Digital Indicating Controller. Japan, 1990



ภาคผนวก

สถาบันวิทยบริการ
จุฬาลงกรณ์มหาวิทยาลัย



ภาคผนวก ก.
ประวัติการเสียของระบบปรับอากาศ

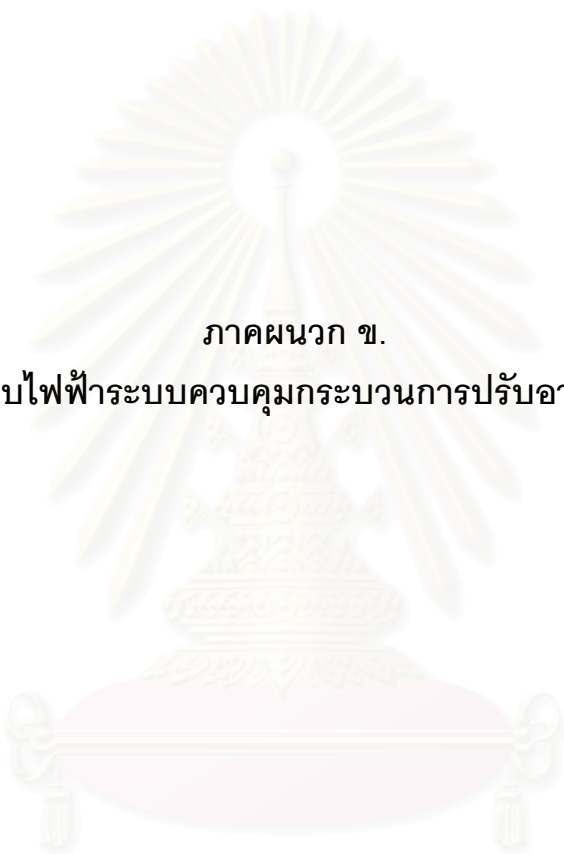
สถาบันวิทยบริการ
จุฬาลงกรณ์มหาวิทยาลัย

ประวัติการเสียของระบบปรับอากาศของโรงงานตัวอย่าง

| MCCODE | MCNAME | DATE | F.TIME | R.TIME | EST | LST | PROBLEM |
|-----------|-------------|----------|--------|--------|------|------|--|
| T-ASU-005 | ASU BOOTH#4 | 1/27/97 | 0800 | 0823 | 23 | 22.2 | AIR BALANCE ไม่ได้ลมเข้า BOOTH |
| T-ASU-005 | ASU BOOTH#4 | 2/10/97 | 0800 | 0815 | 15 | 15 | ASU. B#4 UNIT 1 VALVE DRAIN น้ำไม่เปิด |
| T-ASU-005 | ASU BOOTH#4 | 3/14/97 | 0400 | 0408 | 8 | 0 | หมอกกลิ้งในห้อง SETTING B#4 |
| T-ASU-005 | ASU BOOTH#4 | 3/27/97 | 2250 | 2400 | 0 | 70 | อุณหภูมิของ HEAT COIL UNIT#1,2 ต่ำมาก |
| T-ASU-005 | ASU BOOTH#4 | 4/16/97 | 0838 | 0856 | 18 | 18 | ระบบ BOOTH#3 มีปัญหา |
| T-ASU-007 | ASU BOOTH#4 | 5/22/97 | 0800 | 0806 | 6 | 6 | B#4 TEMP. ต่ำทาง P/D จึงหยุด LINE |
| T-ASU-007 | ASU BOOTH#4 | 6/5/97 | 0310 | 0313 | 3 | 0 | อุณหภูมิ BOOTH ไม่ได้ |
| T-ASU-007 | ASU BOOTH#4 | 7/9/97 | 1555 | 1615 | 20 | 20 | ระบบ BOOTH ไม่ทำงาน |
| T-ASU-007 | ASU BOOTH#4 | 11/3/97 | 0800 | 0816 | 16 | 0 | อุณหภูมิ BOOTH#4 HUM. ไม่ได้ |
| T-ASU-007 | ASU BOOTH#4 | 1/16/98 | 1315 | 1335 | 20 | 20 | อุณหภูมิตกอยู่ที่ 24 °C |
| T-ASU-007 | ASU BOOTH#4 | 1/30/98 | 0800 | 0805 | 5 | 0 | ASU. อุณหภูมิขึ้นช้า |
| T-ASU-007 | ASU BOOTH#4 | 2/19/98 | 0830 | 0840 | 10 | 0 | อุณหภูมิไม่ได้ที่ ASU. UNIT-A |
| T-ASU-007 | ASU BOOTH#4 | 4/9/98 | 1110 | 1130 | 0 | 0 | อุณหภูมิ BOOTH#4 ASU. ทั้ง 2 UNIT ไม่ได้ |
| T-ASU-007 | ASU BOOTH#4 | 4/22/98 | 1325 | 1330 | 5 | 5 | อุณหภูมิ B#4 UNIT-A สูงมาก |
| T-ASU-008 | ASU BOOTH#4 | 5/7/98 | 0810 | 0820 | 10 | 0 | อุณหภูมิ B#4 UNIT-2 ต่ำ |
| T-ASU-008 | ASU BOOTH#4 | 5/8/98 | 0820 | 0830 | 10 | 0 | อุณหภูมิ B#4 UNIT-B ต่ำ |
| T-ASU-005 | ASU BOOTH#4 | 5/12/98 | 1050 | 1120 | 0 | 0 | อุณหภูมิ B#3 สูงเกิน STD |
| T-ASU-007 | ASU BOOTH#4 | 5/12/98 | 1050 | 1120 | 0 | 20 | อุณหภูมิ B#4 สูงเกิน STD. |
| T-ASU-007 | ASU BOOTH#4 | 5/14/98 | 0945 | 0953 | 8 | 8 | CONTROL ASU และระบบ BOOTH หยุดทำงาน |
| T-ASU-007 | ASU BOOTH#4 | 6/25/98 | 0840 | 0850 | 10 | 0 | อุณหภูมิ B#4 ไม่ได้ |
| T-ASU-007 | ASU BOOTH#4 | 8/18/98 | 0930 | 1030 | 60 | 55 | อุณหภูมิใน BOOTH ต่ำ HUM. ก็ต่ำ |
| T-ASU-008 | ASU BOOTH#4 | 8/18/98 | 1300 | 1432 | 92 | 92 | อุณหภูมิใน BOOTH สูงเกินมาตรฐาน |
| T-ASU-007 | ASU BOOTH#4 | 11/12/98 | 0810 | 0916 | 66 | 66 | ASU ทำความชื้นไม่ได้ |
| T-ASU-007 | ASU BOOTH#4 | 11/13/98 | 0827 | 0942 | 75.6 | 75.6 | ASU ทำ HUM+TEMP. ต่ำกว่า STD. |
| T-ASU-007 | ASU BOOTH#4 | 11/13/98 | 1300 | 1327 | 27 | 27 | HUM.+TEMP. ต่ำและเกิด SWING ไปมา |
| T-ASU-006 | ASU BOOTH#4 | 11/19/98 | 0800 | 0811 | 10.8 | 10.8 | HUM.B#3 สูงเกิน SET POINT |
| T-ASU-006 | ASU BOOTH#4 | 11/19/98 | 0915 | 0934 | 18.9 | 18.9 | HUM. B#3 สูงเกิน SET POINT |
| T-ASU-005 | ASU BOOTH#4 | 12/1/98 | 0935 | 1030 | 5 | 65 | P/D แจ้งความชื้นใน B#3 |
| T-ASU-007 | ASU BOOTH#4 | 12/9/98 | 0800 | 0929 | 79 | 79 | อุณหภูมิต่ำกว่า STD |
| T-ASU-005 | ASU BOOTH#4 | 12/9/98 | 1100 | 1135 | 35 | 35 | อุณหภูมิความชื้นไม่ได้ STD. |
| T-ASU-007 | ASU BOOTH#4 | 12/11/98 | 0800 | 0910 | 70.6 | 70.6 | B#4 ความชื้นต่ำกว่า STANDARD |
| T-ASU-005 | ASU BOOTH#4 | 12/12/98 | 0800 | 0900 | 0 | 59.4 | TEMP.& HUM. B#3 ต่ำกว่ามาตรฐาน |
| T-ASU-007 | ASU BOOTH#4 | 12/12/98 | 0800 | 0830 | 29.1 | 29.1 | TEMP.& HUM. ต่ำกว่า STD. |
| T-ASU-005 | ASU BOOTH#4 | 12/12/98 | 0900 | 1000 | 0 | 59.4 | TEMP.& HUM. ต่ำกว่า STD. |
| T-ASU-005 | ASU BOOTH#4 | 12/12/98 | 1100 | 1200 | 0 | 51.3 | TEMP.& HUM. ต่ำกว่า STD |
| T-ASU-007 | ASU BOOTH#4 | 12/12/98 | 1110 | 1125 | 13.2 | 13.2 | TEMP.& HUM. B#4 ไม่ได้ |
| T-ASU-005 | ASU BOOTH#4 | 12/14/98 | 0900 | 0935 | 35.1 | 35.1 | อุณหภูมิ B#3 ไม่ได้ |
| T-ASU-007 | ASU BOOTH#4 | 12/14/98 | 0900 | 0919 | 18.5 | 18.5 | อุณหภูมิต่ำกว่า B#4 ไม่ได้ |

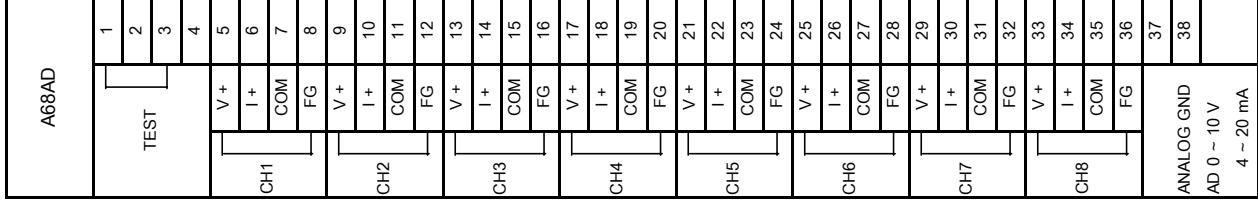
| | | | | | | | |
|-----------|-------------|----------|------|------|--------|--------|--|
| T-ASU-007 | ASU BOOTH#4 | 12/14/98 | 0934 | 1001 | 26.5 | 26.5 | อุณหภูมิ B#4 ไม่ได้ |
| T-ASU-007 | ASU BOOTH#4 | 12/14/98 | 1010 | 1024 | 13.2 | 13.2 | อุณหภูมิ B#4 ไม่ได้ |
| T-ASU-007 | ASU BOOTH#4 | 12/14/98 | 1040 | 1054 | 13.2 | 13.2 | อุณหภูมิ B#4 ไม่ได้ |
| T-ASU-007 | ASU BOOTH#4 | 12/14/98 | 1120 | 1147 | 26.5 | 26.5 | อุณหภูมิ B#4 ไม่ได้ |
| T-ASU-007 | ASU BOOTH#4 | 12/15/98 | 0800 | 0900 | 60 | 60 | อุณหภูมิ B#4 ไม่ได้ |
| T-ASU-005 | ASU BOOTH#4 | 12/15/98 | 0900 | 1000 | 2 | 59.4 | อุณหภูมิ B#3 ไม่ได้ |
| T-ASU-005 | ASU BOOTH#4 | 12/15/98 | 1010 | 1100 | 2 | 43.2 | อุณหภูมิ B#3 ไม่ได้ |
| T-ASU-007 | ASU BOOTH#4 | 12/15/98 | 1010 | 1021 | 10.6 | 10.6 | อุณหภูมิ B#4 ไม่ได้ |
| T-ASU-005 | ASU BOOTH#4 | 12/15/98 | 1115 | 1129 | 2 | 13.5 | อุณหภูมิ B#3 ไม่ได้ |
| T-ASU-005 | ASU BOOTH#4 | 12/16/98 | 0800 | 1000 | 120 | 120 | B#3 มีน้ำหยดลงมาจาก FILTER ที่อยู่ด้านบน |
| T-ASU-007 | ASU BOOTH#4 | 12/16/98 | 0800 | 0845 | 45 | 45 | B#4 น้ำรั่วหยดใน BOOTH |
| T-ASU-007 | ASU BOOTH#4 | 12/16/98 | 0900 | 0934 | 34 | 34 | อุณหภูมิ B#4 ไม่ได้ |
| T-ASU-007 | ASU BOOTH#4 | 12/16/98 | 1110 | 1117 | 7 | 7 | อุณหภูมิ B#4 ไม่ได้ |
| T-ASU-007 | ASU BOOTH#4 | 1/14/99 | 0800 | 0830 | 0 | 30 | อุณหภูมิ B#4 ไม่ได้ |
| T-ASU-007 | ASU BOOTH#4 | 1/14/99 | 0817 | 0838 | 0 | 21 | อุณหภูมิ B#3 ไม่ได้ |
| T-ASU-005 | ASU BOOTH#4 | 1/18/99 | 0820 | 0905 | 45.9 | 45.9 | อุณหภูมิ B#3 สูงเกินมาตรฐาน |
| T-ASU-007 | ASU BOOTH#4 | 1/19/99 | 0835 | 0845 | 10 | 0 | ASU B#4 UNIT-A อุณหภูมิต่ำลงมา |
| T-ASU-005 | ASU BOOTH#4 | 1/26/99 | 0800 | 0812 | 12 | 12 | ความชื้น B#3 สูงทั้ง 2 UNIT |
| TOTAL | | | | | 1252.7 | 1646.1 | |

สถาบันวิทยบริการ
จุฬาลงกรณ์มหาวิทยาลัย

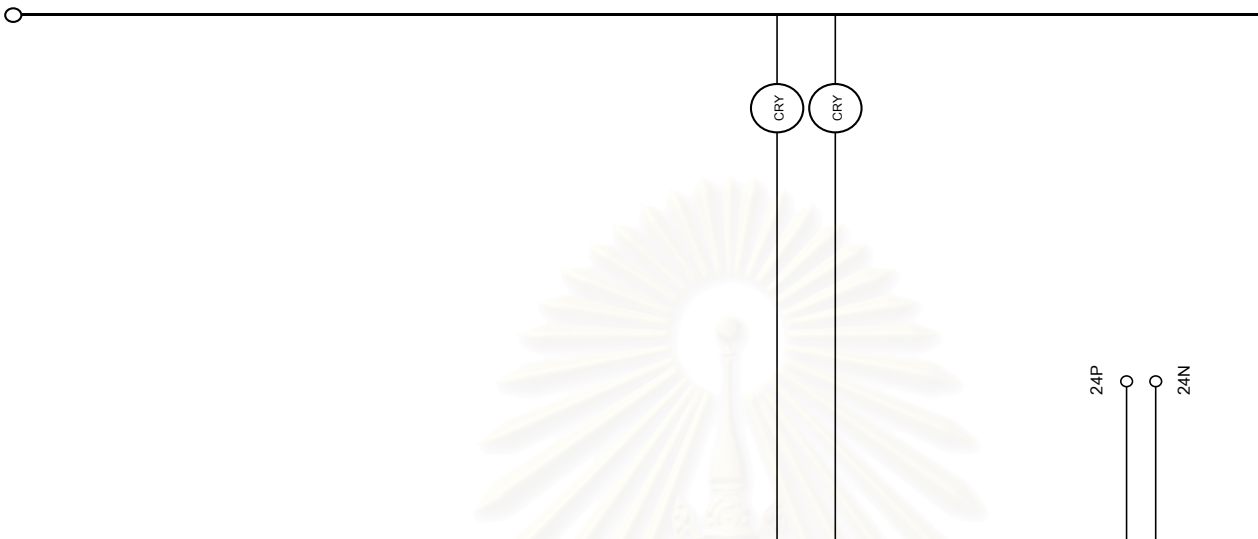
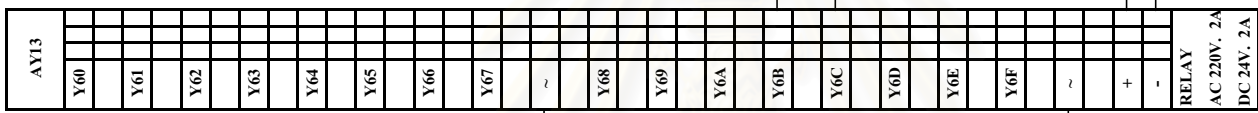


ภาคผนวก ข.
แบบไฟฟ้าระบบควบคุมกระบวนการปรับอากาศ

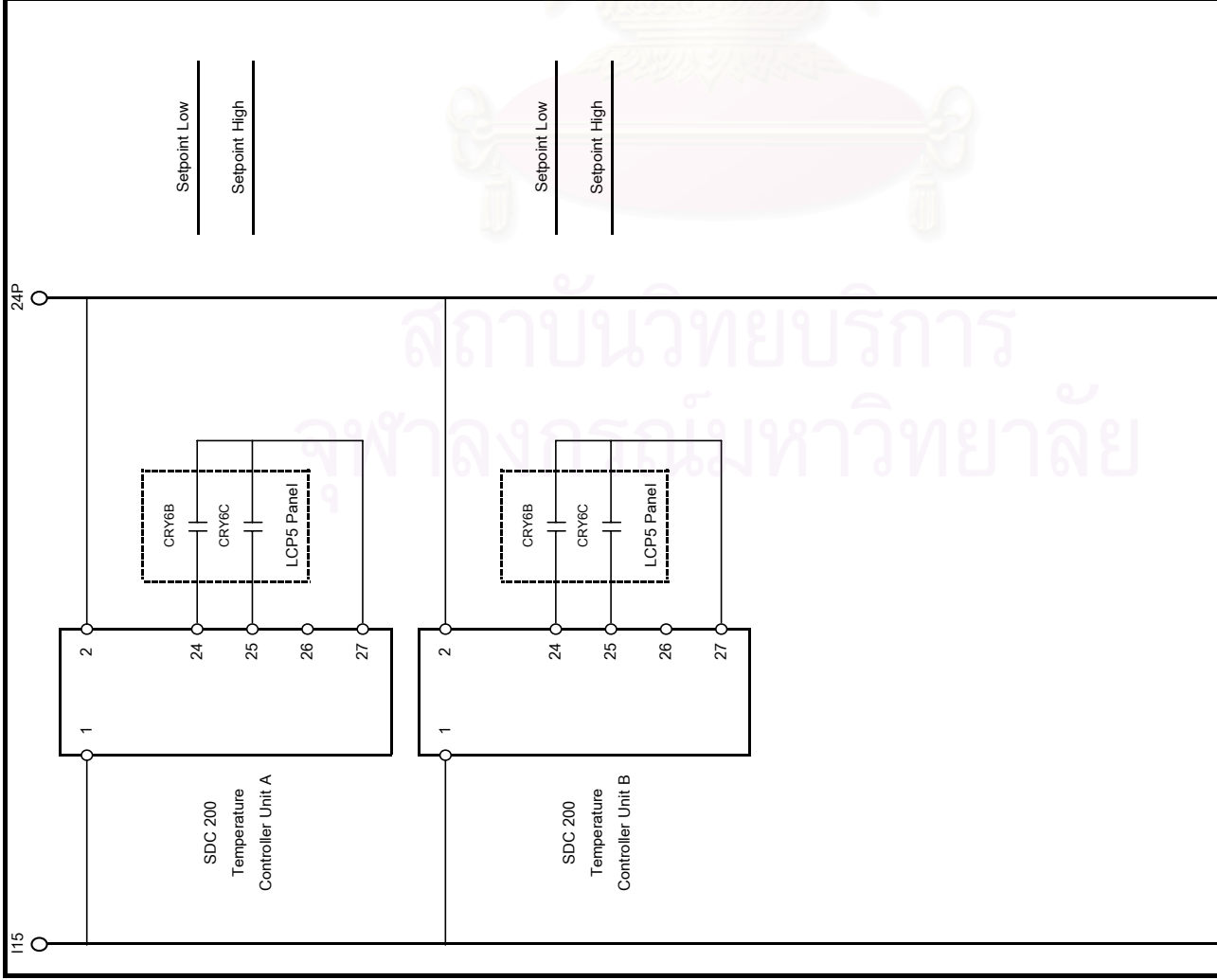
สถาบันวิทยบริการ
จุฬาลงกรณ์มหาวิทยาลัย



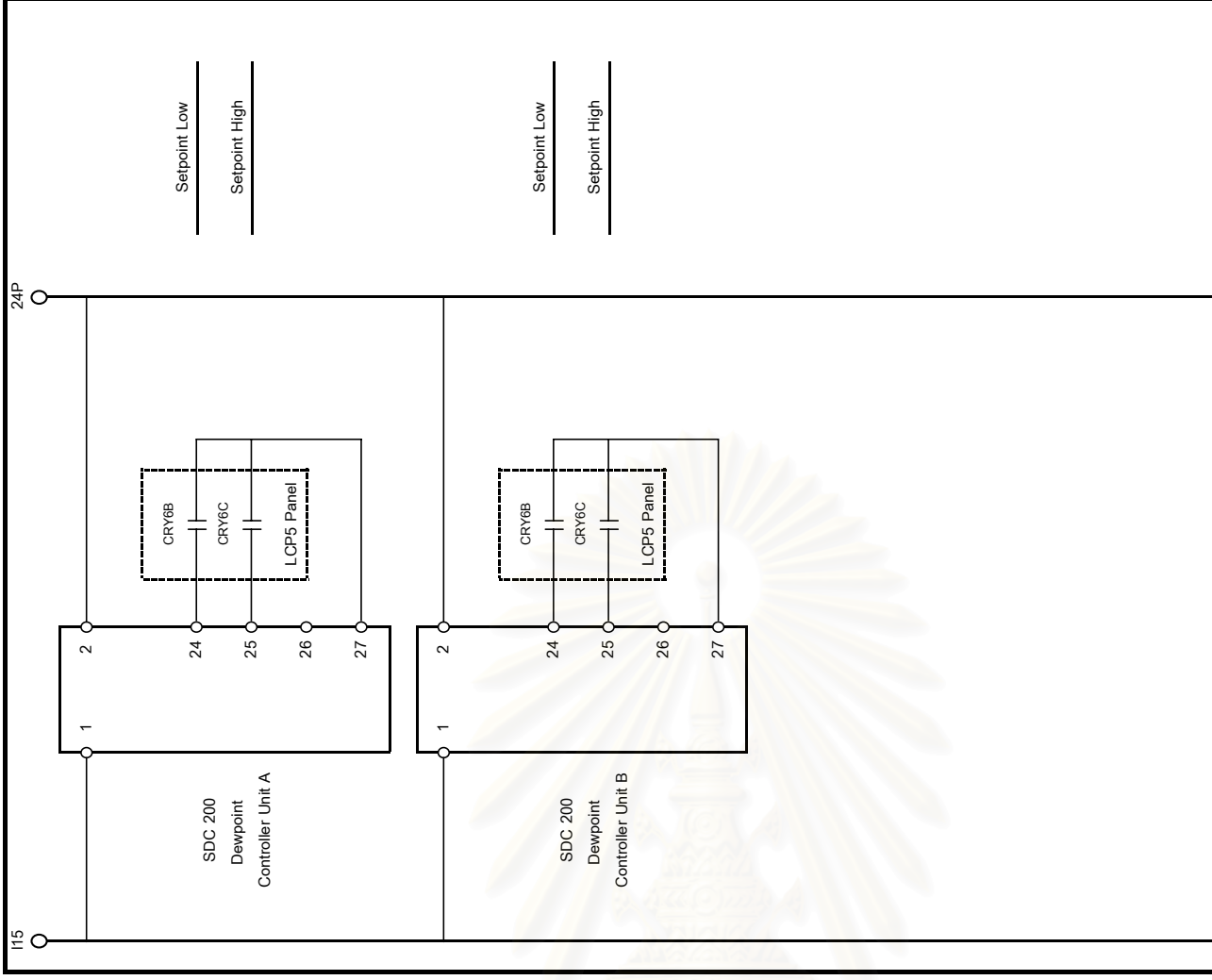
| | | | | | | |
|------|--------|-------|----------|-------------------|------------------|----------|
| DATE | DESIGN | CHECK | APPROVED | JOB TITLE | PROJECT | PAGE NO. |
| | | | | LCP5 A68AD Wiring | Humidity Control | 1 |




| | | | | | | |
|------|--------|-------|----------|-------------|------------------|----------|
| DATE | DESIGN | CHECK | APPROVED | JOB TITLE | PROJECT | PAGE NO. |
| | | | | LCP5 Output | Humidity Control | 2 |



| DATE | DESIGN | CHECK | APPROVED | JOB TITLE | PROJECT | PAGE NO. |
|------|--------|-------|----------|-------------------------|------------------|----------|
| | | | | Booth#4 Operation Panel | Humidity Control | 3 |

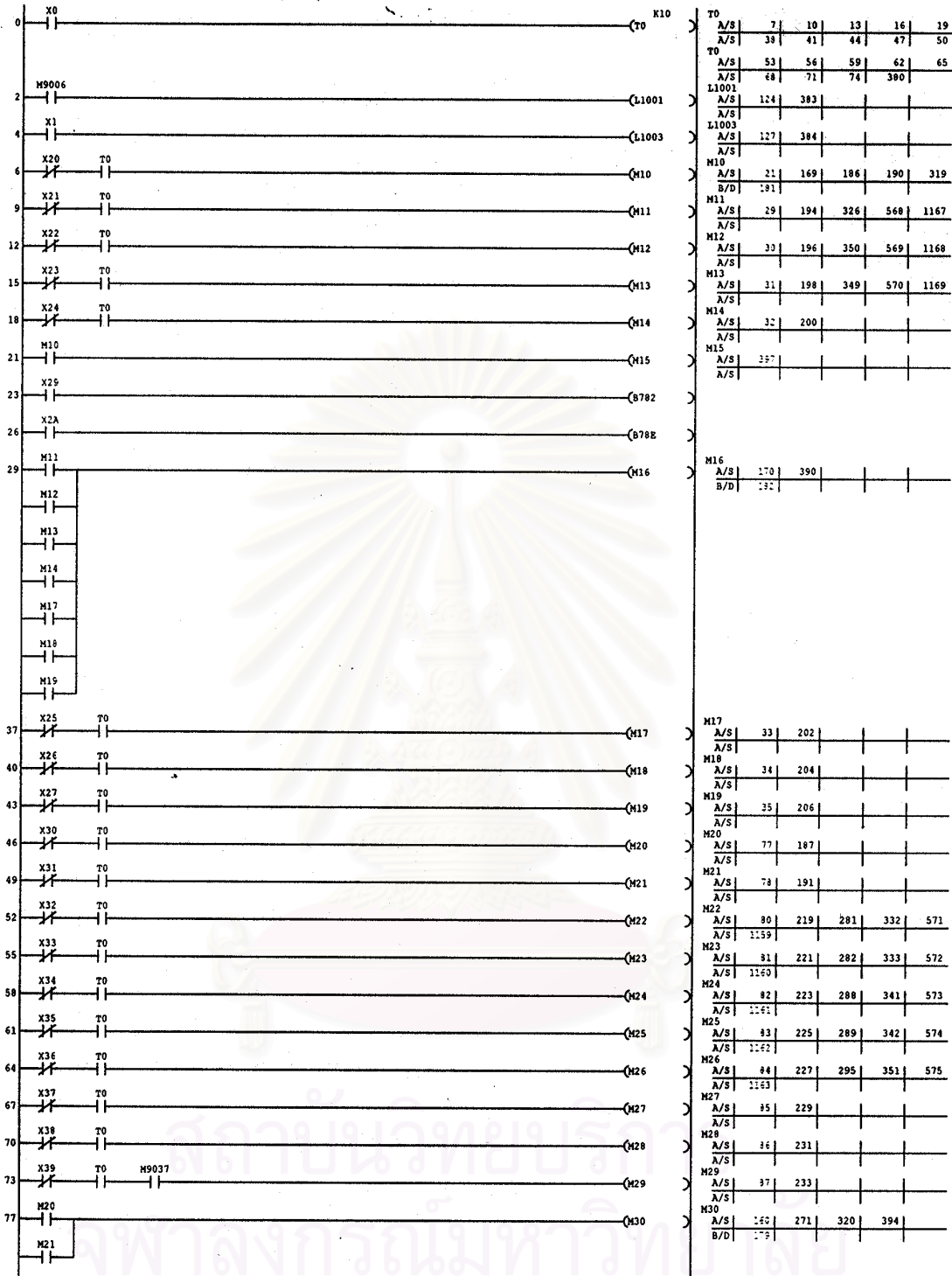


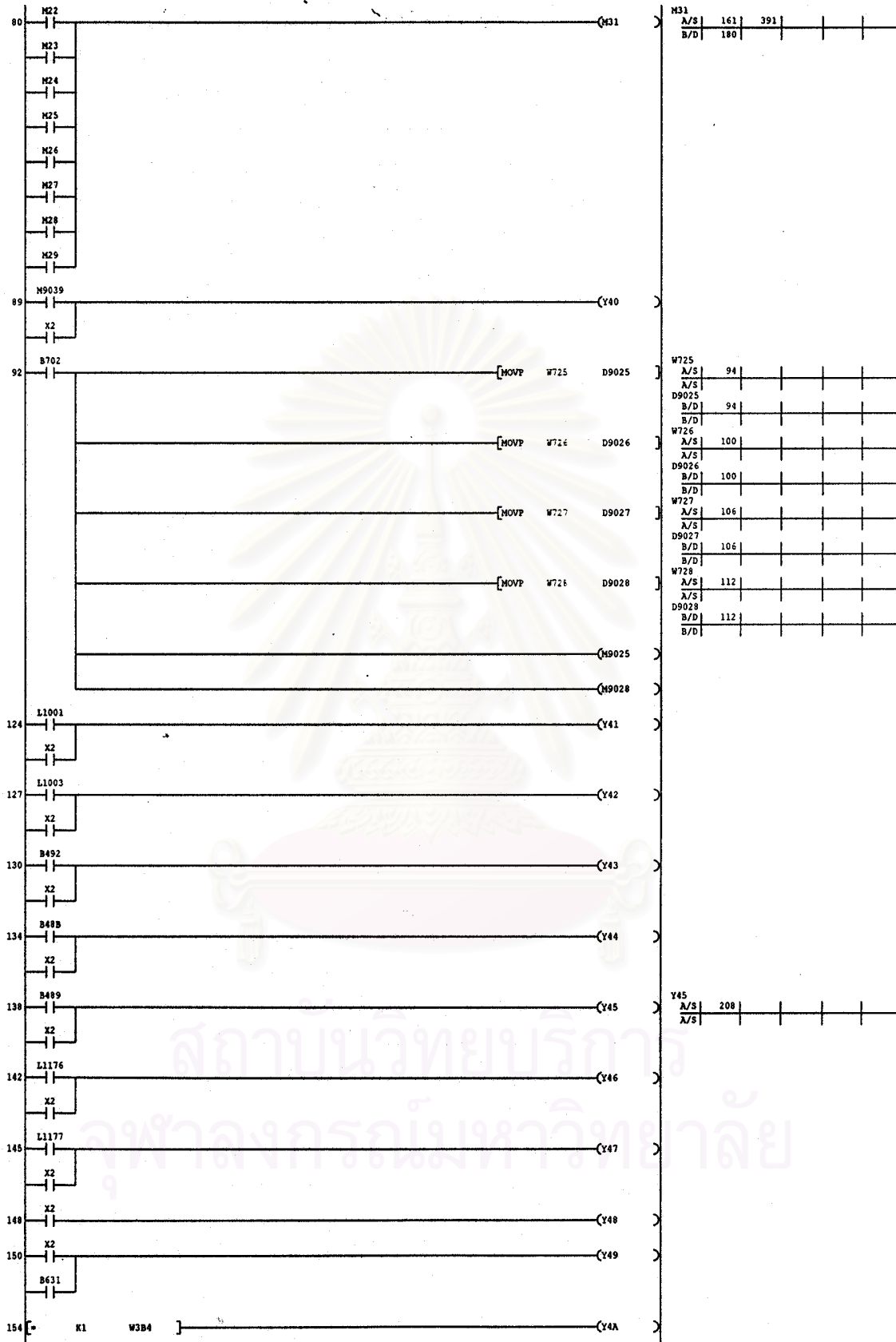
| DATE | DESIGN | CHECK | APPROVED | JOB TITLE | PROJECT | PAGE NO. |
|------|--------|-------|----------|-------------------------|------------------|----------|
| | | | | Booth#4 Operation Panel | Humidity Control | 4 |

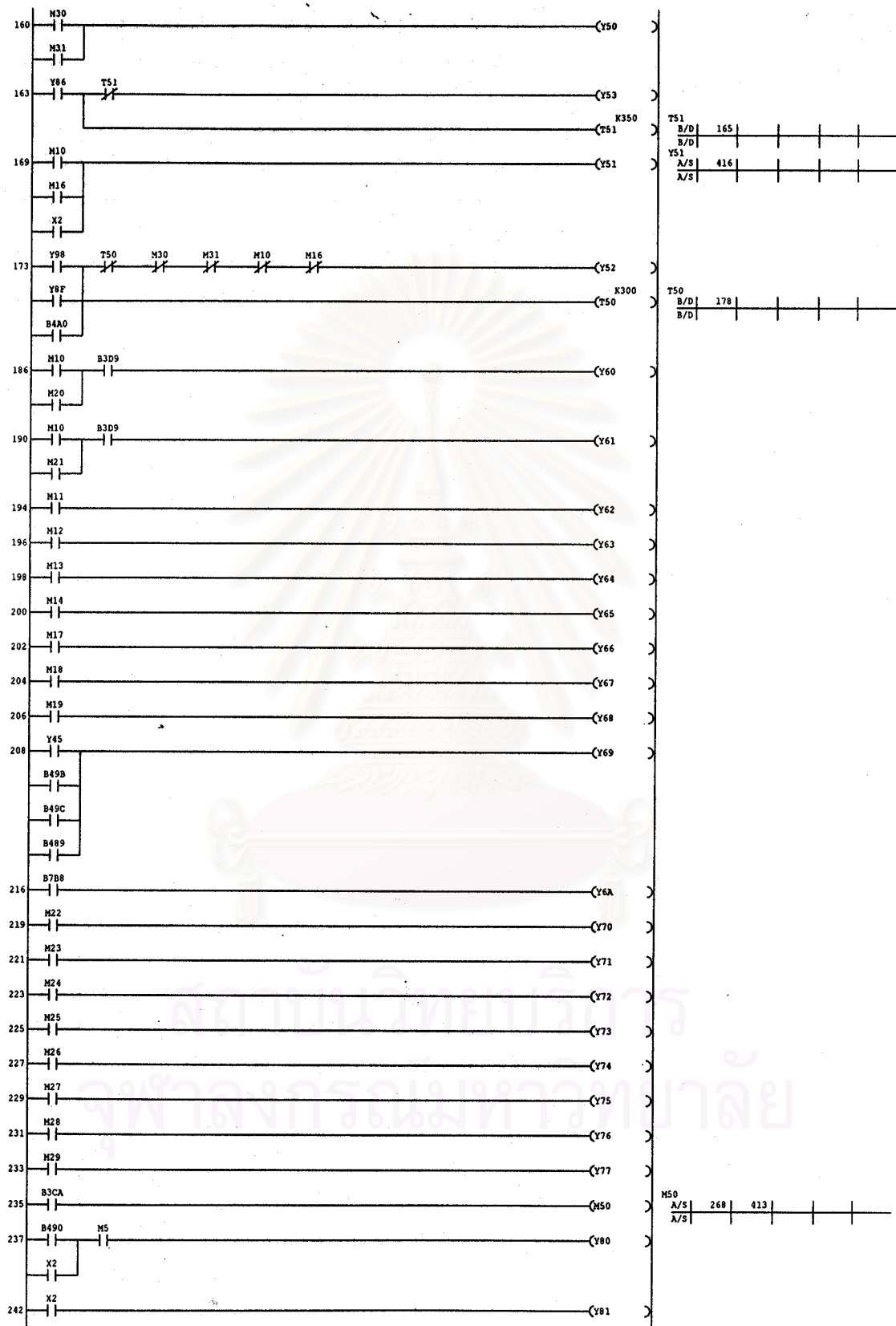


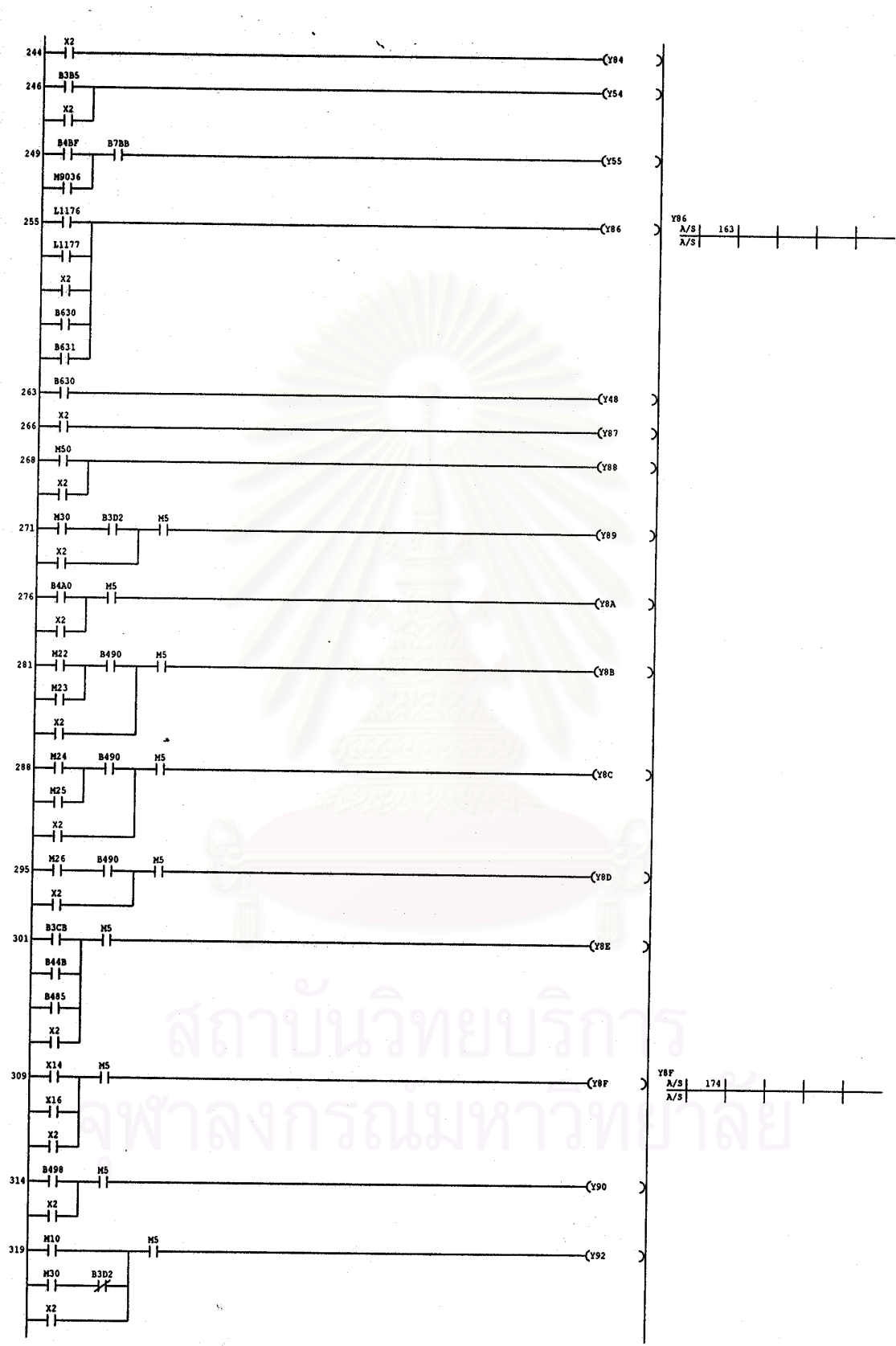
ภาคผนวก ค.
โปรแกรม PLC ระบบควบคุมกระบวนการปรับอากาศ

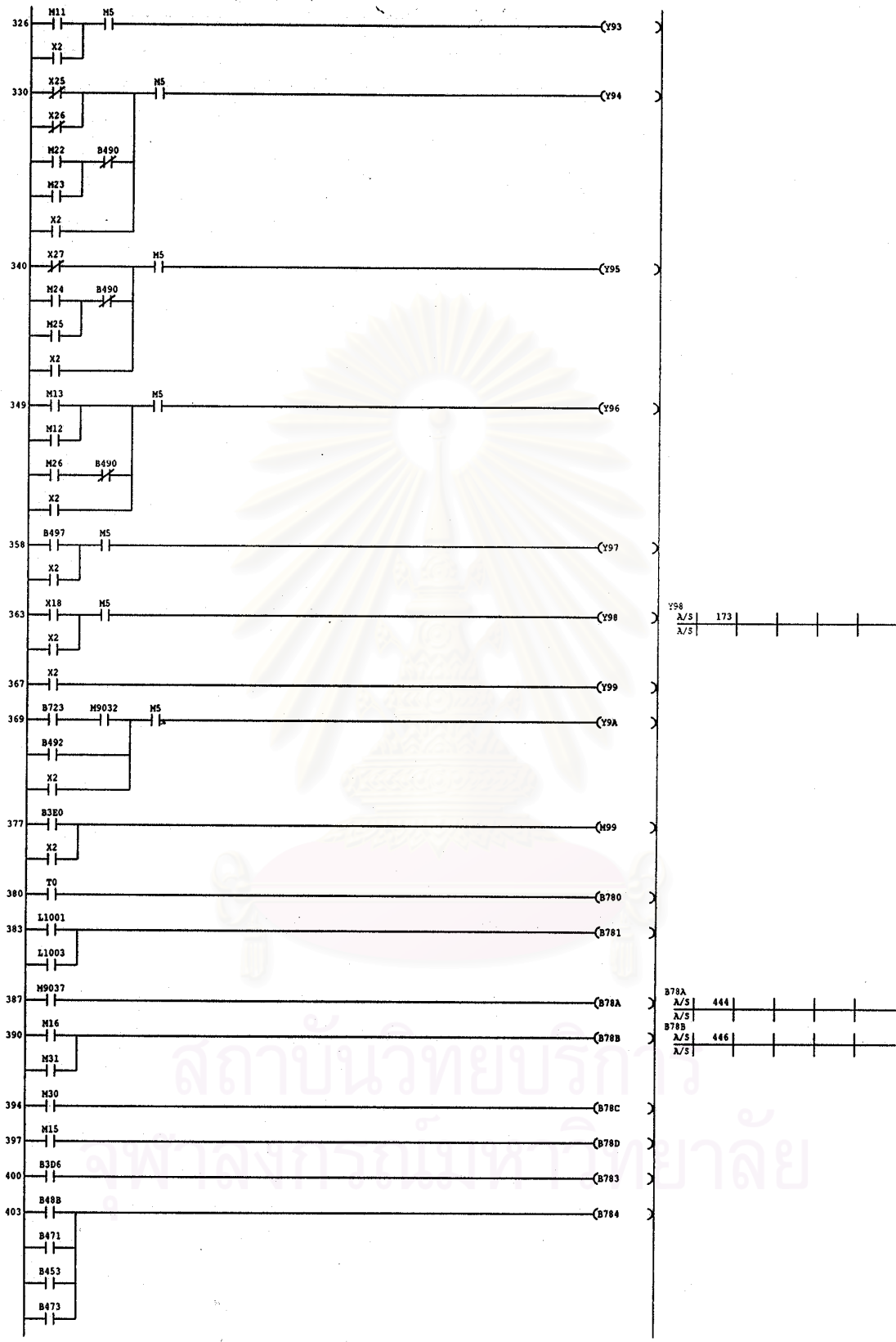
สถาบันวิทยบริการ
จุฬาลงกรณ์มหาวิทยาลัย



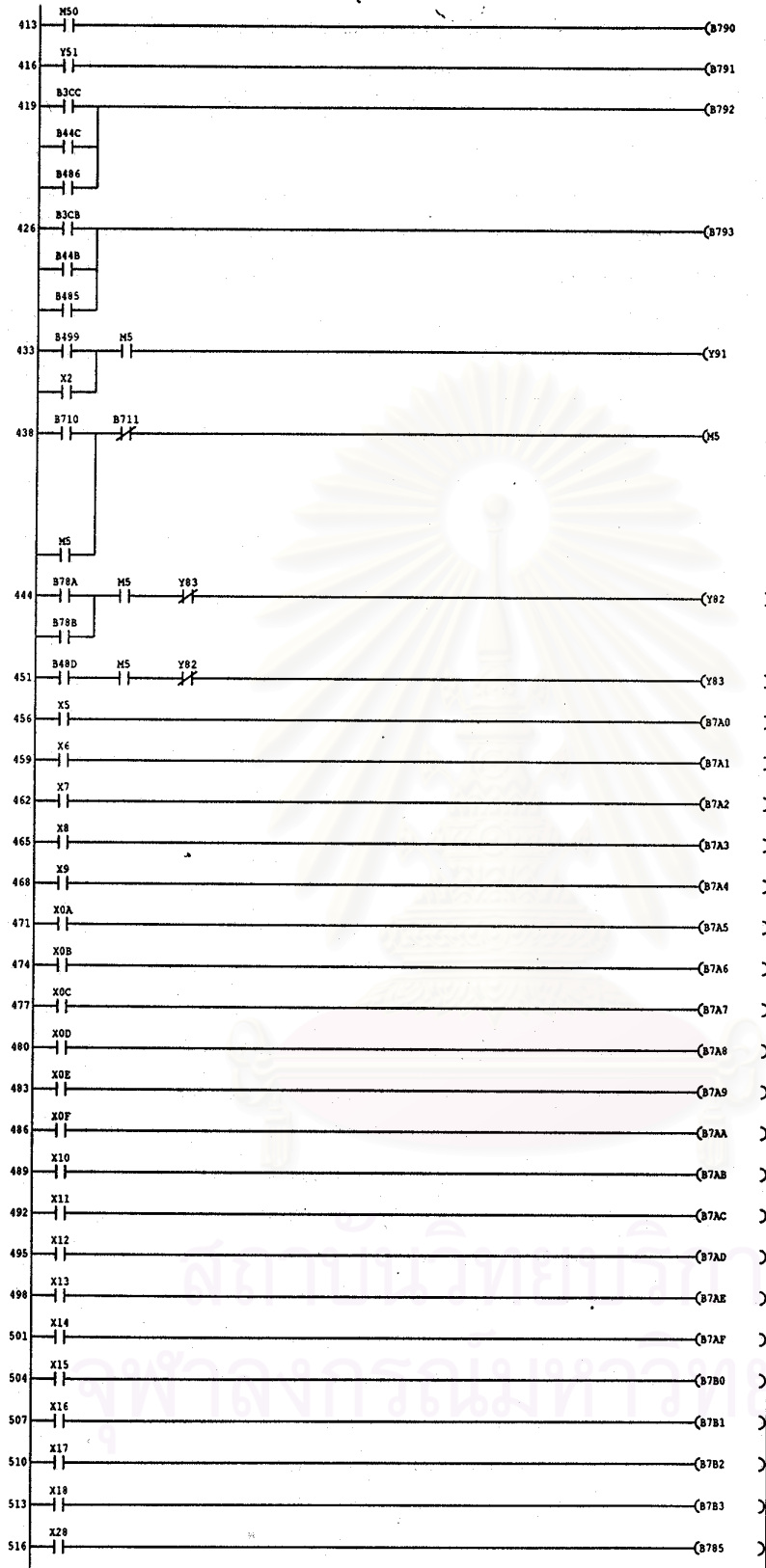




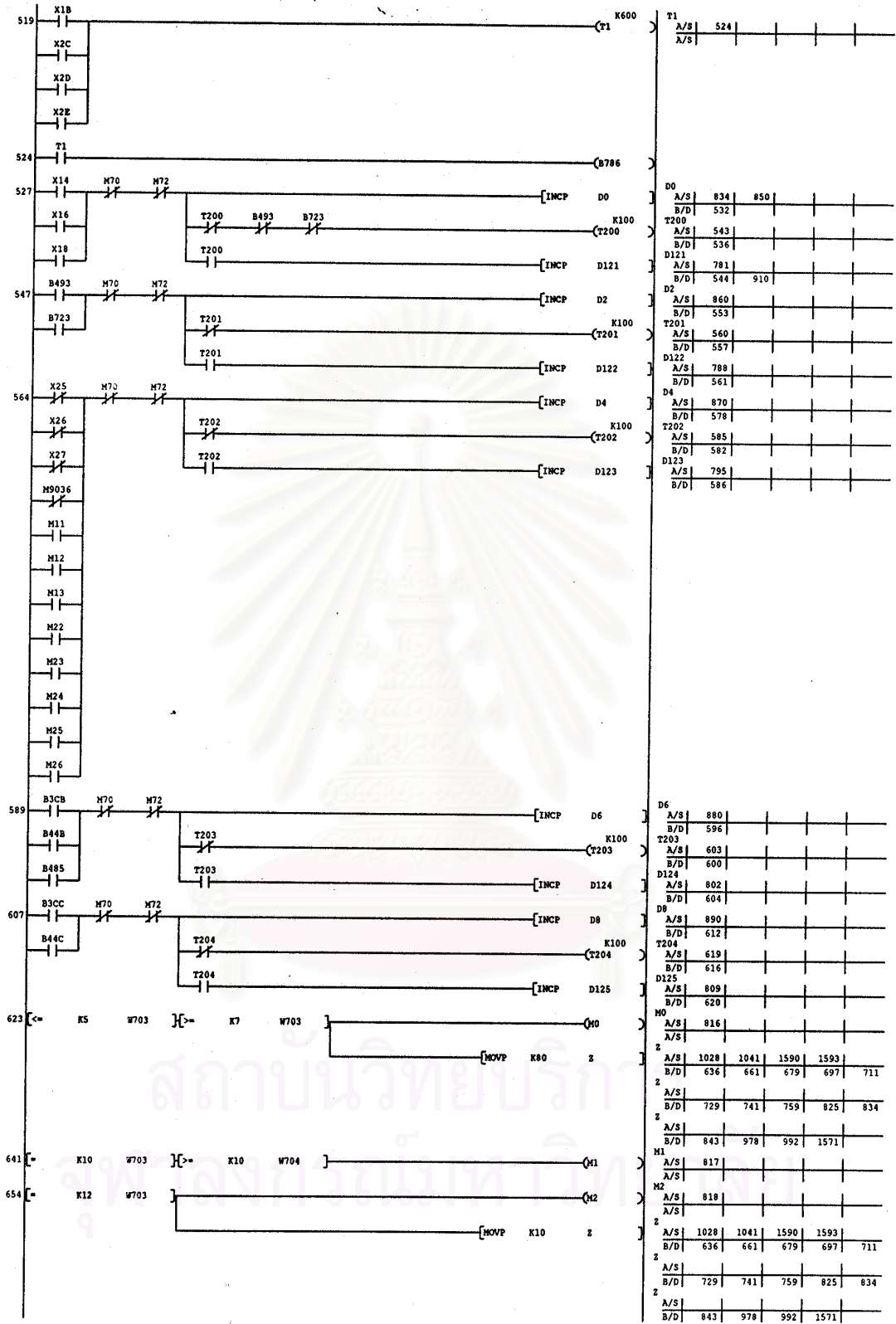




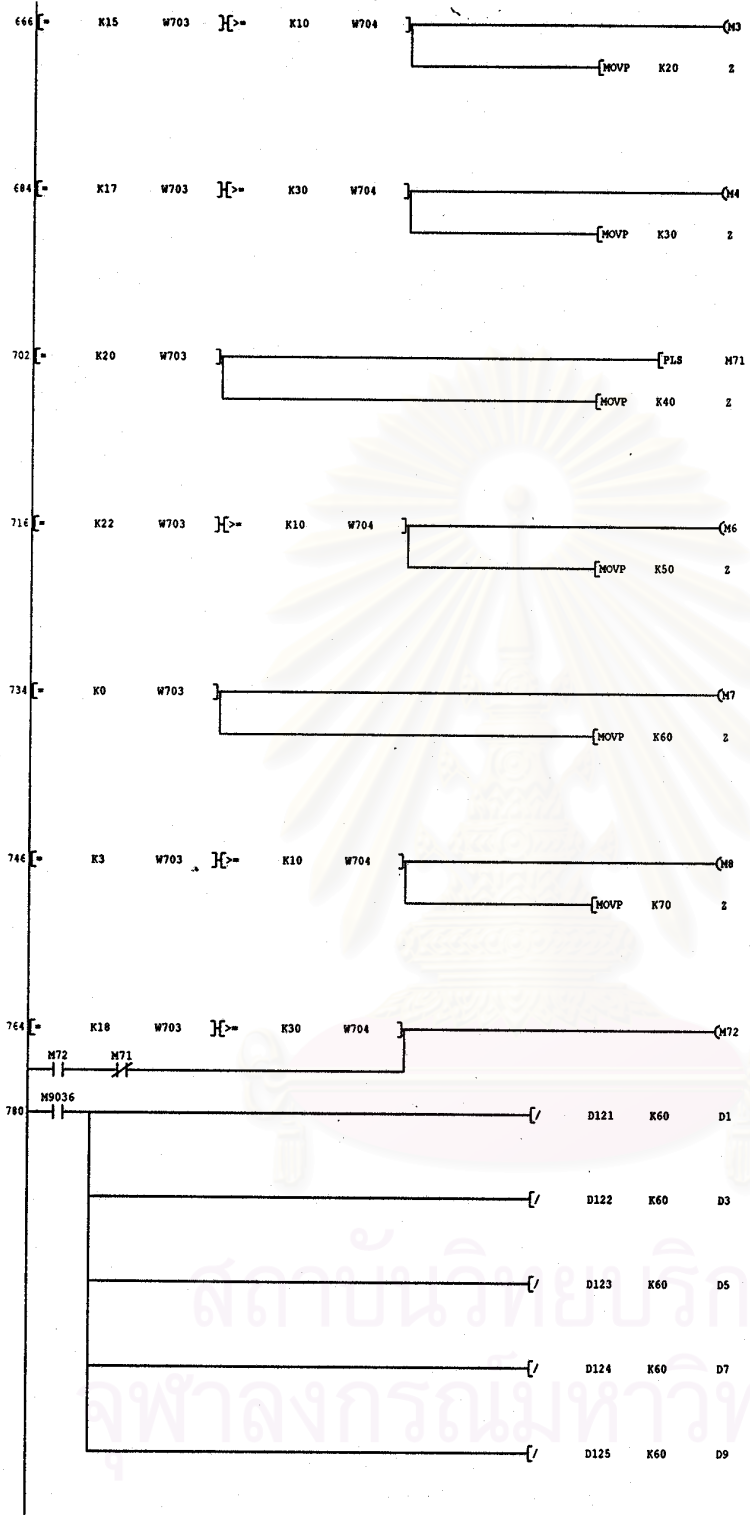
สถาบันวิทยบริการ
 วิทยาลัย



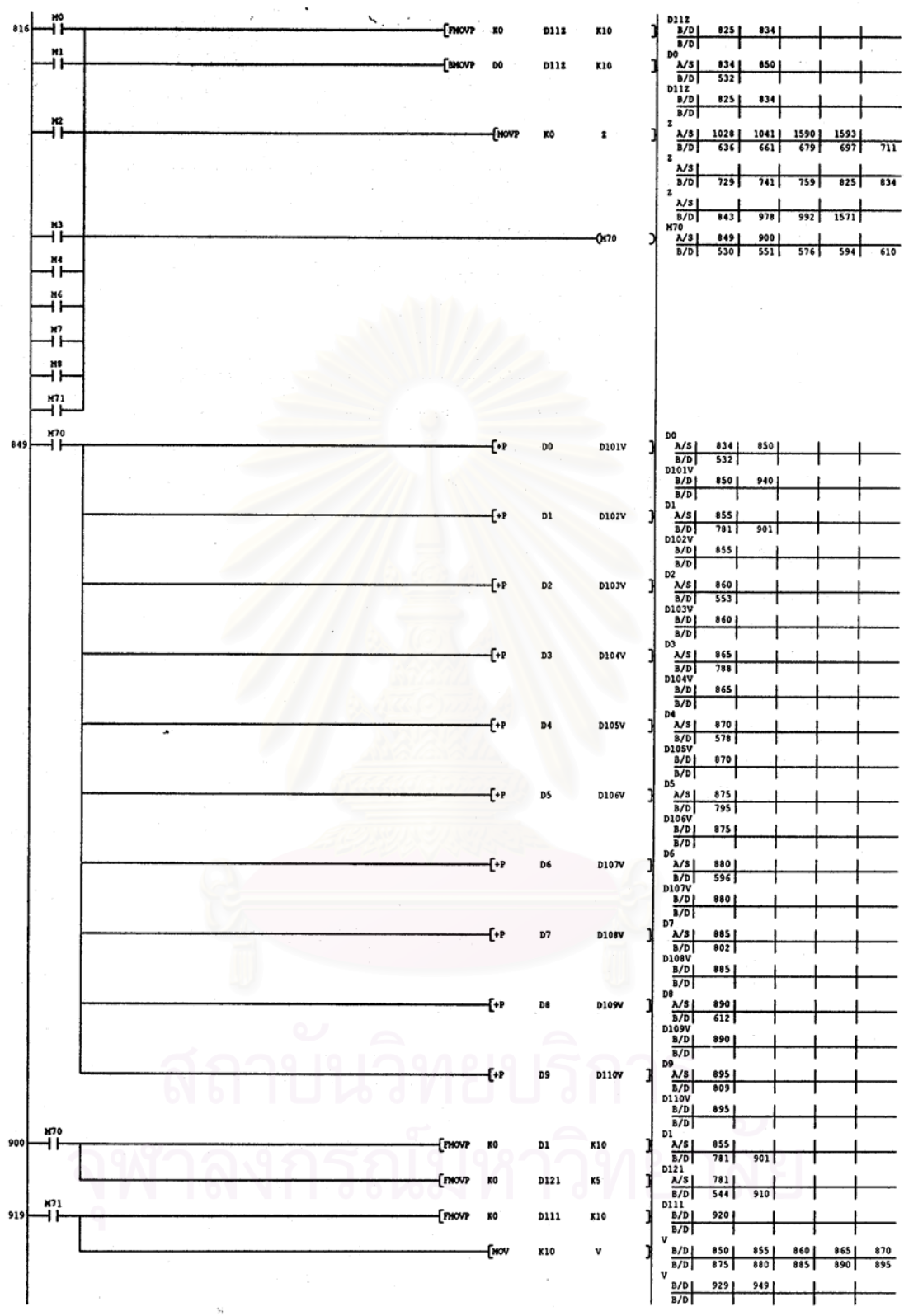
| | | | | | | |
|-----|-----|-----|-----|-----|-----|-----|
| M5 | A/S | 240 | 274 | 279 | 286 | 293 |
| M5 | A/S | 299 | 307 | 312 | 317 | 324 |
| M5 | A/S | 329 | 338 | 347 | 356 | 361 |
| M5 | A/S | 365 | 375 | 436 | 440 | 448 |
| M5 | A/S | 453 | | | | |
| M5 | A/S | | | | | |
| Y82 | B/D | 454 | | | | |
| Y82 | B/D | | | | | |
| Y83 | B/D | 449 | | | | |
| Y83 | B/D | | | | | |

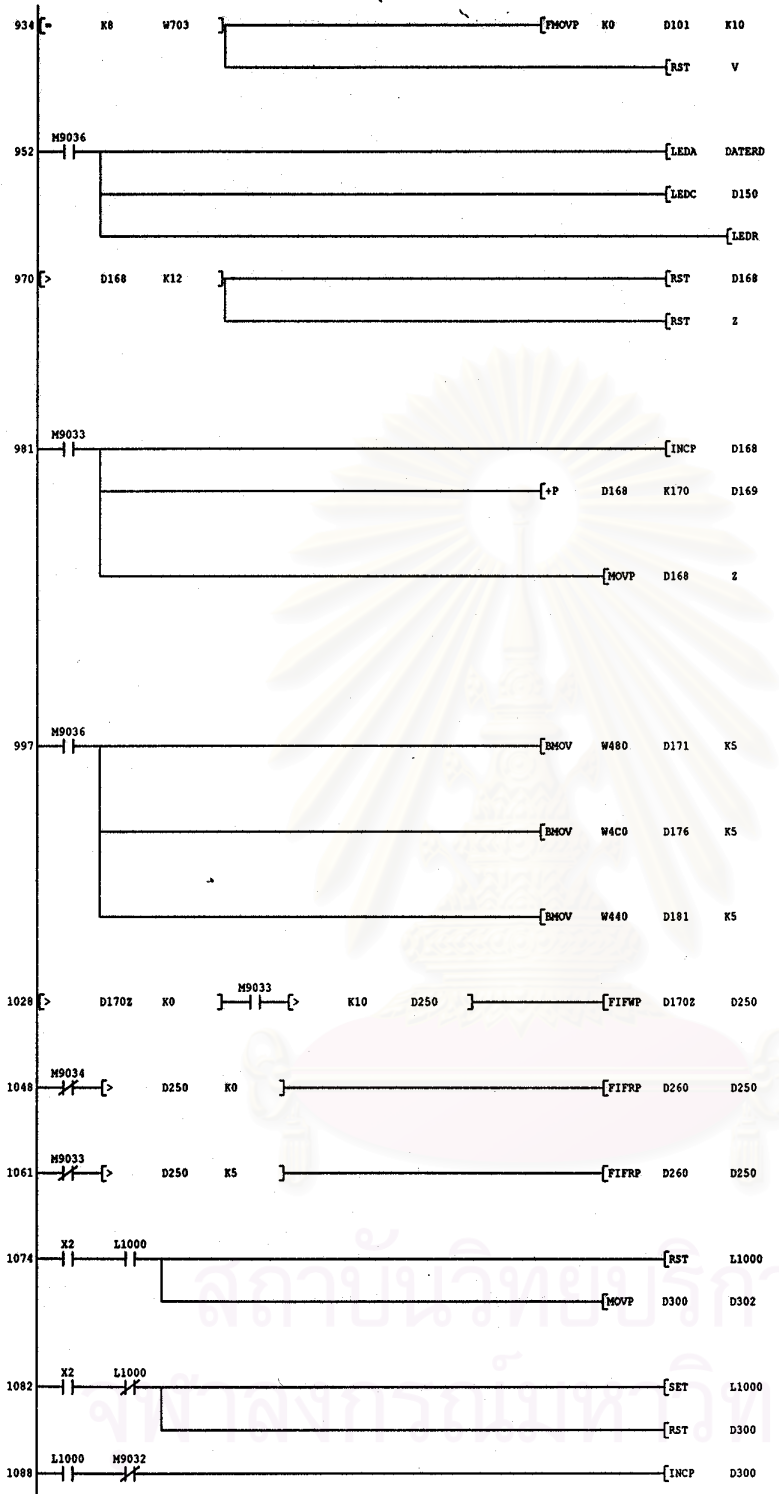


| | | | | | | | |
|------|-----|------|------|------|------|-----|--|
| T1 | A/S | 524 | | | | | |
| | X/S | | | | | | |
| D0 | A/S | 834 | 850 | | | | |
| | B/D | 532 | | | | | |
| T200 | A/S | 543 | | | | | |
| | B/D | 536 | | | | | |
| D121 | A/S | 781 | | | | | |
| | B/D | 544 | 910 | | | | |
| D2 | A/S | 860 | | | | | |
| | B/D | 553 | | | | | |
| T201 | A/S | 560 | | | | | |
| | B/D | 557 | | | | | |
| D122 | A/S | 788 | | | | | |
| | B/D | 561 | | | | | |
| D4 | A/S | 870 | | | | | |
| | B/D | 578 | | | | | |
| T202 | A/S | 585 | | | | | |
| | B/D | 582 | | | | | |
| D123 | A/S | 795 | | | | | |
| | B/D | 586 | | | | | |
| D6 | A/S | 880 | | | | | |
| | B/D | 596 | | | | | |
| T203 | A/S | 603 | | | | | |
| | B/D | 600 | | | | | |
| D124 | A/S | 802 | | | | | |
| | B/D | 604 | | | | | |
| D8 | A/S | 890 | | | | | |
| | B/D | 612 | | | | | |
| T204 | A/S | 619 | | | | | |
| | B/D | 616 | | | | | |
| D125 | A/S | 809 | | | | | |
| | B/D | 620 | | | | | |
| H0 | A/S | 816 | | | | | |
| | X/S | | | | | | |
| 2 | A/S | 1028 | 1041 | 1590 | 1593 | | |
| | B/D | 636 | 661 | 679 | 697 | 711 | |
| 2 | A/S | 729 | 741 | 759 | 825 | 834 | |
| | B/D | | | | | | |
| M1 | A/S | 843 | 978 | 992 | 1571 | | |
| | X/S | | | | | | |
| M2 | A/S | 818 | | | | | |
| | X/S | | | | | | |
| 2 | A/S | 1028 | 1041 | 1590 | 1593 | | |
| | B/D | 636 | 661 | 679 | 697 | 711 | |
| 2 | A/S | 729 | 741 | 759 | 825 | 834 | |
| | B/D | | | | | | |
| 2 | A/S | 843 | 978 | 992 | 1571 | | |
| | B/D | | | | | | |

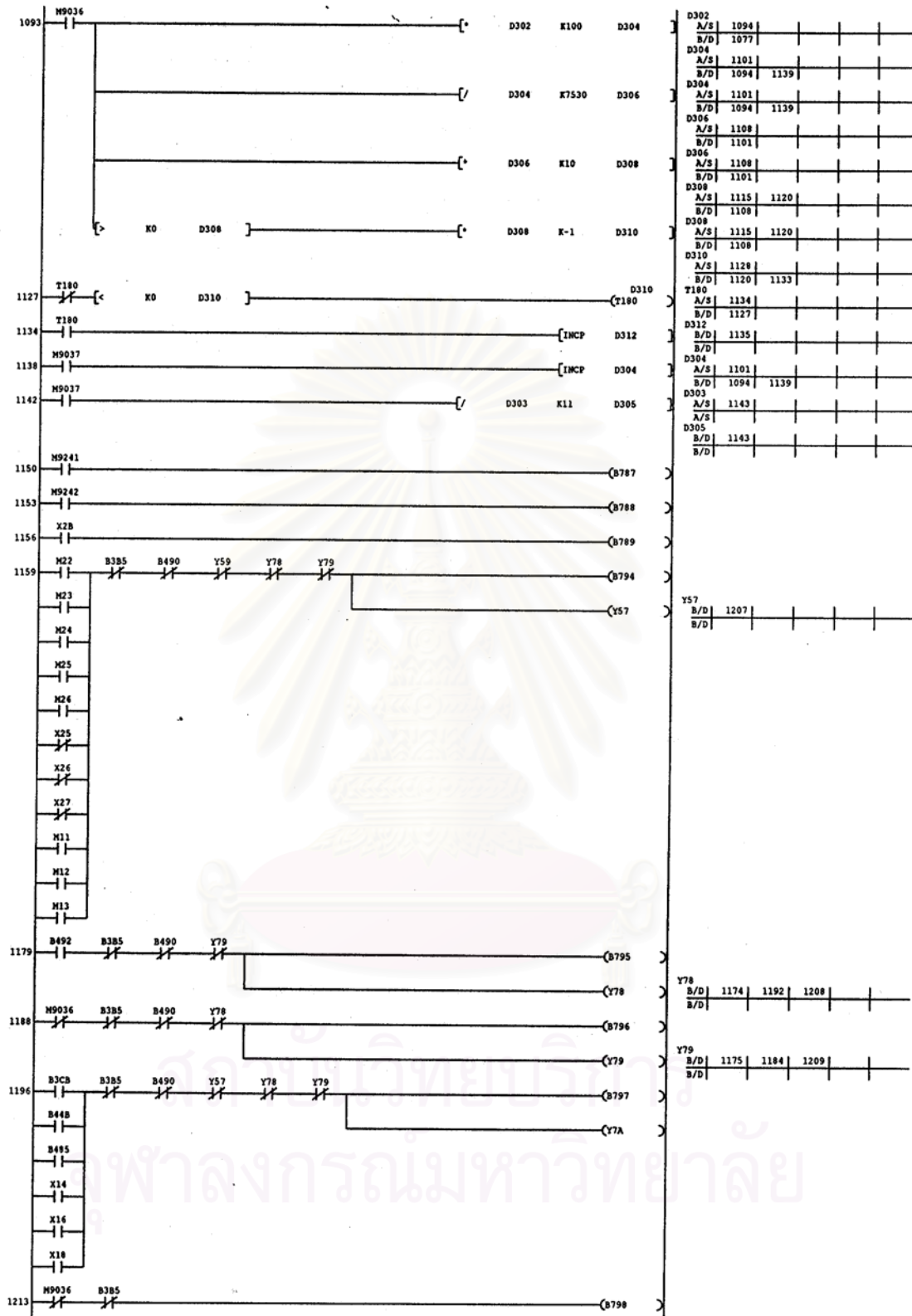


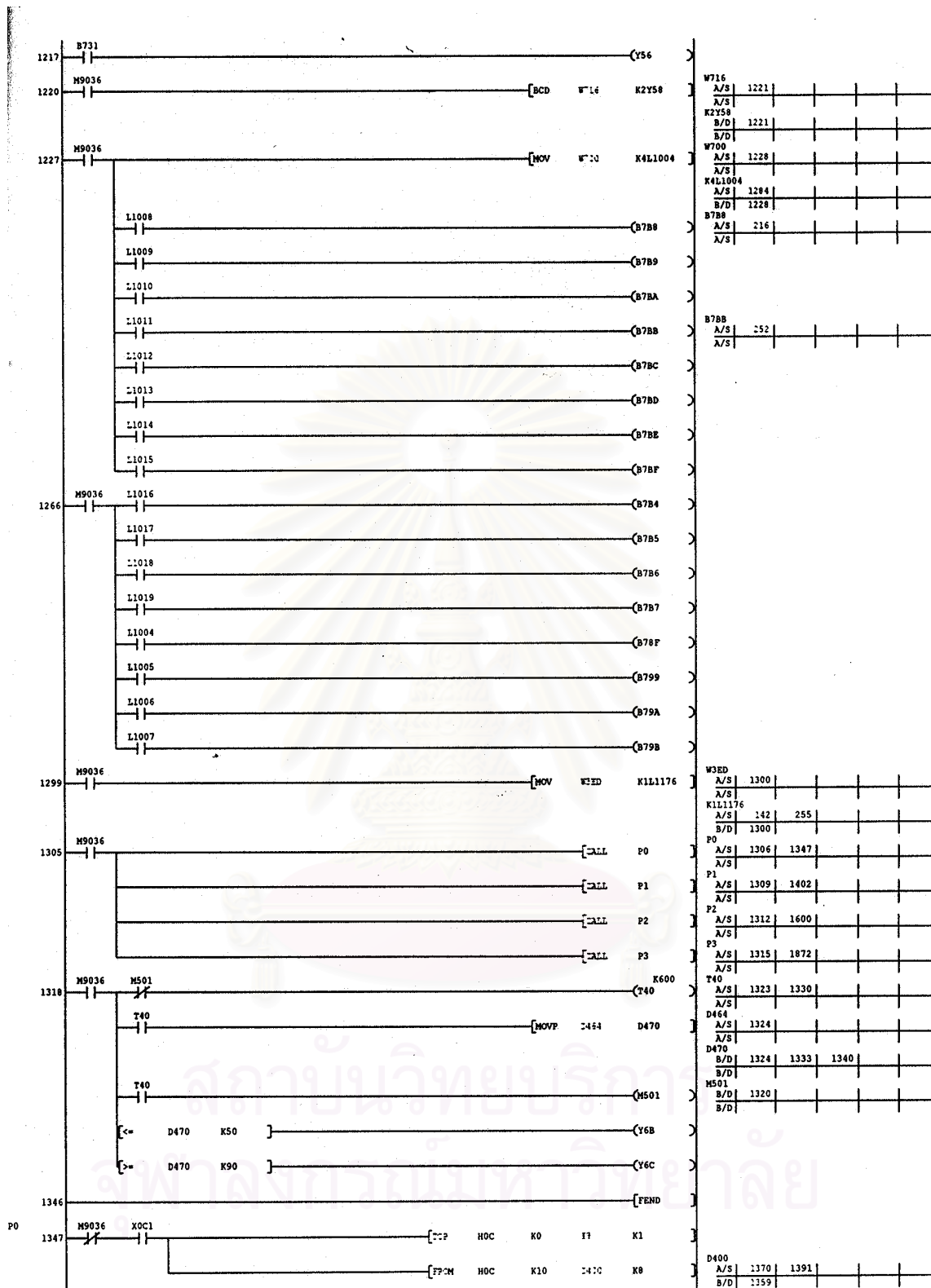
| | | | | | | |
|------|-----|------|------|------|------|-----|
| M3 | A/S | 819 | | | | |
| | A/S | | | | | |
| 2 | A/S | 1028 | 1041 | 1590 | 1593 | |
| | B/D | 636 | 661 | 679 | 697 | 711 |
| 2 | A/S | | | | | |
| | B/D | 729 | 741 | 759 | 825 | 834 |
| 2 | A/S | | | | | |
| | B/D | 843 | 978 | 992 | 1571 | |
| M4 | A/S | 820 | | | | |
| | A/S | | | | | |
| 2 | A/S | 1028 | 1041 | 1590 | 1593 | |
| | B/D | 636 | 661 | 679 | 697 | 711 |
| 2 | A/S | | | | | |
| | B/D | 729 | 741 | 759 | 825 | 834 |
| 2 | A/S | | | | | |
| | B/D | 843 | 978 | 992 | 1571 | |
| M71 | A/S | 824 | 919 | | | |
| | B/D | 708 | 777 | | | |
| 2 | A/S | 1028 | 1041 | 1590 | 1593 | |
| | B/D | 636 | 661 | 679 | 697 | 711 |
| 2 | A/S | | | | | |
| | B/D | 729 | 741 | 759 | 825 | 834 |
| 2 | A/S | | | | | |
| | B/D | 843 | 978 | 992 | 1571 | |
| M6 | A/S | 821 | | | | |
| | A/S | | | | | |
| 2 | A/S | 1028 | 1041 | 1590 | 1593 | |
| | B/D | 636 | 661 | 679 | 697 | 711 |
| 2 | A/S | | | | | |
| | B/D | 729 | 741 | 759 | 825 | 834 |
| 2 | A/S | | | | | |
| | B/D | 843 | 978 | 992 | 1571 | |
| M7 | A/S | 822 | | | | |
| | A/S | | | | | |
| 2 | A/S | 1028 | 1041 | 1590 | 1593 | |
| | B/D | 636 | 661 | 679 | 697 | 711 |
| 2 | A/S | | | | | |
| | B/D | 729 | 741 | 759 | 825 | 834 |
| 2 | A/S | | | | | |
| | B/D | 843 | 978 | 992 | 1571 | |
| M8 | A/S | 823 | | | | |
| | A/S | | | | | |
| 2 | A/S | 1028 | 1041 | 1590 | 1593 | |
| | B/D | 636 | 661 | 679 | 697 | 711 |
| 2 | A/S | | | | | |
| | B/D | 729 | 741 | 759 | 825 | 834 |
| 2 | A/S | | | | | |
| | B/D | 843 | 978 | 992 | 1571 | |
| M72 | A/S | 776 | | | | |
| | B/D | 531 | 552 | 577 | 595 | 611 |
| D121 | A/S | 781 | | | | |
| | B/D | 544 | 910 | | | |
| D1 | A/S | 855 | | | | |
| | B/D | 781 | 901 | | | |
| D122 | A/S | 788 | | | | |
| | B/D | 561 | | | | |
| D3 | A/S | 865 | | | | |
| | B/D | 788 | | | | |
| D123 | A/S | 795 | | | | |
| | B/D | 586 | | | | |
| D5 | A/S | 875 | | | | |
| | B/D | 795 | | | | |
| D124 | A/S | 802 | | | | |
| | B/D | 604 | | | | |
| D7 | A/S | 885 | | | | |
| | B/D | 802 | | | | |
| D125 | A/S | 809 | | | | |
| | B/D | 620 | | | | |
| D9 | A/S | 895 | | | | |
| | B/D | 809 | | | | |

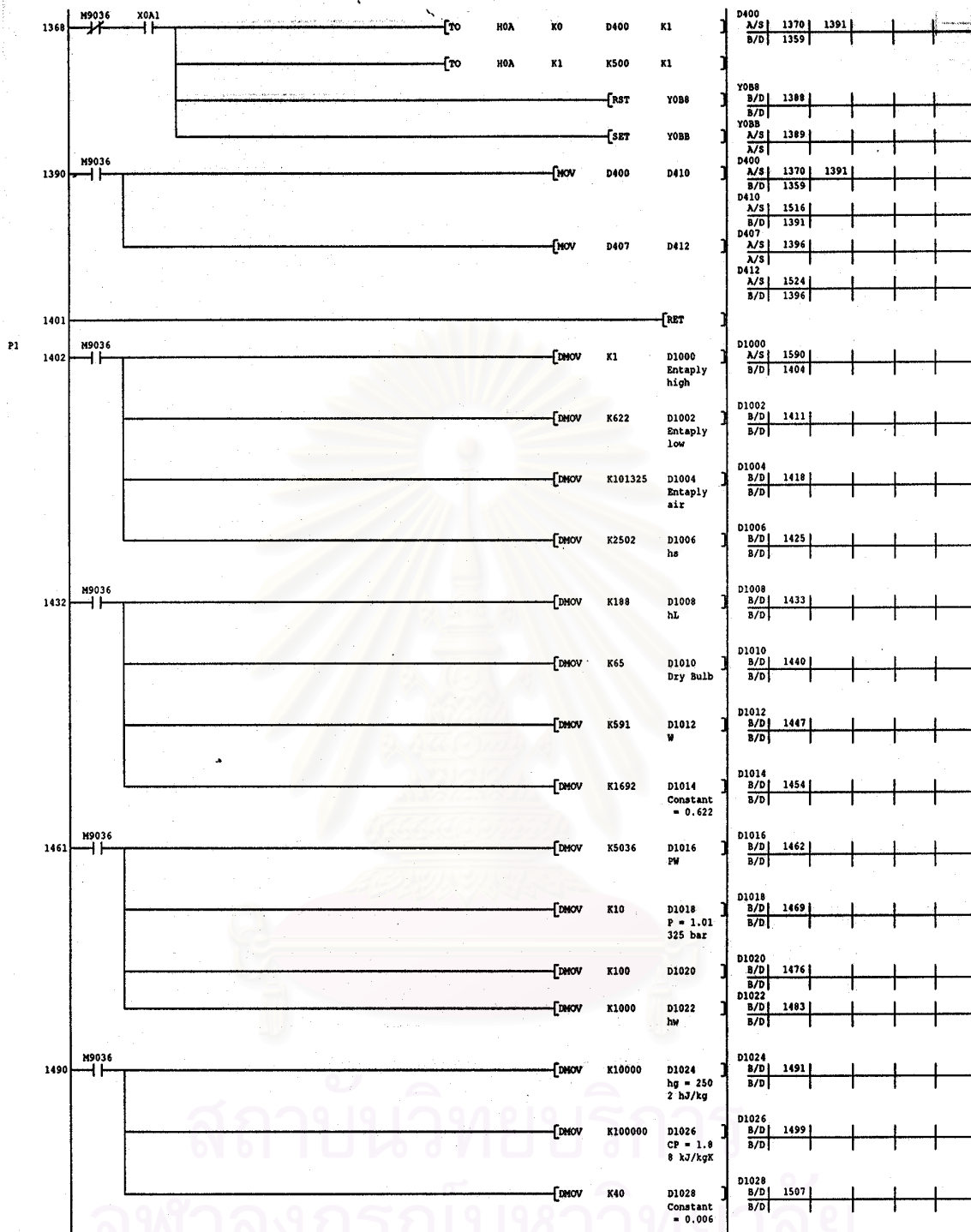




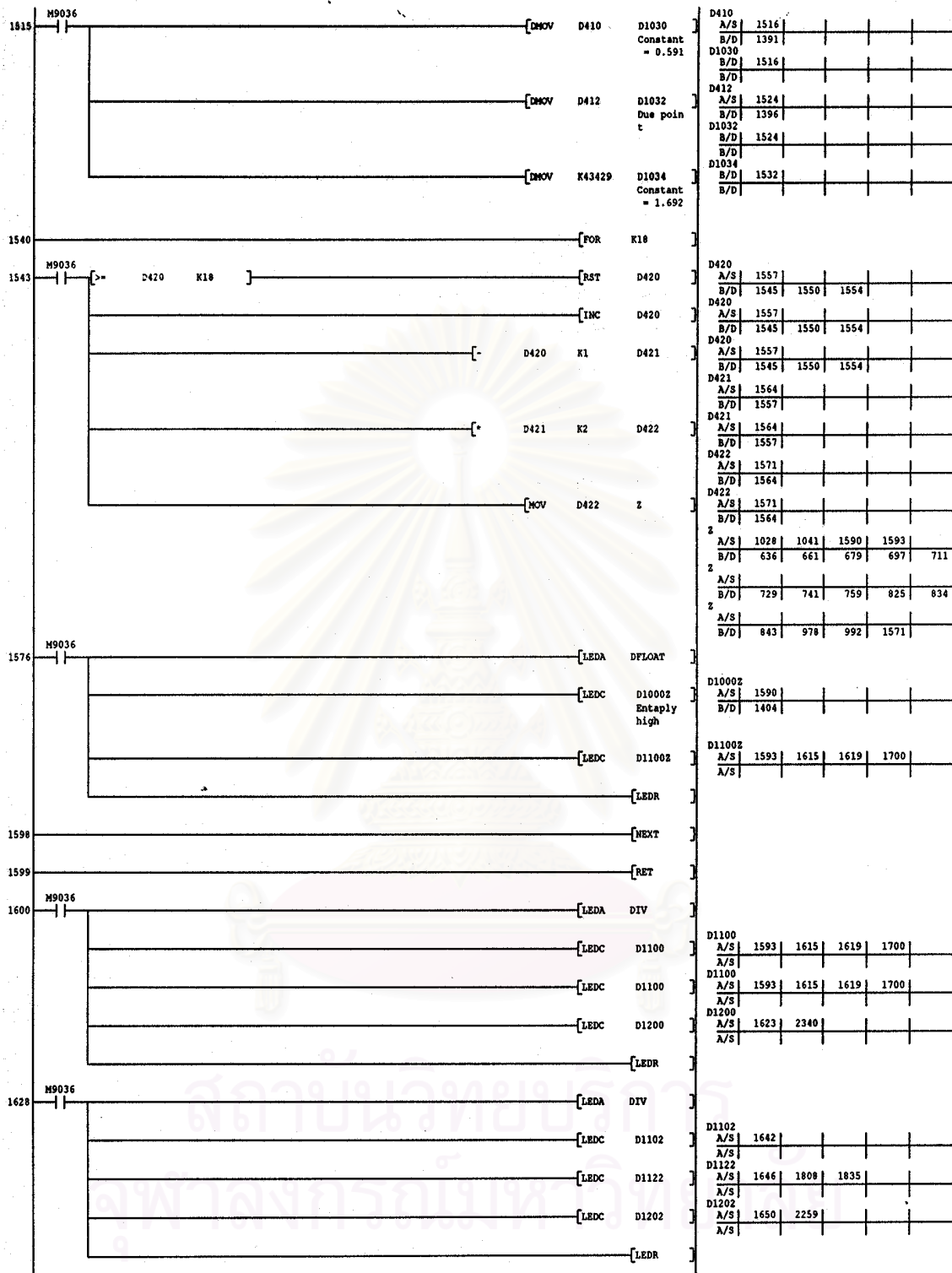
| | | | | | |
|-------|------|------|------|------|-----|
| D101 | | | | | |
| B/D | 850 | 940 | | | |
| B/D | | | | | |
| V | | | | | |
| B/D | 850 | 855 | 860 | 865 | 870 |
| B/D | 875 | 880 | 885 | 890 | 895 |
| V | | | | | |
| B/D | 929 | 949 | | | |
| B/D | | | | | |
| D150 | | | | | |
| A/S | 966 | | | | |
| A/S | | | | | |
| D168 | | | | | |
| A/S | 970 | 985 | 992 | | |
| B/D | 975 | 982 | | | |
| z | | | | | |
| A/S | 1028 | 1041 | 1590 | 1593 | |
| B/D | 636 | 661 | 679 | 697 | 711 |
| z | | | | | |
| A/S | | | | | |
| B/D | 729 | 741 | 759 | 825 | 834 |
| z | | | | | |
| A/S | | | | | |
| B/D | 843 | 978 | 992 | 1571 | |
| D168 | | | | | |
| A/S | 970 | 985 | 992 | | |
| B/D | 975 | 982 | | | |
| D168 | | | | | |
| A/S | 970 | 985 | 992 | | |
| B/D | 975 | 982 | | | |
| D169 | | | | | |
| B/D | 985 | | | | |
| D168 | | | | | |
| A/S | 970 | 985 | 992 | | |
| B/D | 975 | 982 | | | |
| z | | | | | |
| A/S | 1028 | 1041 | 1590 | 1593 | |
| B/D | 636 | 661 | 679 | 697 | 711 |
| z | | | | | |
| A/S | | | | | |
| B/D | 729 | 741 | 759 | 825 | 834 |
| z | | | | | |
| A/S | | | | | |
| B/D | 843 | 978 | 992 | 1571 | |
| W480 | | | | | |
| A/S | 998 | | | | |
| A/S | | | | | |
| D171 | | | | | |
| B/D | 998 | | | | |
| B/D | | | | | |
| W400 | | | | | |
| A/S | 1008 | | | | |
| A/S | | | | | |
| D176 | | | | | |
| B/D | 1008 | | | | |
| B/D | | | | | |
| W440 | | | | | |
| A/S | 1018 | | | | |
| A/S | | | | | |
| D181 | | | | | |
| B/D | 1018 | | | | |
| B/D | | | | | |
| D170Z | | | | | |
| A/S | 1028 | 1041 | | | |
| A/S | | | | | |
| D250 | | | | | |
| A/S | 1036 | 1049 | 1062 | | |
| B/D | 1041 | 1054 | 1067 | | |
| D260 | | | | | |
| A/S | 1054 | 1067 | | | |
| A/S | | | | | |
| D250 | | | | | |
| A/S | 1036 | 1049 | 1062 | | |
| B/D | 1041 | 1054 | 1067 | | |
| D260 | | | | | |
| A/S | 1054 | 1067 | | | |
| A/S | | | | | |
| D250 | | | | | |
| A/S | 1036 | 1049 | 1062 | | |
| B/D | 1041 | 1054 | 1067 | | |
| L1000 | | | | | |
| A/S | 1075 | 1084 | 1088 | | |
| B/D | 1076 | 1083 | | | |
| D300 | | | | | |
| A/S | 1077 | | | | |
| B/D | 1085 | 1090 | | | |
| D302 | | | | | |
| A/S | 1094 | | | | |
| B/D | 1077 | | | | |
| L1000 | | | | | |
| A/S | 1075 | 1084 | 1088 | | |
| B/D | 1076 | 1083 | | | |
| D300 | | | | | |
| A/S | 1077 | | | | |
| B/D | 1085 | 1090 | | | |
| D300 | | | | | |
| A/S | 1077 | | | | |
| B/D | 1085 | 1090 | | | |

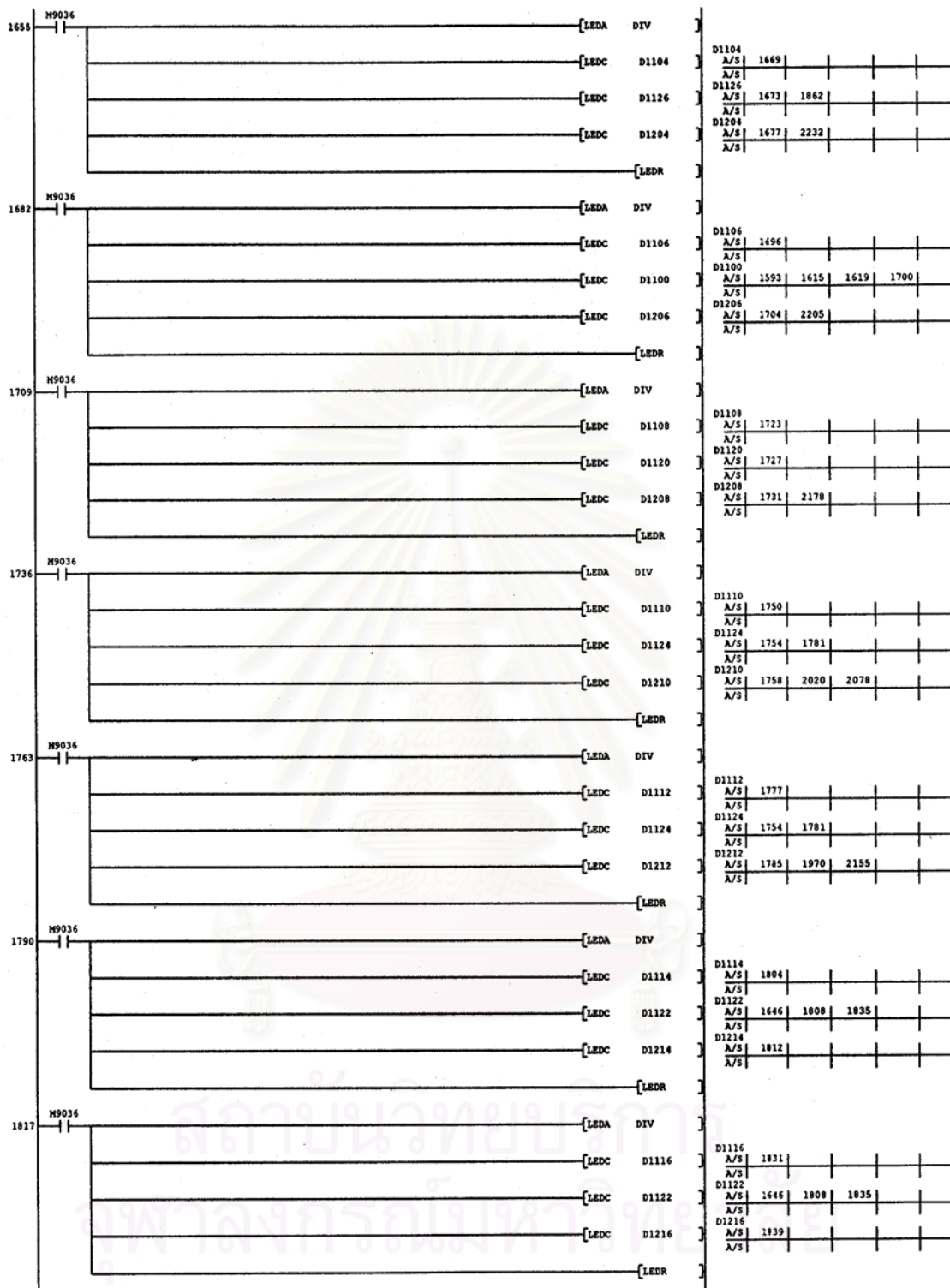


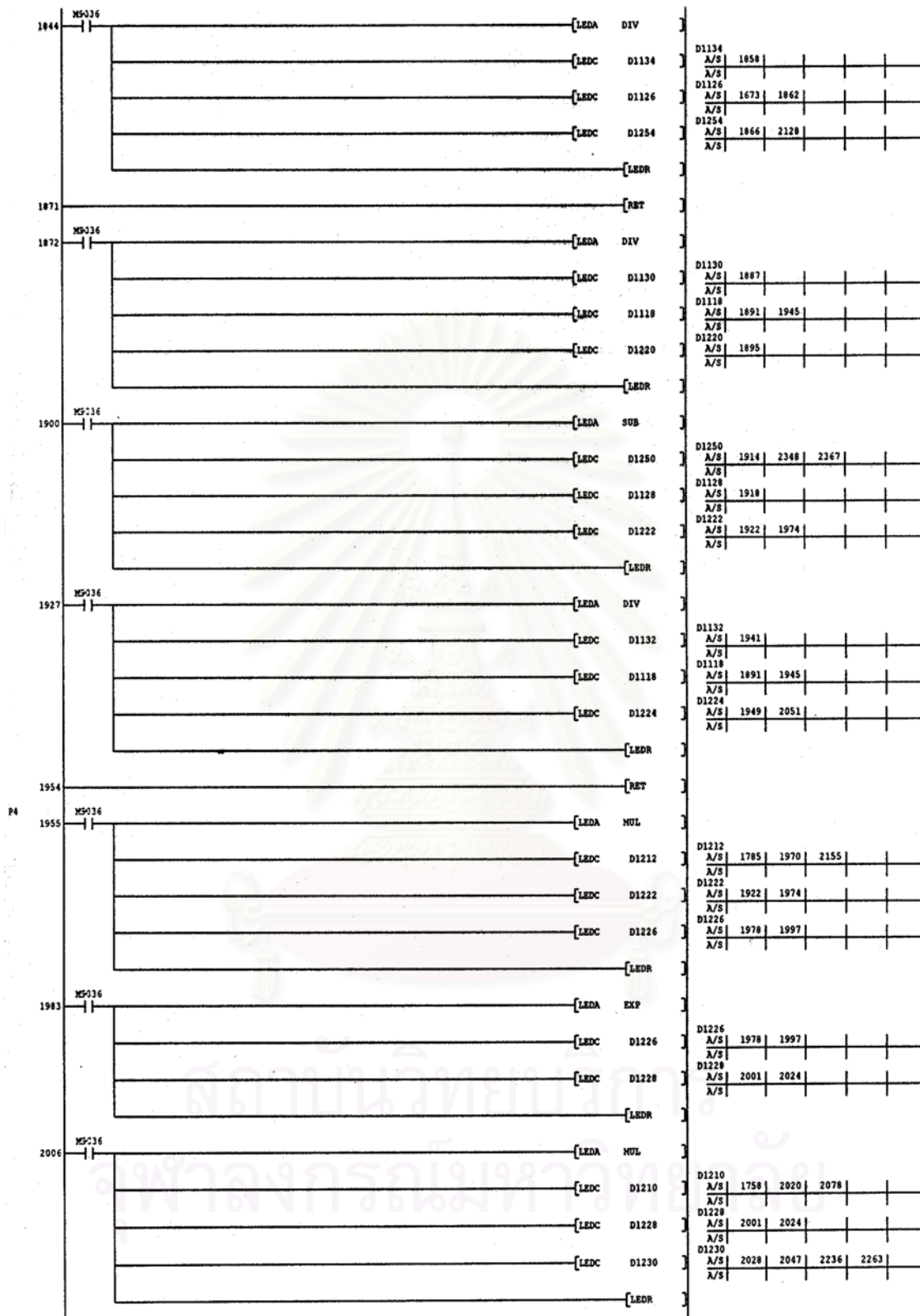


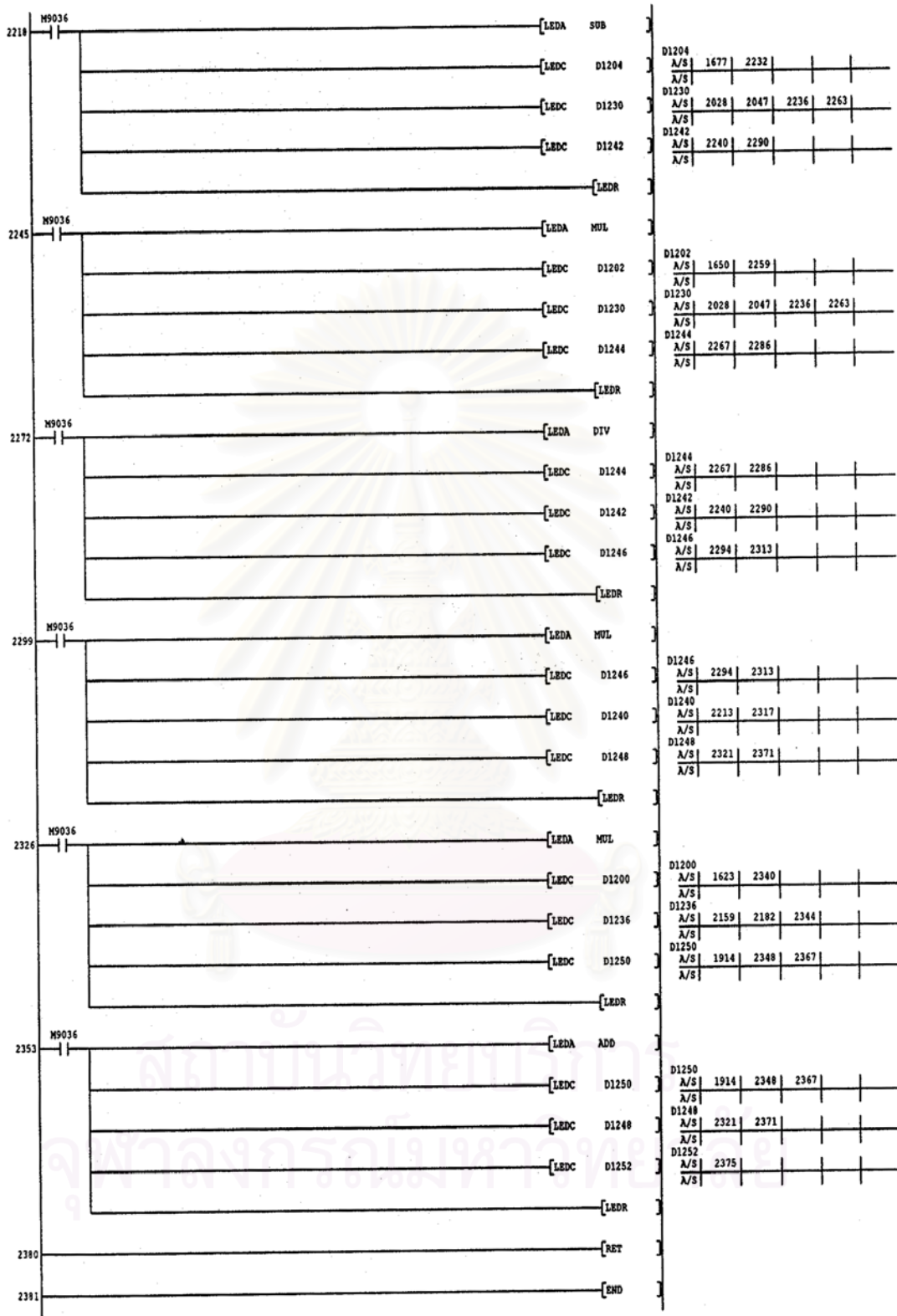



สถาบันวิทยบริการ
จุฬาลงกรณ์มหาวิทยาลัย







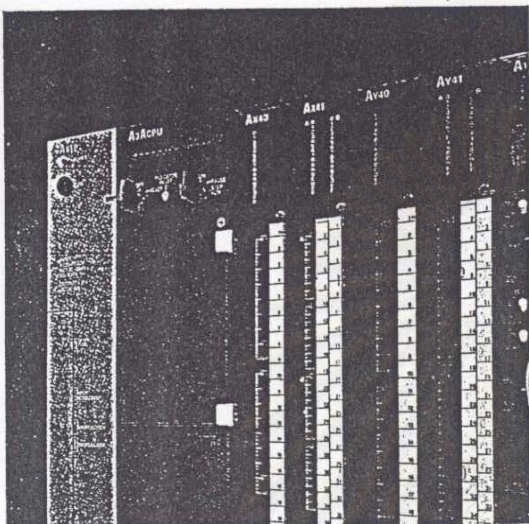




ภาคผนวก ง.
คุณสมบัติของ MITSUBISHI PLC

สถาบันวิทยบริการ
จุฬาลงกรณ์มหาวิทยาลัย

AnU, AnA and AnN CPUs



At the forefront of PLC design, featuring the world's first microprocessor to be developed for sequence applications. The result: lightning fast processing and response speeds.

There are 3 classes and 25 discrete CPU modules. AnNCPU, the lowest class of CPU modules, give standard performance suitable for most PLC applications and are one of the world's best selling PLCs. AnA CPU, the middle class CPU module, gives one of the world's fastest processing performances achieved by Mitsubishi Sequence Processor, a dedicated processor. The performance of AnACPU has stretched and redefined the limit of PLC application capability. Now even greater usability and functionality are realized with AnU Series CPU's. Building on the strength of AnA Series this range of CPU's further enhances networking and data manipulation tasks with extended device ranges that go well beyond the abilities of previous CPU's. More memory than before allows creation of even more complex routines and larger programs.

■ High speed processing

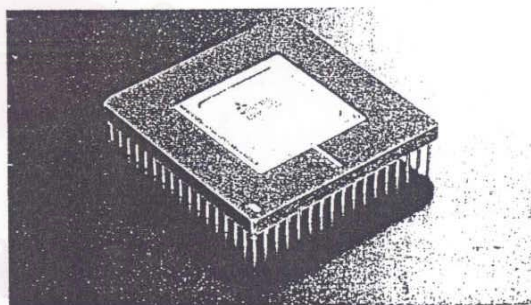
Processing speeds for sequence and numerical instructions have been made lightning quick using the MSP microprocessor. Only 150 nanoseconds for each sequence instruction is needed. High speed file register access can also be carried out in only a

few micro-seconds. In addition the overhead time at the end of the program for diagnostics, house-keeping etc. has been reduced to levels previously not possible.

Processing speed

(μsec)

| | A3U/A3A | A2U/A2A | A3N/A2N |
|----------------------|---------|---------|-------------|
| LD X (Refresh mode) | 0.15 | 0.2 | 1.0 |
| OUT Y (Refresh mode) | 0.3 | 0.4 | 1.0 |
| MOV D0 D1 | 0.9 | 1.2 | Approx. 50 |
| MOV D0Z D1Z | 0.9 | 1.2 | Approx. 100 |
| ::D0 D1 D2 | 2.25 | 3.0 | Approx. 100 |



■ Extended networking functions

All A Series PLC support industry standard network systems such as Ethernet, PROFIBUS, MODBUS, and Mitsubishi's MELSECNET systems.

In addition, a newly developed 10M bps network, MELSECNET/10, is added to the supported network line up. All A Series CPU modules are compatible with MELSECNET/10 network and can exist in same network segment. The combination of MELSECNET/10 and AnU can offer maximum functionality and

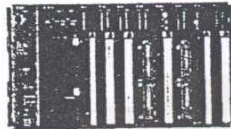
performance such as a floating master function, increased 8k bits + 8k words of cyclically refreshed network device memory, 4 network segments per PLC and so on, in addition to conventionally available cable redundancy and network diagnostic monitor.

Furthermore, the new open field network, CC-Link, is supported by all A Series PLCs.

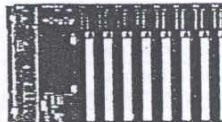
AnU, AnA and AnN CPUs



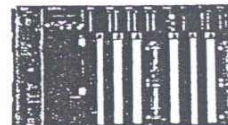
A1N CPU



A2N CPU
A2ACPU
A2UCPU



A2N CPU-S1
A2ACPU-S1
A2UCPU-S1



A3N CPU
A3ACPU
A3UCPU
A4UCPU

Large memory/program capacity

The A Series enables choice of memory size by removable memory cassette construction so that users can find the most economical memory size. From the smallest 16k byte memory cassette, A3NMCA-2, to the largest 1M byte, A4UMCA-128, 9 different memory cassette sizes are available. In addition, three additional EPROM type memory cassettes are provided for AnU users. Those memory cassette have EEPROM memory as non-volatile program storage in addition to the same size of SRAM memory.

Large I/O control

With the highest specification model of AnN or AnA, up to 2048 I/O can be controlled. With AnU, a CPU can control 512/1024/2048/4096 I/O depending on the model. This number of I/O can be directly connected to the CPU rack but, all AnU CPU models have the capacity to control 8192 I/O, this is total of the directly connected I/O plus I/O controlled through the remote I/O system of MELSECNET/10 or CC-Link.

Compatibility

Compatibility is maintained among the AnN, AnA and AnU CPU's. All I/O modules, power supply modules, mounting racks, special function modules are common to all these CPU models. Also, the sequence program is upwardly compatible from AnN to AnA to AnU. In addition, programs for A Series are also compatible with A2C and AnS compact PLC Series.

Advanced RAS and debugging functions

Seventy six diagnostic items are available. An error history log provides a list of the last 16 errors. Included is the time of error generation and details of which error occurred. CHK instructions identify the presence of user specified patterns at the PLC's input lines to identify faults in external circuits. On-line sampling trace, status latch and device memory bus monitoring functions are also available. Each of these contribute to the AnA's highly advanced performance characteristics.

Complete self diagnosis functions

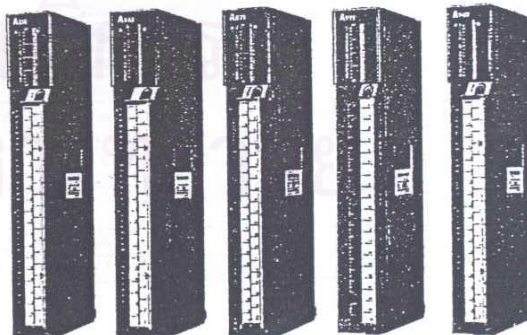
A watchdog timer (WDT) which can be set in 10 ms increments up to a maximum of 2 sec., this function monitors calculation congestion.

CPU fault detection such as arithmetic circuit check and RAM memory check.

Memory fault detection by command check and parameter check.

Automatic measurement of scan.

Comment display of detected fault (A3N only).



* Refer to ACPU (Common instructions) IBNA 66250-B for further information.

AnU, AnA and AnN CPUs

Specifications

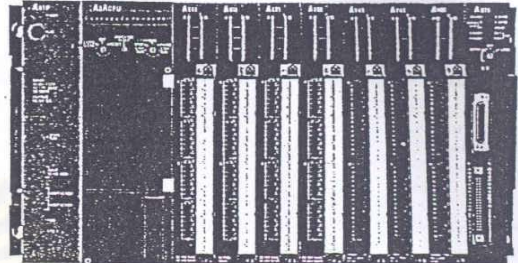
| Item | A4UCPU | A3UCPU | A2UCPU-S1 | A2UCPU |
|---|--|---|----------------------------------|-----------------|
| Control system | Repeated operation using stored program | | | |
| I/O control method | Refresh mode (direct mode can be used partially in accordance with the instruction) | | | |
| Programming language | Language dedicated to sequence control. Combined use of relay symbol type and logic symbol type. | | | |
| Number of instructions | Sequence instructions | 25 | | |
| | Basic instructions | 235 | 233 | |
| | Application instructions | 204 | | |
| Processing speed (sequence instruction) | 0.15 μ sec/step | | 0.2 μ sec/step | |
| I/O points | Total incl. remote | 8192 | | |
| | Local | 4096 | 2048 | 1024 |
| Watchdog timer (WDT) | 200 msec | | | |
| Memory capacity | 1024k byte | | 448k byte | |
| Compatible memory cassette | A3NMCA-0 to 56 A3AMCA-96 A4UMCA-128 A4UMCA-8E A4UMCA-32E A4UMCA-128E | A3NMCA-0 to 56 A3AMCA-96 A4UMCA-8E, 32E | A4UMCA-8E, 32E A3NMCA-0 to 56 | |
| Program capacity | Main | 30k step | 30k step | 14k step |
| | Sub | 30k step \times 3 | 30k step | N/A |
| Internal relay (M) | 7144 points (M0 to 999, M2048 to 8191) (default value) | | | |
| Latch relay (L) | 1048 points (L1000 to 2047) (default value) | | | |
| Link relay (B) | 8192 points (B0 to 1FFF) | | | |
| Time (T) | Number of points | 2048 points (default 256) | | |
| | 100 ms | T0 to T199 (0.1 to 3276.7 sec) | | |
| | 10 ms | T200 to T255 (0.01 to 327.67 sec) | | |
| | 100 ms retentive timer | None (default value) (0.1 to 3276.7 sec) | | |
| | Extension timer | T256 to T2047 | | |
| Counter (C) | Number of points | 1024 points (default 256) | | |
| | Normal counter | C0 to C255 (range: 0 to 32767) | | |
| | Interrupt counter | None (default value) | | |
| | Extension counter | C256 to C1023 | | |
| Data register (D) | 8192 points (D0 to D8191) | | | |
| Link register (W) | 8192 points (W0 to W1FFF) | | | |
| Annunciator (F) | 2048 points (F0 to F2047) | | | |
| File register (R) | Max. 8192 points (R0 to R8191) | | | |
| Accumulator (A) | 2 points (A0, A1) | | | |
| Index register (V, Z) | 14 points (V, V0 to V6, Z, Z1 to Z6) | | | |
| Pointer (P) | 256 points (P0 to P255) | | | |
| Interrupt pointer (I) | 32 points (I0 to I31) | | | |
| Special relay (M) | 256 points (M9000 to M9255) | | | |
| Special register (D) | 256 points (D9000 to D9255) | | | |
| Self diagnostic functions | Watch dog timer, memory error detection, CPU error detection, I/O error detection, battery error detection, etc. | | | |
| Operation mode at time of error | STOP / CONTINUE | | | |
| STOP to RUN mode | Output data at time of STOP restored/data output after operation execution | | | |
| Allowable momentary power failure | 20 ms | | | |
| Current consumption (DC 5V) | 0.5A | 0.5A | 0.4A | 0.4A |
| Weight | 0.6 kg / 1.3 lb | 0.6 kg / 1.3 lb | 0.5 kg / 1.1 lb | 0.5 kg / 1.1 lb |

AnU, AnA and AnN CPUs

| A3ACPU (P21/R21) | A2ACPU-S1 (P21/R21) | A2ACPU (P21/R21) | A3NCP (P21/R21) | A2NCP-S1 (P21/R21) | A2NCP (P21/R21) | A1NCP (P21/R21) |
|--|------------------------|---------------------|---|-----------------------|--------------------|--------------------|
| Repeated operation using stored program | | | | | | |
| Refresh mode (direct mode can be used partially in accordance with the instruction) | | | Refresh mode or direct mode (switchable) | | | |
| Language dedicated to sequence control. Combined use of relay symbol type and logic symbol type. | | | | | | |
| 25 | | | 26 | | | |
| 235 | 233 | | 242 | 238 | | 234 |
| 200 | | | N/A | | | |
| 0.15μsec/step | 0.2μsec/step | | 1.0-2.3μsec/step in direct mode, 1.0μsec/step in refresh mode | | | |
| 2048 | 1024 | 512 | 2048 | 1024 | 512 | 256 |
| 2048 | 1024 | 512 | 2048 | 1024 | 512 | 256 |
| 200 msec | | | 10 to 2000 msec | | | |
| 768k byte | 448k byte | | 320k byte | | | 16k byte |
| A3NMCA-0 to 96 | A3NMCA-0 to 56 | | A3NMCA-0 to 40 | | | |
| 30k step | 14k step | | 30k step | 14k step | | 6k step |
| 30k step | N/A | | 30k step | N/A | | |
| 7144 points (M0 to 999, M2048 to 8191) (default value) | | | 1000 points (M0 to 999) (default value) | | | |
| 1048 points (L1000 to 2047) (default value) | | | 1048 points (L1000 to 2047) (default value) | | | |
| 4096 points (B0 to FFF) | | | 1024 points (B0 to 3FF) | | | |
| 2048 points (default 256) | | | 256 points | | | |
| T0 to T199 (0.1 to 3276.7 sec) | | | T0 to T199 (0.1 to 3276.7 sec) | | | |
| T200 to T255 (0.01 to 327.67 sec) | | | T200 to T255 (0.01 to 327.67 sec) | | | |
| None (default value) (0.1 to 3276.7 sec) | | | None (default value) (0.1 to 3276.7 sec) | | | |
| T256 to T2047 | | | N/A | | | |
| 1024 points (default 256) | | | 256 points | | | |
| C0 to C255 (range: 0 to 32767) | | | C0 to C255 (range: 0 to 32767) | | | |
| None (default value) | | | None (default value) | | | |
| C256 to C1023 | | | N/A | | | |
| 6144 points (D0 to D6143) | | | 1024 points (D0 to D1023) | | | |
| 4096 points (W0 to WFFF) | | | 1024 points (W0 to W3FF) | | | |
| 2048 points (F0 to F2047) | | | 256 points (F0 to F255) | | | |
| Max. 8192 points (R0 to R8191) | | | Max. 4096 points (R0 to R4095) | | N/A | |
| 2 points (A0, A1) | | | | | | |
| 14 points (V, V0 to V6, Z, Z1 to Z6) | | | 2 points (V, Z) | | | |
| 256 points (P0 to P255) | | | | | | |
| 32 points (I0 to I31) | | | | | | |
| 256 points (M9000 to M9255) | | | | | | |
| 256 points (D9000 to D9255) | | | | | | |
| Watch dog timer, memory error detection. CPU error detection, I/O error detection, battery error detection, etc. | | | | | | |
| STOP / CONTINUE | | | | | | |
| Output data at time of STOP restored/data output after operation execution | | | | | | |
| 20 ms | | | | | | |
| 0.6A | 0.4A | 0.4A | 0.9A | 0.73A | 0.73A | 0.53A |
| 0.7 kg / 1.5 lb | 0.7 kg / 1.5 lb | 0.7 kg / 1.5 lb | 0.65 kg / 1.4 lb | 0.62 kg / 1.4 lb | 0.62 kg / 1.4 lb | 1.45 kg / 3.2 lb |

System Configuration

A totally flexible, easy to construct system that can be configured to meet your requirements



■ Configuring your system

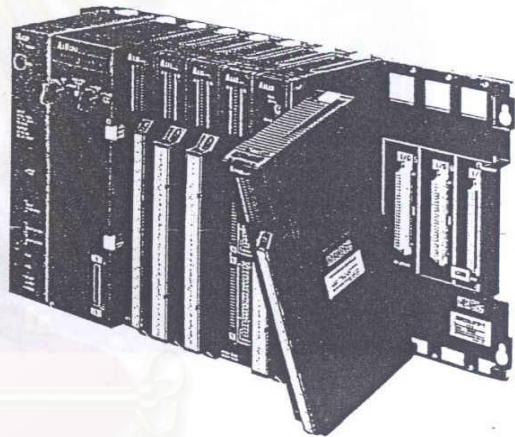
System configuration when using the AnU, AnA and AnN Series is very simple because of its well designed modular construction. Each CPU base unit must include both power supply & CPU (A1NCPU has built in power supply).

Up to 7 extension base units can then be connected to the CPU base unit. They can be installed above, below, or to the side of the CPU base unit depending on extension cable length.

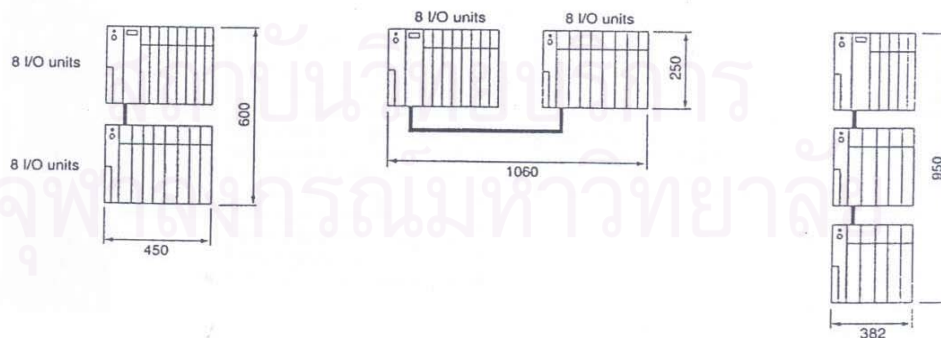
■ Securing the modules to the base units

All the modules are fitted to the base units in a very simple, but effective manner. The module is hooked on to the bottom of the base unit and then pushed back into place as shown here. A clip at the top of the module then holds the module firmly in place on the base unit.

When mounting the PLC in environments subject to shock or vibration, mounting screws can be used to fix the modules more securely to the base unit at the top and bottom.



■ Reducing panel space

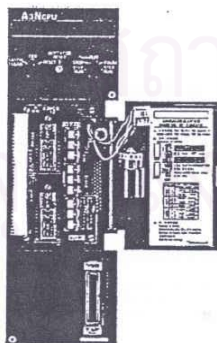
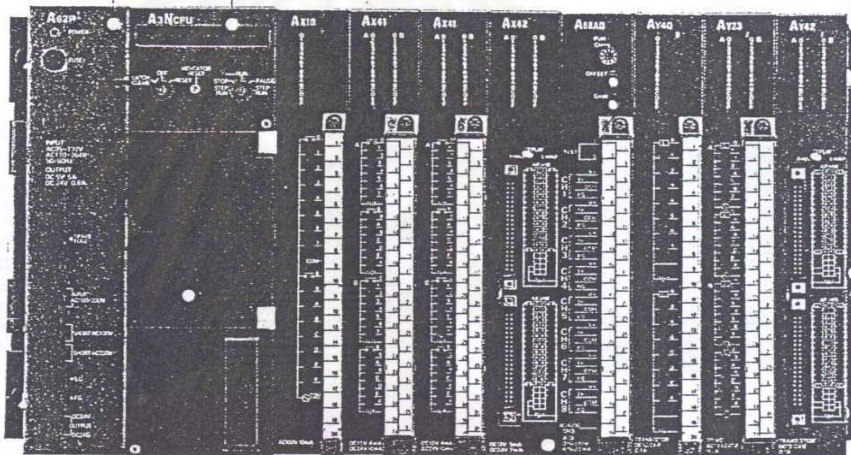


System Configuration

Power supply modules
 These should be selected according to the input power supply used and the total current consumption of the I/O modules and CPU modules in the CPU and/or extension base units.
 A61P, A62P, A61PEU, A62PEU, A63P and A65P.

CPU modules
 Selected according to functionality required and the number of I/O points to be controlled
 A2A, A2A-S1, A3A, A1N, A2N, A2N-S1, A3N.

CPU base unit
 Selected according to the number of I/O modules required to be mounted in the same base unit as the CPU module
 A35B, A38B.



Memory modules
 Each CPU must include a memory module. This unit contains the RAM memory into which the program for the module is written and stored. EPROMS can also be installed in these modules. Selection depends on the program size required.

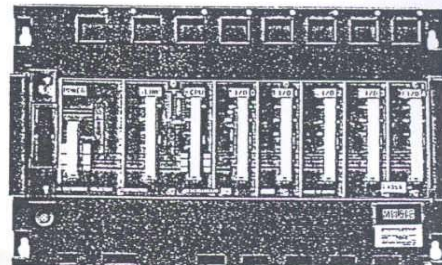
I/O modules
 Discrete I/O and special function modules can be installed on to the CPU base unit and extension base units in vacant I/O slots as required.

Extension base units
 Up to 7 extension bases can be connected to the CPU base.

CPU Base Units and Cables

■ CPU base units

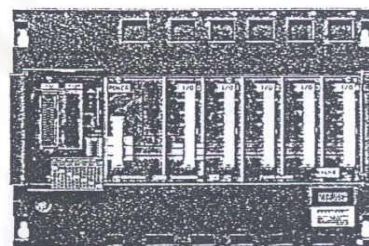
One CPU base unit is required for each AnU, AnA or AnN system. Each allows for one power supply module, one CPU module, and a maximum of either 2, 5 or 8 single slot size I/O modules. At either end of the base unit there is an expansion port for the connection of extension bases.



| Item | A32B | A35B | A38B |
|-------------------------------|---|--------------------------------------|-------------------------------------|
| Maximum number of I/O modules | 2 | 5 | 8 |
| Extension base connection | Not possible | Possible | Possible |
| Installation hole size | 6mm (0.24 inch) dia. per shaped hole (for M5 screw) | | |
| External dimensions mm (inch) | 247 (9.72) x 250 (9.84) x 29 (1.14) | 382 (15.04) x 250 (9.84) x 29 (1.14) | 480 (18.9) x 250 (9.84) x 29 (1.14) |

■ Extension base units

There are two different types of extension base units. One which allows for a power supply module; the other, which does not. Selection of which type should be used depends on the total 5 VDC current demand made on the power supply in the CPU base unit. If this total demand is lower than the output of the one power supply, then an additional power supply is not required and the more economical extension base unit can be used. There are two extension ports at either end of the unit and connection to other base units is made via extension cables.



| Item | A65B | A68B | A55B | A58B |
|-------------------------------|---|--------------------------------------|--------------------------------------|--------------------------------------|
| Maximum number I/O modules | 5 | 8 | 5 | 8 |
| Power supply need | Power supply required | | Power supply not required | |
| Installation hole size | 6mm (0.24 inch) dia. per shaped hole (for M5 screw) | | | |
| External dimensions mm (inch) | 352 (13.86) x 250 (9.84) x 29 (1.14) | 466 (18.35) x 250 (9.84) x 29 (1.14) | 297 (11.69) x 250 (9.84) x 29 (1.14) | 411 (16.18) x 250 (9.84) x 29 (1.14) |

■ Extension cables

These extension cables are used to connect two base units together. There are three different lengths of cable available: as shown below.

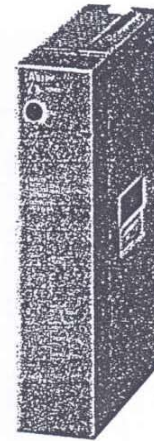


| Item | AC06B | AC12B | AC30B |
|---------------------|---------------|---------------|-------------|
| Cable length m (ft) | 0.6m (1.97ft) | 1.2m (3.94ft) | 3m (9.84ft) |

Power Supplies and Memory Modules

■ Power supply modules

Each A Series system requires at least one power supply module installed on the CPU base. Additional power supplies are necessary if A65B or A68B extension base units are used in the system configuration. The power supply requires an external power source of either 100/120VAC or 200/240VAC for A61P, A62P, A61PEU, A62PEU & A65P, 24VDC for A63P.



■ LVD compliant modules

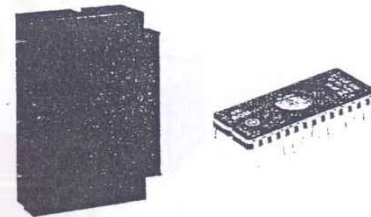
From the 1st January 1997 the Low Voltage Directive (LVD) became mandatory within the EU. This directive is mainly concerned with the safety of electrical equipment operating above specified voltage levels. A61PEU, A62PEU and A63P have been newly developed to comply with relevant European safety standards EN61010-1 and EN61131-2 (applicable safety clauses only).



| Model number | Input voltage | Rated output |
|--------------|----------------------------------|--------------------------|
| A61P | 100 to 120 VAC or 200 to 240 VAC | 5VDC, 8A |
| A61PEU | | |
| A62P | 100 to 120 VAC or 200 to 240 VAC | 5 VDC, 5A & 24 VDC, 0.8A |
| A62PEU | | |
| A63P | 24 VDC | 5 VDC, 8A |
| A65P | 100 to 120 VAC or 200 to 240 VAC | 5 VDC, 2A & 24 VDC, 1.5A |

■ Memory modules & IC's

All AnU, AnA and AnN CPU's require the installation of a memory module or chip before it can be operational. The memory modules and IC's available for use are shown in the table below. Maximum memory and CPU modules to which they are applicable are indicated.



■ Memory modules

| Item | A3NMCA-0 | A3NMCA-2 | A3NMCA-4 | A3NMCA-8 | A3NMCA-16 | A3NMCA-24 | A3NMCA-40 | A3NMCA-56 | A3NMCA-96 | A4UMCA-128 | A4UMCA-8E | A4UMCA-32E | A4UMCA-128E | |
|-------------------------------|---|------------|----------|----------|-----------|-----------|-----------|-----------|-----------|------------|-----------|-----------------------|-------------|-----|
| RAM memory capacity | None installed | 16k | 32k | 64k | 128k | 192k | 320k | 448k | 768k | 1024k | 64k | 256k | 1024k | |
| Number of ROM loading sockets | 2 sockets for 28 pin ICs | | | | | | | | | | | | | |
| Loadable ROM type | 4KROM, 8KROM, 16KROM | | | | | | | | | | | | | |
| Loadable RAM type | 4KRAM | Unloadable | | | | | | | | | | | | |
| Applicable CPU | A3A, A2A-S1, A2A, A3M, A3N, A2N-S1, A2N | | | | | | | | | A3A | A4U | A4U, A3U, A2U-S1, A2U | | A4U |

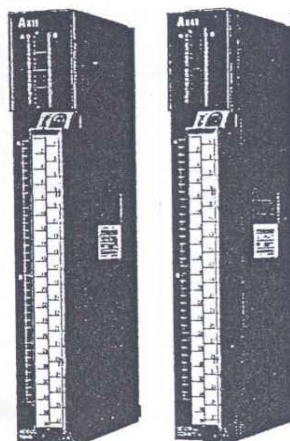
■ Memory IC's

| Item | 4KRAM | 4KROM | 8KROM | 16KROM |
|-----------------------|---|---------|----------------------------|----------|
| Memory specifications | IC-RAM, read and write possible | | EP-ROM, read only possible | |
| Memory capacity | 8k byte | 8k byte | 16k byte | 32k byte |
| Structure | 28 pin IC package | | | |
| Remarks | When loading IC's into memory module or A1NCPU, two identical type IC's are required. | | | |

Input Modules

A complete range of input modules, suitable for all types of input devices.

There are over 16 different input modules available for use with the AnU, AnA & AnN Series. Covering a wide range of voltages. From AC types to DC types, and even sensor input modules. you can choose the one which is correct for your application needs. They are available in 16, 32 or 64 point densities. All of them feature LED operation indicators and screen printed wiring diagrams on the front of the module. Modules fitted with terminal blocks can easily have them removed for ease of maintenance. Connector type models are simple to wire using standard type connectors.



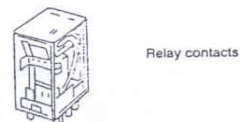
■ AC input modules

There are three different AC input voltage types, available: 24 VAC, 110 VAC and 230 VAC. All are available in either 16 or 32 point densities. All have terminal block assemblies which can be removed for ease of maintenance.



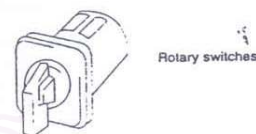
■ DC input modules

There are three different DC input voltage types, available: 12/24 VDC, 48 VDC and 100/125 VDC sink or source logic. All are available in 16 or 32 input point densities. The 12/24 VDC types also available with 64 input points/module. The 16 and 32 point modules use a removable terminal block for connection. The 64 point modules use either two 37 pin D type connectors or two FCN type connectors.



■ Sensor input modules

These are for use with CMOS IC type input devices. They operate at voltage ranges of 4.5 to 5.5 VDC, and 10.2 to 26.4 VDC sink or source logic. They are available in both 16 and 32 input point densities, each of them using removable terminal blocks for connection.



■ LVD compliant modules

From the 1st January 1997 the Low Voltage Directive (LVD) became mandatory within the EU. This directive is mainly concerned with the safety of electrical equipment operating above specified voltage levels. AX11EU and AX21EU have been developed to comply with relative European safety standards EN61010-1 and EN61131-2 (applicable safety clauses only).

CE

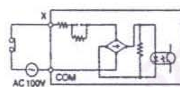
Input Modules

■ AnU, AnA and AnN input module specifications

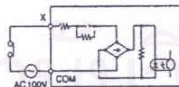
| Part number | Input type | Number of input points | Isolation method | Input voltage | Input current | Response time | | Trigger voltage/current | | Indication | Connection type | Points/common | 5 VDC current consumption | | | |
|-------------|-------------------------|------------------------|------------------|----------------|---------------|---------------|--------|-------------------------|-----------------------------|--------------|-----------------|---------------|---------------------------|-------|-------------------|-------------------|
| | | | | | | OFF-ON | ON-OFF | ON | OFF | | | | | | | |
| AX10 | AC | 16 | Photo-coupler | AC 100-120 | 10mA | 15 ms | 25 ms | 80V | 40V | LED | Terminal block | 16 | 55mA | | | |
| AX11 | | 32 | | | | | | | | | | 32 | 110mA | | | |
| AX11EU | | | | | | | | | | | | | 150mA | | | |
| AX20 | | 16 | | | | | | | | | | AC 200-240 | 160V | 70V | 16 | 55mA |
| AX21 | | 32 | | | | | | | | | | | | | 32 | 110mA |
| AX21EU | | | | | | | | | | | | | | | | 150mA |
| AX31 | | AC 24 | | 7V | 2.7V | 32 | 110mA | | | | | | | | | |
| AX40 | DC sink logic | 16 | | DC 12/24 | 4/10mA | 10 ms | 10 ms | 9.5V | 6V | | 8 | 8 | 55mA | | | |
| AX41 | | 32 | | | | | | | | | | 3/7mA | 32 | 110mA | | |
| AX42 | | 64 | | | | | | | | | | | 2 x FCN connector | 32 | 120mA | |
| AX50-S1 | DC sink or source logic | 16 | | DC 48 | 4mA | | | 34V | 10V | | Terminal block | 8 | 55mA | | | |
| AX60-S1 | | | | DC 100/110/125 | 2mA | 10 ms | 20 ms | 80V | 20V | | | | 55mA | | | |
| AX70 | | | DC 5/12/24 | | | | | | | 3.5/2/4.5 mA | | | 1.5 ms | 3 ms | 3.5/5V selectable | 1.2/2V selectable |
| AX71 | | | | 32 | 55mA | | | | | | | | | | | |
| AX80 | DC source logic | 16 | DC 12/24 | 4/10mA | 10 ms | 10 ms | 9.5V | 6V | 55mA | | | | | | | |
| AX80E | | | | | 5.5 ms | 6 ms | | | 55mA | | | | | | | |
| AX81-S1 | | | | | 10 ms | 10 ms | | | 5.6V | 2.4V | 110mA | | | | | |
| AX81-S2 | | 32 | DC 48/60 | 3/4mA | 20 ms | 20 ms | 31V | 10V | 110mA | | | | | | | |
| AX82 | | 64 | DC 12/24 | 3/7mA | 10 ms | 10 ms | 9.5V | 6V | 2 x 37 pin D type connector | 32 | 120mA | | | | | |

■ AnU, AnA and AnN input module wiring diagram

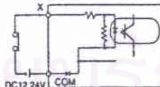
AX10, AX11



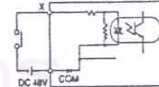
AX20, AX21



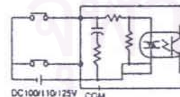
AX40, AX41, AX42



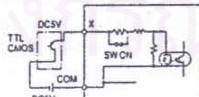
AX50-S1



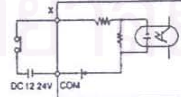
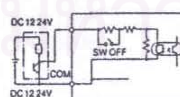
AX60-S1



AX70, AX71



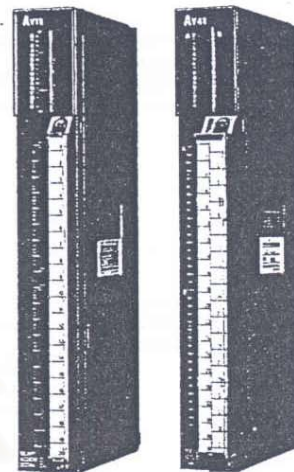
AX80, AX80E, AX81, AX81-S2



Output Modules

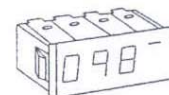
A full line up of output modules for all your automation needs

With over 30 types to choose from, the range of output modules available for use with the AnU, AnA and AnN Series cover nearly every automation output device you will ever use. There are four different types of output modules within the range, relay, triac/SSR, transistor, and TTL output types. Each come in 16 or 32 output point densities. The transistor output type is also available with 64 points/module. Detachable terminal blocks or connectors are used for making wiring connections and maintenance easier, and each module has LED's for output status indication.



■ Relay output modules

Relay outputs can be used from a minimum switching load of 5 VDC to a maximum switching voltage of 24 VDC or 264 VAC. All points isolated, as well as 8 points/common, with or without noise suppression, are available.



LED display

■ Triac /SSR output modules

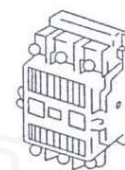
Triac output modules are for fast response applications where the rated switching voltage is between 100 and 240 VAC. There are two types of modules available. One with each output triac rated at a max. load current of 0.6 Amps, and the other with output triacs rated at 2 Amps. Both modules use a removable terminal block for wiring connections.



Indicator lamps

■ Transistor output modules

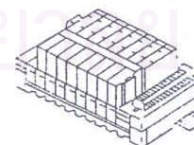
Transistor output modules are also used for fast response applications where the rated switching voltage is 12/24 VDC. They are available in sink or source logic configurations with the outputs rated at maximum load currents of 0.1, 0.5, 0.8 and 2 Amps. Modules which include electric short circuit protection are also available.



Magnetic contactors

■ TTL, CMOS output modules

These modules can directly drive TTL or CMOS ICs. Their operating load voltage is between 4.5 and 15 VDC with a maximum load current of 16 mA per point. Two different modules are available: 16 and 32 point densities.



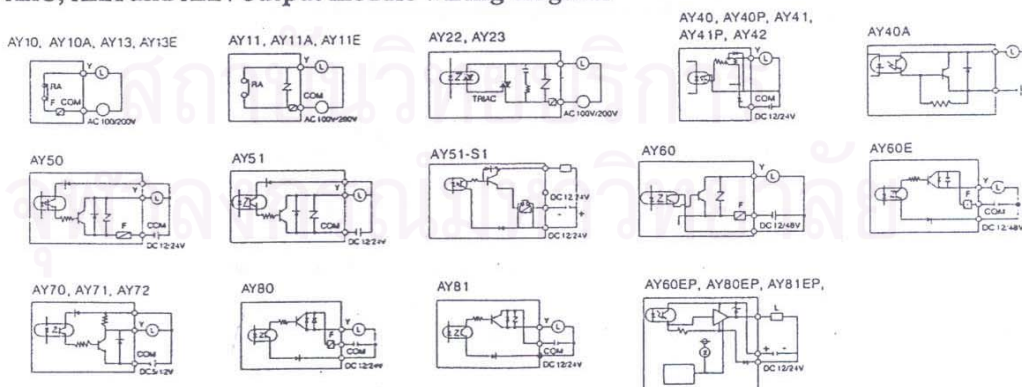
Electronic valves

Output Modules

■ AnU, AnA and AnN output module specifications

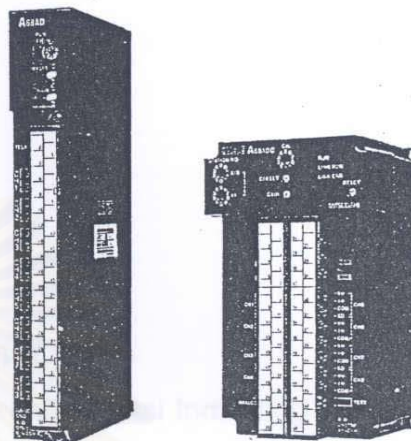
| Part number | Output type | Number of Input points | Isolation method | Load voltage | Load current | Response time | | Indication | Connection type | Points/ common | 5 VDC current consumption | |
|-------------|--------------------------|--------------------------|------------------|-----------------|--------------|---------------|--------------------------|------------|--------------------------|-----------------------|---------------------------|--------------------------|
| | | | | | | OFF-ON | ON-OFF | | | | | |
| AY10 | Relay | 16 | Photo-coupler | AC 240 DC 24 | 2A | 10ms | 12ms | LED | Removable terminal block | 8 | 150mA | |
| AY10A | | | | | | | | | | 1 | 150mA | |
| AY11 | | | | | | | | | | 8 | 150mA | |
| AY11A | | | | | | | | | | 1 | 115mA | |
| AY11E | | 8 | | | | | | | | 115mA | | |
| AY13 | | 230mA | | | | | | | | | | |
| AY13E | | 230mA | | | | | | | | | | |
| AY15EU | 24 | 220mA | | | | | | | | | | |
| AY20EU | Triac/SSR | 16 | | AC 100 - 240 | 0.6A | 1ms | 0.5cycle + 1ms | | | 4 | 400mA | |
| AY22 | | 2A | | | 8 | | | | | 305mA | | |
| AY23 | | 0.6A | | | 8 | | | | | 590mA | | |
| AY40 | Transistor, sink logic | 16 | | DC 12/24 | 0.1 | 2ms | 2ms | | | 2xFCN type connectors | 1 | 190mA |
| AY40A | | | | | 0.3A | | | | | | 8 | 115mA |
| AY40P | | | | | 0.1A | | | | | | 16 | 230mA |
| AY41 | | | 230mA | | | | | | | | | |
| AY41P | | 32 | 230mA | | | | | | | | | |
| AY42 | | 64 | 290mA | | | | | | | | | |
| AY50 | | 16 | 8 | | 115mA | | | | | | | |
| AY51 | | 32 | 0.5A | | 0.3A | | | 16 | 230mA | | 310mA | |
| AY51-S1 | | | | | | | | | | | | |
| AY60 | | Transistor, source logic | 16 | | DC 12/24/48 | | | 2A | 0.5ms | | 1.5ms | Removable terminal block |
| AY60E | 2A/0.8A | | | 115mA | | | | | | | | |
| AY60EP | DC 12/24 | | | 1ms | 75mA | | | | | | | |
| AY60S | DC 24/48 | | | 3ms | 100mA | | | | | | | |
| AY70 | Transistor, sink logic | 32 | DC 5/12 | 16mA | 1ms | 1ms | Removable terminal block | 16 | 200mA | | | |
| AY71 | | | | | | | | 32 | 300mA | | | |
| AY72 | | | | | | | | 64 | 8 | 115mA | | |
| AY80 | Transistor, source logic | 16 | DC 12/24 | 0.5A | 2ms | 2ms | Removable terminal block | 8 | 115mA | | | |
| AY80EP | | | | 0.8A | | | | 115mA | | | | |
| AY81 | | 32 | | 0.5A | | | | 2ms | 2ms | 16 | 230mA | |
| AY81EP | | | | 0.8A | | | | | | | | 230mA |
| AY82EP | | | | 64 | | | | | | | | 0.1A |

■ AnU, AnA and AnN output module wiring diagram



Analog Input Modules

■ Analog input modules



■ Intelligent A/D conversion using built-in microprocessors

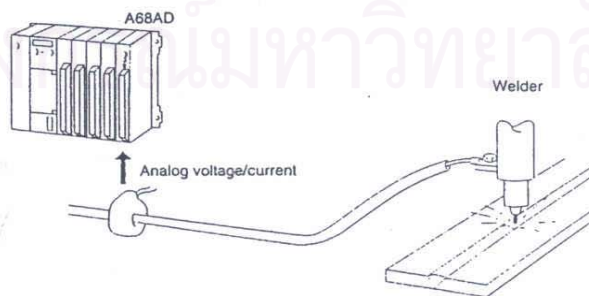
Analog input modules are available for all MELSEC A Series PLCs. Each is capable of accepting either current or voltage variable input signals. These signals are then converted in to a binary value by a built-in microprocessor, and can then be used for processing within the sequence program. Input


signals can be instantaneously read, or they can be sampled for user programmable time/count averaging processing. Setting offset and gain values for the converted values is also possible.

■ Analog input module specifications

| Part number | A68AD | A68ADC |
|--------------------------------|--|--------|
| Applicable A Series PLC | AnA and AnN Series | A2C |
| Number of output channels | 8 channels | |
| Analog output | Voltage: -10 to 0 to +10, input resistance 30k ohms Current: +4 to +20 mA, input resistance 250 ohms | |
| Digital input | -2048 to +2047 | |
| Maximum resolution | Voltage: 5 mV (1/2000), Current: 20 μ A (1/1000) | |
| Overall accuracy | $\pm 1\%$ | |
| Maximum conversion time | 25ms | |
| Absolute maximum analog output | Voltage: ± 15 VDC Current: ± 30 mA | |
| Insulation method | Photocoupler insulation between input terminals and internal circuitry. No isolation between channels | |
| I/O points required | 32 points | |

■ System configuration example



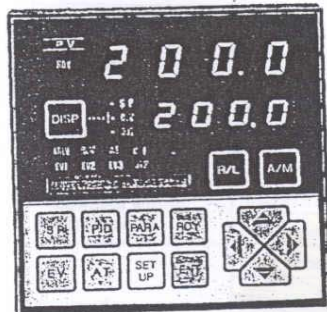


ภาคผนวก จ.

คุณสมบัติของYamatake SDC200 DigitroniK Digital Indicating Controller

สถาบันวิทยบริการ
จุฬาลงกรณ์มหาวิทยาลัย

SDC 200 DigitroniK Digital Indicating Controller



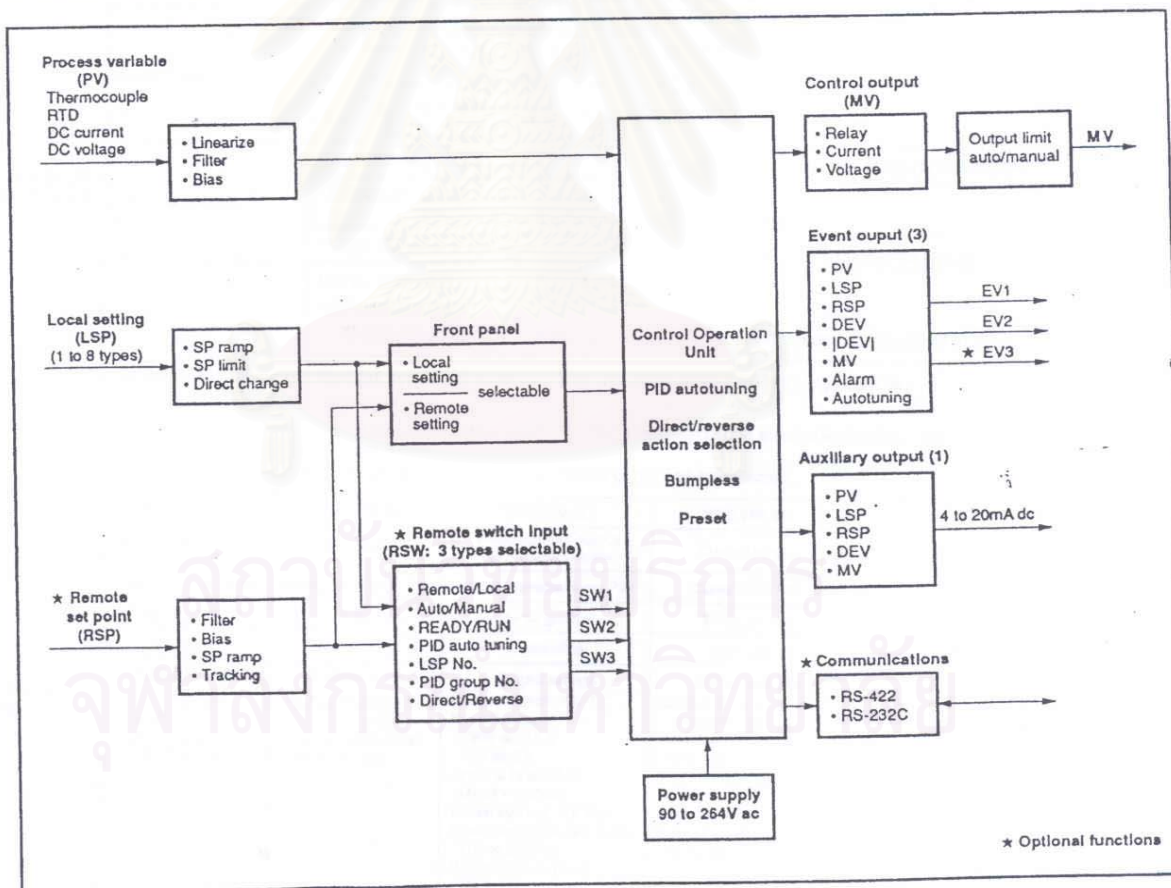
FEATURES

The DigitroniK SDC 200 is an accurate and compact (96mm x 96mm) digital indicating controller. The SDC200 is a multifunctional controller, to which a thermocouple signal, RTD signal, a DC voltage or DC current, etc. can be applied as input signals.

Its advanced PID autotuning capabilities, and heating/cooling control actions make it ideal for time proportional PID (ON/OFF), position proportional PID, continuous PID and heat/cool PID control. This instrument outputs a relay contact signal, voltage signal or current signal.

- Accuracy up to $\pm 0.2\%$ FS
- From 1 to 8 set points
- Autotuning system uses up to three sets of PID control constants, as standard.
- Green bar OK lamp indicates normal operation at a glance
- Multirange system for each group of inputs.
- Change rate can use the SP ramp function.
- 8 types of events can be set.
- Optional functions for a broad spectrum of applications.
 - * Communications
 - * Events
 - * Remote setting input
 - * External switch input
 - * Auxiliary output

BASIC FUNCTION BLOCK DIAGRAM

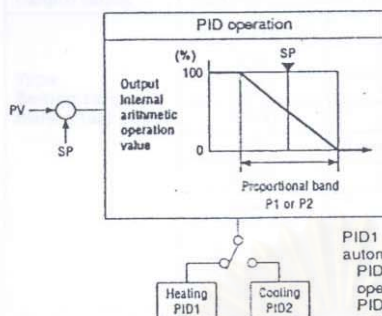
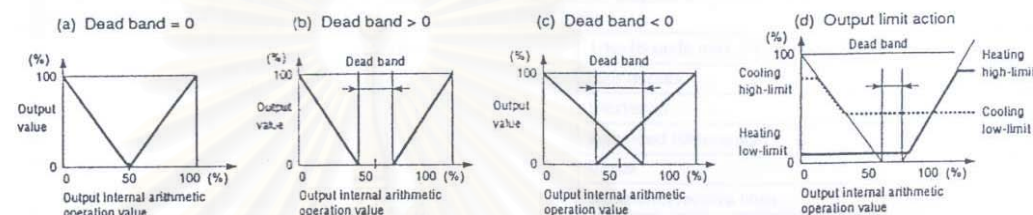
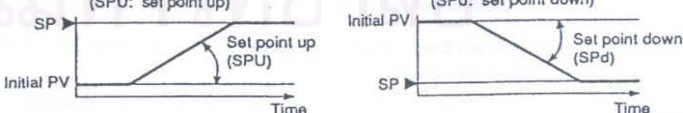


* Optional functions

SPECIFICATIONS

| | | | | | | | |
|--------------------------|---|---|--|--|--------------------------------------|-------------------|-------------------|
| PV Input | Type of Input | Thermocouple, RTD, DC voltage, DC current. See the model selection guide for inputs ranges. | | | | | |
| | Input sampling cycle | 0.25 sec. | | | | | |
| | Input digital filter | 0.0 to 120.0 sec. variable (filter is off at 0.0 sec.) | | | | | |
| | Input bias | -100 to +100U variable (U: °C, kg/cm ² G, %, and other industrial units, including decimal point positioning). | | | | | |
| | Input Impedance | Thermocouple input: 1MΩ min. | | | | | |
| | | Voltage input: 1MΩ min. Current input: 100Ω max. | | | | | |
| | Allowable wiring resistance | Thermocouple input: 250Ω max. RTD input: 4Ω max. | | | | | |
| Burnout | Thermocouple input: Upscale | | Downscale: Less than -10% FS Upscale: More than 110% FS Overscale output value is settable. | | | | |
| | RTD input: Upscale (when resistance element or "A" wire of RTD is broken) | | | | | | |
| | Current input: Downscale | | | | | | |
| Data display and setting | PV constant indication system | 4 digits, 7-segment LED indication | | | | | |
| | Storage system | Non-volatile EPROM | | | | | |
| | Range | Thermocouple, RTD input: See model selection guide [type of inputs/ranges]. | | | | | |
| | | Programmable range input (mV, V, mA): -1999 to +9999 (to 3 decimal places) | | | | | |
| | Accuracy | ±0.2% FS ±1U under standard conditions See the model selection guide table [type of inputs/ranges]. | | | | | |
| | | Provide D19: ±0.3%FS ±1U. B18 (0 to 260°C, 0 to 500°F): ±5%FS ±1U. | | | | | |
| | | T44 (-200 to -45°C) (-300 to -50°F): ±0.6% FS ±1U | | | | | |
| Setting range | Thermocouple input: 1, 0.1°C or 1°F (Differs according to the type of input and ranges.) | | | | | | |
| | RTD input: 1, 0.1°C or 1, 0.1°F (Differs according to the type of input and ranges.) | | | | | | |
| | Programmable range input (mV, V, mA): 1, 0.1, 0.01, 0.001 (to 3 decimal places) | | | | | | |
| Setting system | Local: standard Direct change is enabled. LSP direct change: This function can change the LSP (local set point) without changing operation using the ENT key. | | | | | | |
| | Remote system: Option (remote/local selectable, RSP tracking possible) RSP tracking: This function copies RSP (remote) onto LSP (local) automatically when RSP is changed over to LSP. Whether this function is provided or not can be selected. | | | | | | |
| Control output | SDC 200 0D | SDC 200 6D | SDC 200 2G | SDC 200 5G | SDC 200 3D-AK-5K-9K-BK | | |
| | Relay contact output | Voltage output | Relay contact output for Modutrol motor | Current output | Voltage/current/relay contact output | | |
| | Time proportional PID | Time proportional PID | Position proportional PID | Continuous PID | Heat/cool PID | | |
| | 3 PID groups | 3 PID groups | 3 PID groups | 3 PID groups | One PID group each for heat and cool | | |
| | Autotuning | Autotuning | Autotuning | Autotuning | Without autotuning | | |
| | Output ratings Relay contact: SPDT Resistive load: 250V ac 5A | Output ratings Opening voltage: 22.5V dc ±10% Internal resistance: 1.5kΩ ±10% | Output ratings Relay contact: 2SPDT Resistive load: 250V ac 0.5A 24V ac 2A Applicable motors: M904 - M6284 Inrush current: 1A Max. Motor feedback resistance: 100 to 2500Ω Power consumption: 50VA Max. | Output ratings Output current: 4 to 20mA dc Allowable load resistance: 600Ω Max. Output accuracy: ±0.2% (under standard conditions) Output update cycle: 0.25 sec. | Type | Output 1 for heat | Output 2 for cool |
| | | | | | 3D | SPDT | SPDT |
| AK | | | | | 4 to 20mA dc | SPDT | |
| 5K | | | | | 4 to 20mA dc | 4 to 20mA dc | |
| 9K | | | | | 22.5V dc ±10% | SPDT | |
| BK | | | | | 4 to 20mA dc | 22.5V dc ±10% | |
| Notes: 1, 2, 3 | | | | | | | |

P = 100%

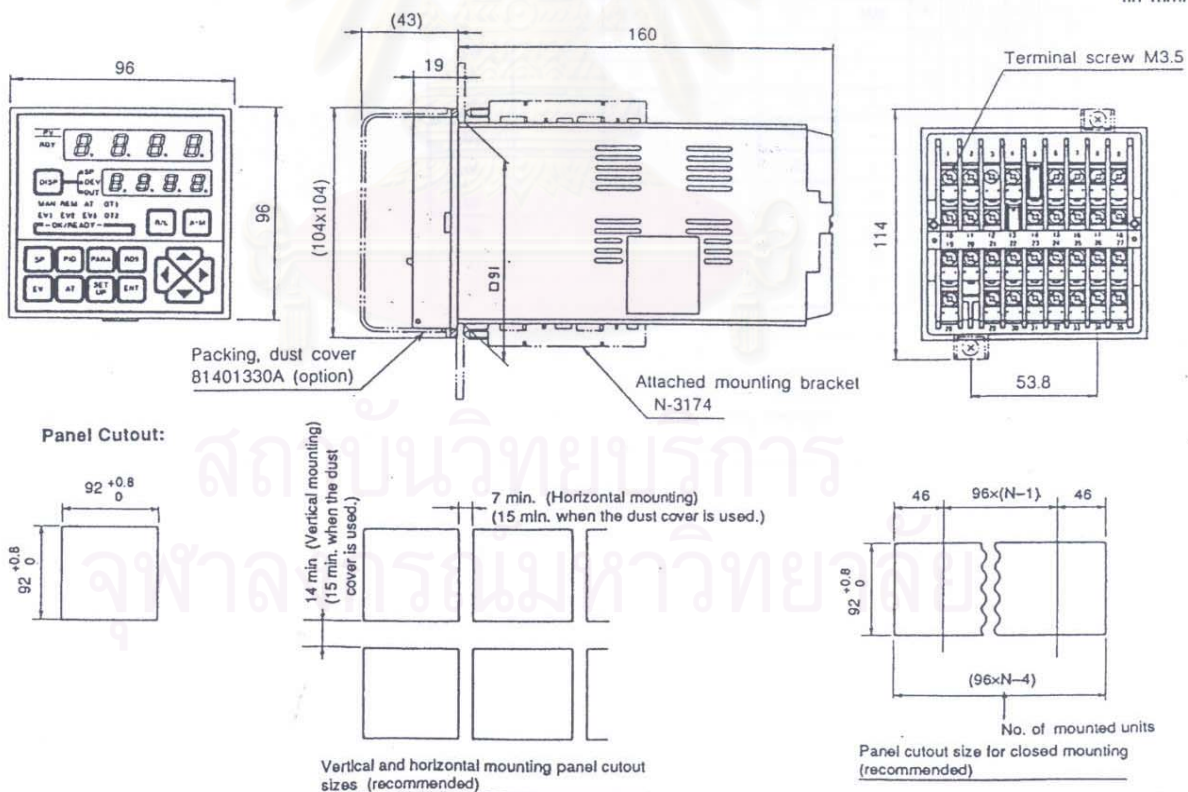
| Control output | <p>Notes: 3. Heat/cool control</p>  <p>Notes: 1. Other ratings For SPDT, same as SDC 200 0D For 22.5V dc, same as SDC 200 6D For 4 to 20mA dc, same as SDC 200 5G 2. Output 1 can be changed to cool, and output 2 to heat.</p> <p>PID1 and PID2 are switched internally and automatically. PID1 is selected when the internal output operation value $\geq 50\%$. PID2 is selected when the internal output operation value $\leq 50\%$.</p> | | | | | | | | | | | | | | | | | | | | | | |
|---|--|--|--|--|---|------|-------------------|-------------------|----|----------|----------|----|---|----------|----|---|---|----|---------|----------|----|---|---------|
| |  | | | | | | | | | | | | | | | | | | | | | | |
| Proportional band (P): %FS | SDC 200 0D 0.0 to 999.9 On/off control action is done when P=0.0 | SDC 200 6D 0.0 to 999.9 On/off control action is done when P=0.0 | SDC 200 2G 0.1 to 999.9 On/off control action is impossible. | SDC 200 5G 0.1 to 999.9 On/off control action is impossible. | SDC 200 3D-AK-5K-9K-BK 0.1 to 999.9 On/off control action is impossible. | | | | | | | | | | | | | | | | | | |
| Cycle time: Sec. | 5 to 120 | 1 to 60 | — | — | <table border="1"> <thead> <tr> <th>Type</th> <th>Output 1 for heat</th> <th>Output 2 for cool</th> </tr> </thead> <tbody> <tr> <td>3D</td> <td>5 to 120</td> <td>5 to 120</td> </tr> <tr> <td>AK</td> <td>—</td> <td>5 to 120</td> </tr> <tr> <td>5K</td> <td>—</td> <td>—</td> </tr> <tr> <td>9K</td> <td>1 to 60</td> <td>5 to 120</td> </tr> <tr> <td>BK</td> <td>—</td> <td>1 to 60</td> </tr> </tbody> </table> | Type | Output 1 for heat | Output 2 for cool | 3D | 5 to 120 | 5 to 120 | AK | — | 5 to 120 | 5K | — | — | 9K | 1 to 60 | 5 to 120 | BK | — | 1 to 60 |
| Type | Output 1 for heat | Output 2 for cool | | | | | | | | | | | | | | | | | | | | | |
| 3D | 5 to 120 | 5 to 120 | | | | | | | | | | | | | | | | | | | | | |
| AK | — | 5 to 120 | | | | | | | | | | | | | | | | | | | | | |
| 5K | — | — | | | | | | | | | | | | | | | | | | | | | |
| 9K | 1 to 60 | 5 to 120 | | | | | | | | | | | | | | | | | | | | | |
| BK | — | 1 to 60 | | | | | | | | | | | | | | | | | | | | | |
| Integral time (I): Sec. | 0 to 3600 PD action is done when I=0. | 0 to 3600 PD action is done when I=0. | 0 to 3600 PD action is done when I=0. | 0 to 3600 PD action is done when I=0. | 0 to 3600 PD action is done when I=0. | | | | | | | | | | | | | | | | | | |
| Derivative time (D): Sec. | 0 to 1200 PI action is done when D=0 | 0 to 1200 PI action is done when D=0 | 0 to 1200 PI action is done when D=0 | 0 to 1200 PI action is done when D=0 | 0 to 1200 PI action is done when D=0 | | | | | | | | | | | | | | | | | | |
| Manual reset: U | 0 to 100 | 0 to 100 | 0 to 100 | 0 to 100 | 0 to 100 | | | | | | | | | | | | | | | | | | |
| Differential gap: U | 0 to 100 | 0 to 100 | — | — | — | | | | | | | | | | | | | | | | | | |
| Dead zone: % output | — | — | 0.5 to 25.0 | — | -100 to 5.0 | | | | | | | | | | | | | | | | | | |
| % OUTPUT: Same meaning as %PB Formula to get actual dead zone value: $DZ(U) = FS \times PB/100 \times DZ/100$ | | | | | | | | | | | | | | | | | | | | | | | |
| Output limiter | Lower limit: % 0 to upper limit | Lower limit: % 0 to upper limit | Lower limit: % 0 to upper limit | Upper limit: % -10 to upper limit | Lower limit: % 0 to upper limit | | | | | | | | | | | | | | | | | | |
| Set point ramp (SP ramp) | <p>Function: Setting SP value change rate Effective when SPU\neq0 and SPd=0. Setting range: 0 to 999.9U/min. or hour 0 to 9999U/min. or hour Setting: By local SP or remote SP</p>  | | | | | | | | | | | | | | | | | | | | | | |
| Output action direct/reverse selection | Possible | Possible | Possible | Possible | — | | | | | | | | | | | | | | | | | | |
| Auto/manual selection | Auto \leftrightarrow manual: Bumpless/preset outputs are selectable when auto/manual modes are selected. On/off action: On/off control action of 0D and 6D is possible in automatic mode. | | | | | | | | | | | | | | | | | | | | | | |

| | | | | | |
|------------------------|---|---|---|---|-------------------------------|
| Event (EV1, 2) | No. of channels | Standard 2 outputs (EV1 output, EV2 output) and optional output (EV3 output) can be selected for 8 types of events. The same event can be selected twice. | | | |
| | Output action | On-off action | | | |
| | Output rating | Relay contact SPST relay Contact rating: 120V ac 1A, 240V ac 0.5A resistive load | | | |
| | Type Setting range Differential gap | Event symbol | Setting range | Differential gap | Event type |
| | | PV | -1999 to +9999 | 0 to 100U | Process variable |
| | | DEV | -1999 to +9999 | 0 to 100U | Deviation |
| | | DEV | 0 to 9999 | 0 to 100U | Absolute deviation |
| | | MV | Lower limit to upper limit % | 0 to 10% | Control output |
| | | RSP | -1999 to +9999 | 0 to 100U | Remote set point |
| | | Alarm | — | — | Turns on during alarm display |
| Autotuning | | — | — | Turns on during execution of autotuning | |
| SP | -1999 to +9999 | 0 to 100U | Actual set point | | |
| On delay time | 0 to 9999 sec. for PV, DEV, DEV , MV, RSP & SP | | | | |
| Stand by sequence | Selectable for PV, DEV, DEV , MV, RSP & SP | | | | |
| Optional function 1 | RS-422 communications | Communication system | Network | 1-to-16 units max. multidropped (slave mode only) | |
| | | | Mode | Half-duplex | |
| | | | Synchronization | Start/stop | |
| | | Interface system | Transmission | Balanced (differential) | |
| | | | Type | Serial | |
| | | | Signal line | 3 transmit/receive lines | |
| | | | Transmission speed | 1200, 2400, 4800, 9600bps | |
| | | | Communication distance | 300m max. | |
| | | | Others | Conforms to RS-422. | |
| | | Data format | Character configuration | 11 bits/character | |
| | Format | | 1 start bit, even parity, 1 stop bit (standard) | | |
| | Data length | | 8-bit binary | | |
| | | | | | |
| | RS-232C communications | Communication system | Network | Peer-to-peer (slave mode only) | |
| | | | Mode | Half-duplex | |
| | | | Synchronization | Start/stop | |
| | | Interface system | Transmission | Unbalanced | |
| | | | Type | Serial | |
| | | | Signal line | 3 transmit/receive lines | |
| | | | Transmission speed | 1200, 2400, 4800, 9600bps | |
| Communication distance | | | 15m max. | | |
| Others | | | Conforms to RS-232C | | |
| Message character | | Character configuration | 11 bits/character | | |
| | Format | 1 start bit, even parity, 1 stop bit (standard) | | | |
| | Data length | 8-bit, ASCII | | | |
| | | | | | |
| Optional function 2 | Event (EV) | EV 3 | Specifications are the same as those in EV1 and EV2 except that the output contact is SPDT. | | |
| | Remote switch Input (RSW) | Function | Three items can be selected from non-operation, auto/manual, remote/local, READY/RUN, AT, and LSP No. PID No., direct/reverse action. | | |
| | | Input | 3 channels | | |
| | | Input rating | Dry contact, Off terminal voltage: 5V±1V, Turn-on current: 6mA ±2mA | | |
| | Remote setting (RSP) | Type of input | 1 to 5V dc or 4 to 20mA dc selectable (4 to 20mA is default) | | |
| | | Input indication accuracy | ±0.2%FS±1U under standard conditions (FS: 1 to 5V or 4 to 20mA full span input) | | |
| | | Input sampling cycle | 0.25 sec. | | |
| | | Input digital filter | 0.0 to 120.0 variable (Filter is off at 0.0.) | | |
| | | Input scaling | Indicating values corresponding to input 0% FS and 100% FS can be set. | | |
| | Isolation | Complete isolation between RSP input and PV input / MV output / AUX output. | | | |

| | | | |
|----------------------------|---|---|---|
| Optional function 2 | Auxiliary output (AUX) | Type of output | Select one output from PV, SP, DEV, RSP and MV. |
| | | Output rating | 4 to 20mA dc Allowable load resistance: 600Ω Max. |
| | | Output scaling | An output value corresponding to 4 to 20mA dc can be set. Reverse scaling is also possible. |
| | | Output accuracy | ±0.2% under normal conditions |
| | | Output update cycle | 0.25 sec. |
| General Specifications | Rated power voltage | 90 to 264V ac 50Hz to 60Hz | |
| | Power consumption | 18VA under standard conditions | |
| | Insulation resistance | 50MΩ Min. by a 500V dc megger between case or ground terminal and power terminals | |
| | Dielectric strength | 1500V ac, 1 min. between case or ground terminal and power terminals | |
| | Vibration resistance | 0.5G Max. (10 to 60Hz in X, Y, and Z directions, 2 hours each) | |
| | Shock resistance | 50G Max. in vertical direction, 3 times, while packed | |
| | Allowable ambient temperature | 0 to 50°C | |
| | Storage temperature | -20 to +70°C | |
| | Allowable ambient humidity | 10 to 90%RH | |
| | Construction | Mask: Multilon Case: Heat resistant ABS resin | |
| | Color | Black, equivalent to Munsell code N2.5 | |
| | Mounting | Panel flush mount | |
| | Installation | Vertical plane ±10° | |
| | Weight | Approx. 1kg | |
| | Standard accessories | Mounting bracket: 1 set Part No. N3174 Unit indicating label: 1 sheet Part No. N3132 | |
| Auxiliary parts (optional) | Dust cover: Part No. 81401330A Soft cover: Part No. 81403361-001 | | |

DIMENSIONS

(in mm)



MODEL SELECTION GUIDE

I II III IV V VI VII Example: SDC20Q5GK09A00701

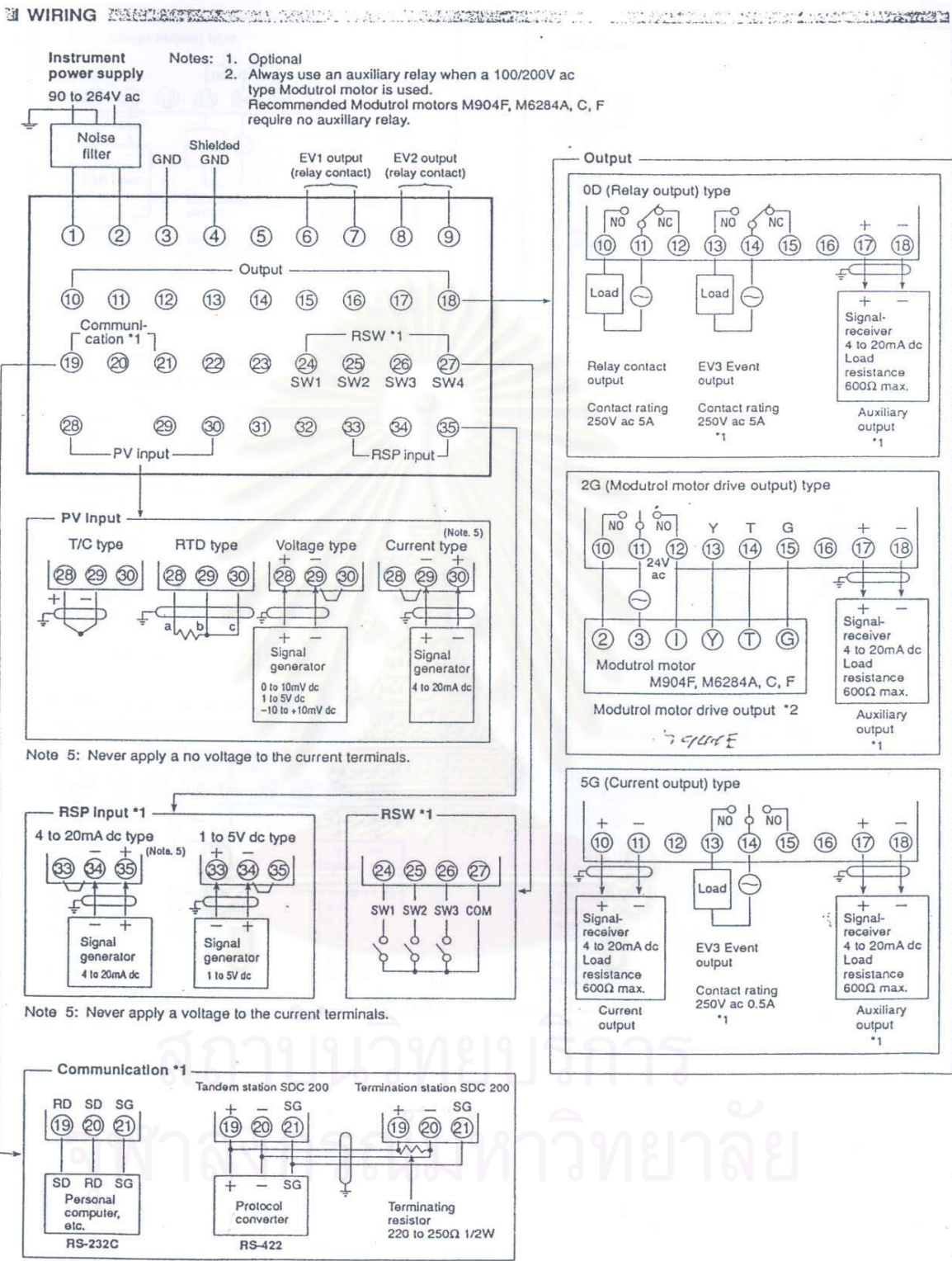
| I | II | III | IV | V | VI | VII | Contents (O : Included, - : Not included) | | | | | | | | | | | | | |
|------------------------|----------------|------------------|--------------|---------------------|---------------------|-----------------------|---|------------------------------------|-----------------|------------------|----------------------------|----|----|----|----|----|----|----|----|---|
| Basic Model No. | Control action | Input type range | Power supply | Optional function 1 | Optional function 2 | Additional processing | | | | | | | | | | | | | | |
| SDC 200 | | | | | | | Digital controller | | | | | | | | | | | | | |
| | 0D | | | | | | Time proportional PID: Relay contact, 250V ac 5A, resistive load | | | | | | | | | | | | | |
| | 6D | | | | | | Time proportional PID: Voltage 22.5V dc ±10% | | | | | | | | | | | | | |
| | 2G | | | | | | Position proportional PID: M/M drive relay contact, 250V ac 0.5A, 24V ac 0.5A, resistive load | | | | | | | | | | | | | |
| | 5G | | | | | | Continuous PID: Current 4 to 20mA dc | | | | | | | | | | | | | |
| | 3D | | | | | | Output 1: Time proportional PID: Relay contact 250V ac 5A, resistive load Output 2: Time proportional PID: Relay contact 250V ac 5A, resistive load | | | | | | | | | | | | | |
| | AK | | | | | | Output 1: Time proportional PID: Current 4 to 20mA dc, resistive load, max. 600Ω Output 2: Time proportional PID: Relay contact 250V ac 5A, resistive load | | | | | | | | | | | | | |
| | 5K | | | | | | Output 1: Continuous PID: Current 4 to 20mA dc, resistive load, max. 600Ω Output 2: Continuous PID: Current 4 to 20mA dc, resistive load, max. 600Ω | | | | | | | | | | | | | |
| | 9K | | | | | | Output 1: Time proportional PID: Voltage 22.5V dc ±10%, internal resistance 1.5kΩ ±10% Output 2: Time proportional PID: Relay contact 250V ac 5A, resistive load | | | | | | | | | | | | | |
| | BK | | | | | | Output 1: Continuous PID: Current 4 to 20mA dc, resistive load 600Ω max. Output 2: Time proportional PID: Voltage 22.5V dc ±10%, internal resistance 1.5kΩ ±10% | | | | | | | | | | | | | |
| Selected from Table 1. | | F03 | | | | | 90 to 264V ac, 50/60Hz | | | | | | | | | | | | | |
| | | | A | | | | None | | | | | | | | | | | | | |
| | | | | A | | | RS-422 communications provided | | | | | | | | | | | | | |
| | | | | B | | | RS-232 communications provided | | | | | | | | | | | | | |
| | | | | | | | Event 3 | External switch input | Remote setpoint | Auxiliary output | Application control action | | | | | | | | | |
| | | | | | | | EV3 | RSW | RSP | AUX | 0D | 2G | 5G | 6D | 3D | AK | 5K | 9K | BK | |
| | | | | | | | 00 | - | - | - | - | ○ | ○ | ○ | ○ | ○ | ○ | ○ | ○ | ○ |
| | | | | | | | 01 | - | ○ | - | - | ○ | ○ | ○ | ○ | ○ | ○ | ○ | ○ | ○ |
| | | | | | | | 02 | ○ | ○ | - | - | ○ | - | ○ | ○ | - | - | ○ | - | - |
| | | | | | | | 03 | - | ○ | ○ | - | ○ | ○ | ○ | ○ | ○ | ○ | ○ | ○ | ○ |
| | | | | | | | 04 | ○ | ○ | ○ | - | ○ | - | ○ | ○ | - | - | ○ | - | - |
| | | | | | | | 05 | - | ○ | - | ○ | ○ | ○ | ○ | ○ | ○ | ○ | - | ○ | ○ |
| | | | | | | | 06 | ○ | ○ | - | ○ | ○ | - | ○ | ○ | - | - | - | - | - |
| | | | | | | | 07 | - | ○ | ○ | ○ | ○ | ○ | ○ | ○ | ○ | ○ | - | ○ | ○ |
| | | | | | | | 08 | ○ | ○ | ○ | ○ | ○ | - | ○ | ○ | - | - | - | - | - |
| | | | | | | | 01 | None | | | | | | | | | | | | |
| | | | | | | | D1 | With test data | | | | | | | | | | | | |
| | | | | | | | T1 | Tropical treatment | | | | | | | | | | | | |
| | | | | | | | B1 | Tropical treatment with test data. | | | | | | | | | | | | |
| | | | | | | | K1 | With acid treatment. | | | | | | | | | | | | |

สถาบันวิจัยและพัฒนา
จุฬาลงกรณ์มหาวิทยาลัย

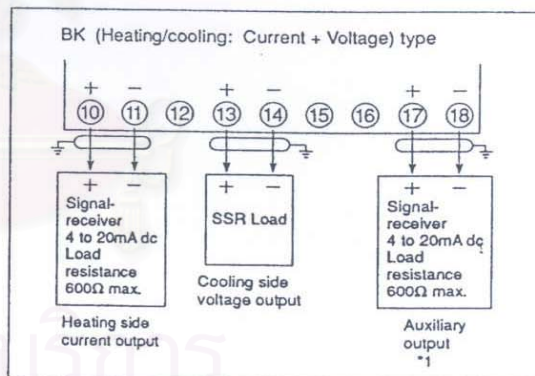
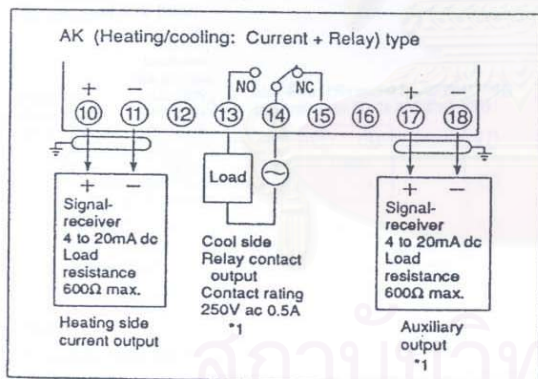
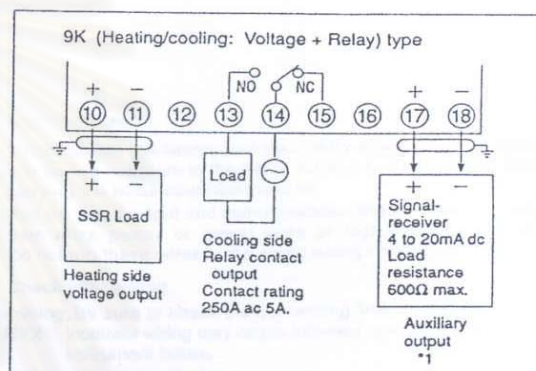
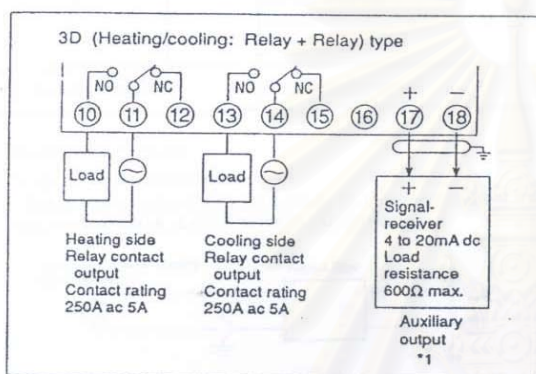
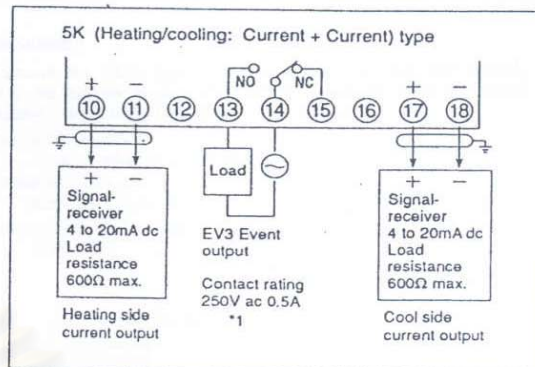
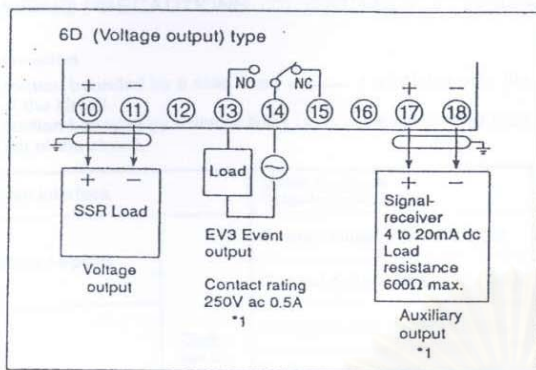
Table 1.: Type of Inputs / Ranges

| Model No. | Type of Input | Range | | Resolution | | PV range code | Multi-range |
|-----------|---|--------------------|--------------------|------------|-------|---------------|-------------|
| | | | | | | | |
| T44 | Thermocouple T(CC) | -199.9 to +300.0°C | -300 to +700°F | 0.1°C | 1°F | 6 | Select-able |
| K04 | Thermocouple K(CA) | 0.0 to 400.0°C | 0 to 750°F | 0.1°C | 1°F | 12 | |
| J08 | Thermocouple J(IC) | 0 to 800°C | 0 to 1600°F | 1°C | 1°F | 2 | |
| E08 | Thermocouple E(CRC) | 0 to 800°C | 0 to 1600°F | 1°C | 1°F | 1 | |
| K08 | Thermocouple K(CA) | 0 to 800°C | 0 to 1600°F | 1°C | 1°F | 11 | |
| K09 | Thermocouple K(CA) | 0 to 1200°C | 0 to 2400°F | 1°C | 1°F | 3 | |
| U13 | Thermocouple N | 0 to 1300°C | 32 to 2372°F | 1°C | 1°F | 9 | |
| Y13 | Thermocouple PLII | 0 to 1300°C | 32 to 2372°F | 1°C | 1°F | 10 | |
| R16 | Thermocouple R(PR13) | 0 to 1600°C | 0 to 3100°F | 1°C | 1°F | 4 | |
| S16 | Thermocouple S(PR10) | 0 to 1600°C | 0 to 3100°F | 1°C | 1°F | 5 | |
| B18 | Thermocouple B(PR30-6) | 0 to 1800°C | 0 to 3300°F | 1°C | 1°F | 0 | |
| D19 | Thermocouple PR40-2 | 0 to 1900°C | (0 to 3400°F) | 1°C | 1°F | 8 | |
| W23 | Thermocouple W(WRe5-26) | 0 to 2300°C | 0 to 4200°F | 1°C | 1°F | 7 | |
| F50 | JIS '89 Pt100 (equivalent to IEC & DIN) | -200 to +500°C | -300 to +900°F | 1°C | 1°F | 20 | |
| F46 | " | -199.9 to +200.0°C | -300 to +400°F | 0.1°C | 1°F | 21 | |
| F32 | " | -100.0 to +150.0°C | -150.0 to +300.0°F | 0.1°C | 0.1°F | 32 | |
| F36 | " | -50.0 to +200.0°C | -50.0 to +400.0°F | 0.1°C | 0.1°F | 31 | |
| F33 | " | -40.0 to +60.0°C | -40.0 to +140.0°F | 0.1°C | 0.1°F | 30 | |
| F01 | " | 0.0 to 100.0°C | 0.0 to 200.0°F | 0.1°C | 0.1°F | 34 | |
| F03 | " | 0.0 to 300.0°C | 0.0 to 500.0°F | 0.1°C | 0.1°F | 33 | |
| F05 | " | 0.0 to 500.0°C | 0.0 to 900°F | 0.1°C | 1°F | 29 | |
| P46 | JIS '89 JPt100 (old JIS Pt100) | -199.9 to +200.0°C | -300 to +400°F | 0.1°C | 1°F | 22 | |
| P32 | " | -100.0 to +150.0°C | -150.0 to +300.0°F | 0.1°C | 0.1°F | 26 | |
| P36 | " | -50.0 to +200.0°C | -50.0 to +400.0°F | 0.1°C | 0.1°F | 25 | |
| P33 | " | -40.0 to +60.0°C | -40.0 to +140.0°F | 0.1°C | 0.1°F | 24 | |
| P01 | " | 0.0 to 100.0°C | 0.0 to 200.0°F | 0.1°C | 0.1°F | 28 | |
| P03 | " | 0.0 to 300.0°C | 0.0 to 500.0°F | 0.1°C | 0.1°F | 27 | |
| P05 | " | 0.0 to 500.0°C | 0.0 to 900°F | 0.1°C | 1°F | 23 | |
| C01 | Current 4 to 20mA dc linear | Programmable | -1999 to +9999 | - | - | 40 | Select-able |
| L02 | Voltage -10 to +10mV dc linear | Programmable | -1999 to +9999 | - | - | 42 | |
| M01 | Voltage 0 to 10mV dc linear | Programmable | -1999 to +9999 | - | - | 41 | |
| V01 | Voltage 1 to 5V dc linear | Programmable | -1999 to +9999 | - | - | 45 | |

สถาบันวิทยบริการ
จุฬาลงกรณ์มหาวิทยาลัย



Output



WIRING PRECAUTIONS

1. Isolation

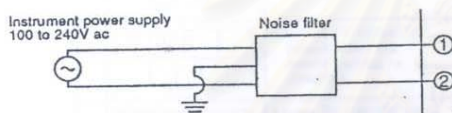
The section bounded by a solid line (———) is isolated from the rest of the circuit.
The section bounded by a dotted line (······) is not isolated from the rest of the circuit.

| | |
|---------------------|---------------------------------------|
| Loader interface | Motor feedback Potentiometer input |
| Remote setpoint | Current output (Control output) |
| | Current output (Auxiliary output) |
| PV input | Voltage output (Control output) |
| | Relay output (Control output) |
| | Event output 1 |
| Remote switch input | Event output 2 |
| | Communication I/O |

2. Power supply noise

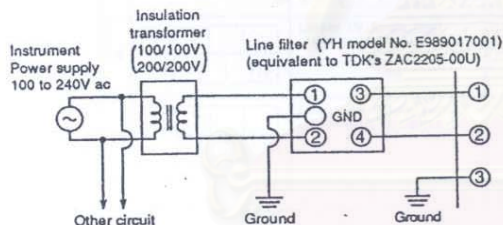
(1) Noise reduction techniques

Always use a noise filter to suppress as much as possible the influence of noise, even if noise is not obvious.



(2) When noise is obvious

If noise is observable, suppress it by using an insulation transformer and line filter.



3. Noise

Possible noise sources are:

Relays and contacts, electromagnetic coils, solenoid valves, power lines (specifically, those higher than 100V ac), motor commutators, phase angle control SCRs, radio equipment, welding machines, high voltage ignition devices, etc.

(1) Suppression techniques for quick rising noise

A CR filter is effective for quick rising noise.

Recommended filter:

YH model No. E989010001

(equivalent to Matsuo Electric 953M50033311)

(2) Suppression technique for noise with large peaks:

A varistor is effective for reducing noise with large peaks.

However, care should be taken to avoid shorting if varistor is faulty.

Recommended varistor:

YH model No. E968010471 (for 100V ac)

E968011821 (for 200V ac)

4. Grounding

Ground the SDC 200 at a single point to GND terminal 3. Connect no Jumper wiring. Prepare a grounding terminal board separately if grounding of a shield wire is difficult.

Grounding type:

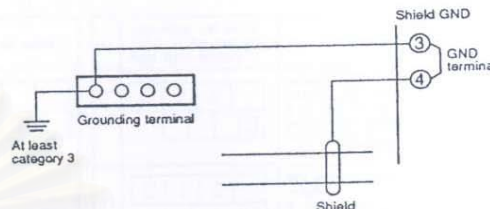
At least category 3 (100Ω max.)

Grounding wire:

Soft steel wire (AWG14) of more than 2mm².

Grounding wire length:

20m max.



5. Wiring operation

(1) Do not bundle the primary and secondary power lines together, and do not run them in the same wiring conduit or duct after carrying out noise countermeasures.

(2) Run the input/output and communication lines more than 50cm from drive power or power lines of higher than 100V ac. Do not run these wires in the same wiring conduit or duct.

6. Check after wiring

After wiring, be sure to check the connecting line conditions.
CAUTION: Incorrect wiring may cause incorrect operation and instrument failure.

WORKSHEET FOR SDC200 SETTING

CLIENT:

| |
|--|
| |
|--|

| | | | | | | | | | | | | | | | | | | | |
|---|---|---|---|---|---|--|--|--|--|--|--|--|--|--|--|--|--|--|--|
| S | D | C | 2 | 0 | 0 | | | | | | | | | | | | | | |
|---|---|---|---|---|---|--|--|--|--|--|--|--|--|--|--|--|--|--|--|

| | |
|-----------------------|--|
| APPLICATION ENGINEER: | |
| SELL'S MAN: | |
| D A T E: | |

TAG NAME: _____

1. Setup

| No. | Indication, set point value at the delivery time from factory | Item | Client's set point | No. | Indication, set point value at the delivery time from factory | Item | Client's set point |
|-----|---|--|--------------------|-----|---|--|--------------------|
| 1 | C 1 0 0 0 | Key lock 0: No key lock 1: SETUP change not allowable 2: Setting data are not changeable 3: DISP only is changeable 4: LSP value change and LSP No selection are possible. DISP. A/M keys can be used | C 1 0 0 0 | 12 | C 1 2 0 0 | Manipulated variable in case of PV over-range 0 to 100 (Time proportion type) -10 to 110 (Current proportion type) | C 1 2 0 0 |
| 2 | C 2 0 0 0 | Temperature unit 0: Centigrade (°C) -1: Fahrenheit (°F) Set by T/C, RTD input | C 2 0 0 0 | 13 | C 1 3 0 0 | MV output in MANUAL mode 0: Bumpless 1: Preset | C 1 3 0 0 |
| 3 | C 3 0 0 0 | Control action 0: Reverse action 1: Direct action | C 3 0 0 0 | 14 | C 1 4 0 0 | Preset manual value 0 to 100% (Time proportion type) -10 to 110% (Current proportion type) | C 1 4 0 0 |
| 4 | C 4 0 0 0 | Type of PV range Preset when the model number is specified. | C 4 0 0 0 | 15 | C 1 5 0 0 | MV1 value in READY mode 0 to 100% (Time proportion type) -10 to 110% (Current proportion type) | C 1 5 0 0 |
| 5 | C 5 0 0 0 | Linear PV decimal point position 0: <table style="display: inline-table; border: 1px solid black; width: 40px; height: 15px; vertical-align: middle;"></table> 1: <table style="display: inline-table; border: 1px solid black; width: 40px; height: 15px; vertical-align: middle;"></table> 2: <table style="display: inline-table; border: 1px solid black; width: 40px; height: 15px; vertical-align: middle;"></table> 3: <table style="display: inline-table; border: 1px solid black; width: 40px; height: 15px; vertical-align: middle;"></table> | C 5 0 0 0 | 16 | C 1 6 0 0 | MV2 cool value in READY mode 0 to 100% (Time proportion type) -10 to 110% (Current proportion type) | C 1 6 0 0 |
| 6 | C 6 0 0 0 | Linear PV lower limit -1999 to upper limit U | C 6 0 0 0 | 17 | C 1 7 0 0 | READY event 0: Functions 1: Does not function | C 1 7 0 0 |
| 7 | C 7 1 0 0 0 | Linear PV upper limit Lower limit to 9999U | C 7 1 0 0 0 | 18 | C 1 8 0 0 0 | RSP input type 0: 4 to 20mA 1: 1 to 5V | C 1 8 0 0 0 |
| 8 | C 8 0 0 0 0 | LSP setting system 0: Only one LSP is used. 1: Only one LSP is used and an SP value is directly changed. 2: 2 to 8 LSP0 to LSP7 are used. 3: 2 to 8 LSP0 to LSP7 are used and neither SP value nor PID group is changeable. | C 8 0 0 0 0 | 19 | C 1 9 0 0 0 | RSP input lower-limit setting -1999 to 9999U | C 1 9 0 0 0 |
| 9 | C 9 0 0 0 0 | SP limit lower-limit 0% to upper-limit of range | C 9 0 0 0 0 | 20 | C 2 0 1 0 0 0 | RSP input upper-limit setting -1999 to 9999U | C 2 0 1 0 0 0 |
| 10 | C 1 0 1 0 0 0 | SP limit upper-limit Lower-limit to 100%FS of range | C 1 0 1 0 0 0 | 21 | C 2 1 0 0 0 0 | Type of auxiliary output 0: PV 1: SP 2: DEV 3: RSP | C 2 1 0 0 0 0 |
| 11 | C 1 1 0 0 0 0 | Setting of manipulated variable in case of PV over-range 0: Not set 1: Set | C 1 1 0 0 0 0 | 22 | C 2 2 0 0 0 0 | Auxiliary output lower-limit setting -1999 to 9999U | C 2 2 0 0 0 0 |
| | | | | 23 | C 2 3 1 0 0 0 | Auxiliary output upper-limit setting -1999 to 9999U | C 2 3 1 0 0 0 |
| | | | | 24 | C 2 4 0 0 0 0 | READY auxiliary output 0: Output action is continued. 1: Preset READY auxiliary output | C 2 4 0 0 0 0 |
| | | | | 25 | C 2 5 0 0 0 0 | Preset READY auxiliary output value -1999 to 9999U | C 2 5 0 0 0 0 |

| No | Indication, set point value at the delivery time from factory | Item | Client's set point |
|----|---|--|--------------------|
| 26 | C 2 6 | LSP selection quantity and PID group selection by external switches 0, 2, 4, 8, PiD1, 3. | C 2 6 |
| 27 | C 2 7 | SW1 allocation | C 2 7 |
| 28 | C 2 8 | SW2 allocation | C 2 8 |
| 29 | C 2 9 | SW3 allocation | C 2 9 |
| 30 | C 3 0 | Heat/cool allocation 0: 1-Heat 2-Cool 1: 1-Cool 2-Heat | C 3 0 |

| No. | Indication, set point value at the delivery time from factory | Item | Client's set point |
|-----|---|---|--------------------|
| 31 | C 3 1 | Communication address 0, 1 to 254 | C 3 1 |
| 32 | C 3 2 | Transmission speed 0: 9600 1: 4800 2: 2400 3: 1200 | C 3 2 |
| 33 | C 3 3 | Communication code 0: 8-bit even parity bits 1 stop bit 1: 8-bit not parity bit 2 stop bits | C 3 3 |
| 40 | C 4 0 | Thermocouple cold junction compensation 0: Internal 1: External | C 4 0 |

2. Parameter

| No. | Indication, set point value at the delivery time from factory | Item | Client's set point |
|-----|---|---|--------------------|
| 1 | F I L T | PV filter constant 0.0 to 120.0 sec. | F I L T |
| 2 | P b i A | PV bias -100 to 100U | P b i A |
| 3 | r F I L | RSP filter constant 0.0 to 120.0 sec. | r F I L |
| 4 | r b i A | RSP bias -1999 to 9999U | r b i A |
| 5 | c y 1 | Time proportional output cycle (Output 1) 5 to 120 sec. (Relay type) 1 to 60 sec. (Voltage type) | c y 1 |
| 6 | c y 2 | Time proportional output cycle (Output 2) 5 to 120 sec. (Relay type) 1 to 60 sec. (Voltage type) | c y 2 |
| 7 | o u t L | Manipulated variable change limit 1 to 100% (0.5 sec.) | o u t L |
| 8 | A t | Auto tuning selection 0: AT is not run. 1: AT is run. 2: AT which scarcely cause overshooting | A t |
| 9 | i o u t | Initial output 0 to 100% | i o u t |
| 10 | r P i d | Reset PID 0: When SP is selected, PID operation is initialized. 1: When SP is selected, PID operation is continued. | r P i d |

| No. | Indication, set point value at the delivery time from factory | Item | Client's set point |
|-----|---|--|--------------------|
| 11 | d i f f | ON/OFF control differential 0 to 100U | d i f f |
| | d i f f | Position proportional dead zone 0.5 to 5.0% | |
| | d i f f | Head/cool dead zone -100 to 50.0% | |
| 12 | E t 1 | Event type Event types (See note) | E t 1 |
| 13 | E d 1 | Event 1 standby 0: No event standby function is provided. 1: Event standby function is provided. | E d 1 |
| 14 | E t 2 | Event 2 type Event types (See note) | E t 2 |
| 15 | E d 2 | Event 2 standby 0: No event standby function is provided. 1: Event standby function is provided. | E d 2 |
| 16 | E t 3 | Event 3 type Event types (See note) | E t 3 |
| 17 | E d 3 | Event 3 standby 0: No event standby function is provided. 1: Event standby function is provided. | E d 3 |

Note 1: 0: PV direct action 1: PV reverse action 2: Deviation direct action 3: Deviation reverse action 4: Absolute value deviation direct action 5: Absolute value deviation reverse action 6: MV direct action 7: MV reverse action 8: RSP direct action 9: RSP reverse action 10: Alarm 11: Auto tuning 12: SP direct 13: SP reverse

| No. | Indication, set point value at the delivery time from factory | Item | Client's set point |
|-----|--|--|--|
| 18 | <input type="text" value="r - e r"/> <input type="text" value="0"/> | RSP tracking 0: Not provided 1: Provided | <input type="text" value="r - e r"/> <input type="text" value="0"/> |
| 19 | <input type="text" value="r - r R"/> <input type="text" value="0"/> | RSP ramp 0: Not provided 1: Provided | <input type="text" value="r - r R"/> <input type="text" value="0"/> |
| 20 | <input type="text" value="L - r R"/> <input type="text" value="0"/> | LSP ramp 0: Not provided 1: Provided | <input type="text" value="L - r R"/> <input type="text" value="0"/> |
| 21 | <input type="text" value="S P U"/> <input type="text" value="0"/> | SP ramp up 0 to 9999U/min. | <input type="text" value="S P U"/> <input type="text" value="0"/> |
| 22 | <input type="text" value="S P d"/> <input type="text" value="0"/> | SP ramp 0 to 9999U/min. | <input type="text" value="S P d"/> <input type="text" value="0"/> |
| 23 | <input type="text" value="r R - e"/> <input type="text" value="0"/> | SP ramp unit setting 0: U/min 1: 0.1/min 2: U/hour 3: 0.1/hour | <input type="text" value="r R - e"/> <input type="text" value="0"/> |

| No. | Indication, set point value at the delivery time from factory | Item | Client's set point |
|-----|---|---|---|
| 24 | <input type="text" value="g. b. - L"/> <input type="text" value="S"/> | Green belt lower-limit 0 to 100U | <input type="text" value="g. b. - L"/> <input type="text" value="S"/> |
| 25 | <input type="text" value="g. b. - H"/> <input type="text" value="S"/> | Green belt upper-limit 0 to 100U | <input type="text" value="g. b. - H"/> <input type="text" value="S"/> |
| 26 | <input type="text" value="n. - C L"/> <input type="text" value="100"/> | Input when motor is fully closed. 0 to 999 | <input type="text" value="n. - C L"/> <input type="text" value="100"/> |
| 27 | <input type="text" value="n. - O P"/> <input type="text" value="900"/> | Input when motor is fully open. 0 to 999 | <input type="text" value="n. - O P"/> <input type="text" value="900"/> |
| 28 | <input type="text" value="d P"/> <input type="text" value="0"/> | Temperature 0.1°C/°F indication 0: Not indicated. 1: Indicated. | <input type="text" value="d P"/> <input type="text" value="0"/> |

3. Event

| No. | Indication, set point value at the delivery time from factory | Item | Client's set point |
|-----|--|--|--|
| 1 | <input type="text" value="E 1"/> <input type="text" value="9999"/> | Event 1 set point | <input type="text" value="E 1"/> <input type="text" value="9999"/> |
| 2 | <input type="text" value="E 2"/> <input type="text" value="9999"/> | Event 2 set point | <input type="text" value="E 2"/> <input type="text" value="9999"/> |
| 3 | <input type="text" value="E 3"/> <input type="text" value="9999"/> | Event 3 set point | <input type="text" value="E 3"/> <input type="text" value="9999"/> |
| 4 | <input type="text" value="H Y S 1"/> <input type="text" value="S"/> | Event 1 hysteresis 0 to 100U for those other than MV MV 0.0 to 10.0% | <input type="text" value="H Y S 1"/> <input type="text" value="S"/> |
| 5 | <input type="text" value="H Y S 2"/> <input type="text" value="S"/> | Event 2 hysteresis 0 to 100U for those other than MV MV 0.0 to 10.0% | <input type="text" value="H Y S 2"/> <input type="text" value="S"/> |

| No. | Indication, set point value at the delivery time from factory | Item | Client's set point |
|-----|--|--|--|
| 6 | <input type="text" value="H Y S 3"/> <input type="text" value="0"/> | Event 3 hysteresis 0 to 100U for those other than MV MV 0.0 to 10.0% | <input type="text" value="H Y S 3"/> <input type="text" value="0"/> |
| 7 | <input type="text" value="d L 1"/> <input type="text" value="0"/> | Event 1 on-delay time 0 to 9999 sec. | <input type="text" value="d L 1"/> <input type="text" value="0"/> |
| 8 | <input type="text" value="d L 2"/> <input type="text" value="0"/> | Event 2 on-delay time 0 to 9999 sec. | <input type="text" value="d L 2"/> <input type="text" value="0"/> |
| 9 | <input type="text" value="d L 3"/> <input type="text" value="0"/> | Event 3 on-delay time 0 to 9999 sec. | <input type="text" value="d L 3"/> <input type="text" value="0"/> |

Note 1
 PV : -1999 to 9999U RSP: -1999 to 9999U
 DEV : -1999 to 9999U MV : -10.0 to 110.0%
 I DEV 1: 0 to 9999U SP : -1999 to 9999U

4. PID

| No. | Indication, set point value at the delivery time from factory | Item | Client's set point |
|-----|---|--|---|
| 1 | <input type="text" value="P - 1"/> <input type="text" value="1000"/> | Proportional band 1 0.0 to 999.9% (TP) 0.1 to 999.9% (CP) | <input type="text" value="P - 1"/> <input type="text" value="1000"/> |
| 2 | <input type="text" value="I - 1"/> <input type="text" value="0"/> | Integral time 1 0 to 3600 sec. | <input type="text" value="I - 1"/> <input type="text" value="0"/> |
| 3 | <input type="text" value="d - 1"/> <input type="text" value="0"/> | Derivative time 1 0 to 1200 sec. | <input type="text" value="d - 1"/> <input type="text" value="0"/> |
| 4 | <input type="text" value="o L - 1"/> <input type="text" value="10"/> | Manipulated variable lower-limit 1 0 to upper-limit % (TP) -10 to upper-limit % (CP) | <input type="text" value="o L - 1"/> <input type="text" value="10"/> |

| No. | Indication, set point value at the delivery time from factory | Item | Client's set point |
|-----|--|--|--|
| 5 | <input type="text" value="o H - 1"/> <input type="text" value="100"/> | Manipulated variable upper-limit 1 Lower-limit to 100% (TP) Lower-limit to 110% (CP) | <input type="text" value="o H - 1"/> <input type="text" value="100"/> |
| 6 | <input type="text" value="r H - 1"/> <input type="text" value="50"/> | Manual reset 1 0 to 100% | <input type="text" value="r H - 1"/> <input type="text" value="50"/> |
| 7 | <input type="text" value="P - 2"/> <input type="text" value="1000"/> | Proportional band 2 0.0 to 999.9% (TP) 0.1 to 999.9% (CP) | <input type="text" value="P - 1"/> <input type="text" value="1000"/> |
| 8 | <input type="text" value="I - 2"/> <input type="text" value="0"/> | Integral time 2 0 to 3600 sec. | <input type="text" value="I - 2"/> <input type="text" value="0"/> |

| No. | Indication, set point value at the delivery time from factory | Item | Client's set point |
|-----|---|--|--------------------|
| 9 | D - 2 0 | Derivative time 2 0 to 1200 sec. | D - 2 1 |
| 10 | OL - 2 -10 | Manipulated variable lower-limit 2 0 to upper-limit % (TP) -10 to upper-limit % (CP) | OL - 2 1 |
| 11 | OH - 2 1100 1110 | Manipulated variable upper-limit 2 Lower-limit to 100% (TP) Lower-limit to 110% (CP) | OH - 2 1 |
| 12 | RE - 2 50 | Manual reset 2 0 to 100% | RE - 2 1 |
| 13 | P - 3 100.0 | Proportional band 3 0.0 to 999.9% (TP) 0.1 to 999.9% (CP) | P - 3 1 |

| No. | Indication, set point value at the delivery time from factory | Item | Client's set point |
|-----|---|--|--------------------|
| 14 | I - 3 0 | Integral time 3 0 to 3600 sec. | I - 3 1 |
| 15 | D - 3 0 | Derivative time 3 0 to 1200 sec. | D - 3 1 |
| 15 | OL - 3 -10 | Manipulated variable lower-limit 3 0 to upper-limit % (TP) -10 to upper-limit % (CP) | OL - 3 1 |
| 17 | OH - 3 1100 1110 | Manipulated variable upper-limit 3 Lower-limit to 100% (TP) Lower-limit to 110% (CP) | OH - 3 1 |
| 18 | RE - 3 50 | Manual reset 3 0 to 100% | RE - 3 1 |

5. SP setting
When one LSP is used.

| No. | Indication, set point value at the delivery time from factory | Item | Client's set point |
|-----|---|--|--------------------|
| 1 | SP 50 | LSP setting value | SP 1 |
| 2 | RSP | RSP setting value | RSP 1 |
| 3 | SP P I D I | PID group specification (When LSP is used.) | SP P I D I |
| 4 | RSP P I D I | PID group specification (When RSP is used.) | RSP P I D I |

When eight LSP are used.

| No. | Indication, set point value at the delivery time from factory | Item | Client's set point |
|-----|---|-------------|--------------------|
| 1 | SP - 0 50 | LSP 0 value | SP - 0 1 |
| 2 | SP - 1 50 | LSP 1 value | SP - 1 1 |
| 3 | SP - 2 50 | LSP 2 value | SP - 2 1 |
| 4 | SP - 3 50 | LSP 3 value | SP - 3 1 |
| 5 | SP - 4 50 | LSP 4 value | SP - 4 1 |
| 6 | SP - 5 50 | LSP 5 value | SP - 5 1 |

| No. | Indication, set point value at the delivery time from factory | Item | Client's set point |
|-----|---|---|--------------------|
| 7 | SP - 6 50 | LSP 6 value | SP - 6 1 |
| 8 | SP - 7 50 | LSP 7 value | SP - 7 1 |
| 9 | RSP | RSP value | RSP 1 |
| 10 | SP - 0 P I D I | PID group specification (When LSP0 is used.) | SP - 0 P I D I |
| 11 | SP - 1 P I D I | PID group specification (When LSP1 is used.) | SP - 1 P I D I |
| 12 | SP - 2 P I D I | PID group specification (When LSP2 is used.) | SP - 2 P I D I |
| 13 | SP - 3 P I D I | PID group specification (When LSP3 is used.) | SP - 3 P I D I |
| 14 | SP - 4 P I D I | PID group specification (When LSP4 is used.) | SP - 4 P I D I |
| 15 | SP - 5 P I D I | PID group specification (When LSP5 is used.) | SP - 5 P I D I |
| 16 | SP - 6 P I D I | PID group specification (When LSP6 is used.) | SP - 6 P I D I |
| 17 | SP - 7 P I D I | PID group specification (When LSP7 is used.) | SP - 7 P I D I |
| 18 | RSP P I D I | PID group specification (When RSP is used.) | RSP P I D I |

ประวัติผู้เขียนวิทยานิพนธ์

ผู้เขียนวิทยานิพนธ์ ชื่อ นาย อรรถพล ปิ่นโกคินทร์ เกิดเมื่อวันที่ 19 พฤษภาคม พ.ศ. 2513 เป็นบุตรคนสุดท้อง ของครอบครัว ปิ่นโกคินทร์ มีพี่น้องทั้งหมด 3 คน เข้าศึกษาชั้นประถมที่โรงเรียน ช่างตาคูรัฐศึกษา กรุงเทพฯ หลังจากจบการศึกษาชั้นประถมแล้วได้ไปศึกษาชั้นมัธยมต้นที่โรงเรียน วัดสุทธิวราราม กรุงเทพฯ จนกระทั่งจบการศึกษาในชั้นมัธยมต้น ต่อจากนั้นจึงได้ไปศึกษาต่อในระดับประกาศนียบัตรวิชาชีพ หรือ ปวช. ที่ วิทยาลัยเทคโนโลยี และ อาชีวศึกษา วิทยาเขต พระนครเหนือ ในสาขาช่างกลโรงงาน การศึกษาต่อในระดับปริญญาตรีได้สอบเข้าศึกษา ณ สถาบันเทคโนโลยีพระจอมเกล้า พระนครเหนือ ใน คณะ วิศวกรรมศาสตร์ ภาควิชา วิศวกรรมการผลิต ในปี พ.ศ. 2531 และได้จบการศึกษาเมื่อปี พ.ศ. 2535 หลังจากจบการศึกษาปริญญาตรีแล้วได้เข้าทำงานที่ บริษัท โตโยต้ามอเตอร์ประเทศไทย จำกัด ในตำแหน่ง วิศวกรซ่อมบำรุง ฝ่ายผลิต 2 ต่อจากนั้นในปี พ.ศ. 2542 ได้เข้าศึกษาต่อในระดับปริญญาโทที่ จุฬาลงกรณ์มหาวิทยาลัย คณะ วิศวกรรมศาสตร์ ภาควิชา วิศวกรรมอุตสาหกรรม ปัจจุบันนี้ได้ทำงานให้กับ บริษัท โตโยต้ามอเตอร์ประเทศไทย จำกัด ในตำแหน่ง หัวหน้าวิศวกรบำรุงรักษา ฝ่ายผลิต โรงงานลำโรง

สถาบันวิทยบริการ
จุฬาลงกรณ์มหาวิทยาลัย